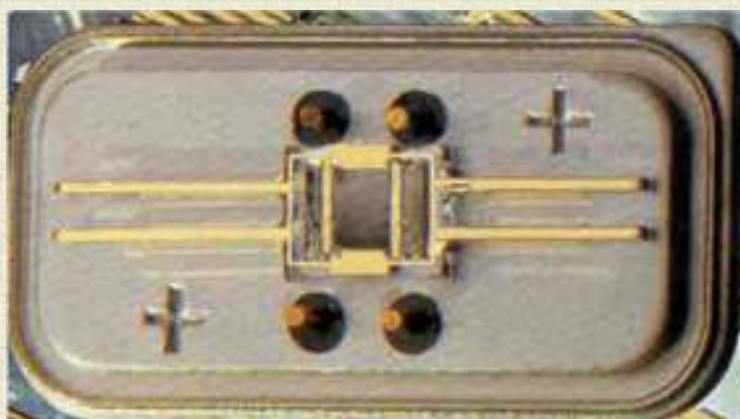
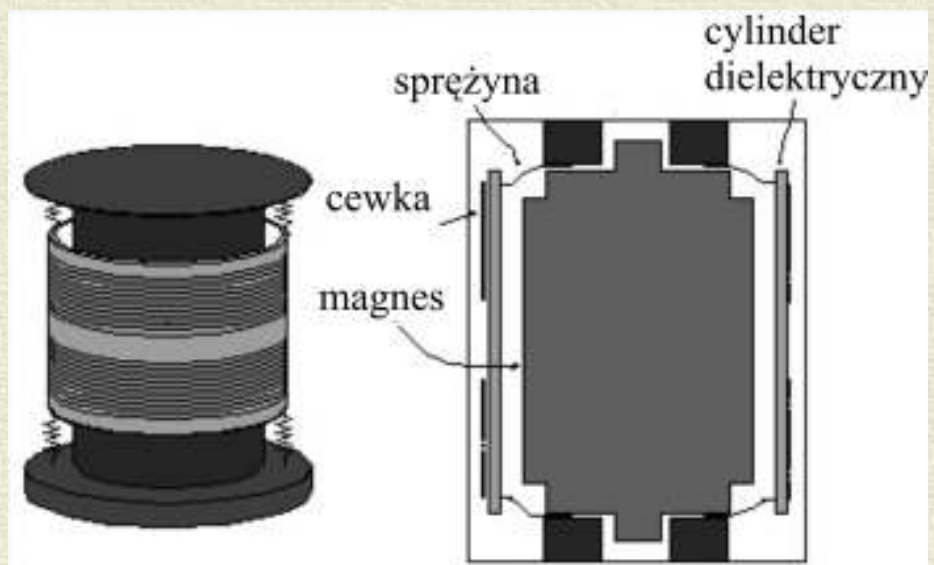


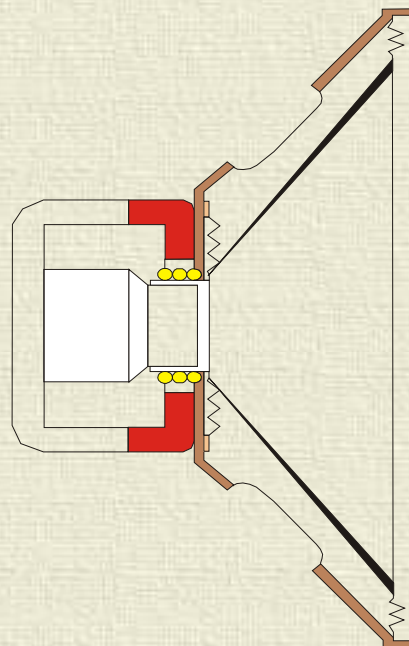
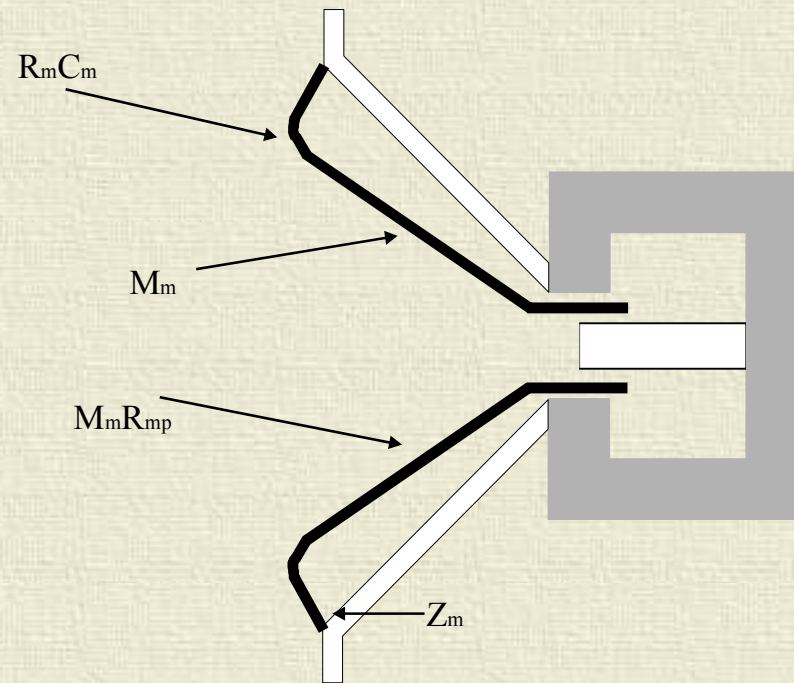
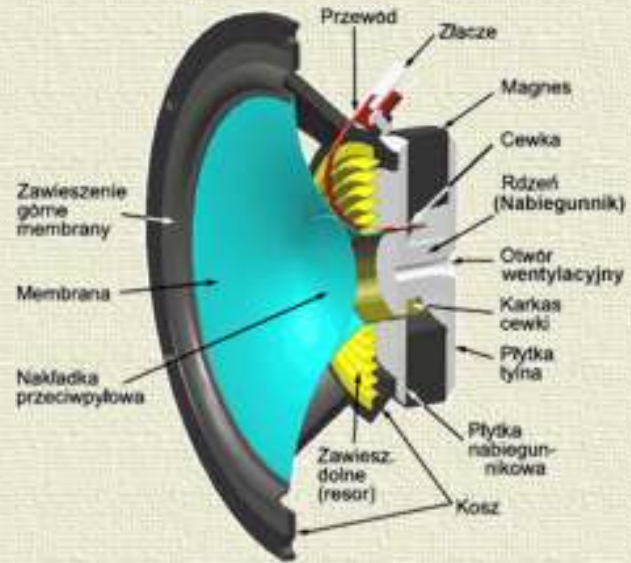
Wzbudzenie i detekcja fal akustycznych



Detekcja infradźwięków

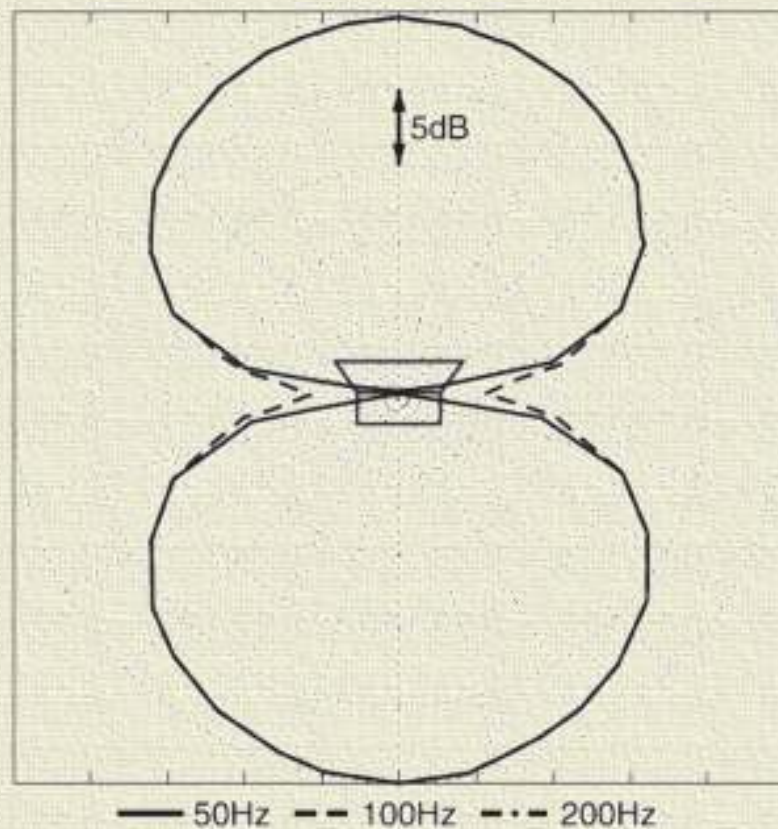


Częstotliwości słyszalne - GŁOŚNIKI



- R_m – rezystancja mechaniczna membrany
- C_m – podatność mechaniczna membrany
- M_m – masa mechaniczna membrany
- R_{mp} – rezystancja mechaniczna
- Z_m – impedancja mechaniczna
- l – głębokość obudowy

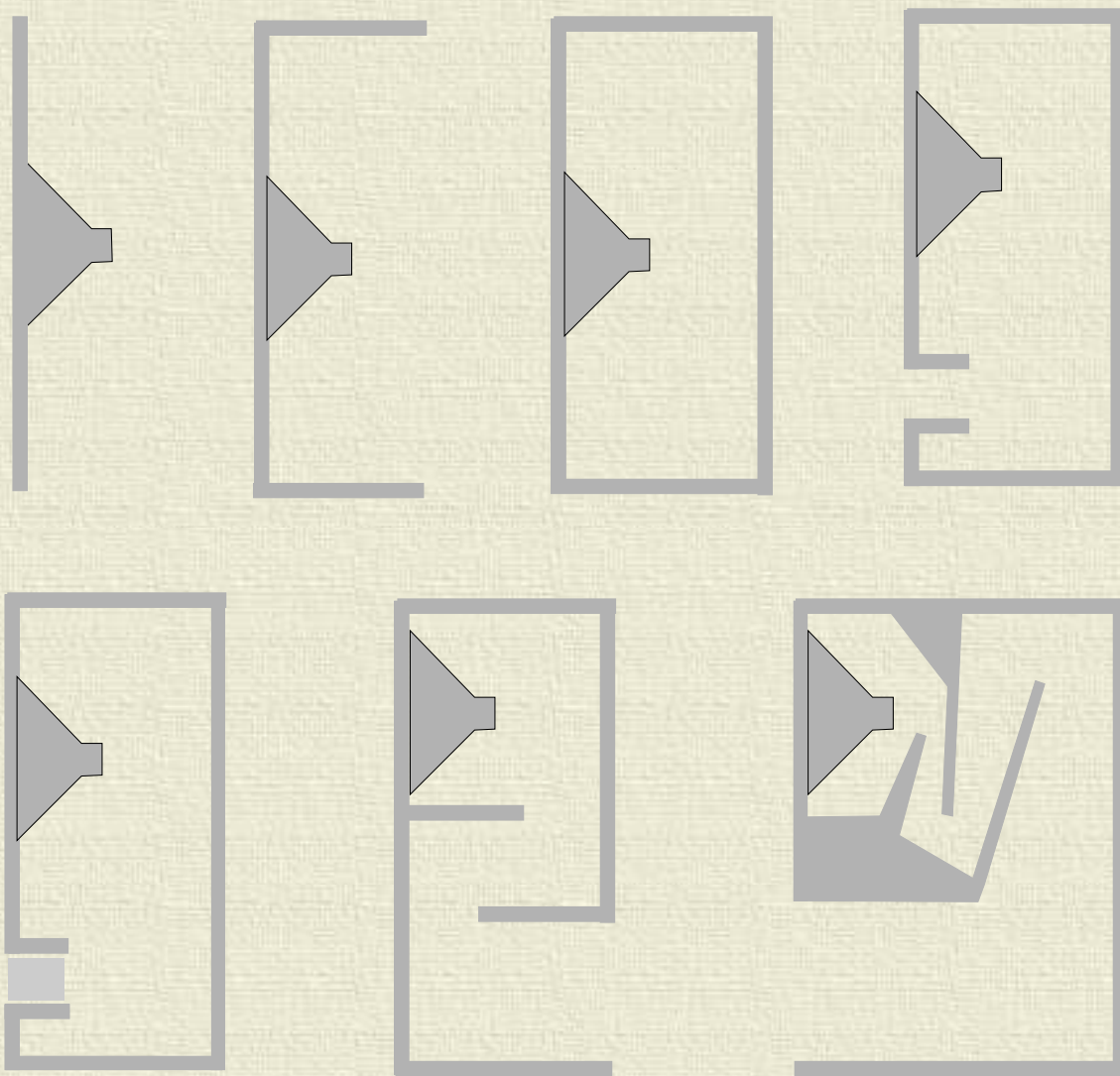
Obudowy i odgrody głośników



Im dłuższa fala tym skuteczniejsza interferencja destruktywna fal pochodzących od przeciwnych ścianek głośnika

- stosowane środki zaradcze
- odgrodenie membran
 - odwracanie faz za pomocą przewodnic falowych

Różne typy obudów głośnikowych



Parametry głośnika

F_s - częstotliwość rezonansowa

VAS - objętość ekwiwalentna - objętość zastępcza obliczana na podstawie podatności zawieszenia i powierzchni membrany, dla głośników o średnicy 20 cm $VAS = 40 \dots 120$

Efektywność - miara ciśnienia akustycznego w odległości jednego metra od głośnika

Efektywność mocowa - efektywność dla 1 W mocy dostarczanej do głośnika

Efektywność napięciowa - efektywność dla napięcia 2,83 V doprowadzonego do głośnika

Dla głośnika 8Ω efektywności napięciowa i mocowa są równe, dla głośnika 4Ω efektywność napięciowa jest większa o 3dB od efektywności mocowej.

Głośnik o mocy 100 W i efektywności 87 dB wytworzy takie samo natężenie dźwięku jak głośnik o mocy 50 W i efektywności 90 dB.

parametry Thiele'a – Smalla

Q_{ts} - dobroć całkowita

Q_{ms} - dobroć mechaniczna

Q_{es} - dobroć elektryczna

S_d - powierzchnia membrany

B_l - siła która działa na cewkę głośnika

B - indukcja magnetyczna w szczelinie

L - indukcyjność cewki głośnika

X_{max} - maksymalne liniowe wychylenie membrany

P_e - moc znamionowa jaką głośnik może odbierać w sposób ciągły
test DIN45-573 włączany na 1 min, wyłączany na okres 2 min test IEC 268-5 sygnał 100 godz.
moc znamionowa zależy od normy, wg której była mierzona

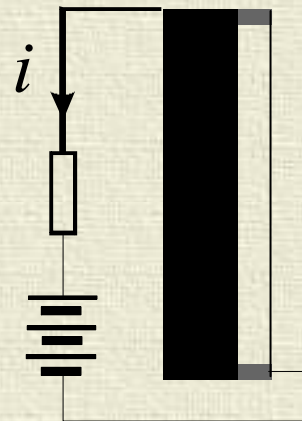
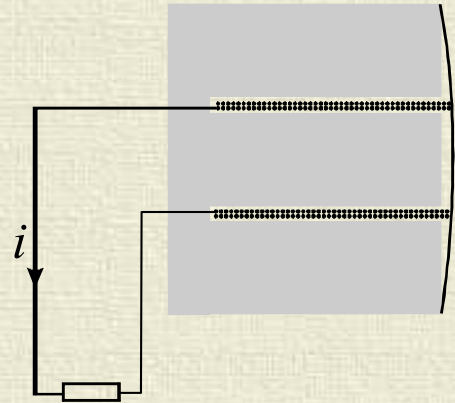
R_e - rezystancja cewki głośnika

M_{ms} - masa całego układu drgającego

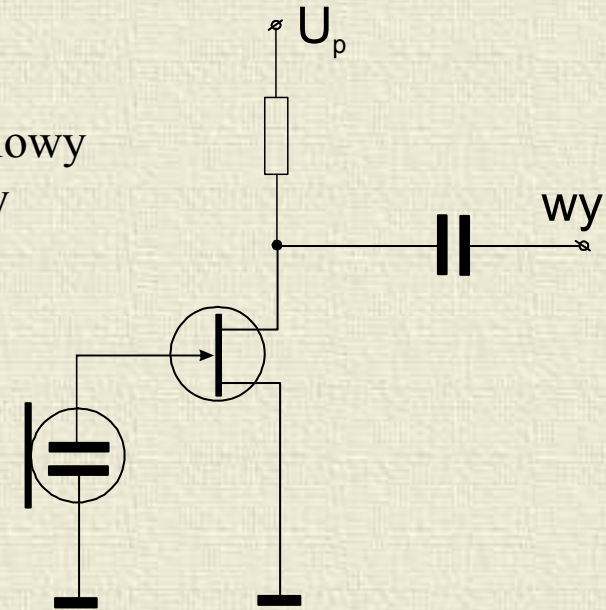
$$\delta^{12} = \frac{\delta^{112} + \delta^{62}}{\delta^{112} \delta^{62}}$$

MIKROFONY

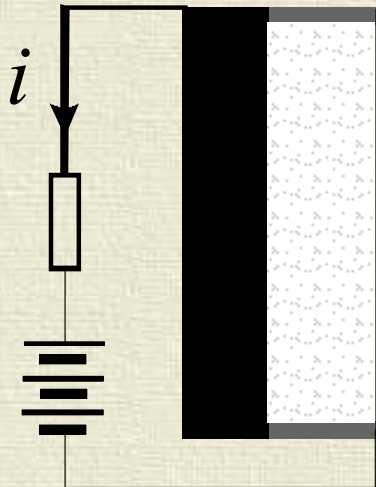
magnetoelektryczny



pojemnościowy
elektretowy



węglowy

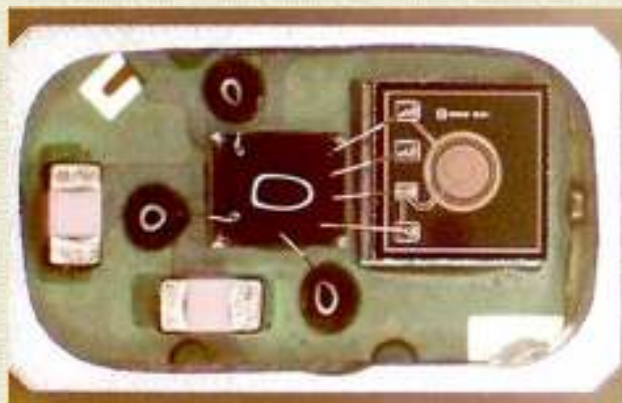
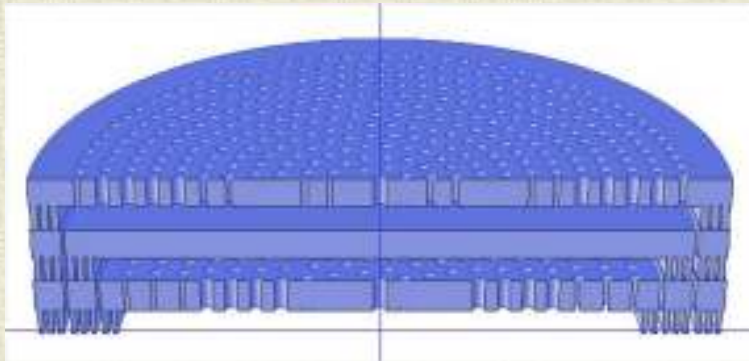
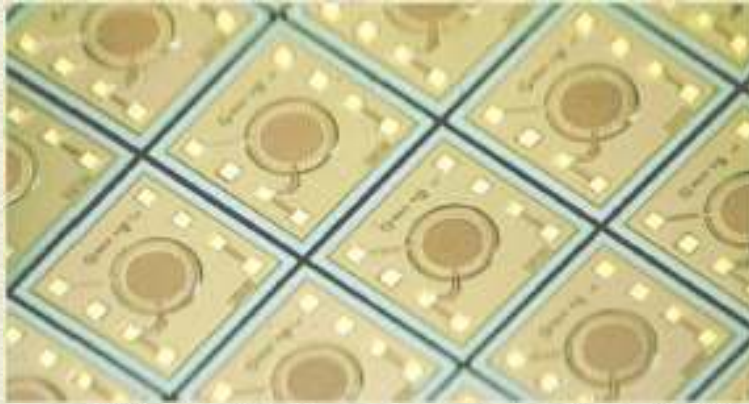


| wartości orientacyjne | czułość [mV/ μ bar] | pasmo [kHz] | impedancja [M Ω] | poziom zniekształceń | równomierność charakterystyki |
|-----------------------|-------------------------|-------------|--------------------------|----------------------|-------------------------------|
| węglowe | 1 – 50 | 0,2 - 3 | 0,001 | wysoki | mała |
| pojemnościowe | 0,5 – 10 | 0,01 - 20 | 100 | b. Niski | \pm 3dB |
| elektretowe | 0,5 – 10 | 0,01 - 20 | 1000 | b. niski | \pm 3dB |
| piezoelektryczne | 0,2 – 2 | > 20 | 1000 | niski | duża |
| magnetoelektryczne | 0,05 – 1 | 0,03 - 15 | 0,0001 | niski | do 20 dB 8 |



| | |
|----------------------------|--|
| typ | KEC-1042PBL elektretowy |
| kierunkowość | kwazi-izotropowy |
| czułość | -42 ±3 dBA przy f=1kHz, 1Pa, 0 dBA=1V/Pa |
| redukcja czułości | -3 dBA przy spadku napięcia zasilania o 0.5V |
| S/N | 58 dBA przy f=1KHz, 1Pa |
| pasmo | 20 Hz – 20 KHz |
| impedancja wyjściowa | 2.2 kΩ |
| napięcie zasilania | 2-10 V |
| pobór prądu | 0.5 mA przy 2 V i R _L =2.2 kΩ |
| zakres temperatur pracy | -20 - +70 °C |
| średnica | 6 mm |
| wysokość (bez wyprowadzeń) | 1 mm |
| masa | 0,3 g |
| obudowa | Al |

MEMS



dwukierunkowy (kwazi-dookólny)

temp. pracy -40°C $+100^{\circ}\text{C}$

prąd zasilania 0,5 mA przy napięciu 2V

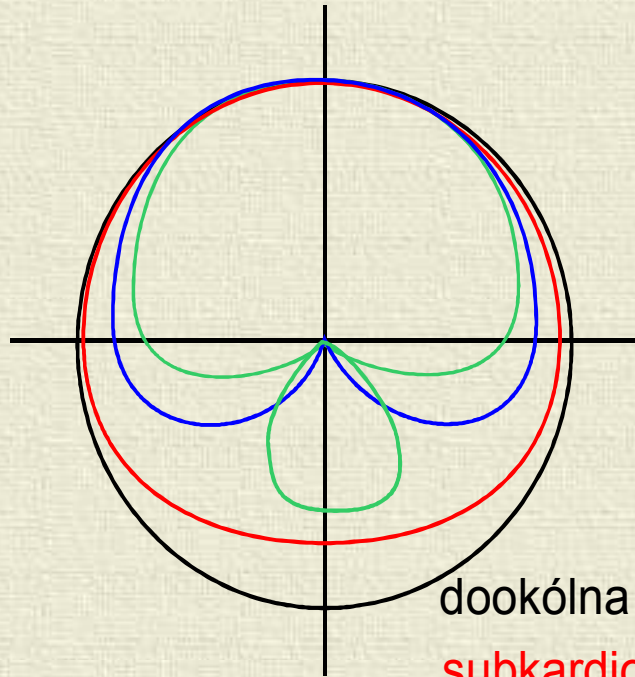
pasmo 100Hz - 10 kHz

poziom szumów 35 dB

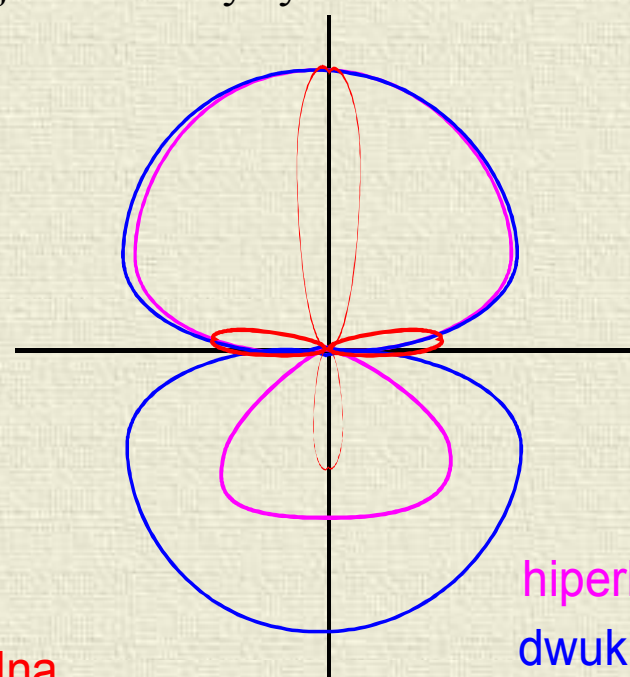
czułość -42 dBA

zakres napięć zailania 1,5 – 5,5 V

Podstawowe rodzaje charakterystyk

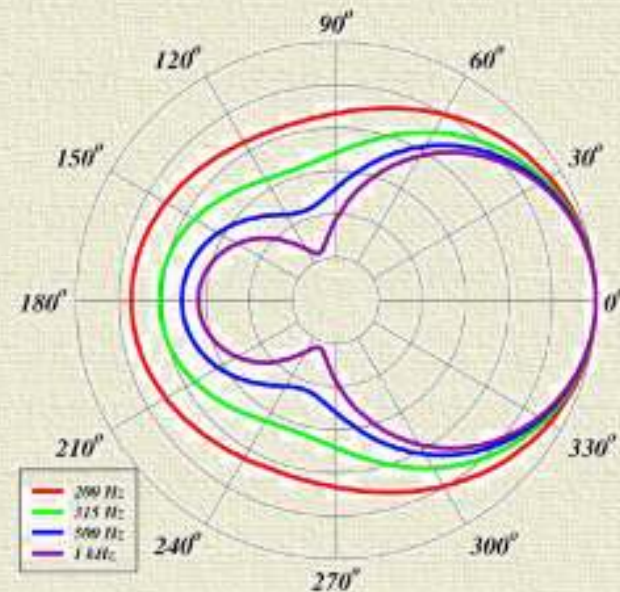


dookólna
subkardioidalna
kardioidalna
superkardioidalna



hiperkardioidalna
dwukierunkowa
kierunkowa

Zależność charakterystyki od częstotliwości



Metody generacji i detekcji ultradźwięków

nieodwracalne

- termiczne
- optyczne

odwracalne

- elektrostatyczne pojemnościowe
- piezoelektryczne
- elektrostrykcyjne

- elektromagnetyczne

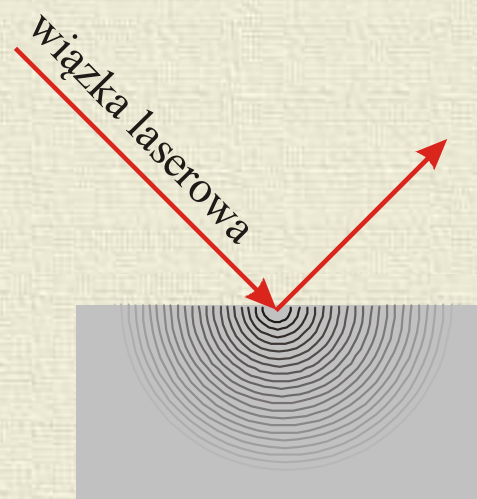
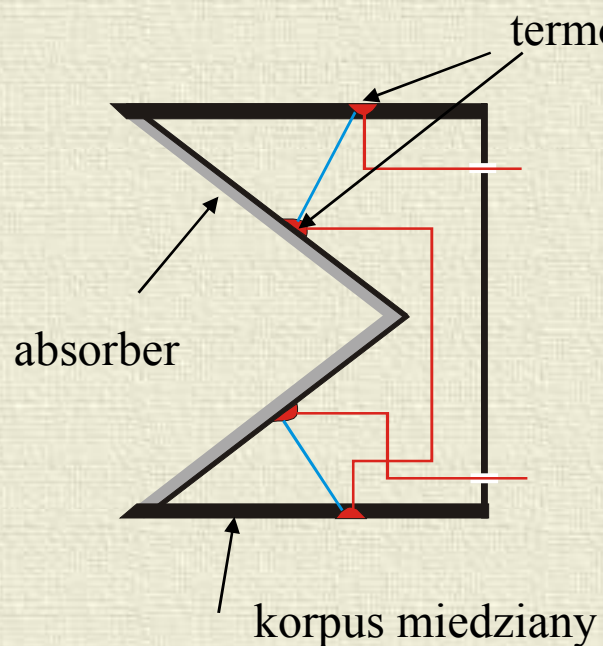
- magnetoelektryczne

- magnetyczne

piezomagnetyczne

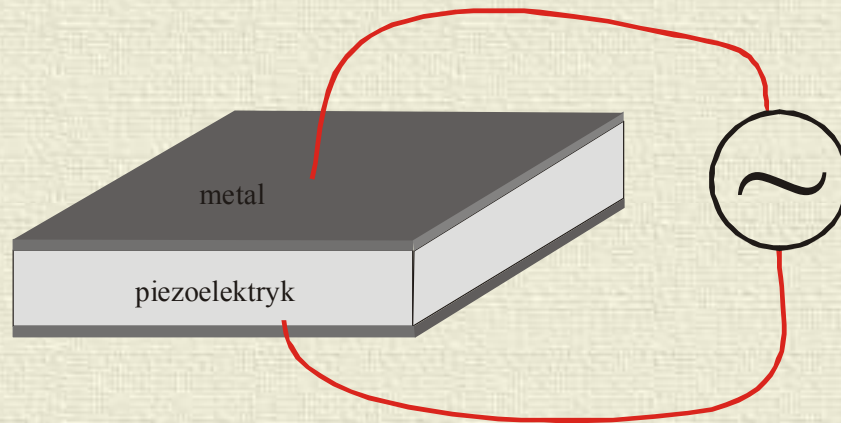
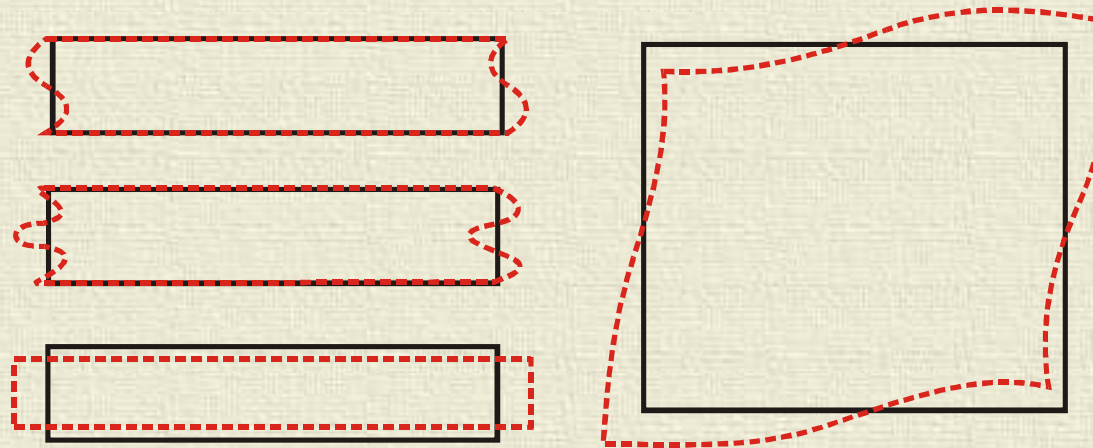
magnetostrykcyjne

z indukcją prądów wirowych

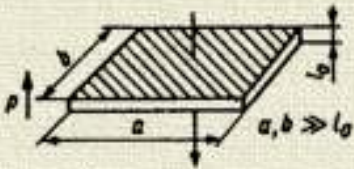
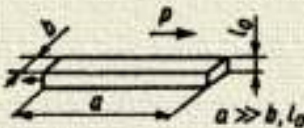
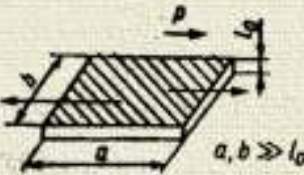


Przetworniki piezoelektryczne i magnetostrykcyjne

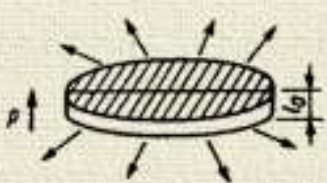
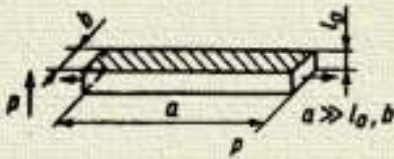
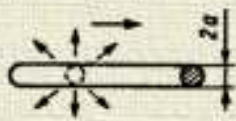
Płytki piezoelektrycznej pod wpływem pola elektrycznego ulega deformacji



podstawowe sposoby drgań płytek piezoelektrycznych (Kazis)

| | Kształt elementu piezoelektrycznego | Sposób drgań | Częstotliwości rezonansowe | Współczynnik sprzężenia elektromech. | Prędkość fazowa fal ultradźwiękowych c |
|--|---|---|--|---|--|
| Piezoelektrycznie „uszczelnione” sposoby drgań |  | podłużny grubościowy | $\frac{1}{2l_0} \sqrt{\frac{c_{33}^D}{\rho}} x_n'$ <p>gdzie $n = 1, 3, 5, \dots$ x_n' pierwiastki równ.: $k_1^2 \operatorname{tg} \frac{\pi}{2} x = \frac{\pi}{2} x$</p> | $k_1 = \frac{e_{33}}{\sqrt{\epsilon_{33}^T c_{33}^D}}$ | $\sqrt{\frac{c_{33}^D}{\rho}}$ |
| |  | podłużny długościowy z elektrodami na końcach | $\frac{1}{2l_0} \sqrt{s_{33}^D} x_n'$ <p>gdzie $n = 1, 3, 5, \dots$ x_n' pierwiastki równ.: $k_{33}^2 \operatorname{tg} \frac{\pi}{2} x = \frac{\pi}{2} x$</p> | $k_{33} = \frac{d_{33}}{\sqrt{\epsilon_{33}^T s_{33}^D}}$ | $\frac{1}{\sqrt{s_{33}^D} \rho}$ |
| |  | ścinający | $\frac{1}{2l_0} \sqrt{\frac{c_{44}^D}{\rho}} x_n'$ <p>gdzie $n = 1, 3, 5, \dots$ x_n' pierwiastki równ.: $k_{15}^2 \operatorname{tg} \frac{\pi}{2} x = \frac{\pi}{2} x$</p> | $k_{15} = \frac{e_{15}}{\sqrt{\epsilon_{11}^T c_{44}^D}}$ | $\sqrt{\frac{c_{44}^D}{\rho}}$ |

Piezoelektrycznie „swobodne”
sposoby drgań

| | | | | |
|---|--|---|---|--|
|  | radialny | $\frac{\xi_1}{2\pi a} \frac{1}{\sqrt{e s_{11}^E (1 - \sigma_p^E)}}$ | $k_p = \frac{d_{21} \sqrt{2}}{\sqrt{e_{33}^T (s_{11}^E + s_{12}^E)}}$ | $\frac{1}{\sqrt{e s_{11}^E [1 - (\sigma_p^E)^2]}}$ |
|  | podłużny długościowy z elektrodami bocznymi | $\frac{n}{2a} \frac{1}{\sqrt{e s_{11}^E}}$ <p>gdzie $n = 1, 3, 5, \dots$</p> | $k_{31} = \frac{d_{31}}{\sqrt{e_{33}^T s_{11}^E}}$ | $\frac{1}{\sqrt{e s_{11}^E}}$ |
|  | radialny walcowy | $\frac{\xi_1}{2\pi a} v,$ <p>gdzie $\xi_1 = 2,19$ przy $\sigma' = 0,544$; $\sigma' = \frac{\sigma + B^2}{1 - B^2}$</p> $B = s_{13} / \sqrt{s_{11} s_{33}}$ | $\frac{k_p - A k_{33}}{\sqrt{1 - A^2} \sqrt{1 - k_{33}^2}}$ $A = \sqrt{2 s_{13}^E / \sqrt{s_{33}^E (s_{11}^E + s_{12}^E)}}$ | $\sqrt{\frac{1 - B^2}{e s_{11}^E (1 - \sigma_p^E) (1 - A^2)}}$ |

równanie ruchu dla płytki z cienkimi elektrodami ma postać:

$$\frac{m}{\alpha^2} \frac{d^2 i}{dt^2} + \frac{r}{\alpha^2} \frac{di}{dt} + \frac{k}{\alpha^2} i = U_0 \omega \cos \omega t$$

$$i = \frac{dq}{dt} \quad \text{prąd płynący przez płytkę}$$

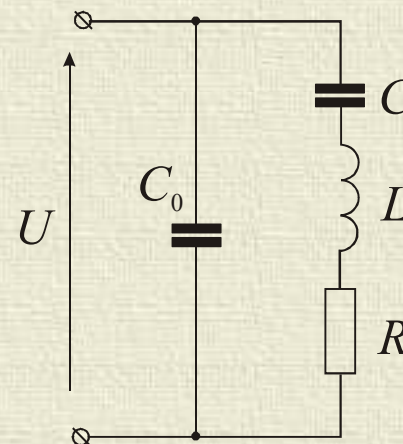
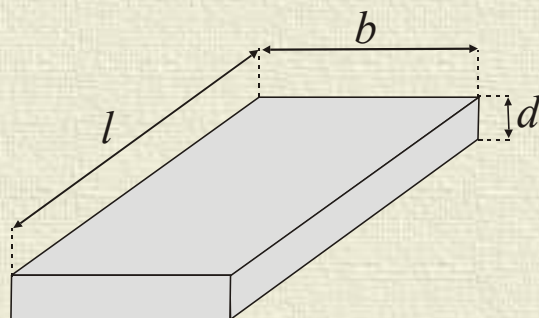
$$q = \underbrace{\alpha d_{11}}_{\text{odkształcenie}} U \quad \text{generowany ładunek, } d_{ii} \text{ moduł piezoelektryczny}$$

$$U = U_0 \sin \omega t$$

$$\alpha = \frac{F}{U} \quad \text{współczynnik przekształcenia elektromechanicznego (transdukcji)}$$

m, r, k - parametry płytki związane z masą, tłumieniem drgań oraz pojemnością elektryczną

Dla płytki piezoelektrycznej z cienkimi elektrodami metalowymi można podać następujący elektryczny schemat zastępczy:



$$\alpha \sim \frac{bl}{dd_{11}}$$

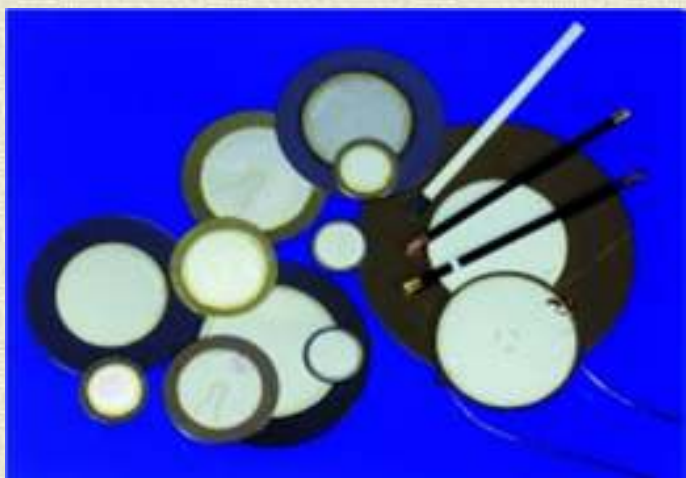
$$L = \frac{m}{\alpha^2} \quad R = \frac{r}{\alpha^2} \quad C = \frac{\alpha^2}{k}$$

Ilościową miarą skuteczności przetwornika jest współczynnik sprzężenia elektromechanicznego

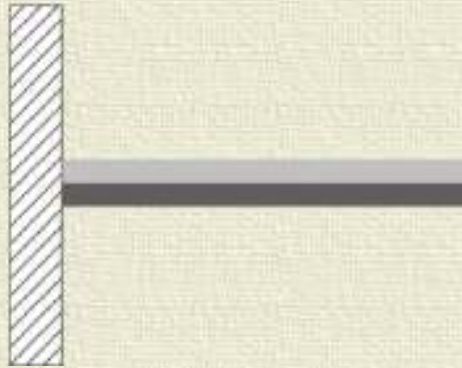
$$K = \frac{\text{energia mechaniczna}}{\text{energia elektryczna}} \quad \text{dla fal podłużnych} \quad K^l = d_{11} \sqrt{\frac{C_{11}}{\epsilon_0}}$$

ϵ_0 – przenikalność elektryczna płytki nieruchomej

Przetworniki nie muszą mieć kształtu płytek



Bimorfy



Przemieszczenie końcówki bimorfu opisuje zależność
$$\Delta L \approx \frac{3}{4} \left(\frac{l}{g} \right)^2 d_{31} E$$

l – długość bimorfu, g – grubość jednego piezoelektryka, d_{31} – składową tensora podatności piezoelektrycznej (modułem piezoelektrycznym), E amplitudą pola elektrycznego

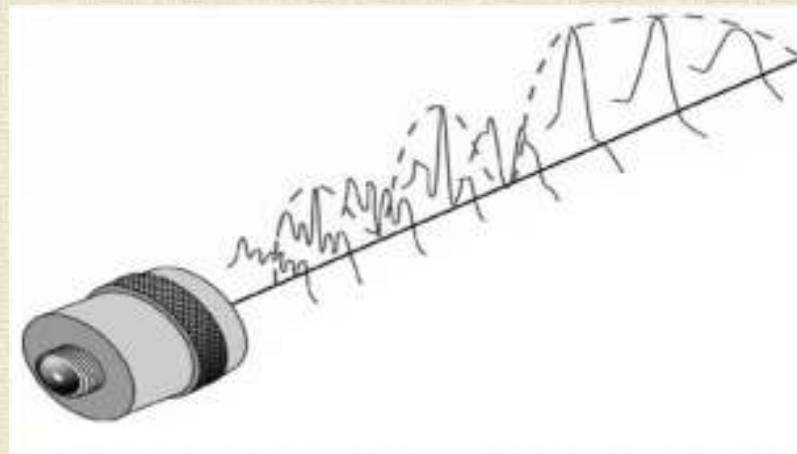
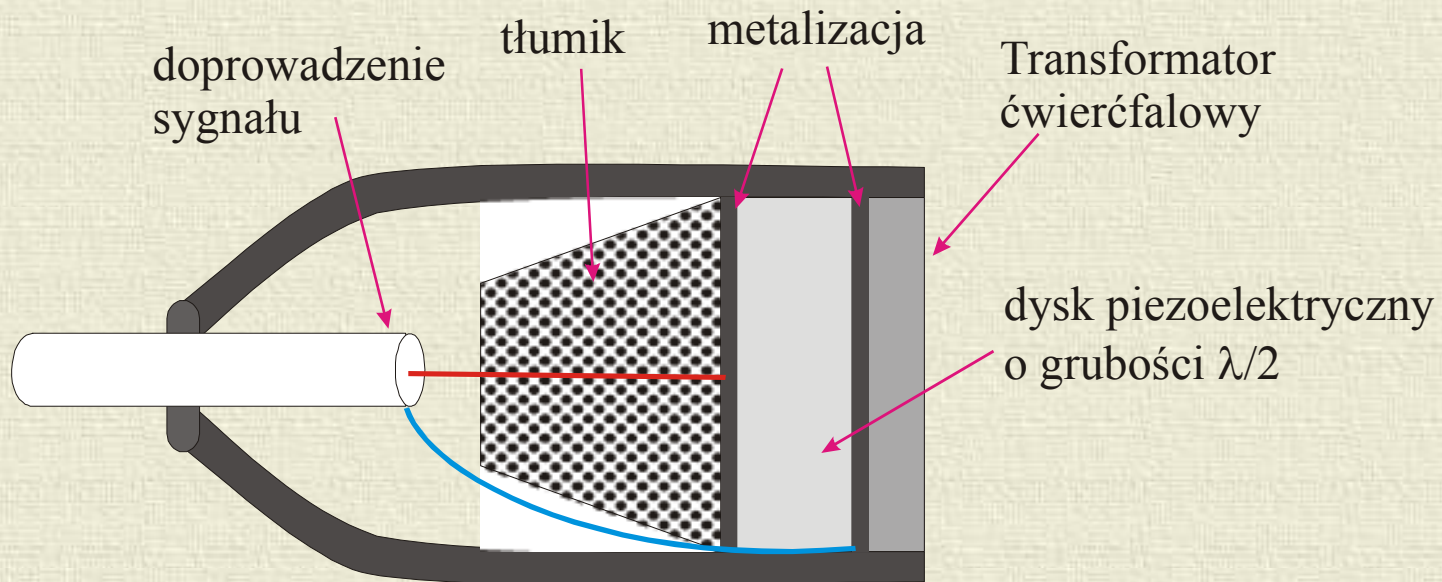
Generowana siła

$$F = \frac{2ga}{l} \frac{d_{31}}{\varepsilon_{11}^E} E$$

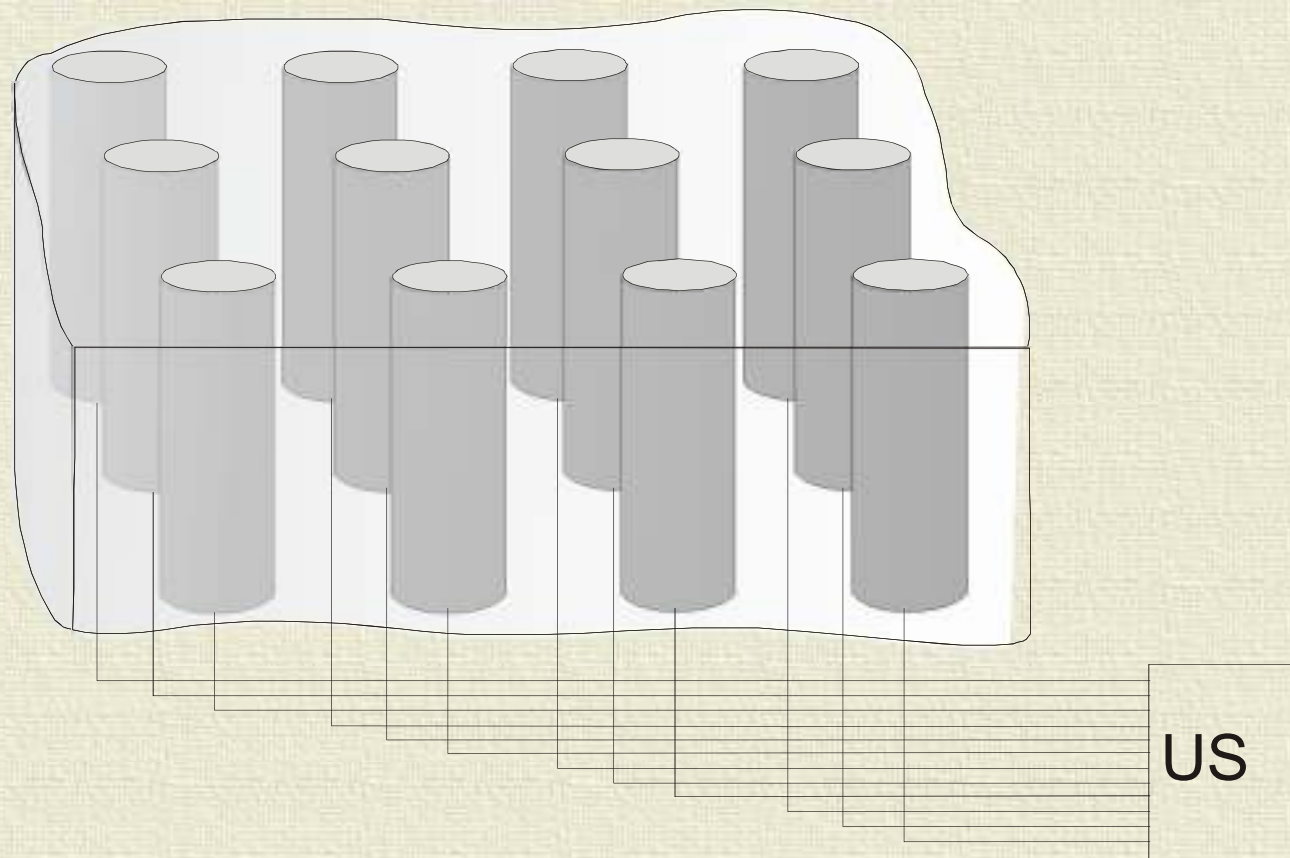
a – szerokość bimorfu

częstotliwość rezonansowa
$$f_0 \approx 0,161 \frac{2g}{l^2} \sqrt{\frac{1}{\rho \varepsilon_{11}^E}}$$

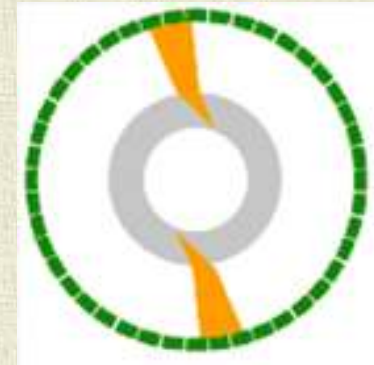
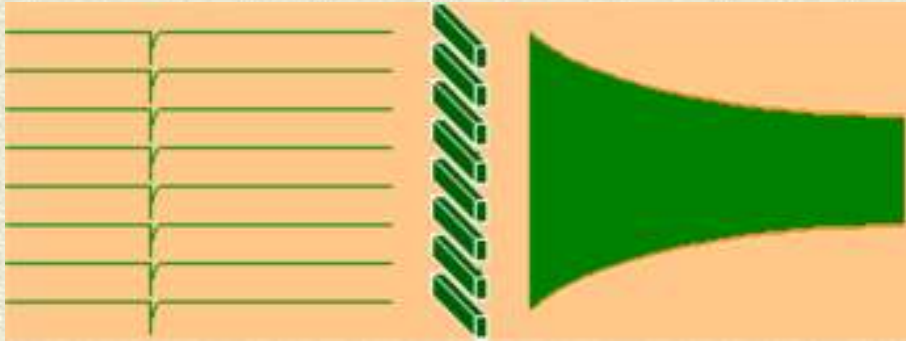
Kierunkowanie energii

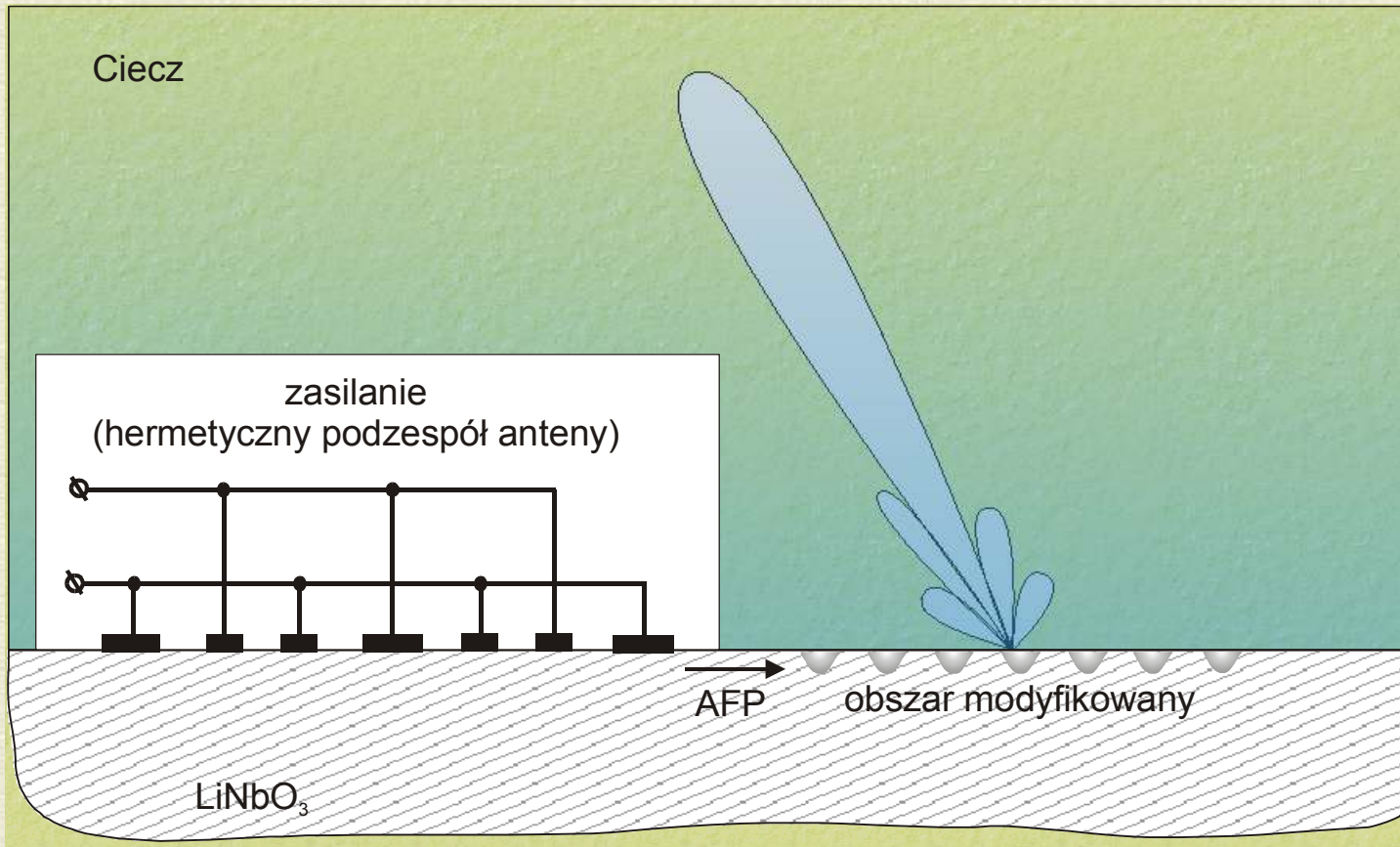


szyki fazowane



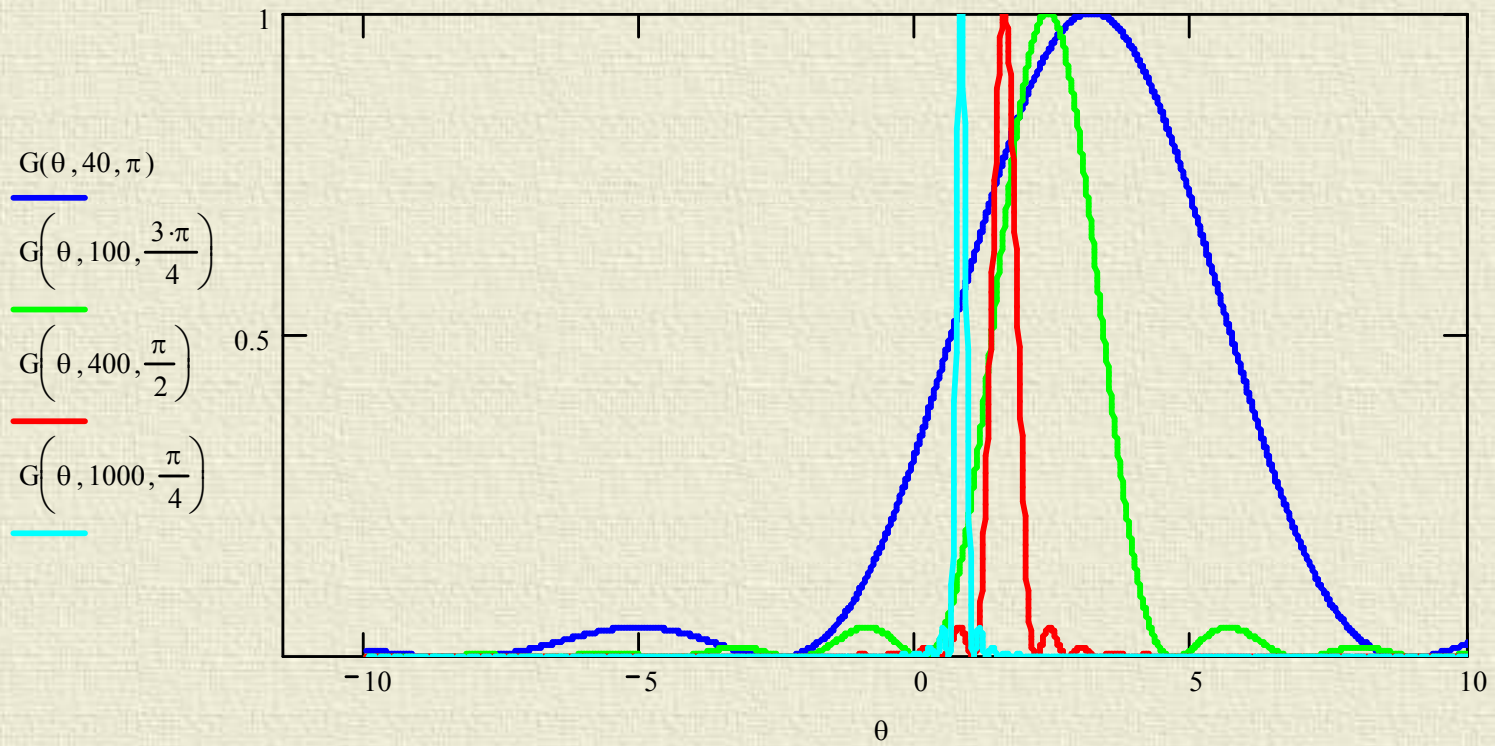
Formowanie wiązki



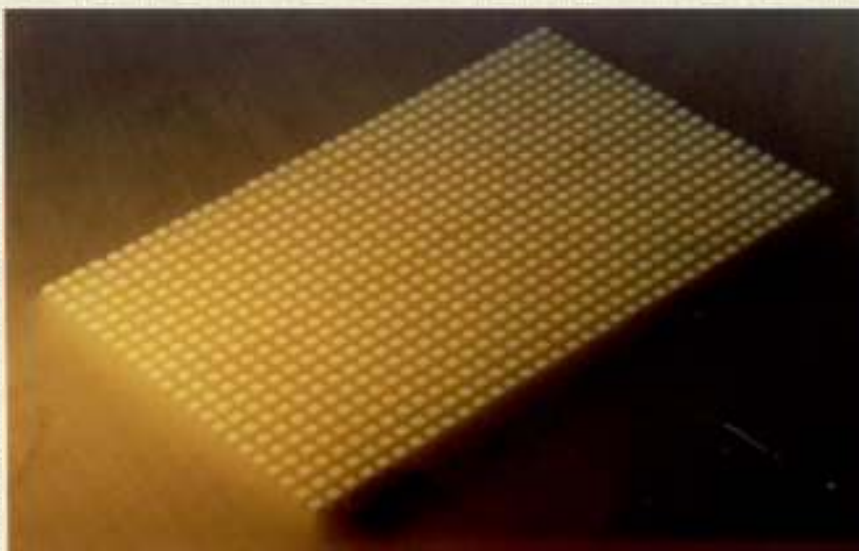
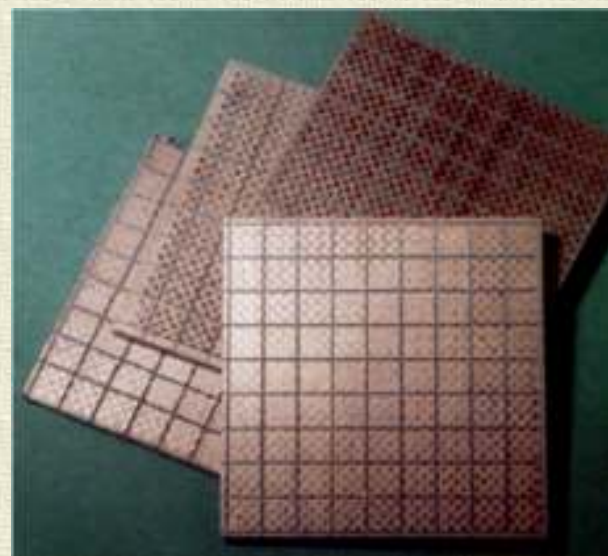
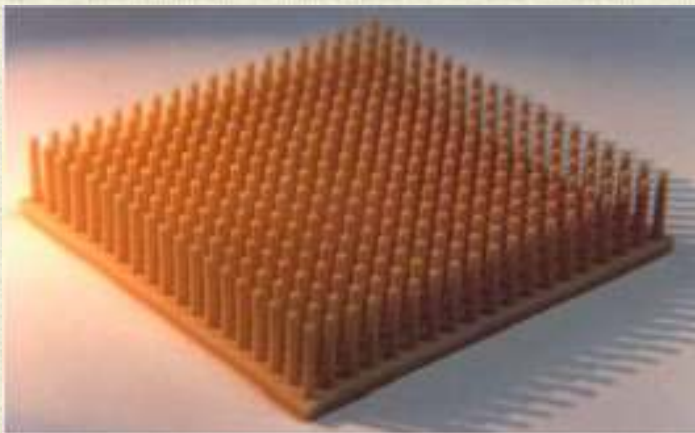




$$G(\theta, N, \theta_0) := \frac{\sin\left[N \cdot \pi \cdot \frac{\delta_{\min}}{\lambda} \cdot \left(\sin\left(\theta \cdot \frac{\pi}{180}\right) - \sin\left(\theta_0 \cdot \frac{\pi}{180}\right)\right)\right]^2}{N^2 \cdot \sin\left[\pi \cdot \frac{\delta_{\min}}{\lambda} \cdot \left(\sin\left(\theta \cdot \frac{\pi}{180}\right) - \sin\left(\theta_0 \cdot \frac{\pi}{180}\right)\right)\right]^2}$$



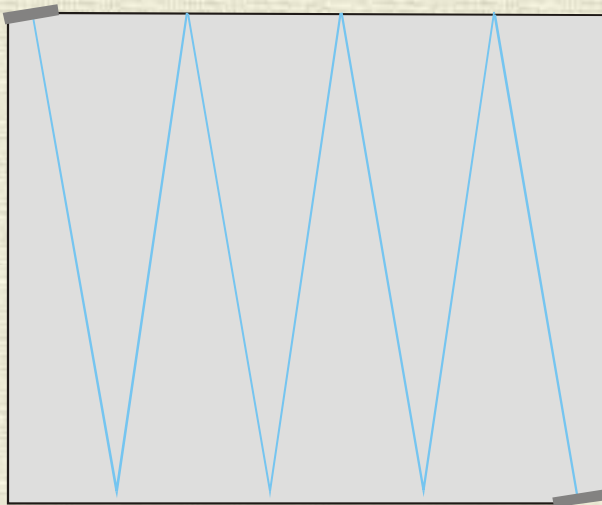
szyby przetworników



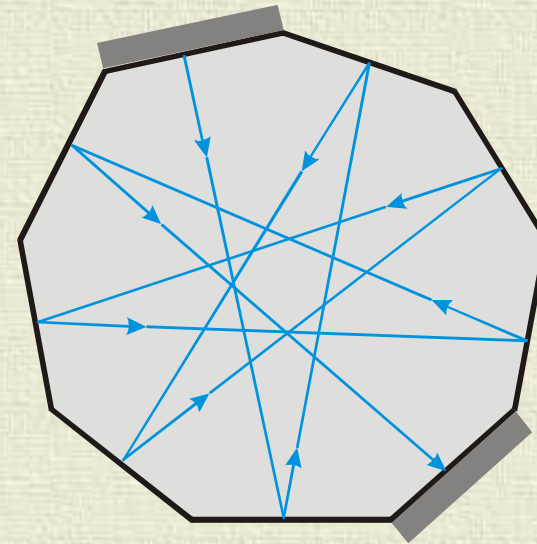
Układy akustoelektroniczne z falą objętościową.

Linie opóźniające

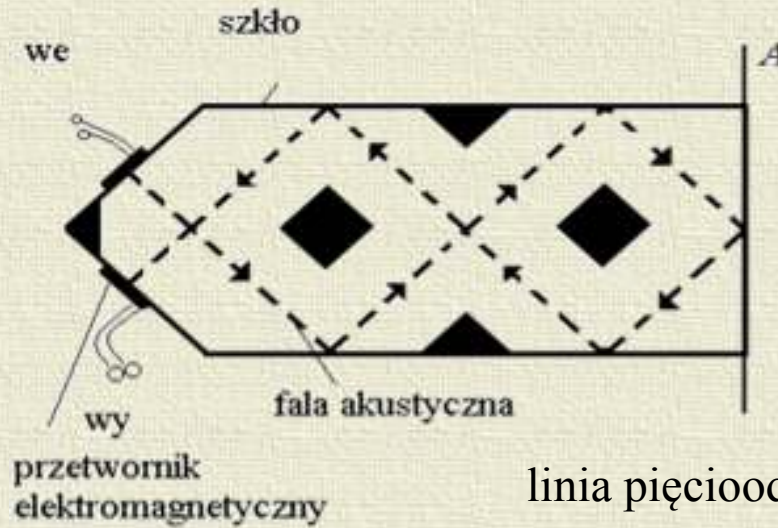
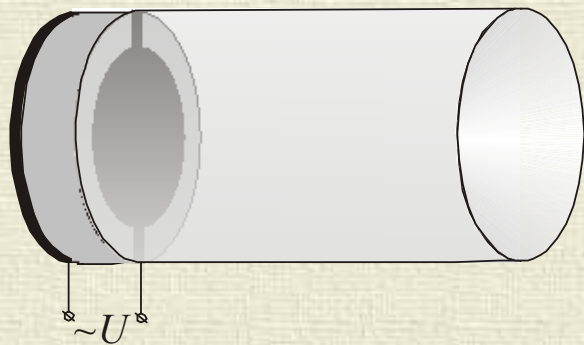
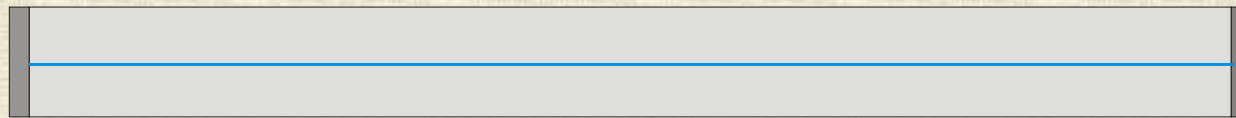
64 μs



120 μs

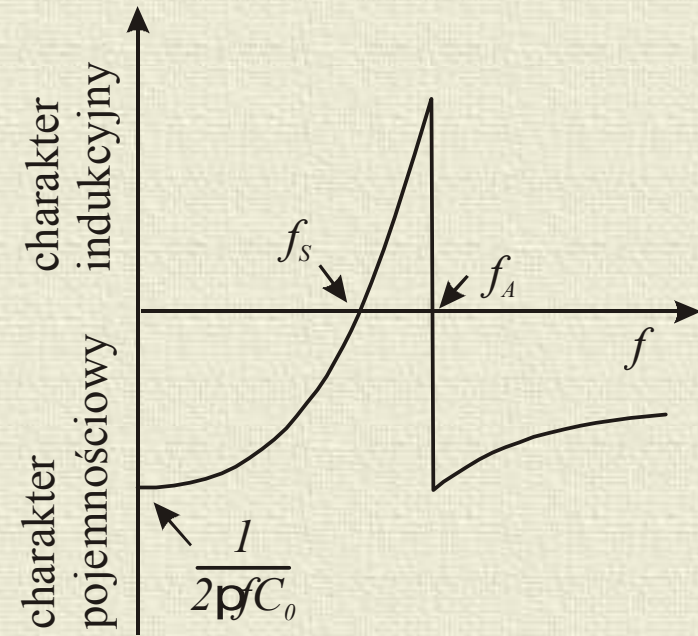
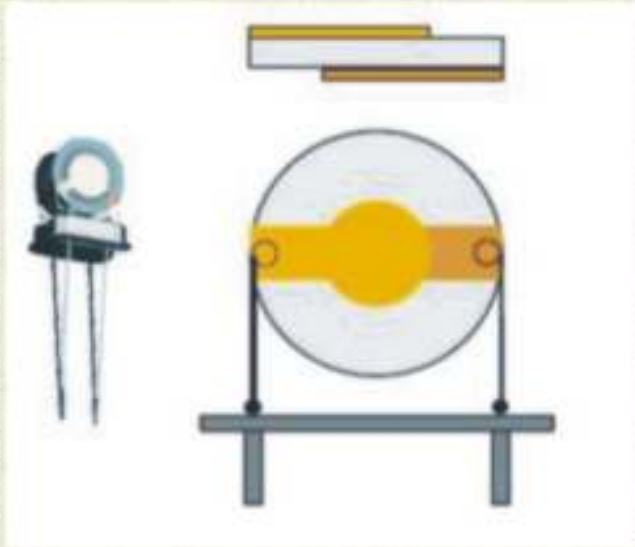
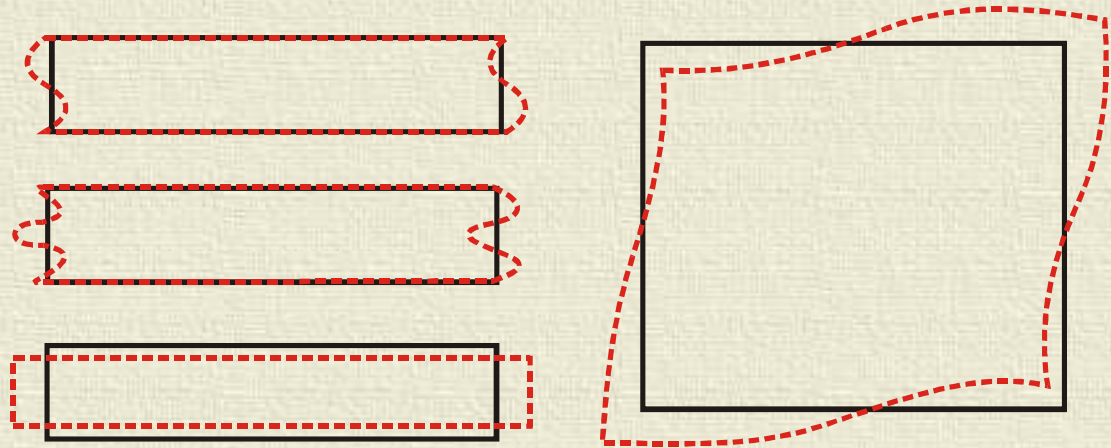


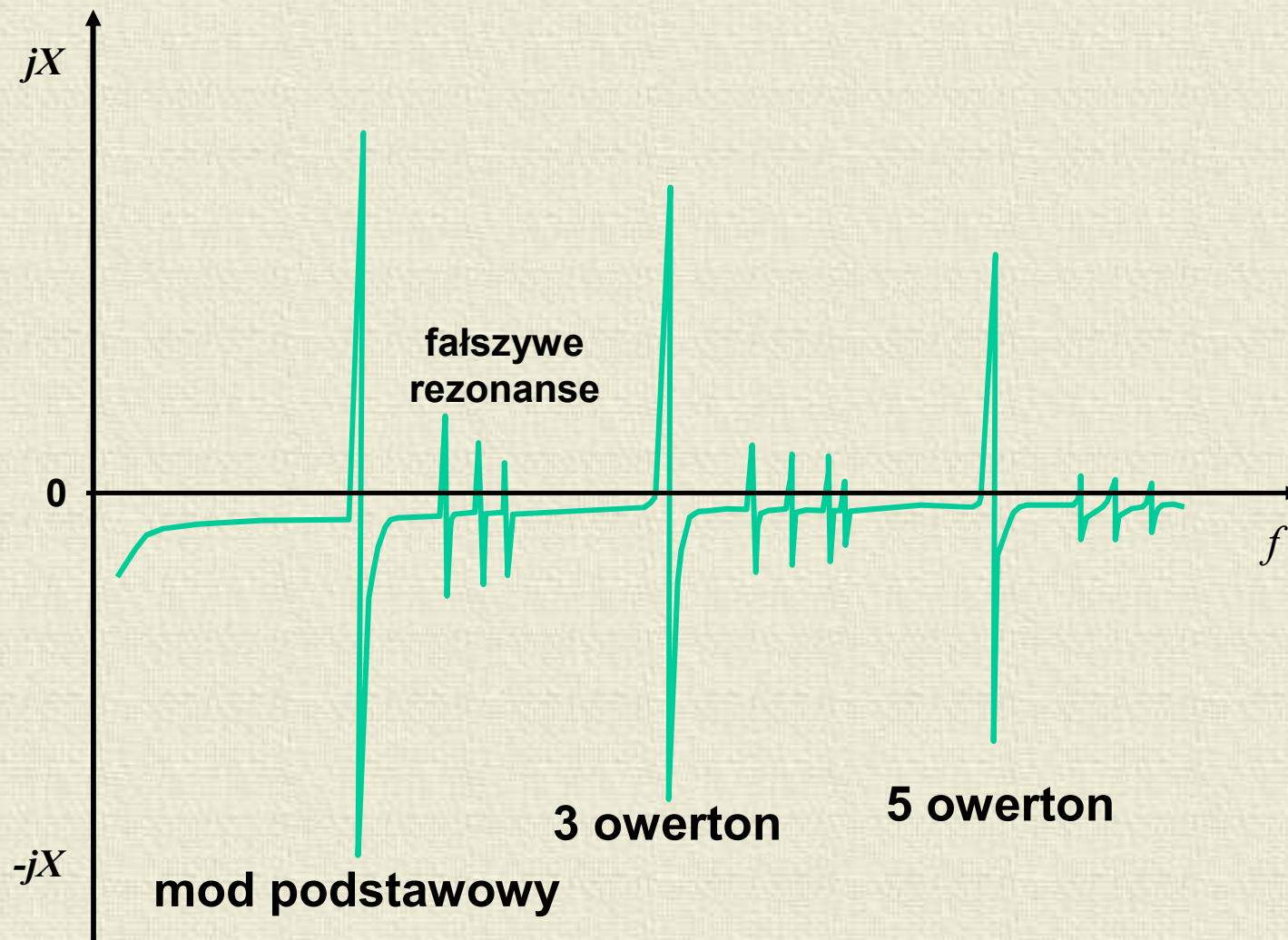
0,7 μs

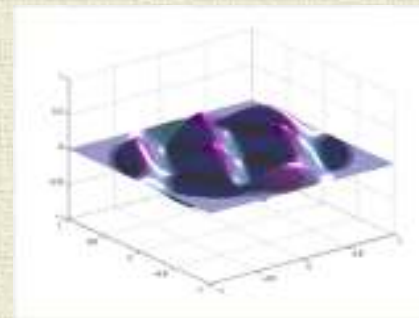
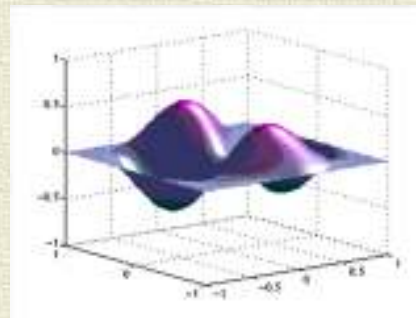
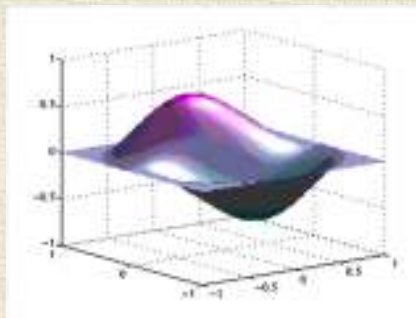
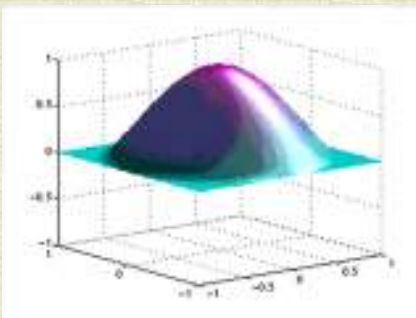
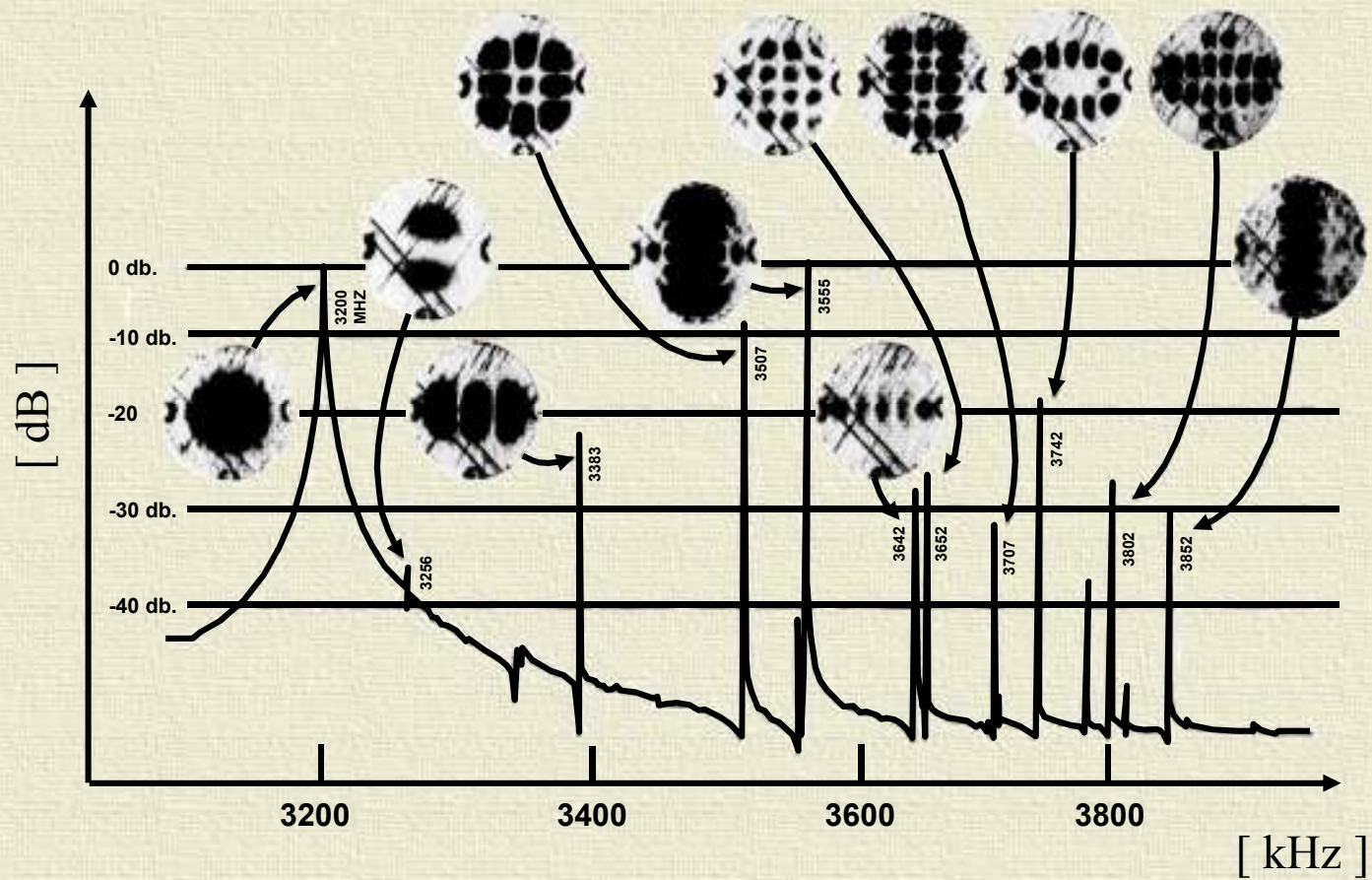


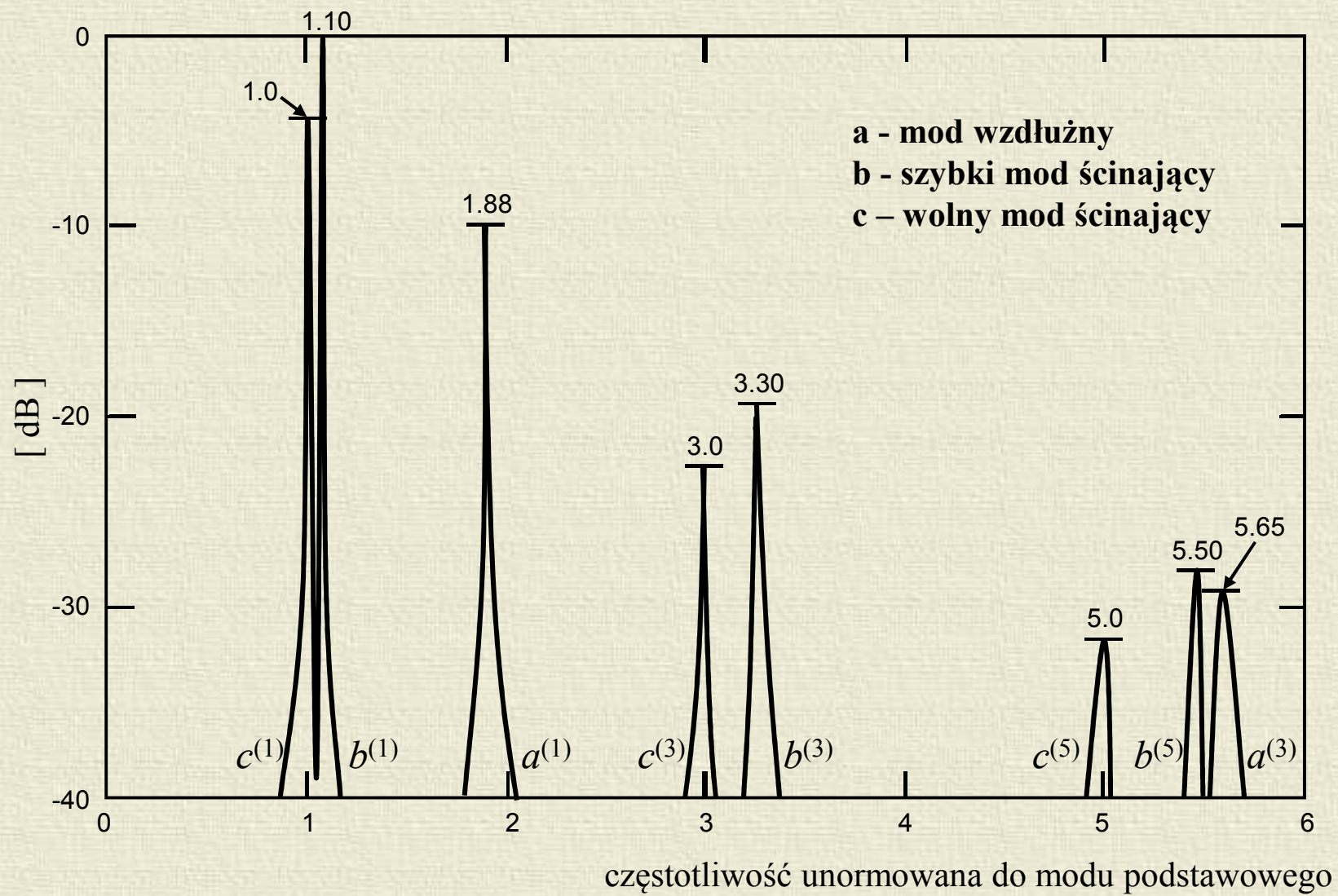
linia pięcioodbićowa

Rezonatory









Cienka płytki – drgania ścinające

Częstotliwość rezonansowa

$$f_n = \frac{n}{2h} \sqrt{\frac{C_{ij}}{\rho}}, \quad n = 1, 3, 5...$$

f_n częstotliwość n-tego owertonu

h grubość płytki rezonansowej

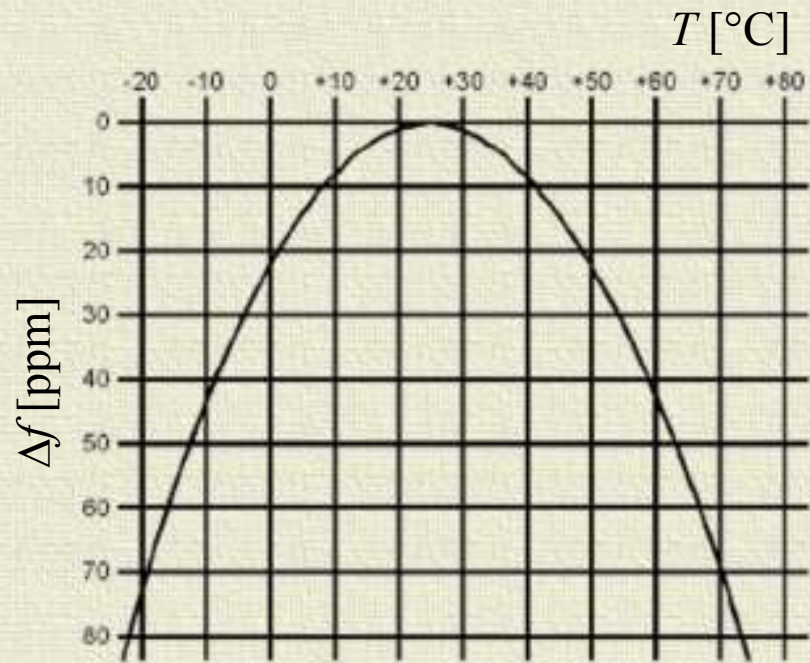
ρ gęstość piezoelektryka

C_{ij} tensor stałych sprężystych

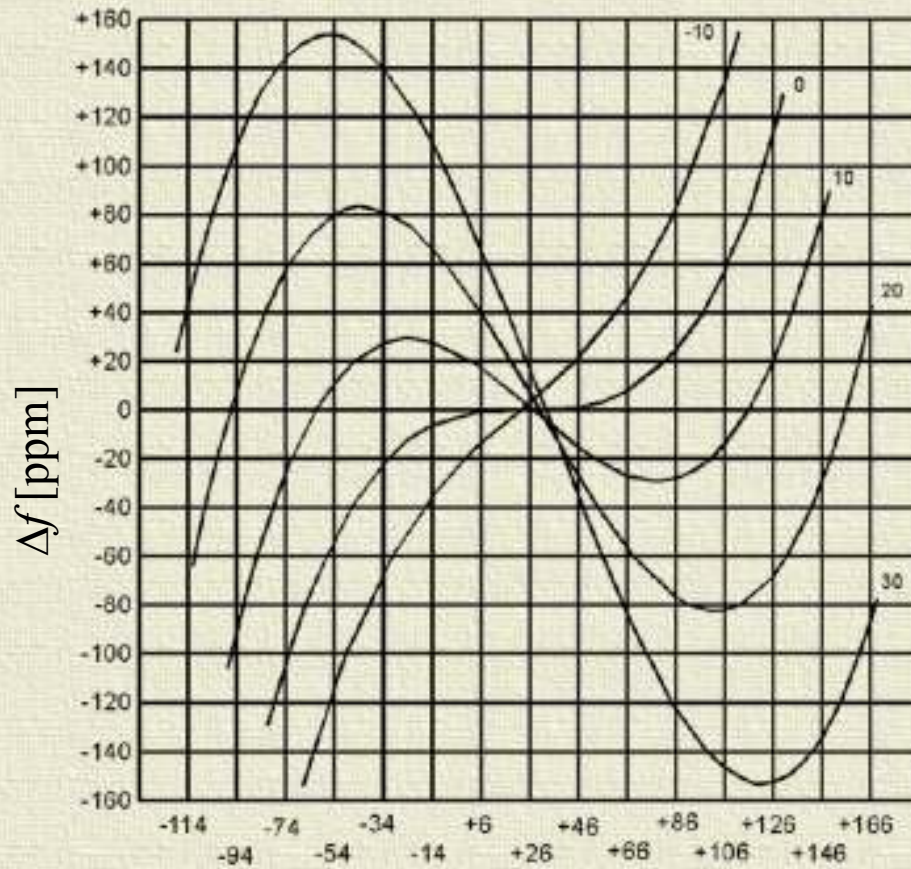
Liniowy współczynnik temperaturowy

$$T_f = \frac{d(\log f_n)}{dT} = \frac{1}{f_n} \frac{df_n}{dT} = \frac{-1}{h} \frac{dh}{dT} - \frac{1}{2\rho} \frac{d\rho}{dT} + \frac{1}{2c_{ij}} \frac{dc_{ij}}{dT}$$

Zależności temperaturowe



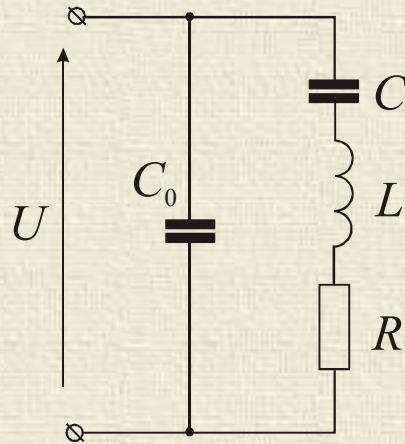
cięcie AT -10° do AT + 30°



T [°C]

| material | cięcie | kierunek propagacji | prędkość fali Rayleigha [m/s] | współczynnik sprężenia elektromech. [%] | współczynnik temperaturowy [$10^{-6}/K$] | względna przenikalność elektryczna |
|---|---------------|---------------------|-------------------------------|---|--|------------------------------------|
| kwarec | 42,75° Y (ST) | X | 3175 | 0,16 | 0 | 4,5 |
| kwarec | - 75° Y | X | 3960 | 0,11 | 9 | 4,5 |
| LiNbO ₃ | Y | Z | 3488 | 4,82 | -94 | 36,7 |
| LiNbO ₃ | 128° Y | X | 4000 | 5,56 | -74 | 39,1 |
| LiNbO ₃ | 64° Y | X | 4742 | 11,3 | -79 | 37,1 |
| LiTaO ₃ | X | 112° Y | 3295 | 0,64 | -18 | 44,0 |
| LiTaO ₃ | 36° Y | X | 4178 | 4,8 | -33 | 48,3 |
| Li ₂ B ₄ O ₇ | 45° X | Z | 3401 | 1,0 | 0 | 9,6 |
| <u>polikryst. ZnO</u> na szkle | - | - | 2576 | 1,4 | -11 | 10,8 |
| <u>kryst. ZnO</u> na szafirze | - | - | 5500 | 3,4 | -7 | 10 |
| <u>Pb(Sn_{1/2}Sb_{1/2})O₃</u> <u>+PbTiO₃+PbZrO₃</u> | - | - | 2420 | 2,4 | -38 | 270 |
| <u>0,1Pb(Mn_{1/3}Nb_{2/3})O₃</u> <u>+0,9Pb(Zr_{0,74}Ti_{0,26})O₃</u> | - | - | 2430 | 2,9 | -17 | 460 |

Schemat zastępczy



$$C_0 \cong \varepsilon \frac{A}{h} \quad r = \frac{C_0}{C}$$

$$f_s = \frac{1}{2\pi} \sqrt{\frac{1}{LC}}$$

$$f_a - f_s \approx \frac{f_s}{2r} \quad Q = \frac{1}{2\pi f_s RC}$$

$$\varphi = \frac{\omega L - \frac{1}{\omega C}}{R}$$

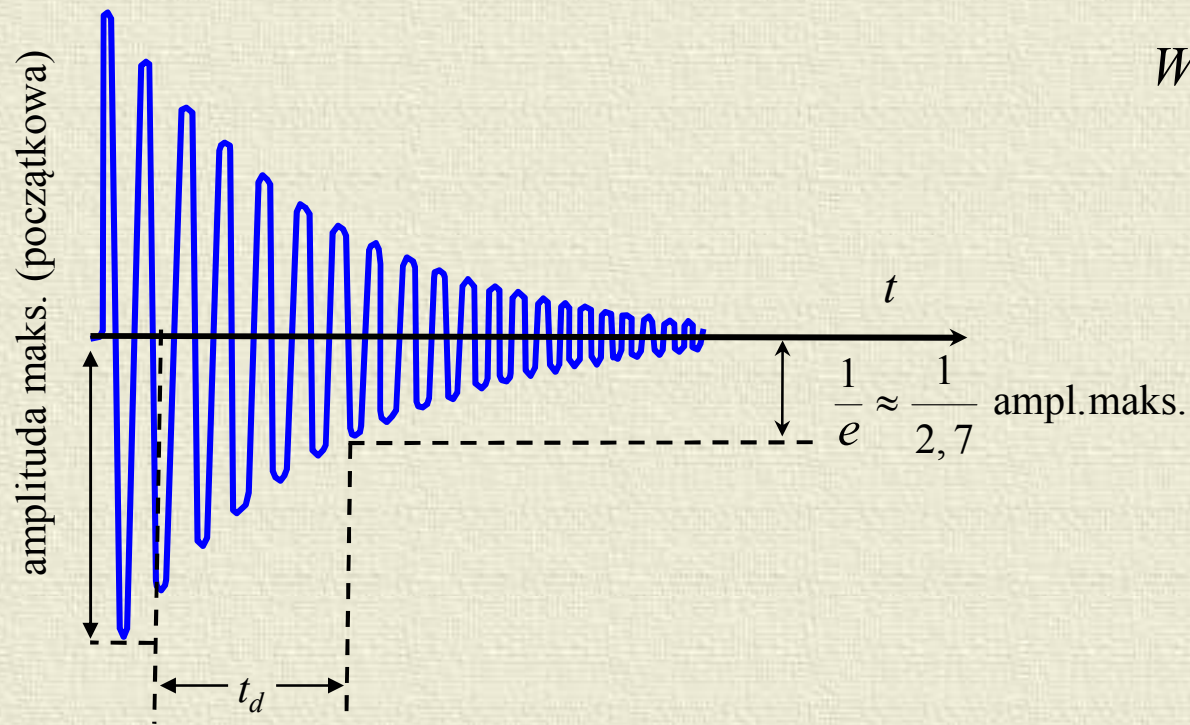
$$\tau = RC \approx 10^{-14} \text{ s}$$

$$\frac{d\varphi}{df} \cong \frac{360}{\pi} \frac{Q}{f_s}$$

$$C_n \approx \frac{r' C_{11}}{n^3} \quad L_n \approx \frac{n^3 L_{11}}{r'^3} \quad R_n \approx \frac{n^3 R_{11}}{r'} \quad r' = \frac{f_1}{f_n} \quad 2r = \left(\frac{\pi n}{2K} \right)^2$$

- n nr owertonu
- C_n C na n -tym owertonie
- L_n L na n -tym owertonie
- R_n R na n -tym owertonie
- ε przenikalność elektryczna
dla kwarcu $\approx 40 \text{ pF/m}$
- A powierzchnia elektrod
- h grubość płytki
- r współczynnik pojemnościowy
- f_s częstotliwość rezonansu szeregowego
- f_a częstotliwość antyrezonansu
- Q dobroć
- τ opóźnienie grupowe
- φ przesunięcie fazy
- K współczynnik sprzężenia elektromech.

Dobroć

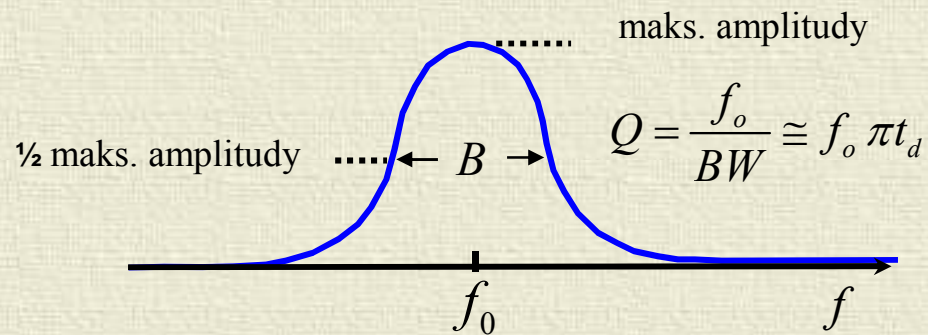


$$W(t) = W_0 \exp\left(-\frac{\omega_0 t}{Q}\right)$$

moc tracona w jedn. czasu

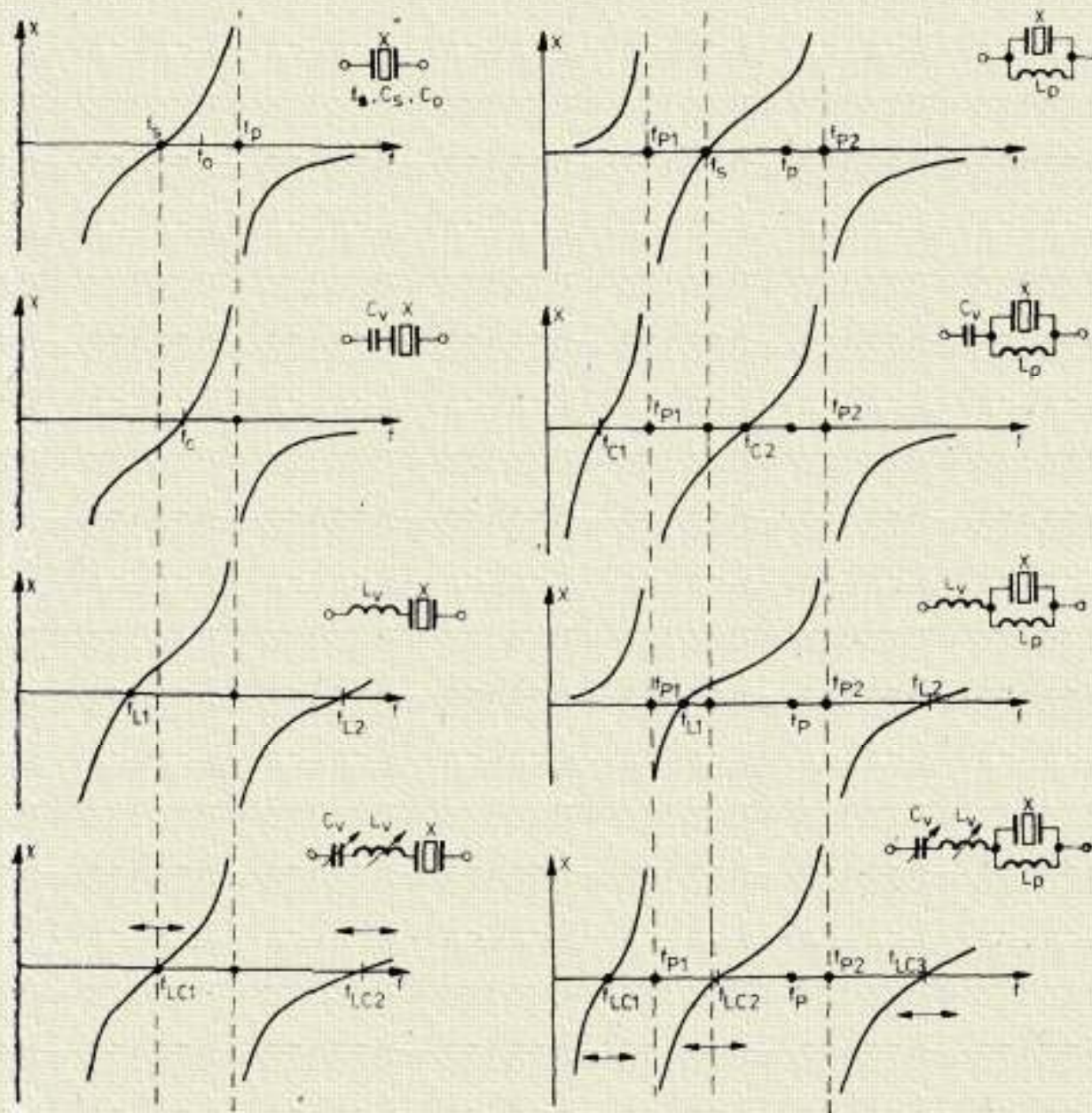
$$P = -\frac{dW}{dt}$$

$$Q = \omega_0 \frac{W_0}{P}$$



$$B \cong \frac{1}{\pi t_d}$$

Przeciąganie rezonatorów



Oscylatory stabilizowane kwarcowo

XO - Crystal Oscillator

VCXO - Voltage Controlled Crystal Oscillator

OCXO - Oven Controlled Crystal Oscillator

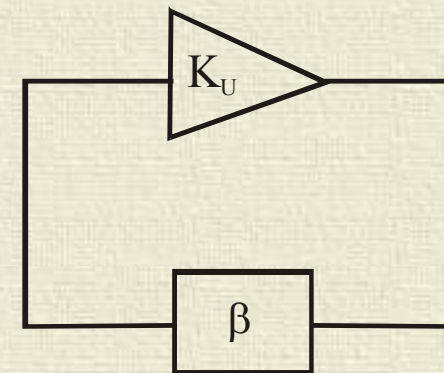
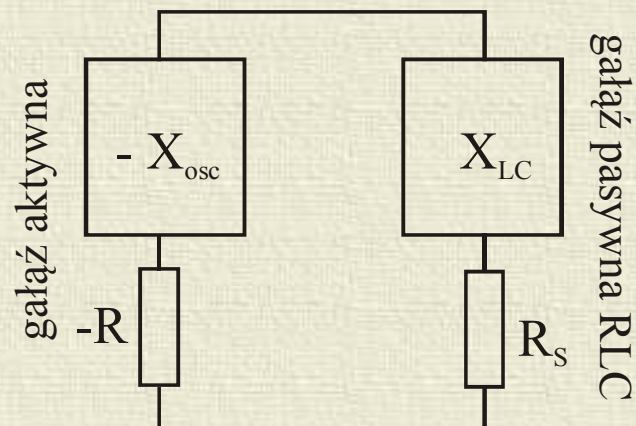
TCXO - Temperature Compensated Crystal Oscillator

TCVCXO - Temperature Compensated/Voltage Controlled Crystal Oscillator

OCVCXO - Oven Controlled/Voltage Controlled Crystal Oscillator

MCXO - Microcomputer Compensated Crystal Oscillator

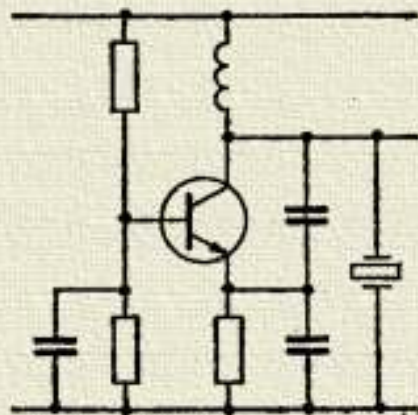
RbXO - Rubidium-Crystal Oscillator



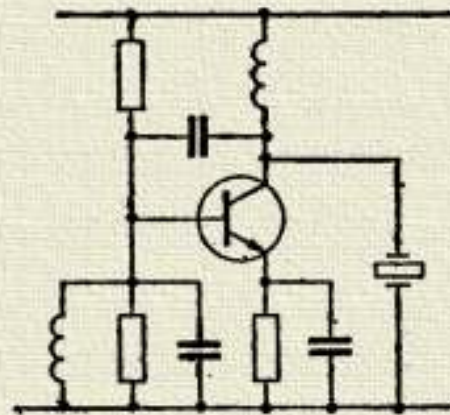
Warunki oscylacji!

Układy podstawowe

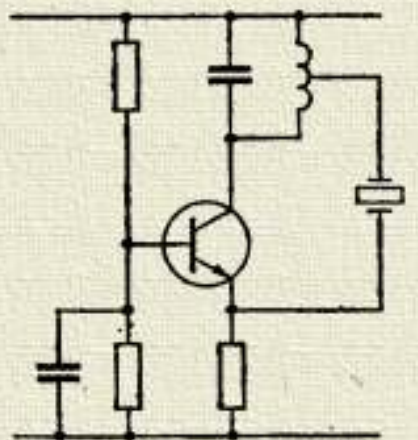
Colpittsa



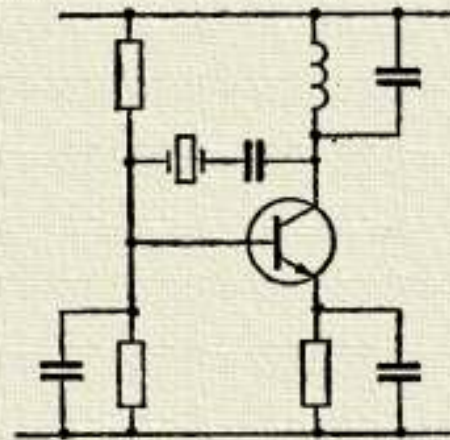
rezonansowy



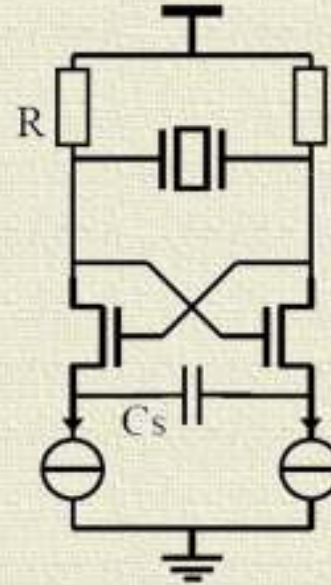
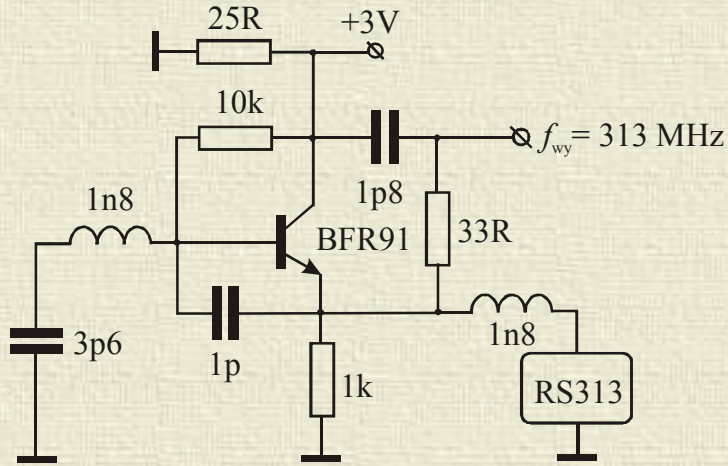
Hartleya



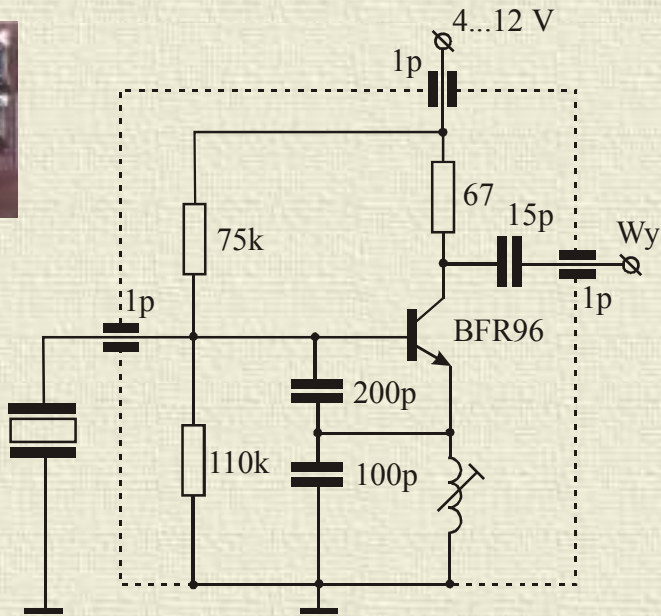
Pierce'a



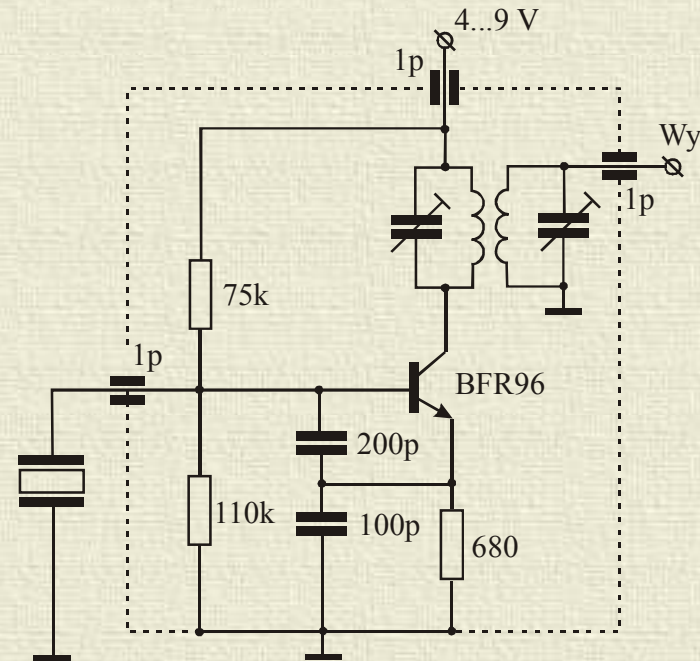
Układy pomysłowe



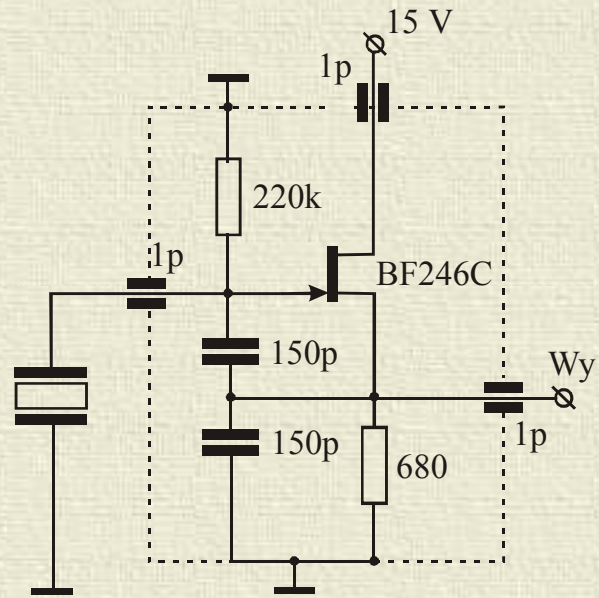
układ dla FPGA



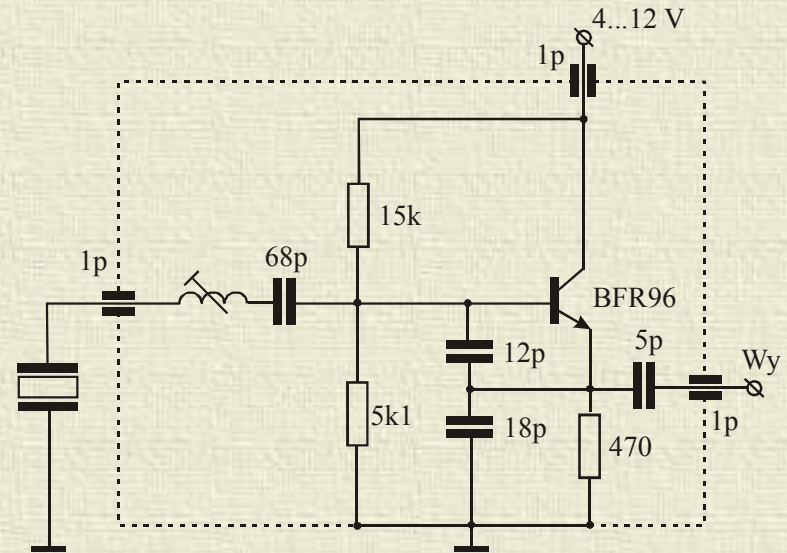
układ dla rezonatorów trudnowzbudnych



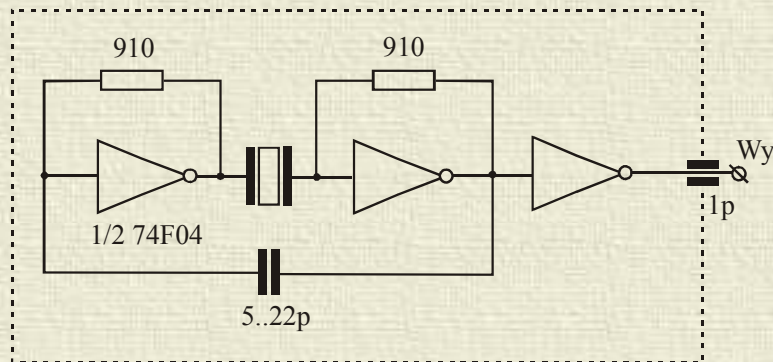
układ z powielaniem częstotliwości



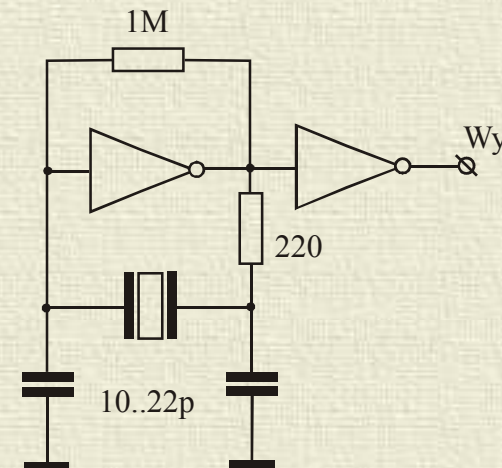
układ z tranzystorem polowym



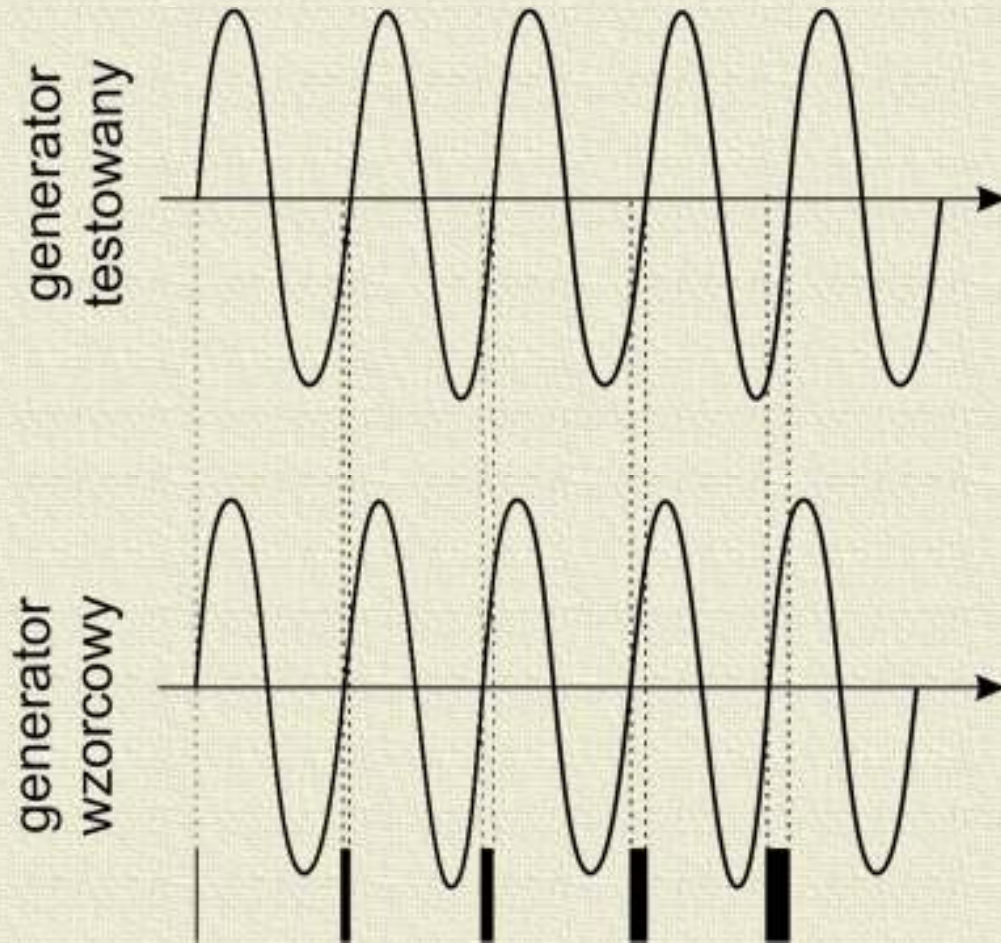
układ owertonowy



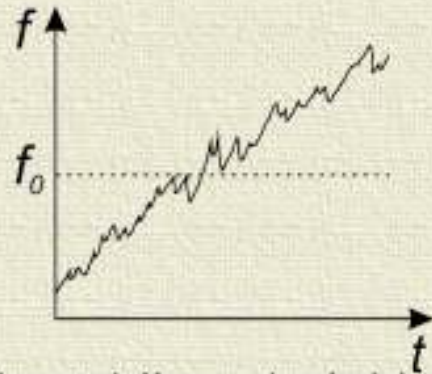
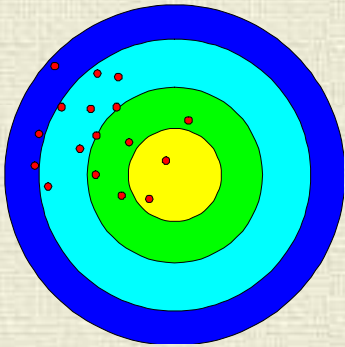
układy na bramkach logicznych



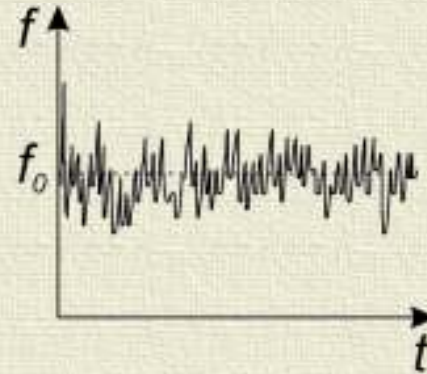
Stabilność częstotliwościowa oscylatorów



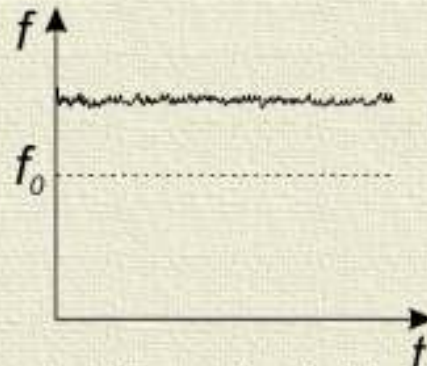
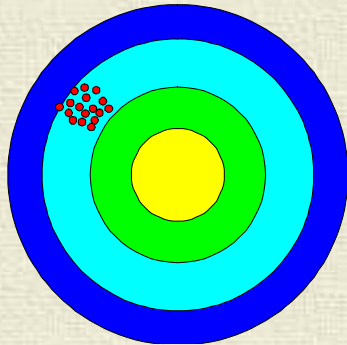
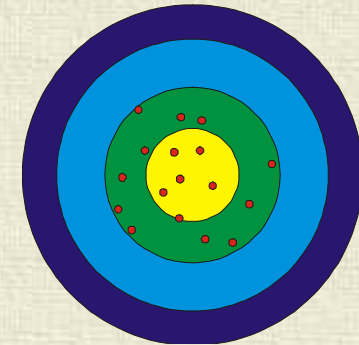
Typy oscylatorów



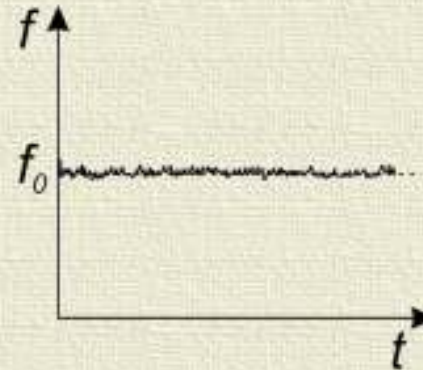
niestabilny niedokładny



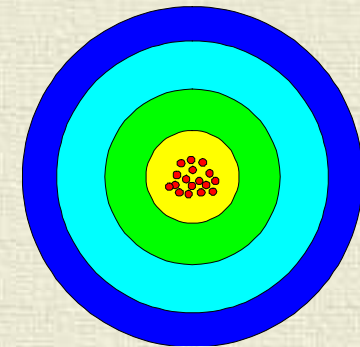
niestabilny dokładny



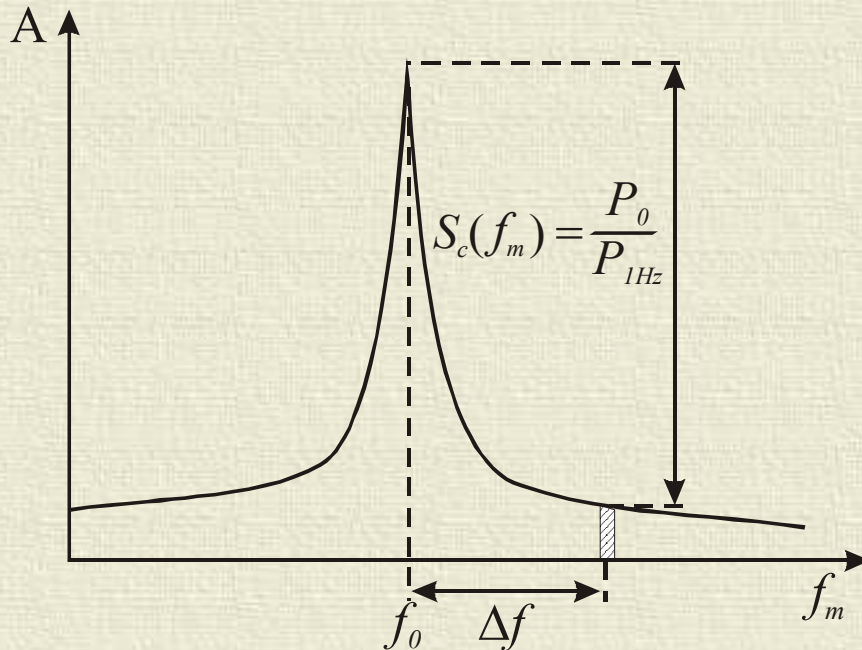
stabilny niedokładny



stabilny dokładny

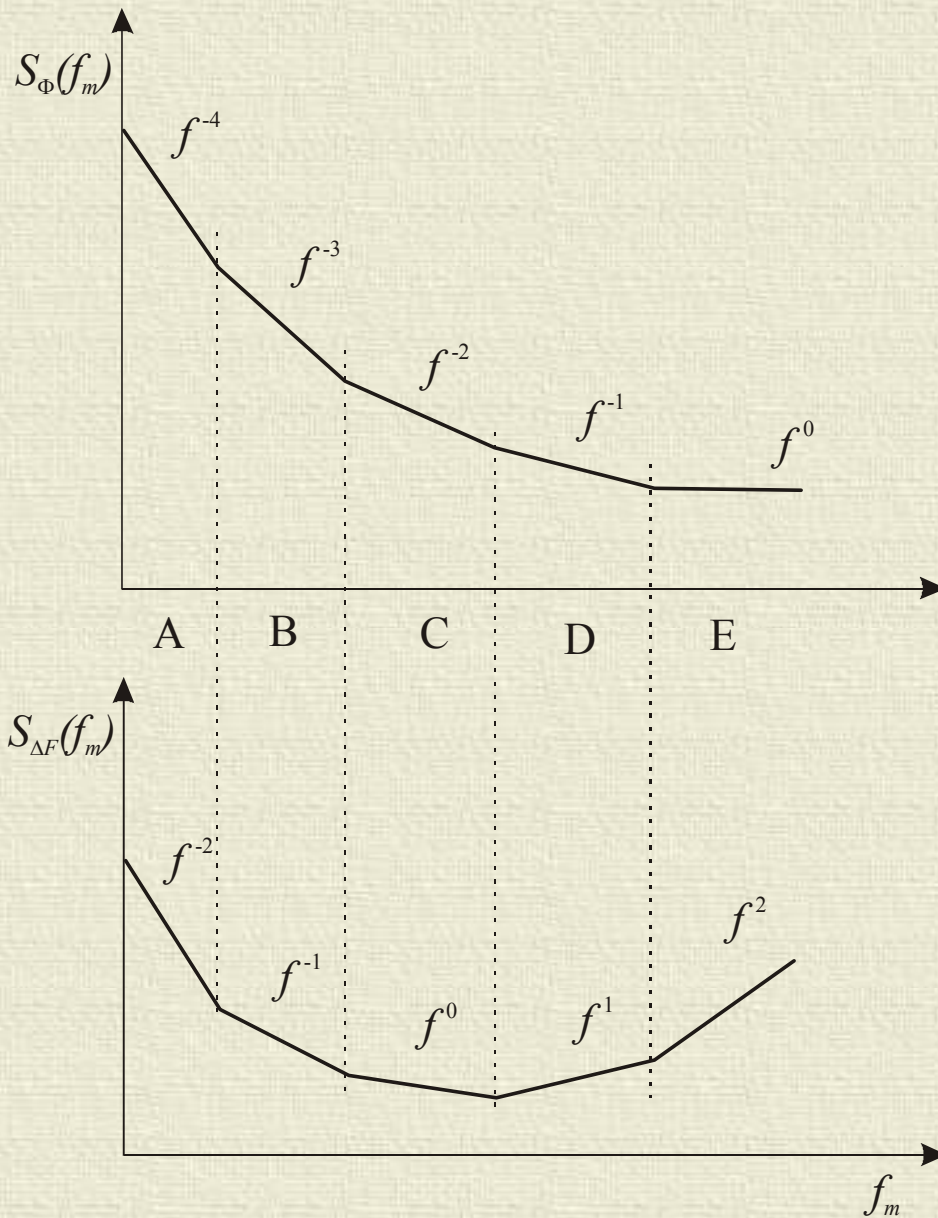


Zgodnie ze standardem przyjętym przez amerykański Krajowy Instytut Normalizacji i Techniki (National Institute of Standards and Technology) jednostronny szum fazowy jest definiowany poprzez stosunek całkowitej gęstości mocy sygnału P_0 do gęstości mocy przypadającej na 1 Hz połowy pasma z dala od nośnej P_{1Hz} .



$$S_c(f_m) = \left(\frac{\Delta f}{2f_m} \right)^2 = \frac{1}{2} S_\Phi(f_m) \approx \frac{S_{\Delta F}(f)}{2f_m^2}$$

Tak zdefiniowany szum można wyrazić też poprzez dewiację częstotliwości oraz częstotliwościową $S_{\Delta F}(f_m)$ i fazową $S_\Phi(f_m)$ gęstość spektralną



- A – szum swobodnego błędzenia (random walk frequency) powodowany czynnikami zewnętrznymi takimi jak zmiany temperatury, wibracje, zmiany wilgotności itp.
- B – szum migotania częstotliwości, (flicker frequency) pochodzący od rezonatora lub wzmacniacza
- C – szerokopasmowy częstotliwościowy szum biały (white frequency) zależny od dobroci rezonatora
- D – szum migotania fazy (flicker phase) pochodzący od wzmacniacza i elementów pętli sprzężenia
- E – szerokopasmowy szum biały (white phase) generowany w zasadzie przez wszystkie elementy układu.

Prawa strona łamanej $S_{\Phi}(f_m)$ opisywana jest często modelem Leeson

$$L(f_m) = 10 \log(S_{\Phi}(f_m)/2)$$

$$L(f_m) = 10 \log \left\{ \frac{FkTB}{2P} \left[\frac{1}{f_m^3} \frac{f_0^2 f_{1/f}}{4Q_L^2} + \frac{1}{f_m^2} \frac{f_0^2}{Q_L^2} + \frac{f_{1/f}}{f_m} + 1 \right] \right\}$$

F - współczynnik szumów elementu aktywnego

k - stała Boltzmann

T - temperatura bezwzględna

B - pasmo rezonatora

P - średnia moc gromadzona w rezonatorze

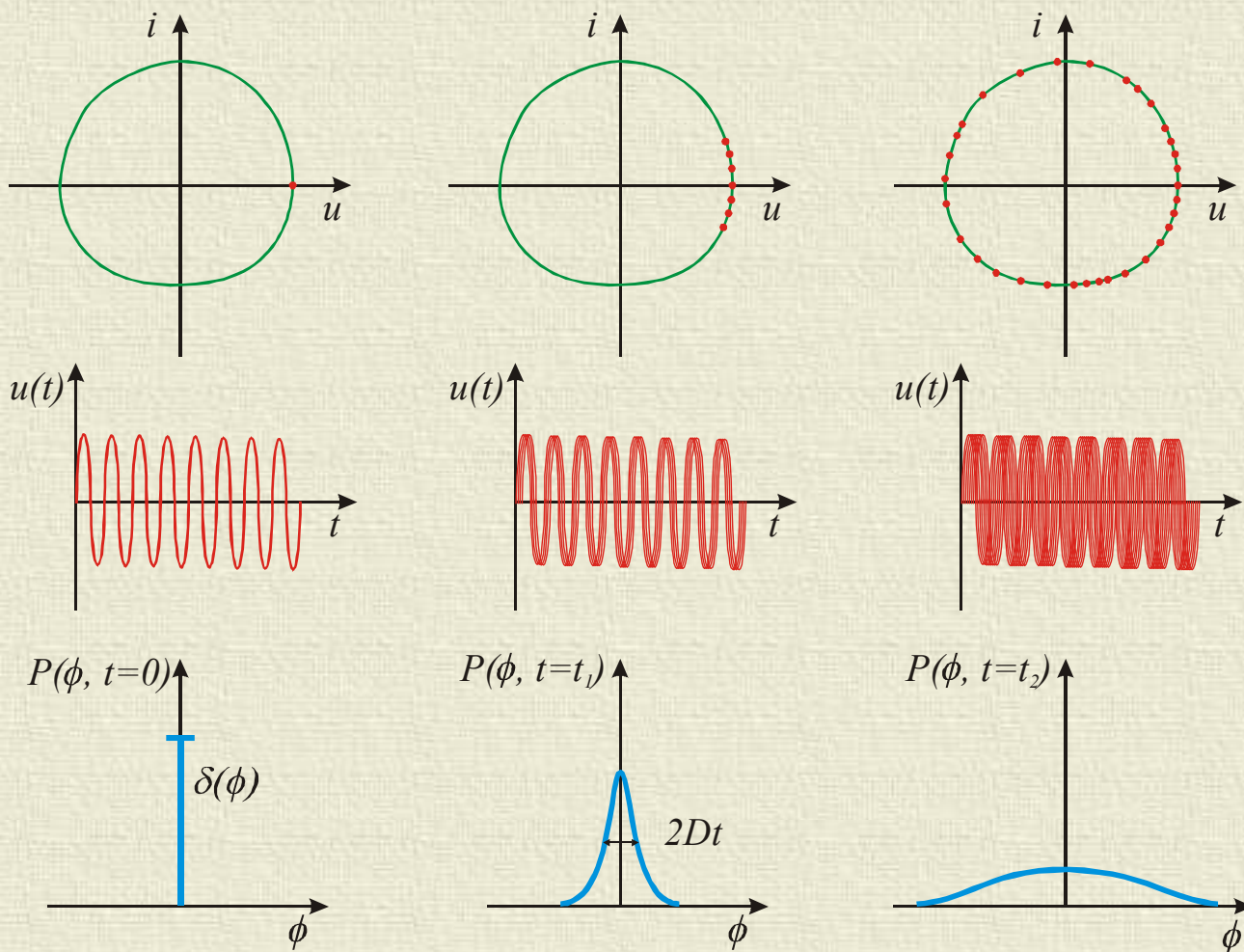
f_0 - częstotliwość rezonansowa

f_m - dewiacja częstotliwości rezonansowej

$f_{1/f}$ - dewiacja częstotliwości rozgraniczającą odcinki B i C krzywej $S_{\Phi}(f_m)$

Q_L - całkowita dobroć rezonatora

Równoważny opis daje także zastosowanie pojęcia dyfuzji fazy w oscylatorze



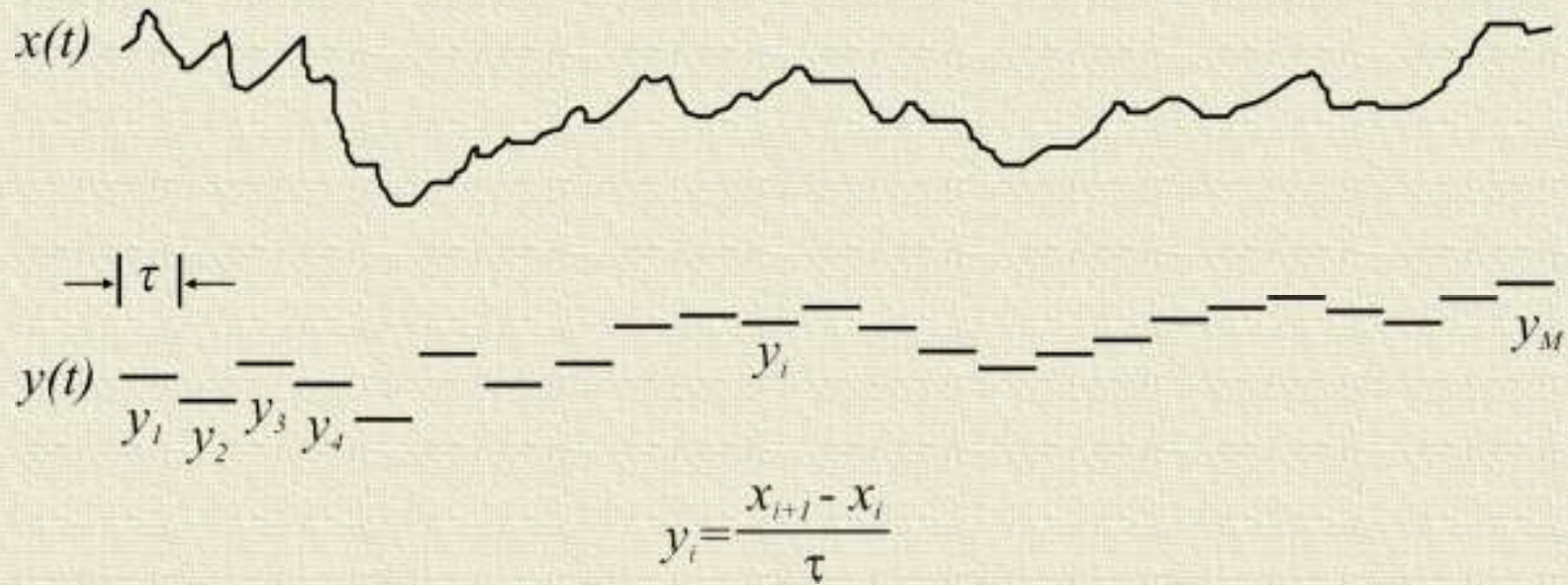
Za pomocą dyfuzji fazy można wyrazić zarówno częstotliwościową jak i fazową gęstość spektralną, a także tzw. łamaną Leeson

$$L(f) = \frac{2D}{\omega^2 + D^2} \quad \text{dla } \omega \gg D \quad L(f) = \frac{2D}{\omega^2}$$

Warunek ten dla oscylatorów o dostatecznie wysokiej częstotliwości pracy i małych szumach fazowych jest zawsze spełniony.

Dla oscylatora pracującego z częstotliwością powyżej kilkudziesięciu MHz i charakteryzującego się szumami rzędu -120 dB/Hz dyfuzja fazy nie przekracza 6 Hz.

Pomiar stabilności oscylatorów



odchylenie standardowe

$$\sigma_{OSy}(\tau) = \sqrt{\frac{1}{M-1} \sum_{i=1}^M (y_i - \bar{y})^2}$$

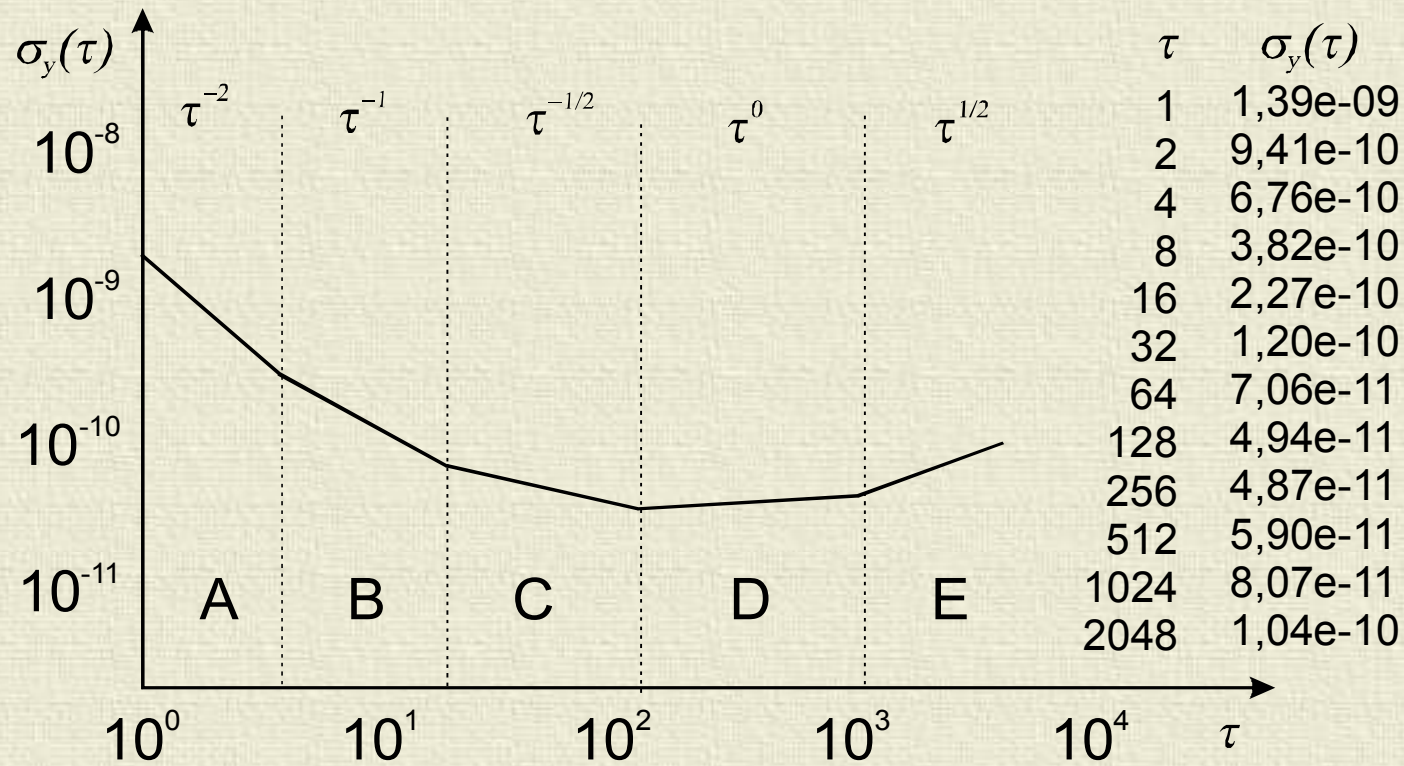
dewiacja Allana

$$\sigma_y(1\tau) = \sqrt{\frac{1}{2(M-1)} \sum_{i=1}^{M-1} (y_{i+1} - y_i)^2}$$

$$\sigma_y(m\tau) = \sqrt{\frac{1}{2(M-2m)m^2\tau^2} \sum_{i=1}^{M-2m} (-x_{i+2m} + 2x_{i+m} - x_i)^2}$$

gdzie:

$$x_{i+l} = x_i + \tau \sum_{j=i}^l y_j$$



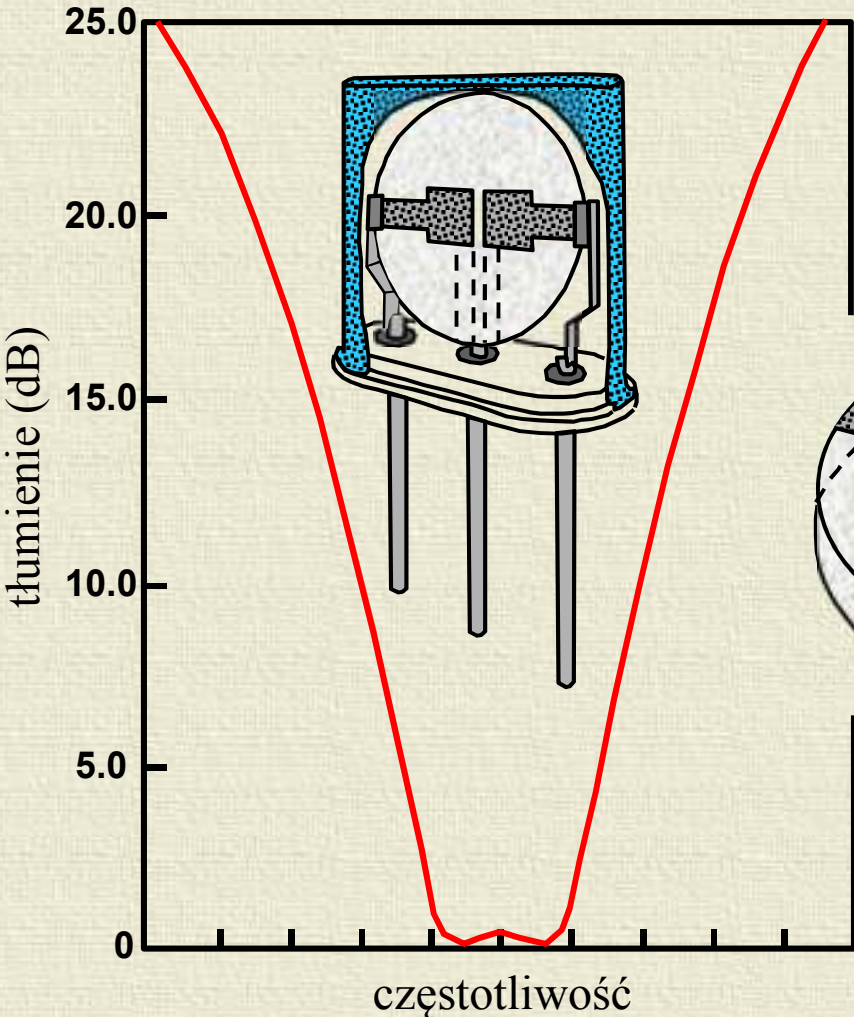
dewiacja Allana

Porównanie wybranych typów oscylatorów kwarcowych ze wzorcem wodorowym

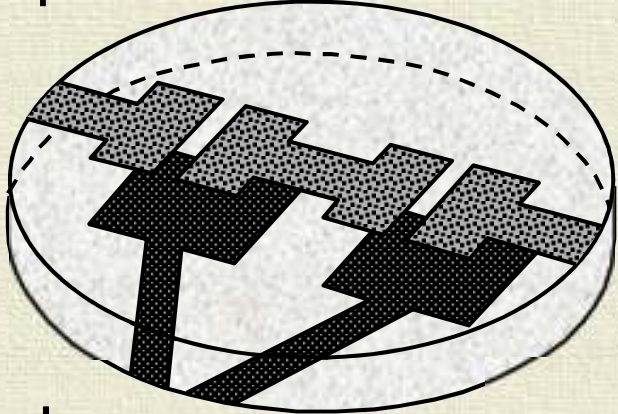
| typ oscylatora parametr | TCXO | OCXO | Wodorowy |
|--|-------------------|-------------------|--------------------|
| $\sigma_y(\tau = 1\text{s})$ | 10^{-9} | 10^{-12} | 10^{-12} |
| $\sigma_y(\tau)_{\min}$ (<i>noise floor</i>) | 10^{-9} | 10^{-12} | 10^{-15} |
| Δf po nagrzaniu | 10^{-6} | 10^{-8} | 10^{-12} |
| starzenie/rok | $5 \cdot 10^{-7}$ | $5 \cdot 10^{-9}$ | $1 \cdot 10^{-13}$ |

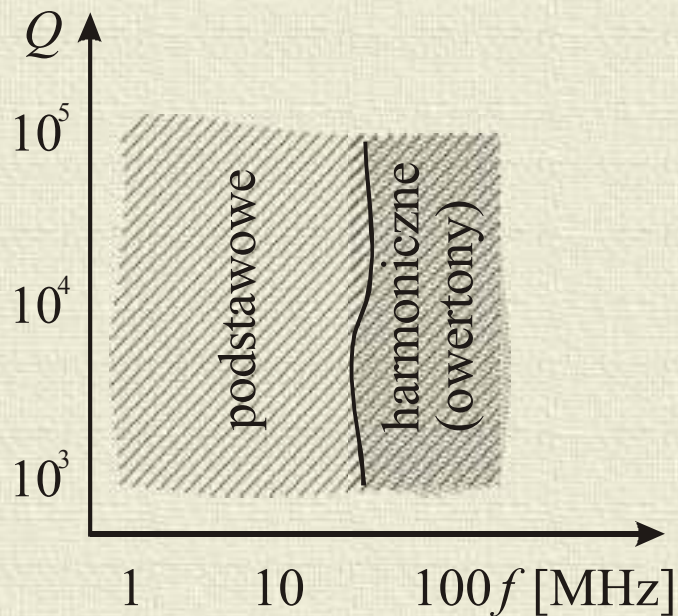
Filtry monolityczne

Filtr dwubiegunowy i jego charakterystyka

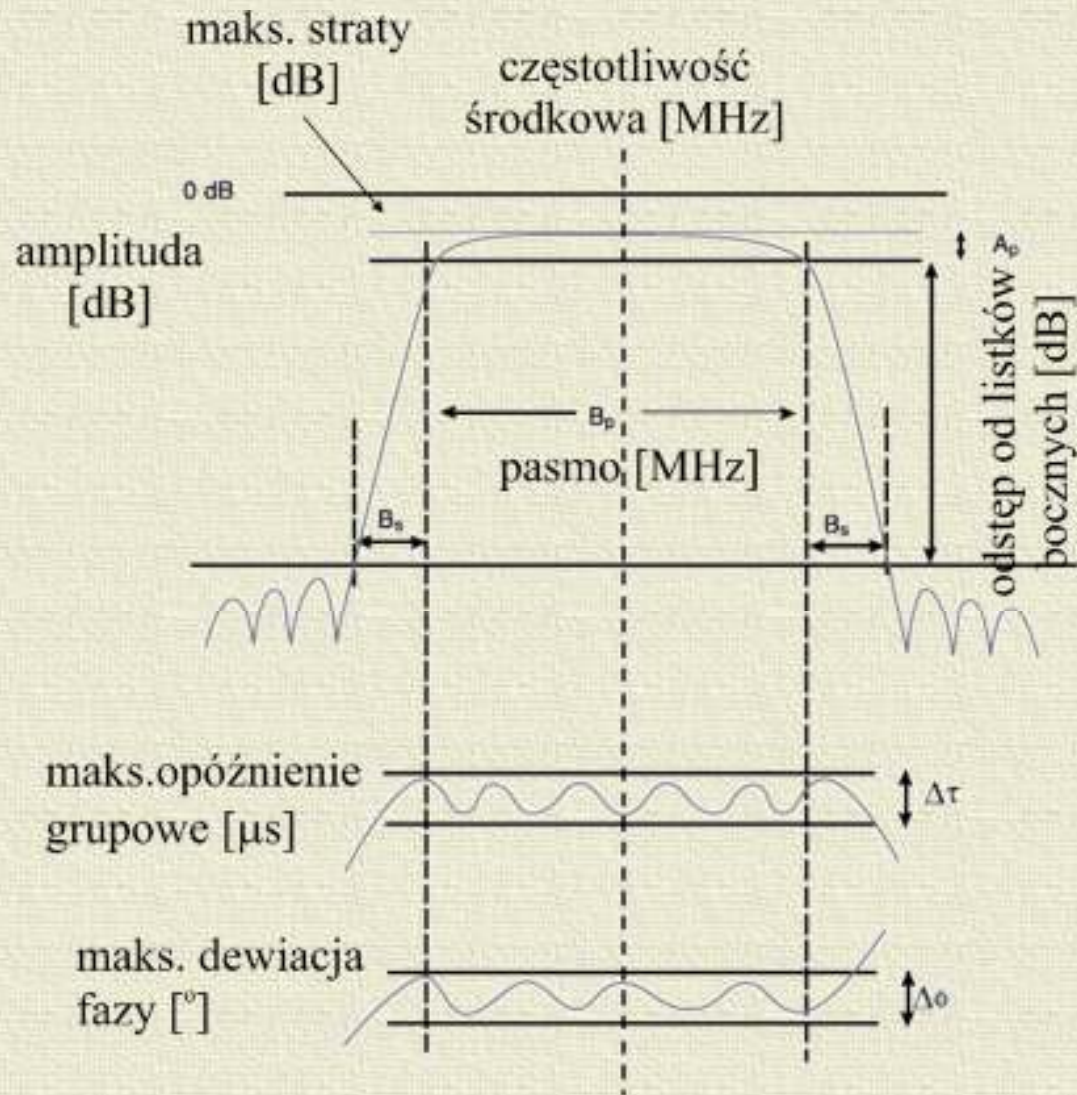


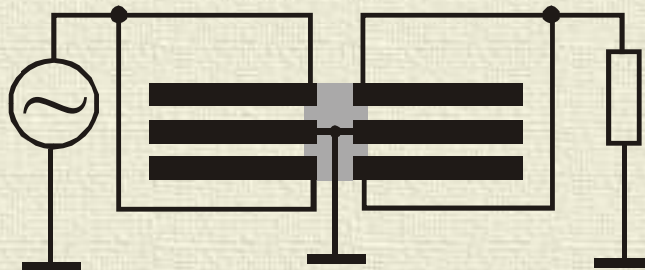
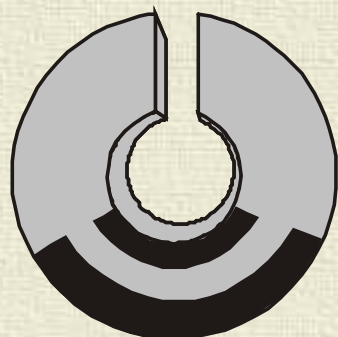
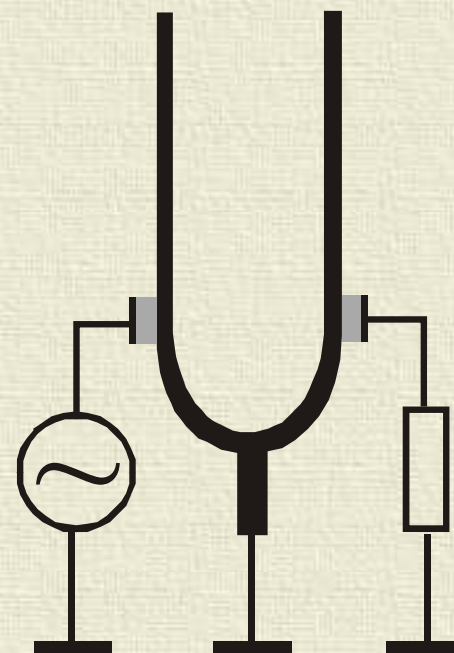
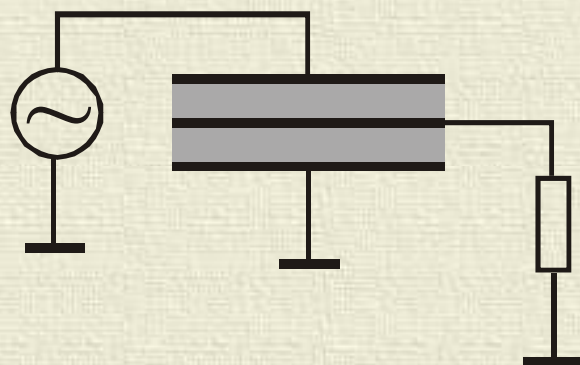
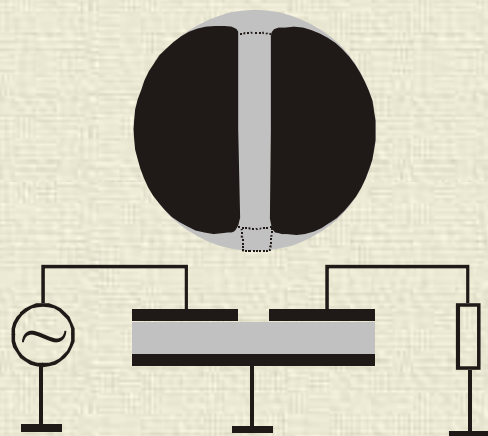
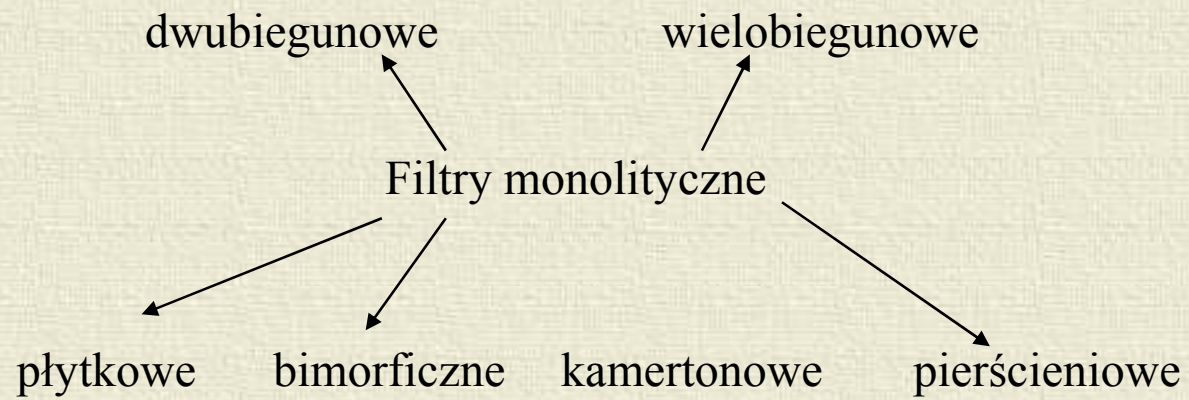
Filtr czterobiegunowy
układ elektrod

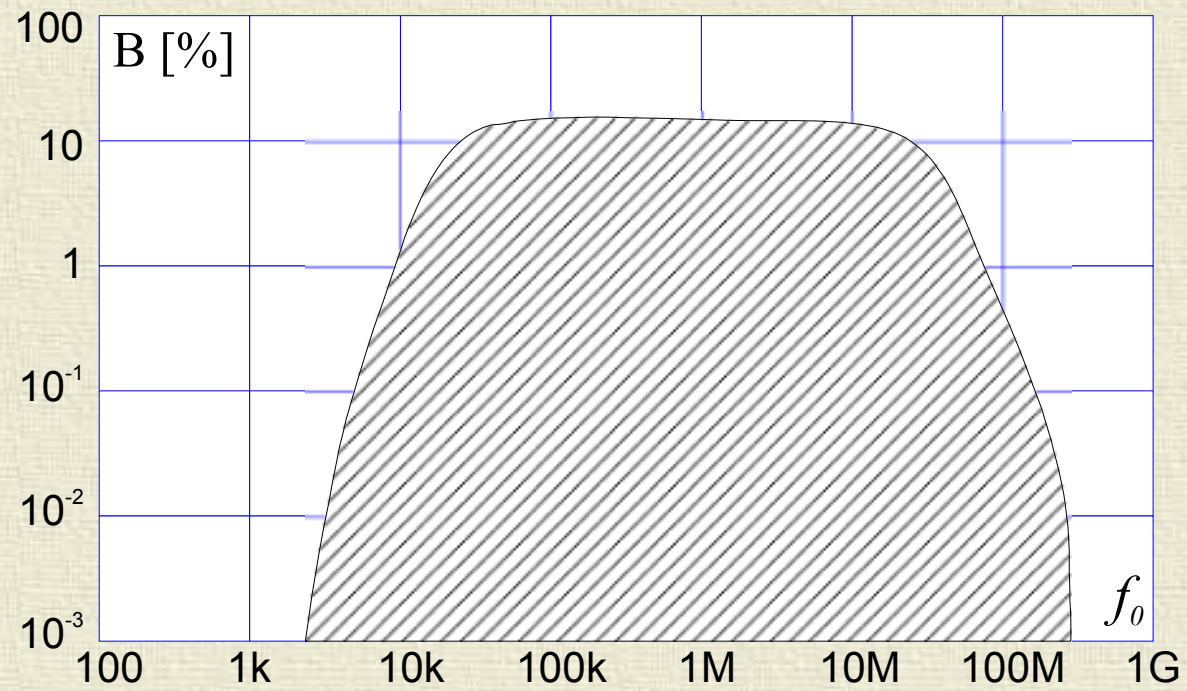
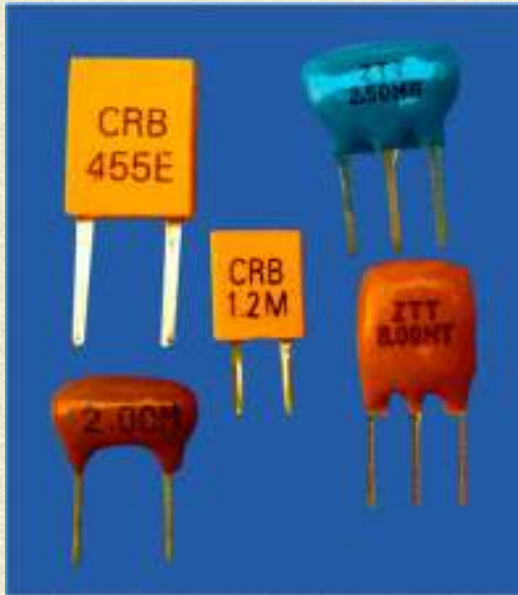




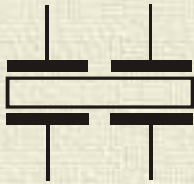
krawędzie pasma 27, 40 MHz
 dewiacja amplitudy w paśmie < 1 dB
 szerokość pasm przejściowych 3 MHz
 lub współczynnik prostokątności 0,8
 min. odstęp od listków bocznych 40 dB
 lub maks. poziom listków bocznych
 maks. wariacja fazy 2° w paśmie
 28-38 MHz
 maks. opóźnienie grupowe $0,5 \mu\text{s}$
 straty wtrąceniowe < 10 dB
 zakres temp. pracy $-20^\circ\text{C} + 80^\circ\text{C}$



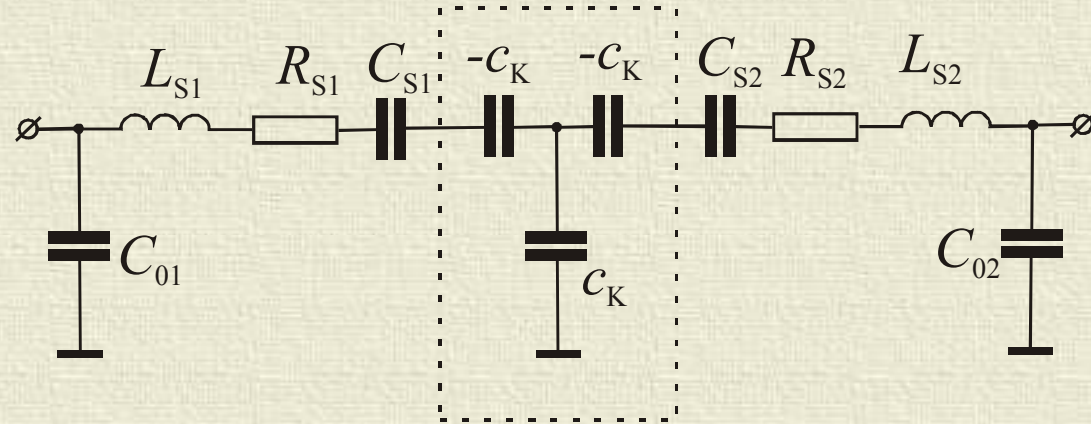




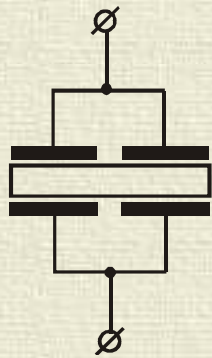
symbol



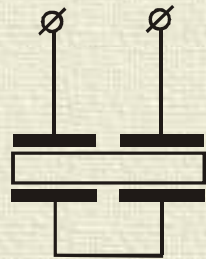
schemat zastępczy



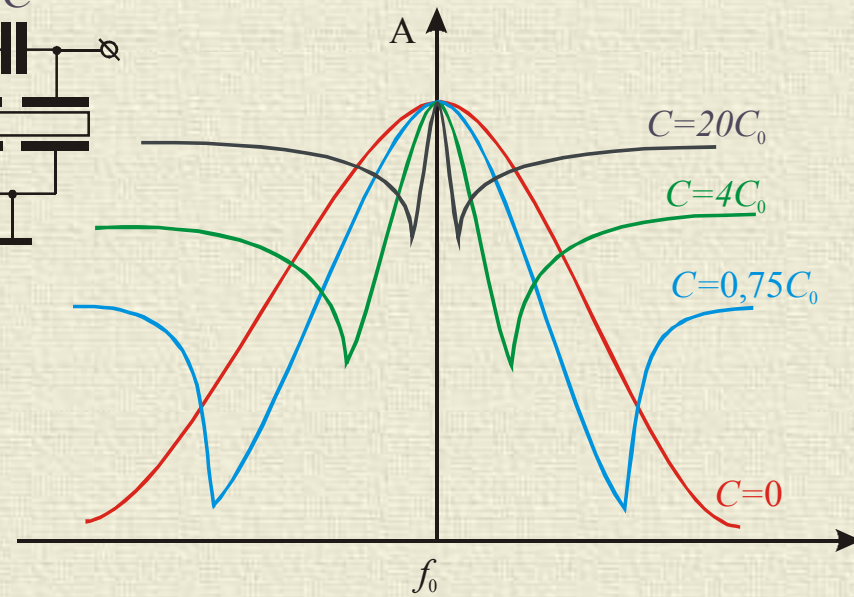
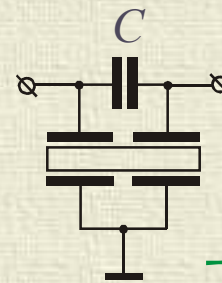
sposoby włączania w obwody



symetryczny



asymetryczny



Najprostszym i najczęściej spotykanym układem jest układ dwubiegunowy. Częstotliwości rezonansowe obydwu rezonatorów są takie same jednak na skutek sprzężenia mechanicznego pojawiają się dwa rezonanse

$$f_{1,2} = f_S \sqrt{1 + \frac{C_S}{2C_0} \pm \sqrt{K^2 + \left(\frac{C_S}{2C_0}\right)^2}}$$

$$K = \frac{C_S}{C_K} \quad \text{wsp. sprzężenia mechanicznego}$$

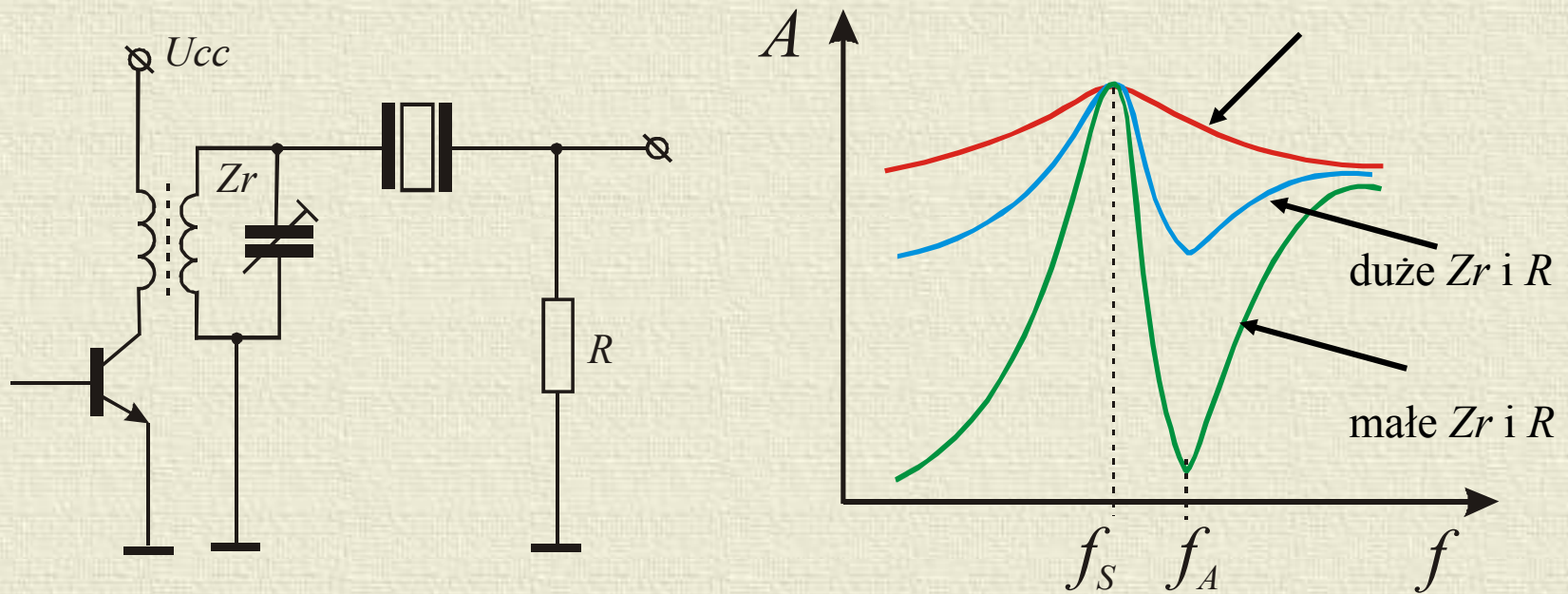
przy połączeniu symetrycznym $f_{SYM} = f_S \sqrt{1 - K} \quad f_{SYM} < f_S$

przy połączeniu asymetrycznym $f_{ASYM} = f_S \sqrt{1 + K} \cong f_{SYM} (1 + K) \quad f_{ASYM} > f_S$

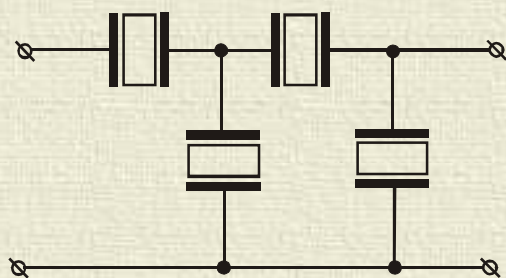
odległość rodzaju pracy – def. $f_{ASYM} - f_{SYM} = f_{SYM} K$

Każdy filtr monolityczny jest pewną kombinacją mechanicznie sprzężonych układów rezonansowych. Jeśli płytki są łączone tylko elektrycznie powstają filtry typu dyskretnego tzw. filtry kwarcowe. Najprostszym ich wariantem jest pojedynczy rezonator.

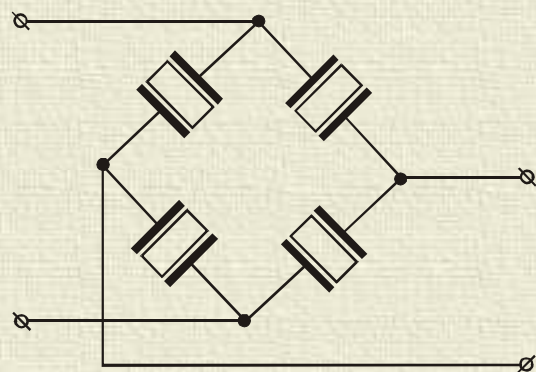
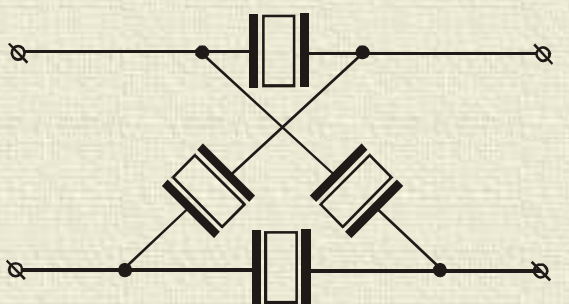
PRZYKŁAD



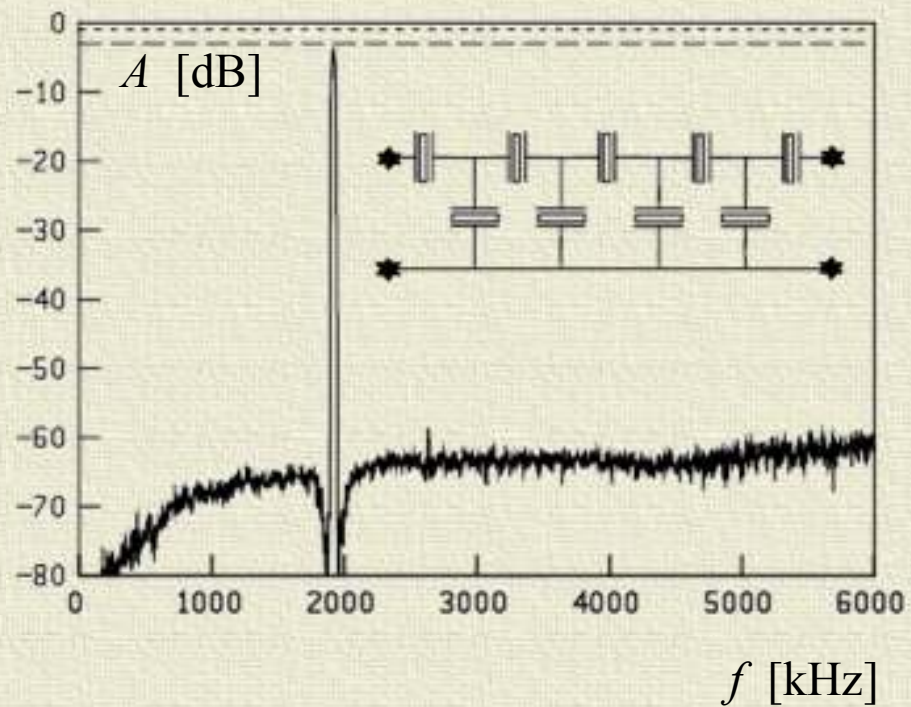
Filtry wieloogniowe - podstawowe ogniwa



drabinkowy

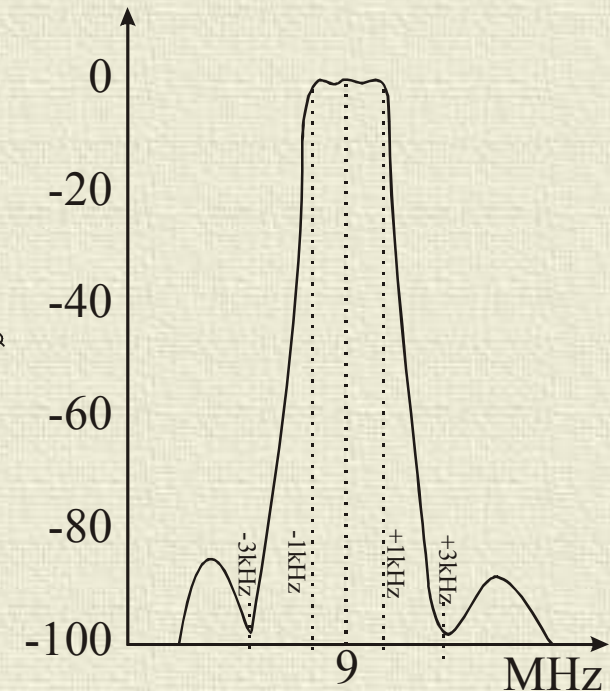
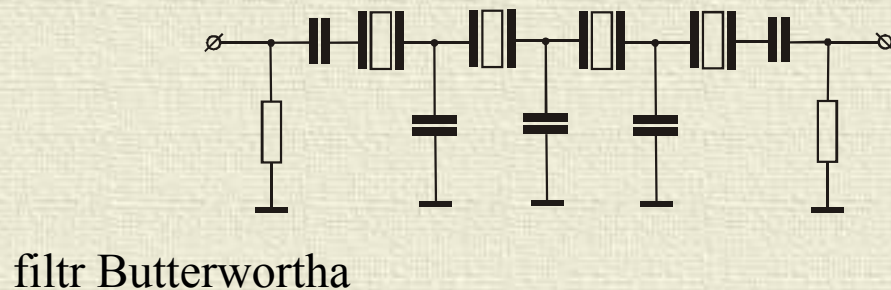
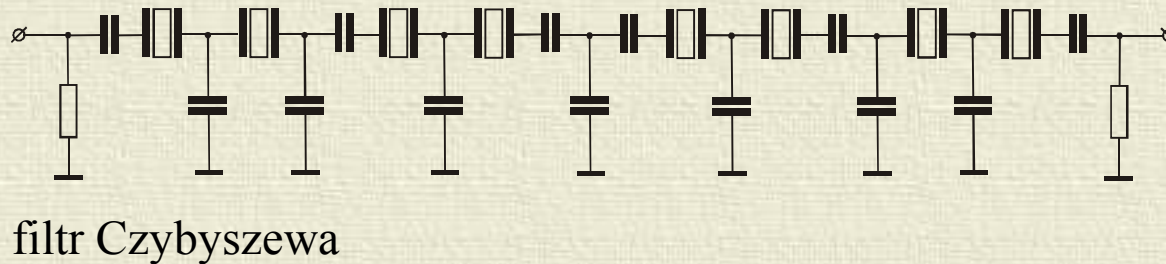
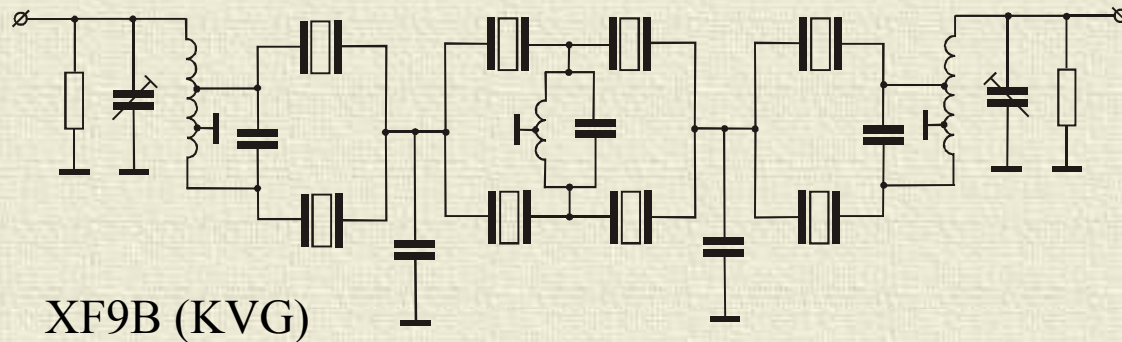


mostkowy

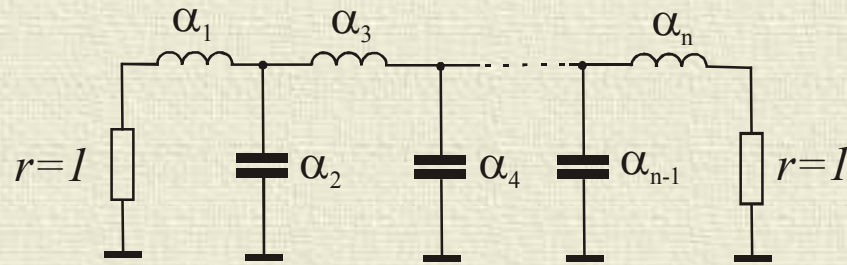


Stosując kombinacje połączeń ogniów i półogniów z reaktancjami (przeciąganie) można tą techniką realizować filtry niemal o dowolnych charakterystykach – jednak zwykle są to filtry środkowoprzepustowe bądź środkowozaporowe choć realizacja filtrów dolno i górno przepustowych jest także możliwa.

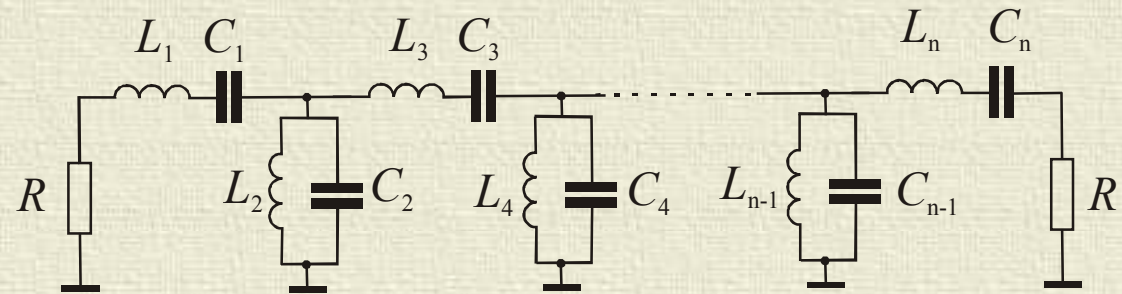
Syntezę realizuje się dowolną z metod zwykle przy użyciu schematów zastępczych rezonatorów.



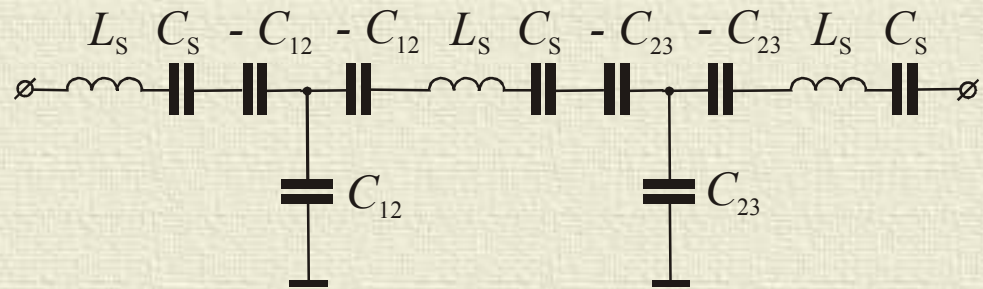
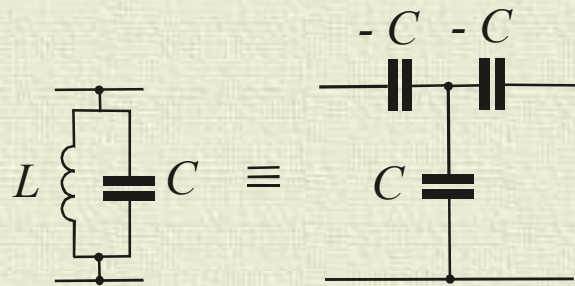
Projektowanie filtrów kwarcowych metodą transformacji prototypowego filtra dolnoprzepustowego

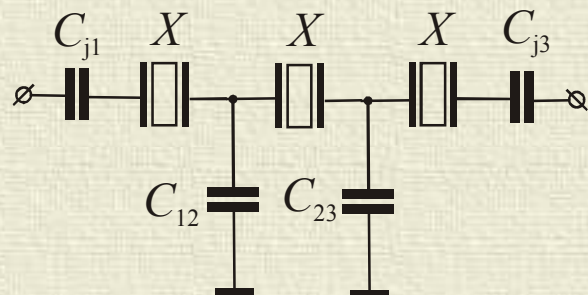
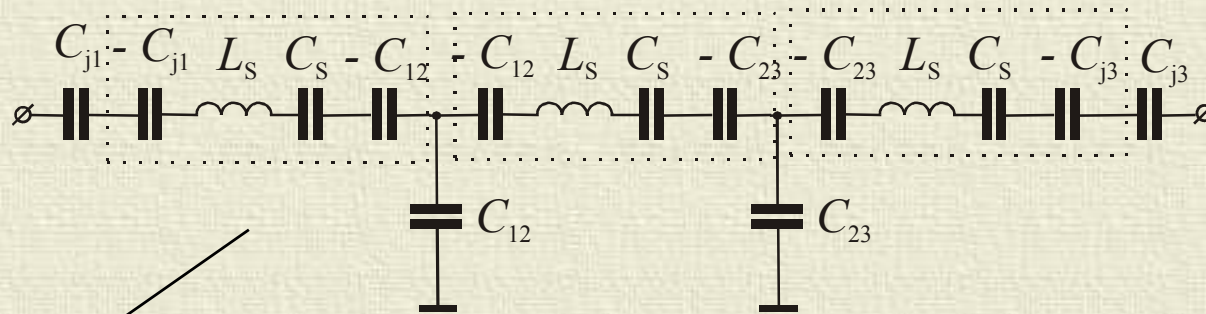
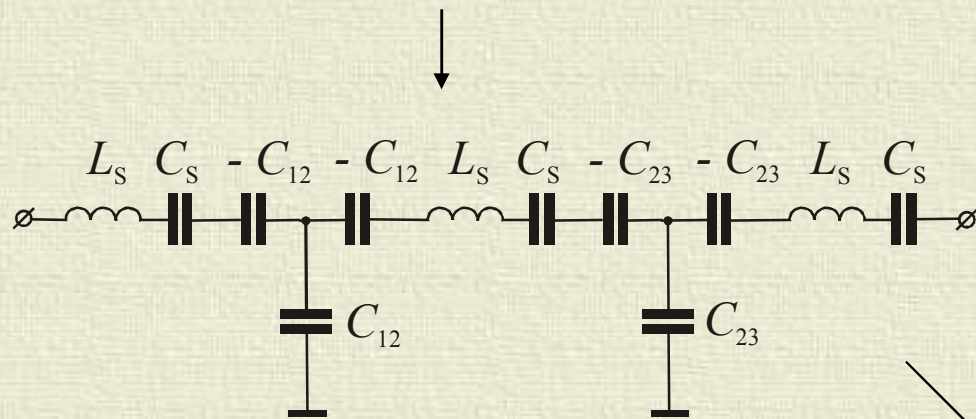


prototyp



filtr środkowoprzepustowy





dla gałęzi poprzecznej

$$C_i = \frac{\alpha_i}{BR} \quad L_i = \frac{1}{\omega_0^2 C_i}$$

dla gałęzi podłużnej

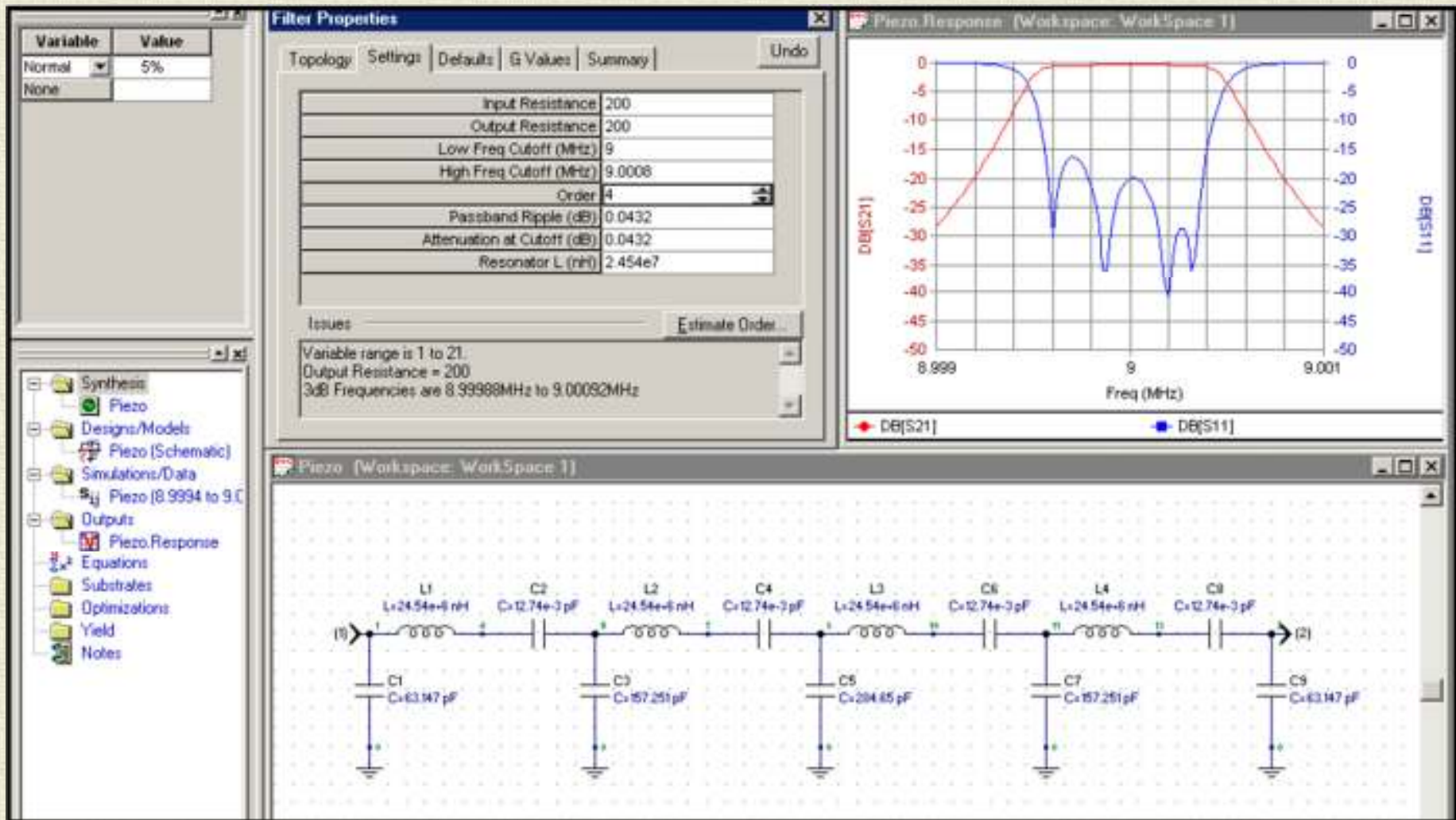
$$C_j = \frac{1}{\omega_0^2 L_j} \quad L_j = \frac{\alpha_j R}{B}$$

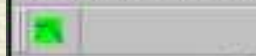
Czybyszewa

| n | a_1 | a_2 | a_3 | a_4 | a_5 | a_6 | a_7 | a_8 | a_9 |
|-----|--------|--------|--------|-------|-------|-------|-------|-------|-------|
| 3 | 1,3451 | 1,1412 | 1,3451 | — | — | — | — | — | — |
| 4 | 1,146 | 1,513 | 1,513 | 1,146 | — | — | — | — | — |
| 5 | 1,456 | 1,307 | 2,283 | 1,307 | 1,456 | — | — | — | — |
| 6 | 1,277 | 1,528 | 1,878 | 1,878 | 1,528 | 1,277 | — | — | — |
| 7 | 1,488 | 1,343 | 2,388 | 1,451 | 2,388 | 1,343 | 1,488 | — | — |
| 8 | 1,340 | 1,508 | 2,019 | 1,844 | 1,844 | 2,019 | 1,508 | 1,340 | — |
| 9 | 1,502 | 1,357 | 2,420 | 1,481 | 2,480 | 1,481 | 2,420 | 1,357 | 1,502 |

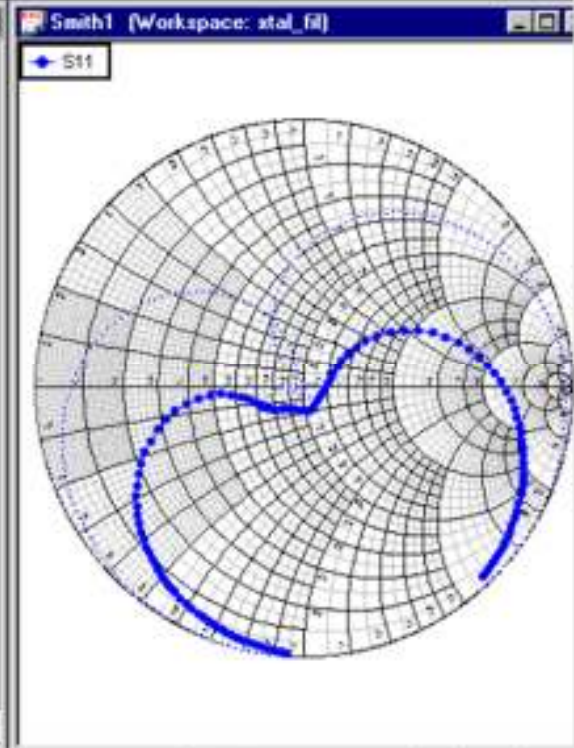
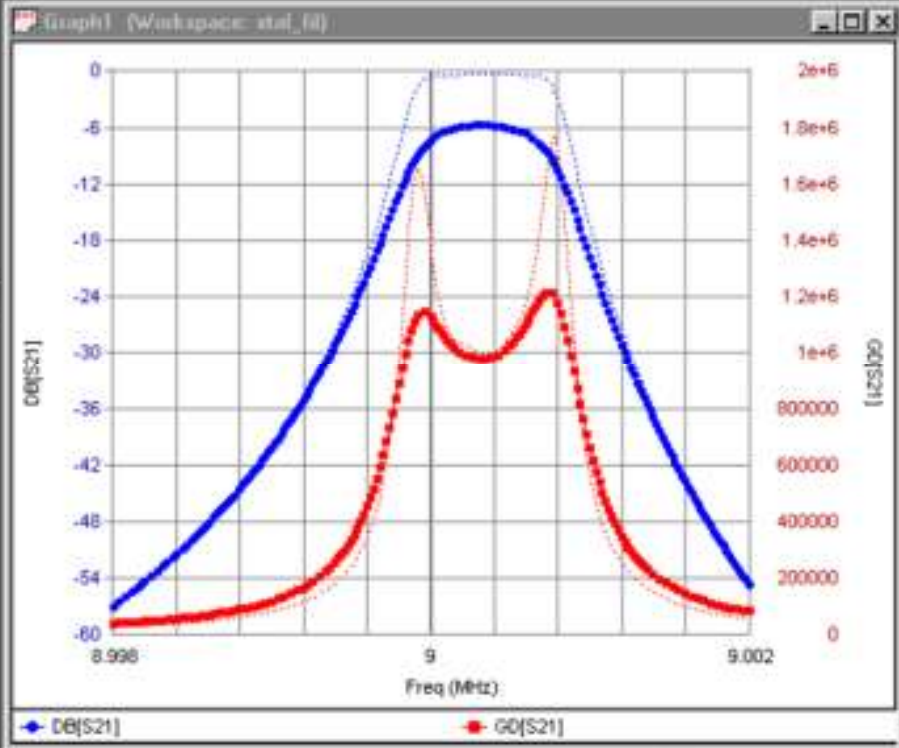
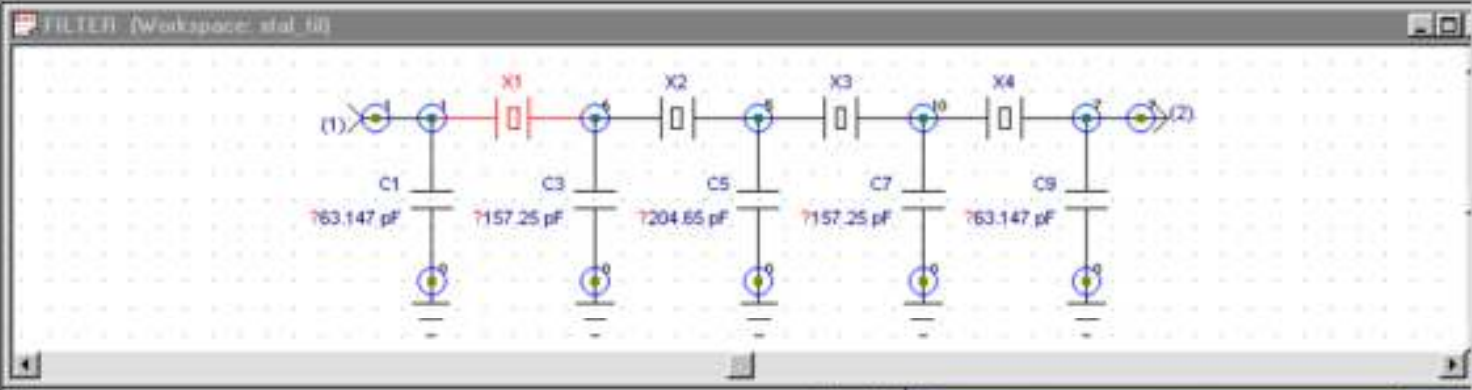
Butterwortha

| n | a_1 | a_2 | a_3 | a_4 | a_5 | a_6 | a_7 | a_8 | a_9 |
|-----|--------|-------|-------|--------|--------|--------|--------|--------|--------|
| 2 | 1,414 | 1,414 | — | — | — | — | — | — | — |
| 3 | 1,000 | 2,000 | 1,000 | — | — | — | — | — | — |
| 4 | 0,7654 | 1,848 | 1,848 | 0,7654 | — | — | — | — | — |
| 5 | 0,6180 | 1,618 | 2,000 | 1,618 | 0,6180 | — | — | — | — |
| 6 | 0,5176 | 1,414 | 1,932 | 1,932 | 1,414 | 0,5176 | — | — | — |
| 7 | 0,4450 | 1,247 | 1,802 | 2,000 | 1,802 | 1,247 | 0,4450 | — | — |
| 8 | 0,3902 | 1,111 | 1,663 | 1,962 | 1,962 | 1,663 | 1,111 | 0,3902 | — |
| 9 | 0,3473 | 1,000 | 1,532 | 1,879 | 2,000 | 1,879 | 1,532 | 1,000 | 0,3473 |





| Variable | Value |
|----------|----------|
| Tune % | 5% |
| C.C1 | 63.147 |
| C.C3 | 157.25 |
| C.C5 | 204.65 |
| C.C7 | 157.25 |
| C.C9 | 63.147 |
| RS | 31 |
| CO | 4.18 |
| LM | 24.54e+6 |
| CM1 | 0.012744 |
| CM2 | 0.012744 |
| CM3 | 0.012744 |
| CM4 | 0.012744 |



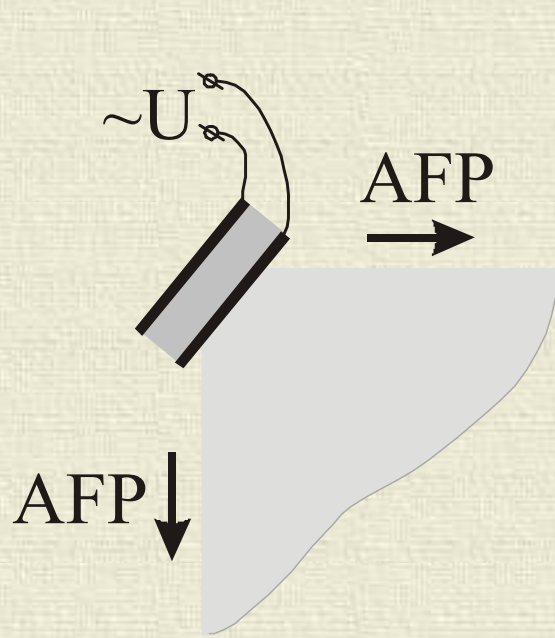
- Designs
 - FILTER [Scher]
- Simulations/Data
 - S_{ij} Linear1 (8.998)
- Outputs
 - Graph1
 - Smith1
- Equations
- Subrates
 - Default
- Optimizations
- Yield
- Notes

Wzbudzanie i detekcja akustycznych fal powierzchniowych

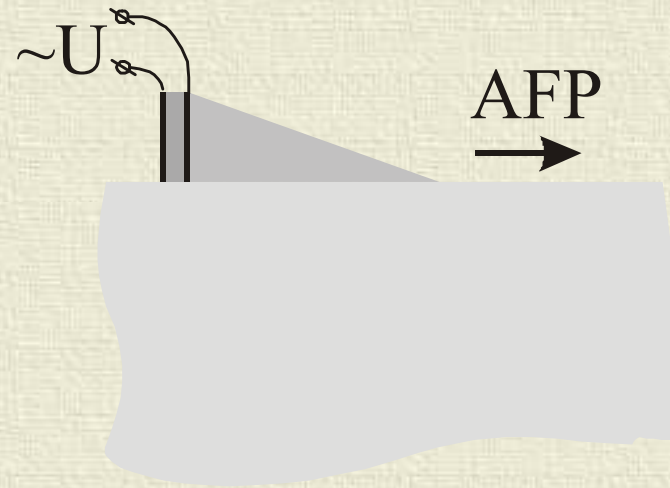
Historia

| | | |
|-----------------------------|--|------|
| Pierre Curie, Jacques Curie | wyjaśnienie piezoelektryczności prostej | 1880 |
| Gabriel Jonas Lippmann | odkrycie piezoelektryczności odwrotnej | 1881 |
| Lord Rayleigh (John Strutt) | fale powierzchniowe | 1885 |
| Woldemar Voigt | "Lernbuch der Kristallphysik" | 1910 |
| Augustus Edward Hough Love | poprzeczne fale powierzchniowe | 1911 |
| Paul Langevin i wsp. | znakomity mozaikowy detektor łodzi podwodnych [50 kHz] | 1917 |
| Paul Langevin | pierwszy rezonator kwarcowy | 1918 |
| W. S. Mortley | przetworniki fal powierzchniowych - patent brytyjski | 1963 |
| J. H. Rowen | przetworniki fal powierzchniowych - patent amerykański | 1963 |
| R. M. White F. W. Voltmer | IDT | 1965 |

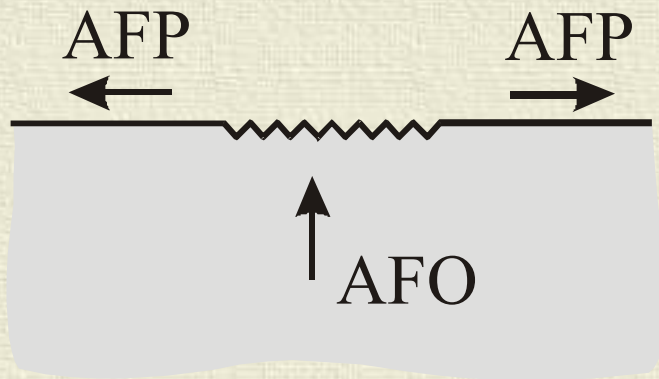
Metody wzbudzania AFP



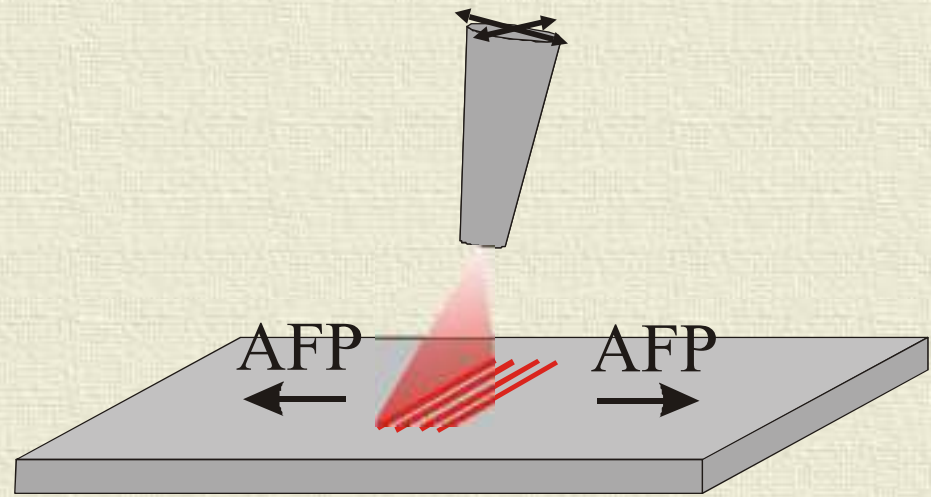
przetwornik krawędziowy



przetwornik klinowy

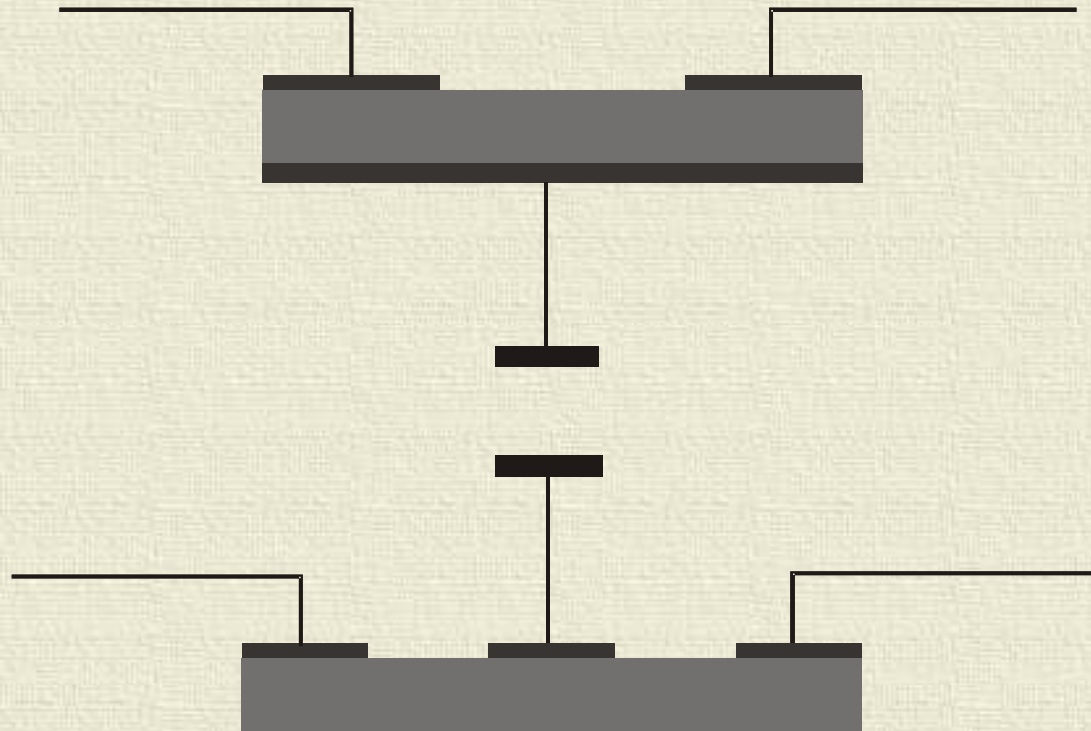


przetwornik rowkowy



wzbudzenie AFP laserem

PRZETWORNIKI MIĘDZYPALCZASTE (IDT – ang. interdigital transducers)



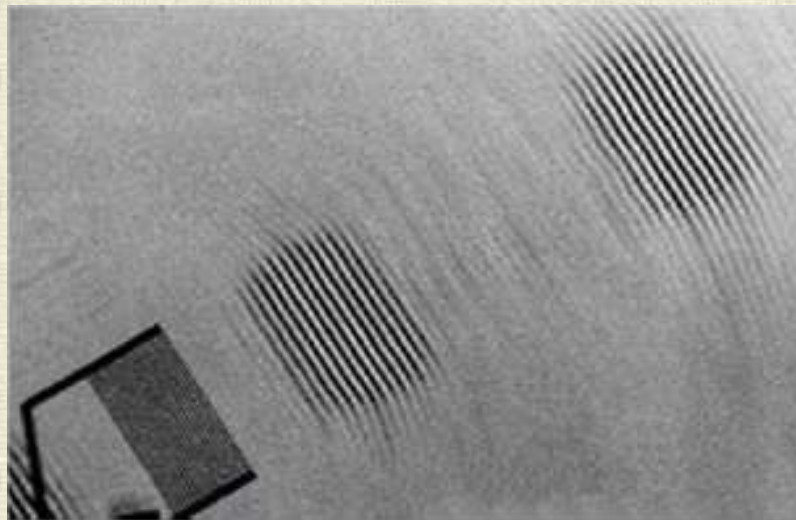
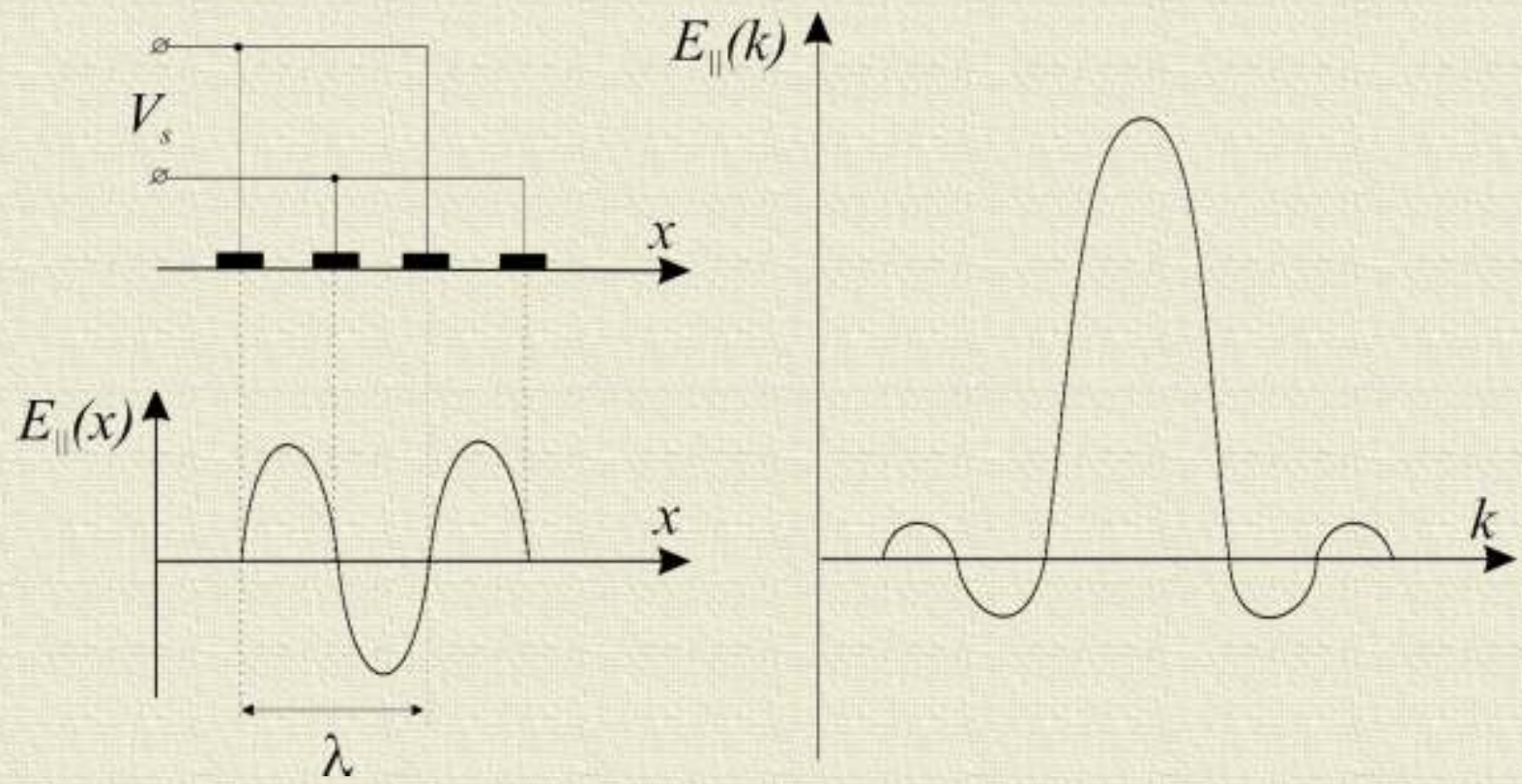
Ewolucja – przetwornik fal objętościowych => przetwornik fal powierzchniowych (IDT)

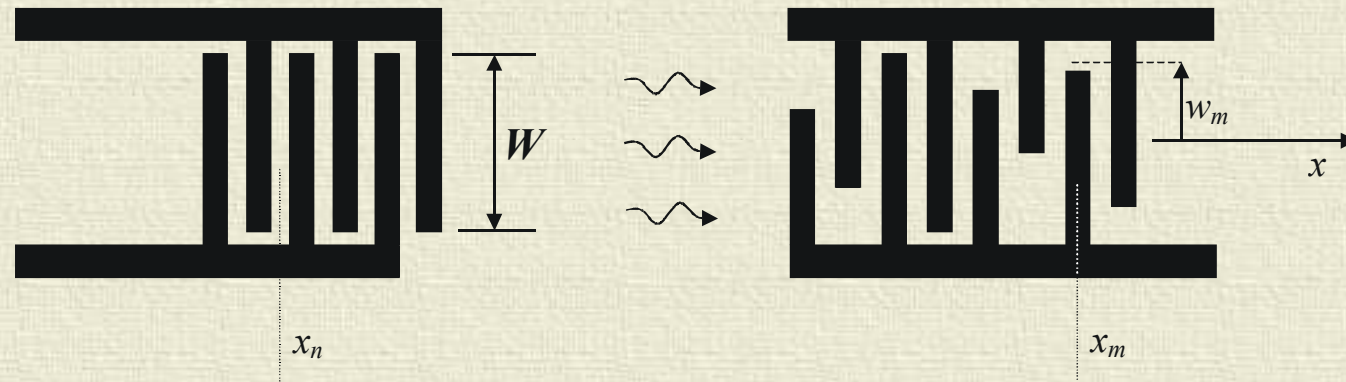


$V = \delta$ - Diraca

$$A(\omega) \approx \sum E_n e^{-j\omega x_n / v}$$

E_n amplitudy impulsów przyłożonych między elektrodami w miejscach x_n

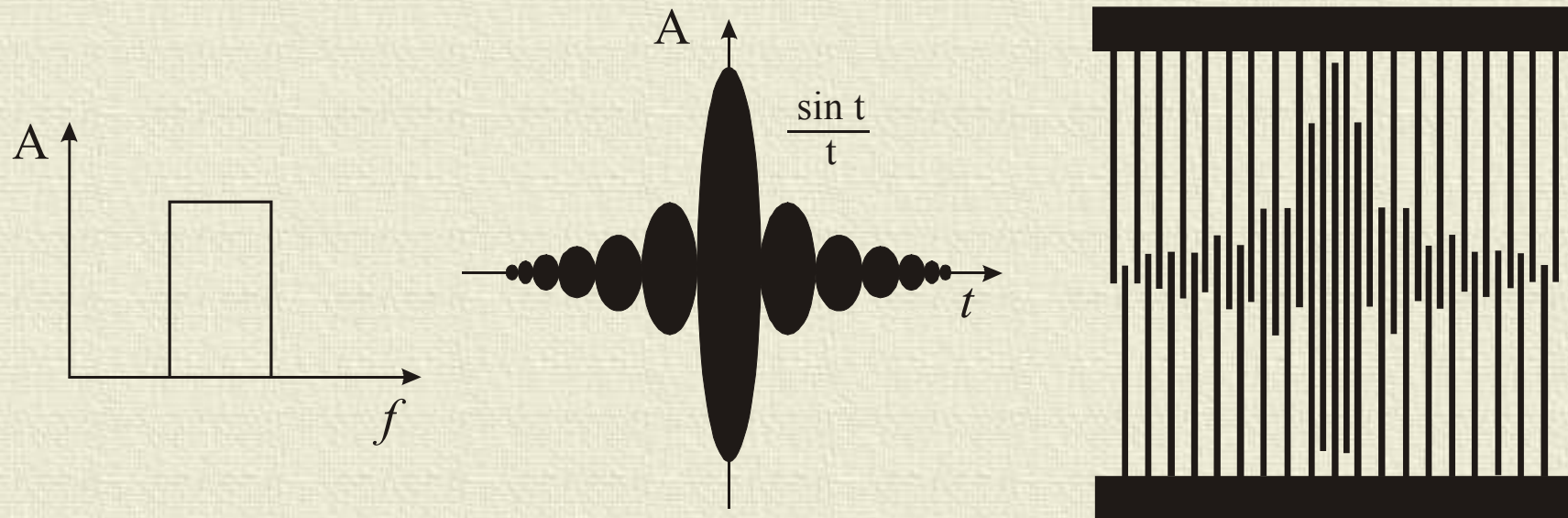


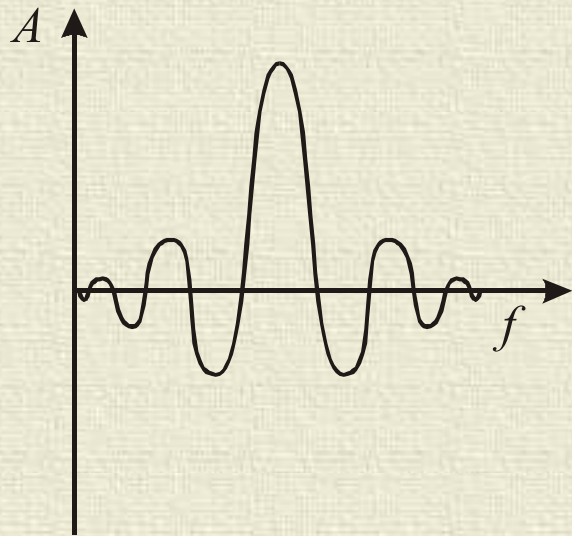


$$S(\tau) = s_1(\tau) * s_2(\tau)$$

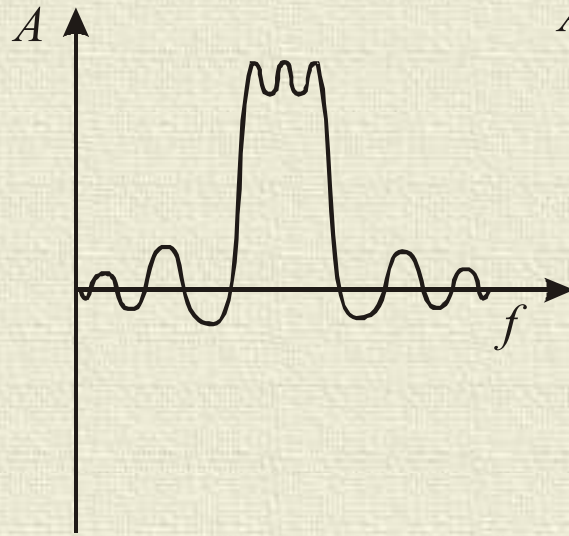
$$H(\omega) = H_1(\omega)H_2(\omega)$$

$$H(\omega) \sim \sum_{n,m} E_n e^{-j\omega x_n / v} w_m e^{j\omega x_m / v}$$

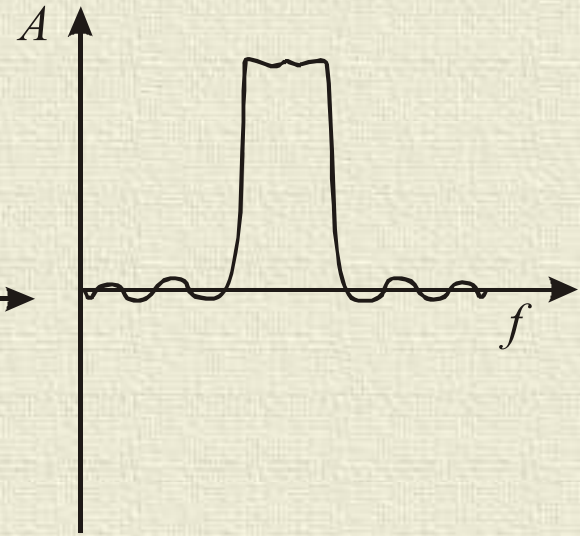




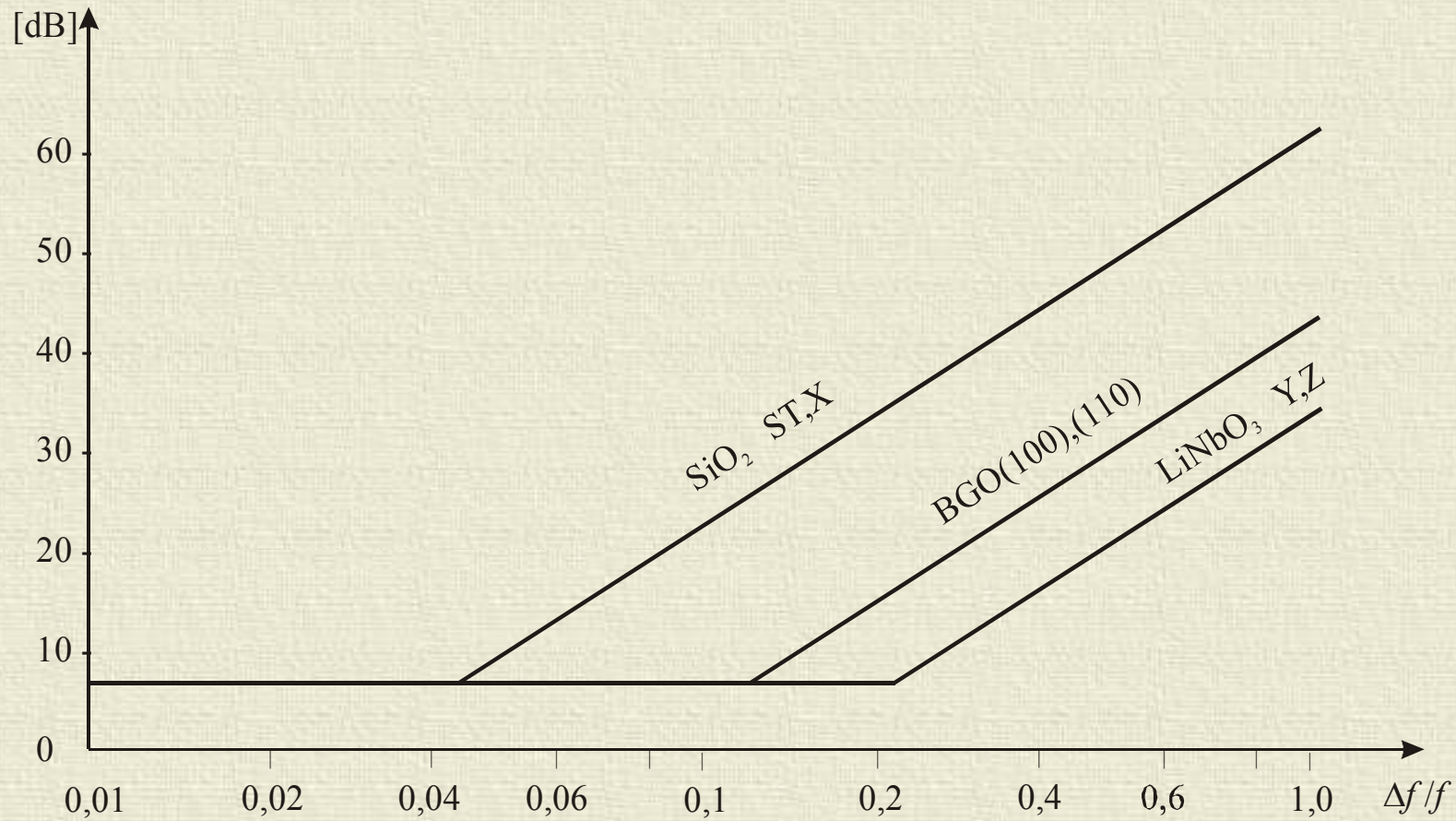
$$W = \text{const}$$



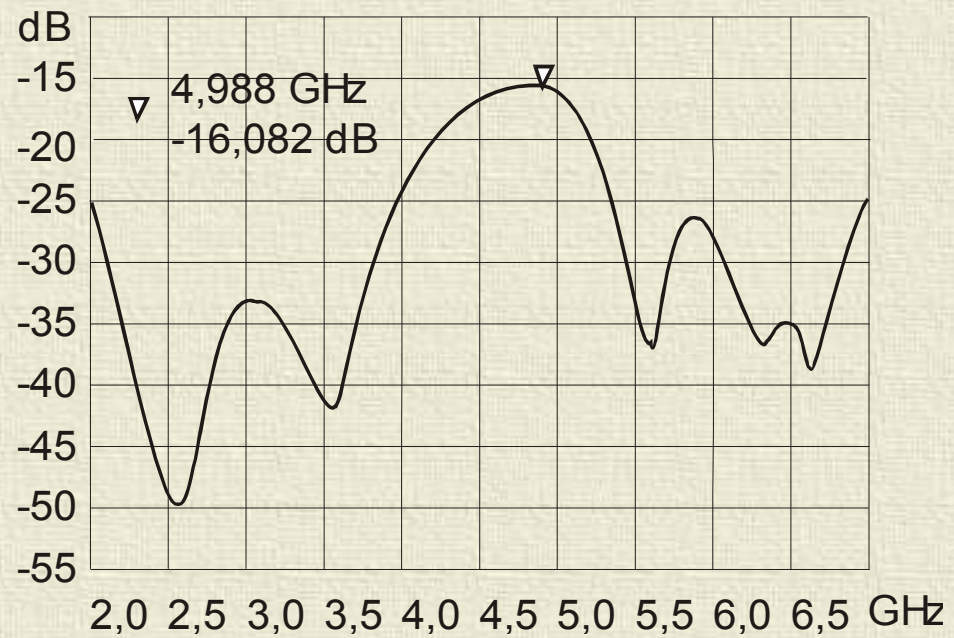
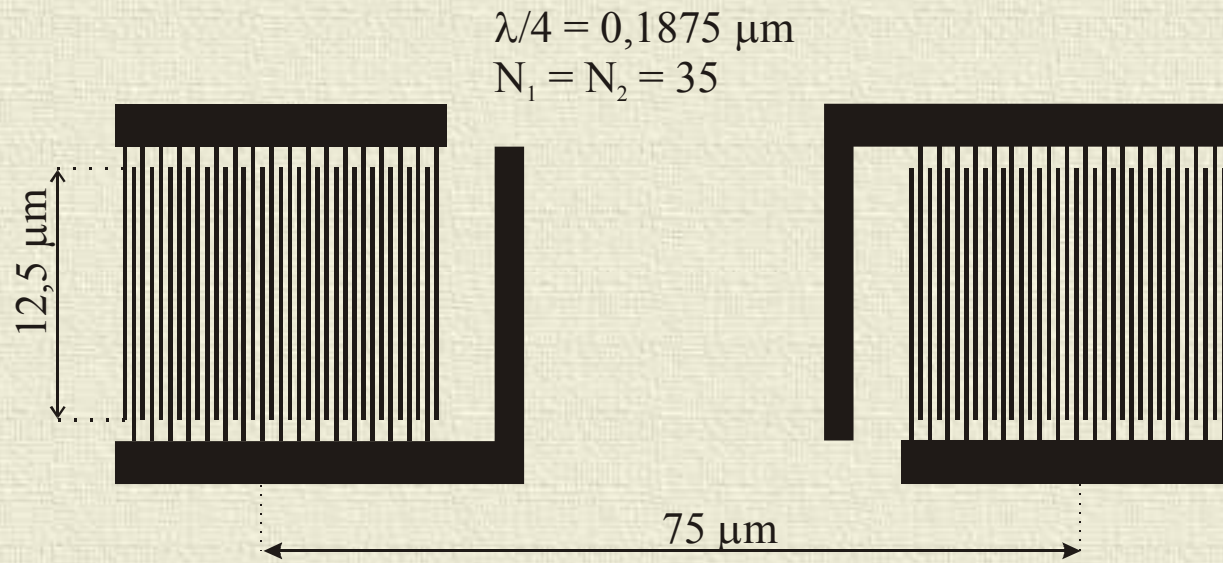
$$W = \text{Sinc}(x) F_{OP}$$

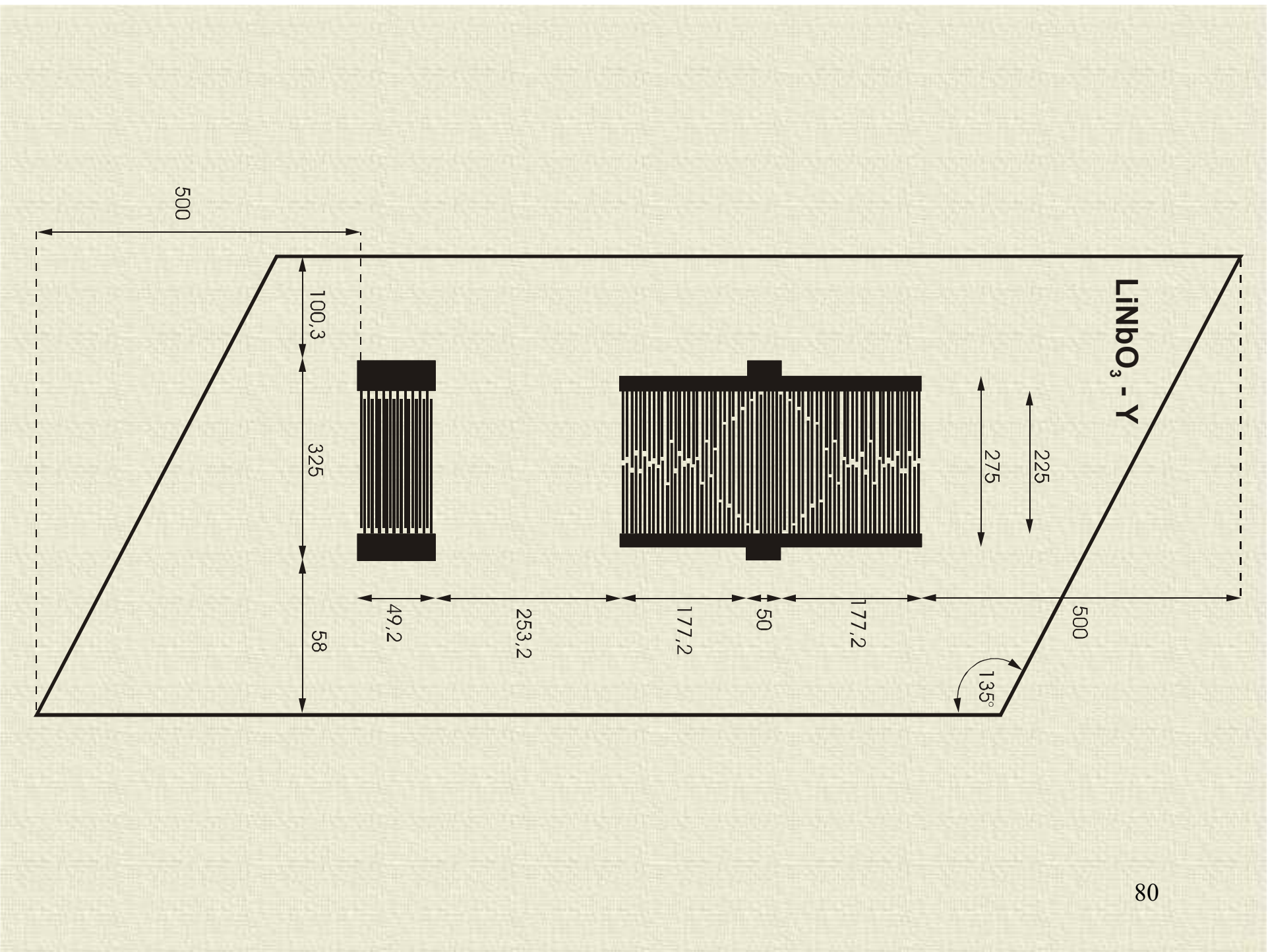


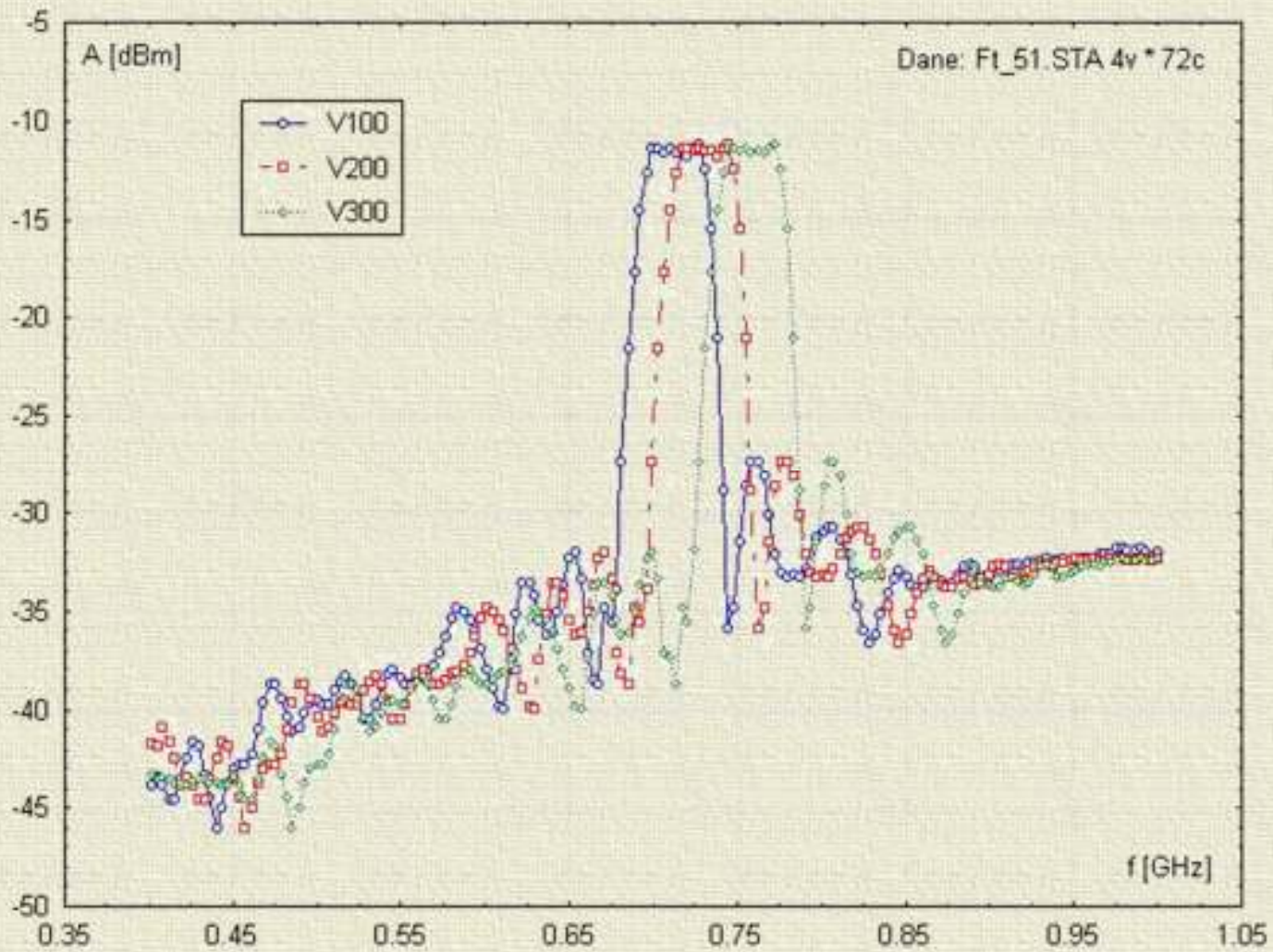
$$W = \text{Sinc}(x) F_{OP} F_w$$



Minimalne straty wnoszone w zależności od pasma względnego przetworników dopasowanych szeregową indukcyjnością do rezystancji 50Ω dla trzech podłoży.



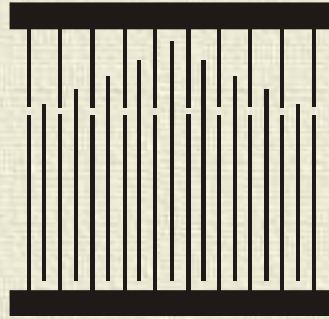




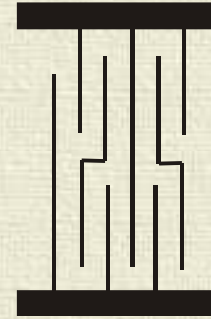
W celu poprawy parametrów stosuje się m. in.

- Specjalne ważenie
- Specjalne typy przetworników
- Ślepe elektrody
- Dzielenie elektrod
- Precyzyjne modelowanie i technologia
- Stosowanie niekonwencjonalnych podłoży
- Tłumienie szkodliwych odbić
- Stosowanie różnych typów AFP
- Sprzęgacze kierunkowe
- Ekranowanie przejścia bezpośredniego

Spotykane metody ważenia



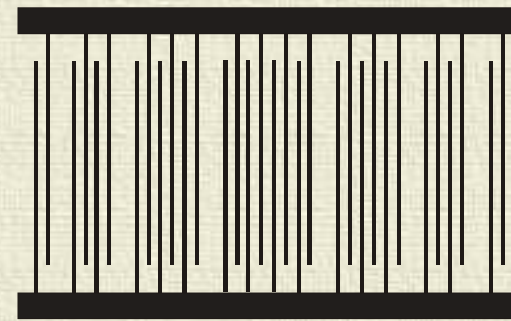
ważenie pojemnościowe



łamanie elektrod



pochylenie elektrod

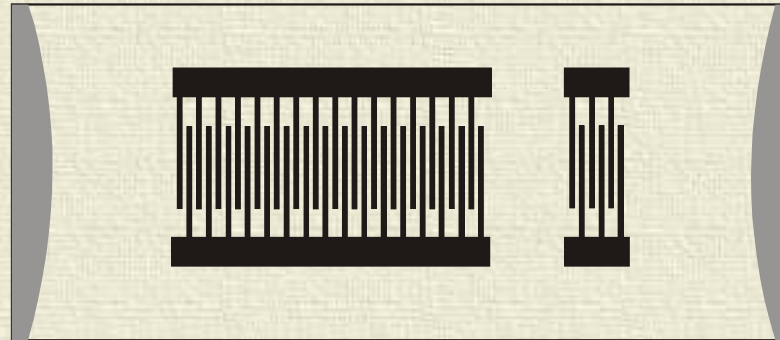


wycinanie elektrod elektrod

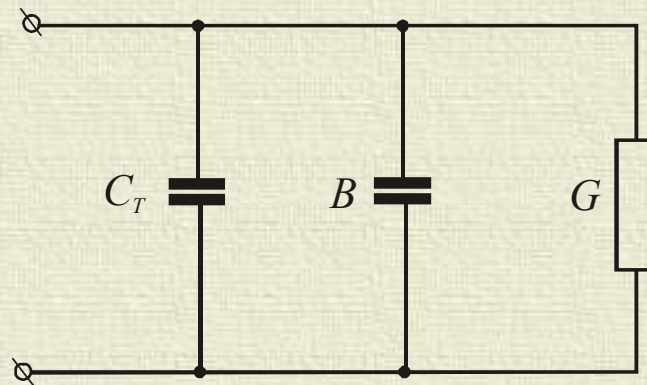
Metodą tą otrzymuje się filtry **środkowoprzepustowe** charakteryzujące się

- tłumieniem poza pasmem nawet poniżej 80 dB
- kilkudecybelowym – kilkudziesięciu dB tłumieniem w paśmie
- minimalnych zafalowaniach grzbietu impulsu $\sim 0.1\%$
- precyzją charakterystyki o współczynnikach prostokątności bliskich 1
- niewielkimi rozmiarami – malejącymi wraz z częstotliwością
- wysoką powtarzalnością parametrów
- prostotą technologii

Dwa współpracujące IDT są w istocie filtrem. Zwykle tylko jeden z przetworników jest długi (wąskopasmowy) i decyduje o charakterystyce przenoszenia całości.



Admitancyjne własności jednego przetwornika można rozpatrywać stosując przedstawiony już Schemat zastępczy



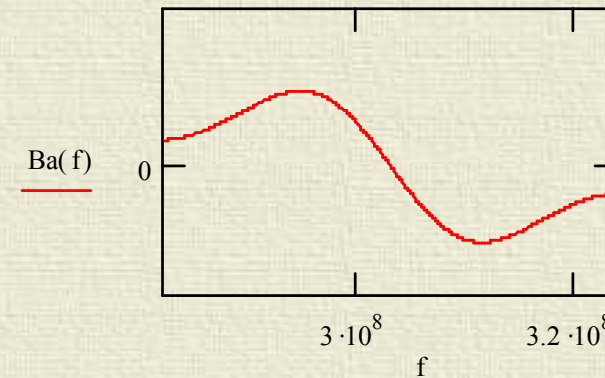
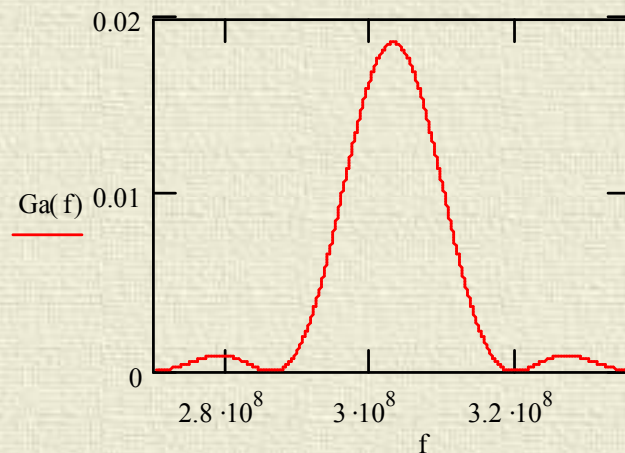
O parametrach C_T , B_i i G_i decyduje rodzaj podłoża, liczba par elektrod N oraz apertura W .
(obliczenia inżynierskie)

$$C_T = WC_0 N$$

$$G(f) = G_0 \frac{\sin(x(f))^2}{x(f)^2} \quad G_0 = 8K^2 C_T f_0 N^2 \quad x(f) = \pi \frac{f - f_0}{f_0} N$$

$$B(f) = G_0 \frac{\sin(2x(f)) - 2x(f)}{2x(f)^2}$$

Przykładowe przebiegi dla $C_T=0,5$ pF, $W=100\lambda$, $N=18$, $f_0=303$ MHz



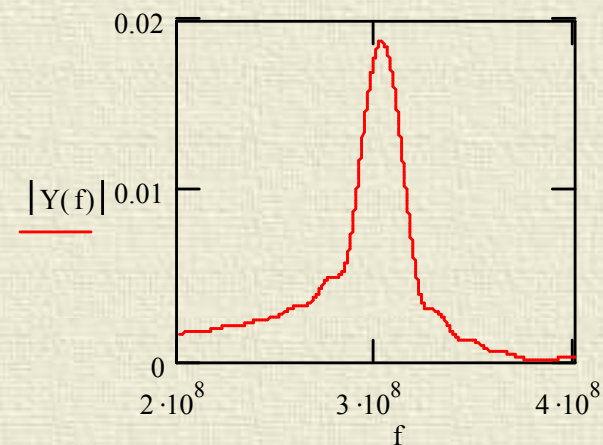
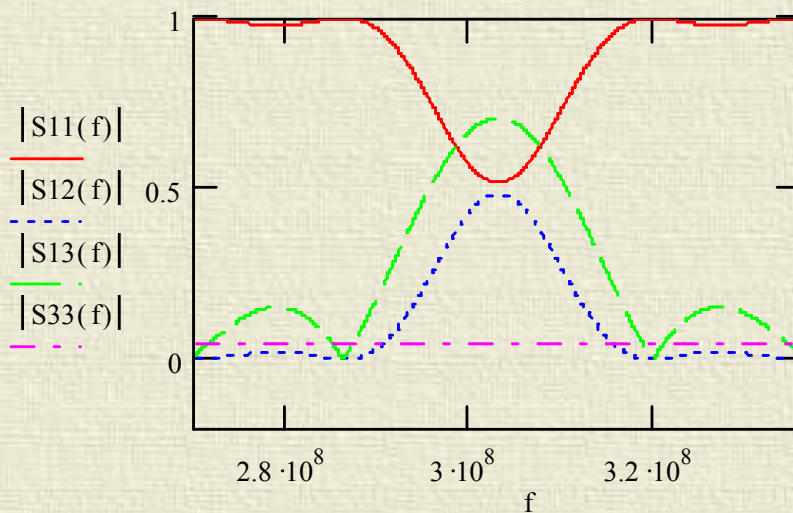
$$Y(f) = i\omega C + G(f) + iB(f)$$

$$S_{11}(f) = 1 - \frac{Z(f_0)G(f)}{1 + Z(f_0)Y(f_0)}$$

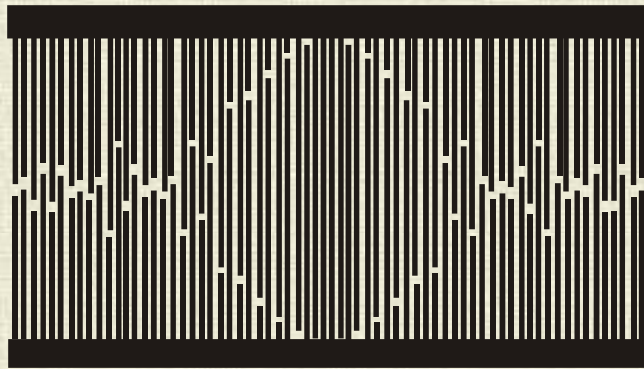
$$S_{12}(f) = \frac{Z(f_0)G(f)}{1 + Z(f_0)Y(f_0)}$$

$$S_{31}(f) = i \frac{\sqrt{2Z(f_0)G(f)}}{1 + Z(f_0)Y(f_0)}$$

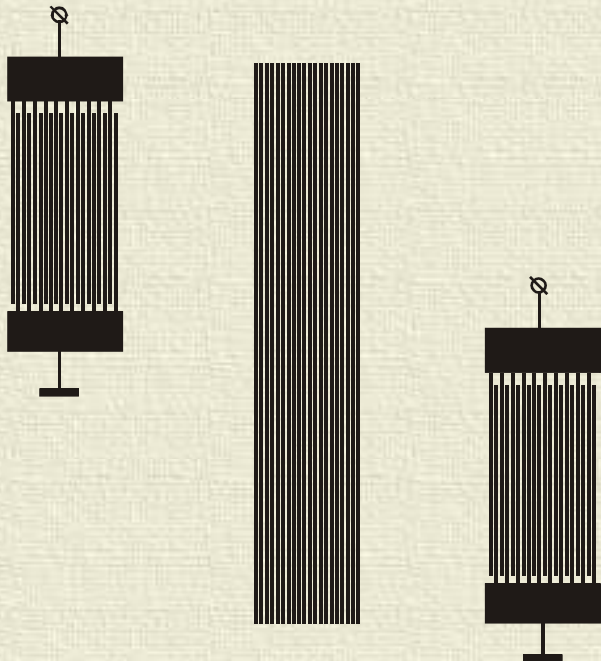
$$S_{33}(f) = \frac{1 - Z(f_0)Y(f_0)}{1 + Z(f_0)Y(f_0)}$$



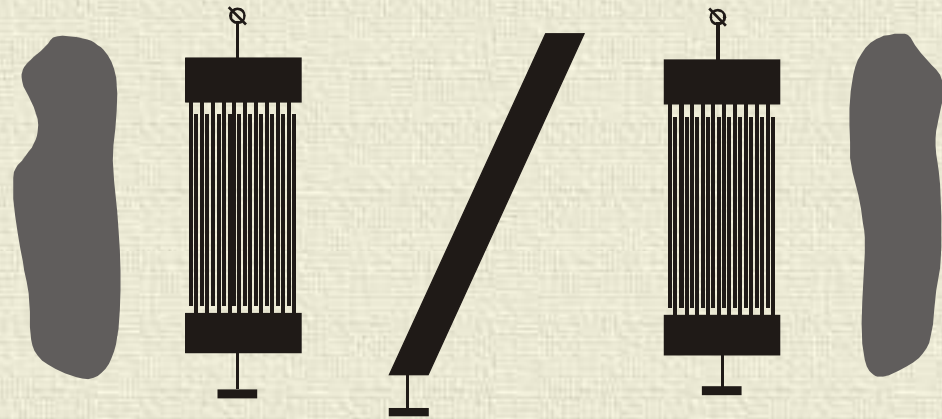
Metody poprawy parametrów



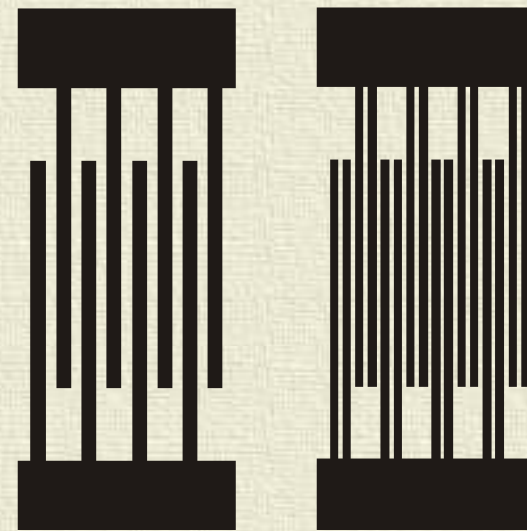
wstawianie elektrod ślepych (dummy)



stosowanie sprzęgaczy kierunkowych

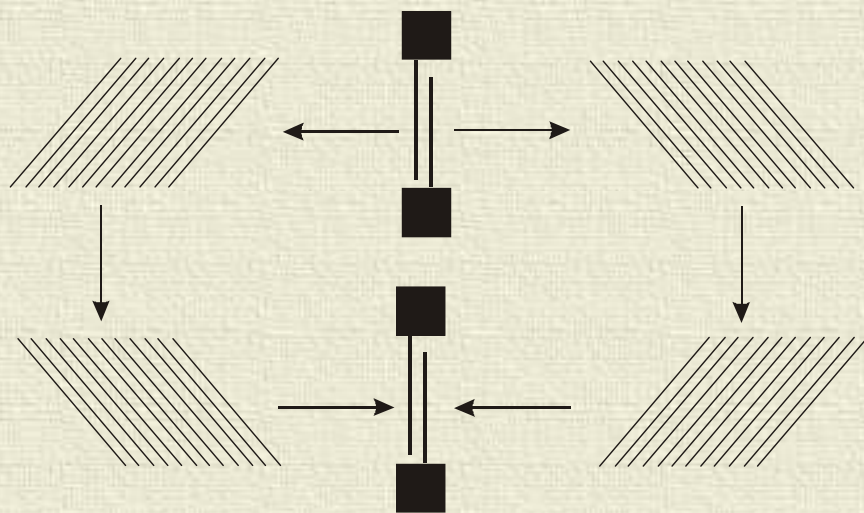


ekranowanie przejścia bezpośredniego i tłumienie szkodliwych odbić



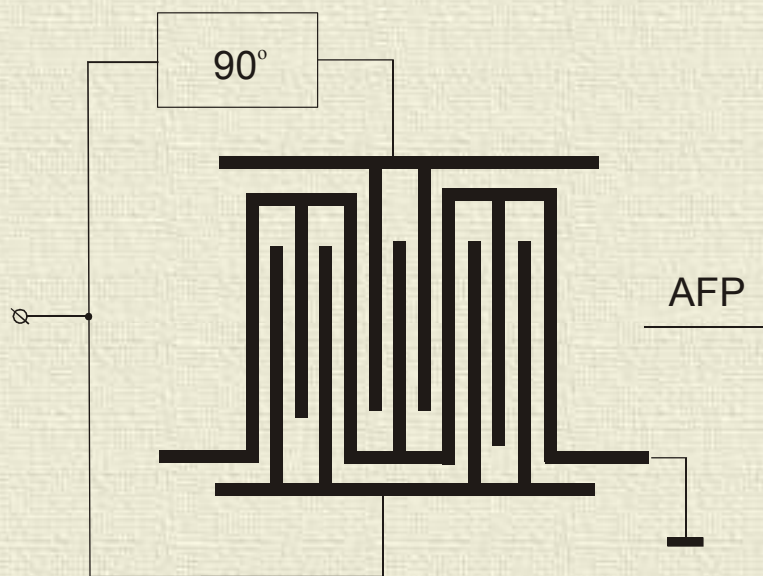
dzielenie elektrod

Eliminacja dwukierunkowości

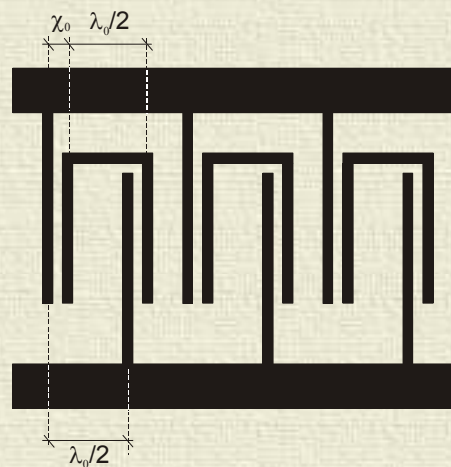
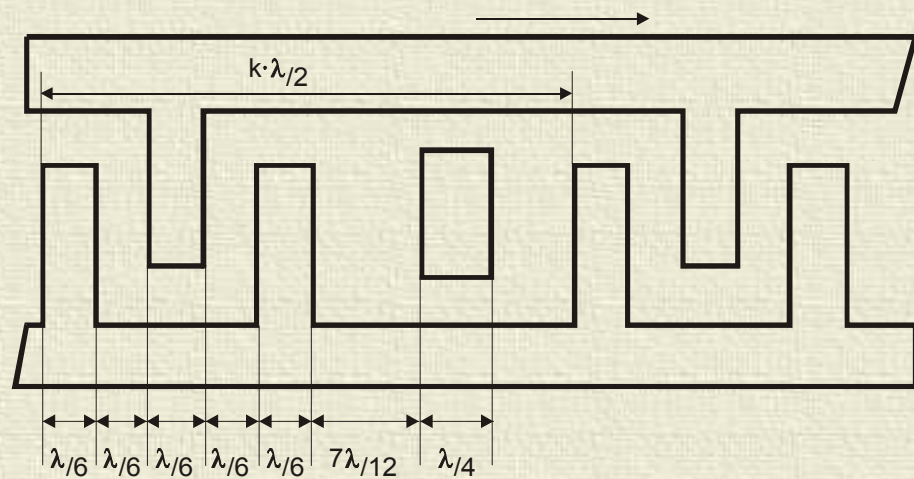


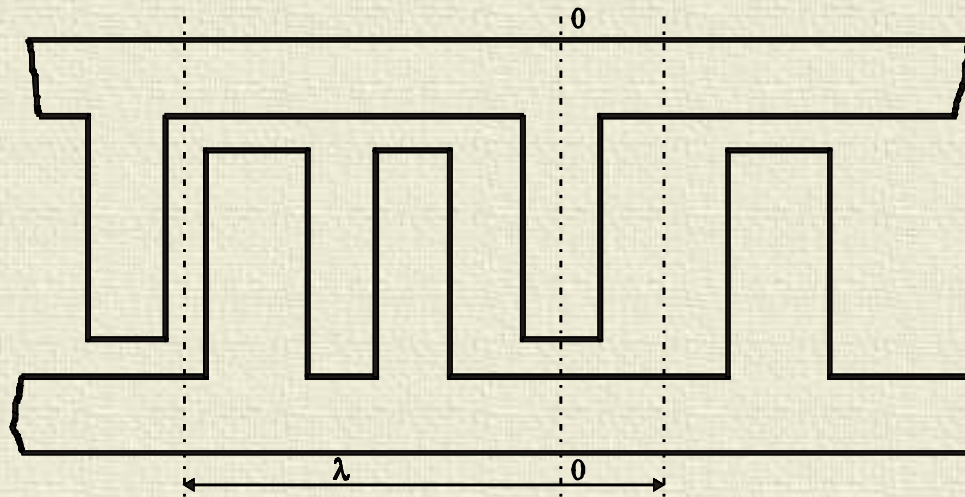
zastosowanie reflektorów

przetwornik dwufazowy



Przetworniki jednokierunkowe jednofazowe (SPUDT)



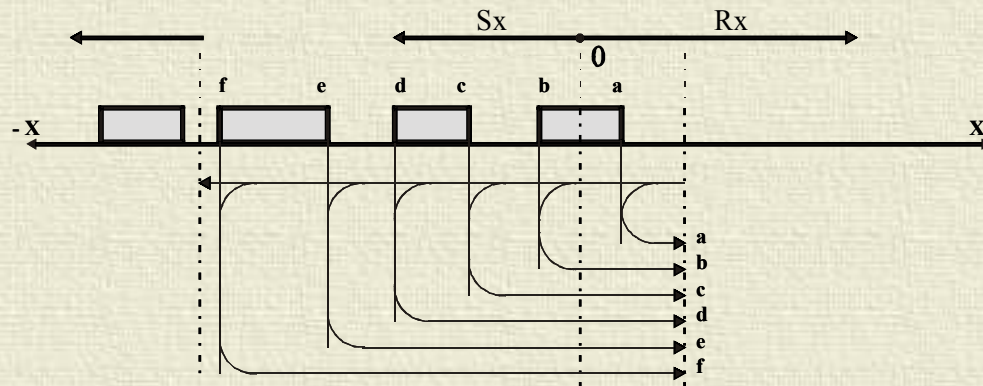


amplituda fali postępującej

$$R_x = E[(1-r) - j 0,73 r]$$

amplituda fali wstecznej

$$S_x = E[(1+r) - j 0,73 r]$$

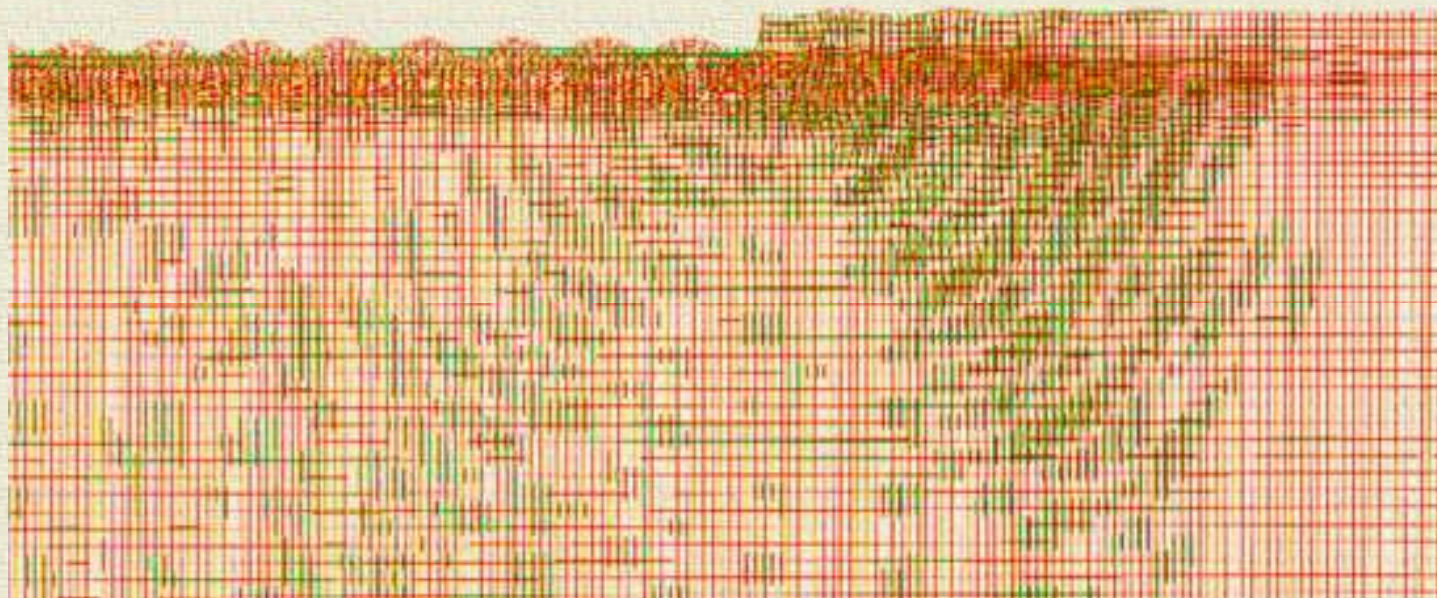


E – amplituda pola elektr.

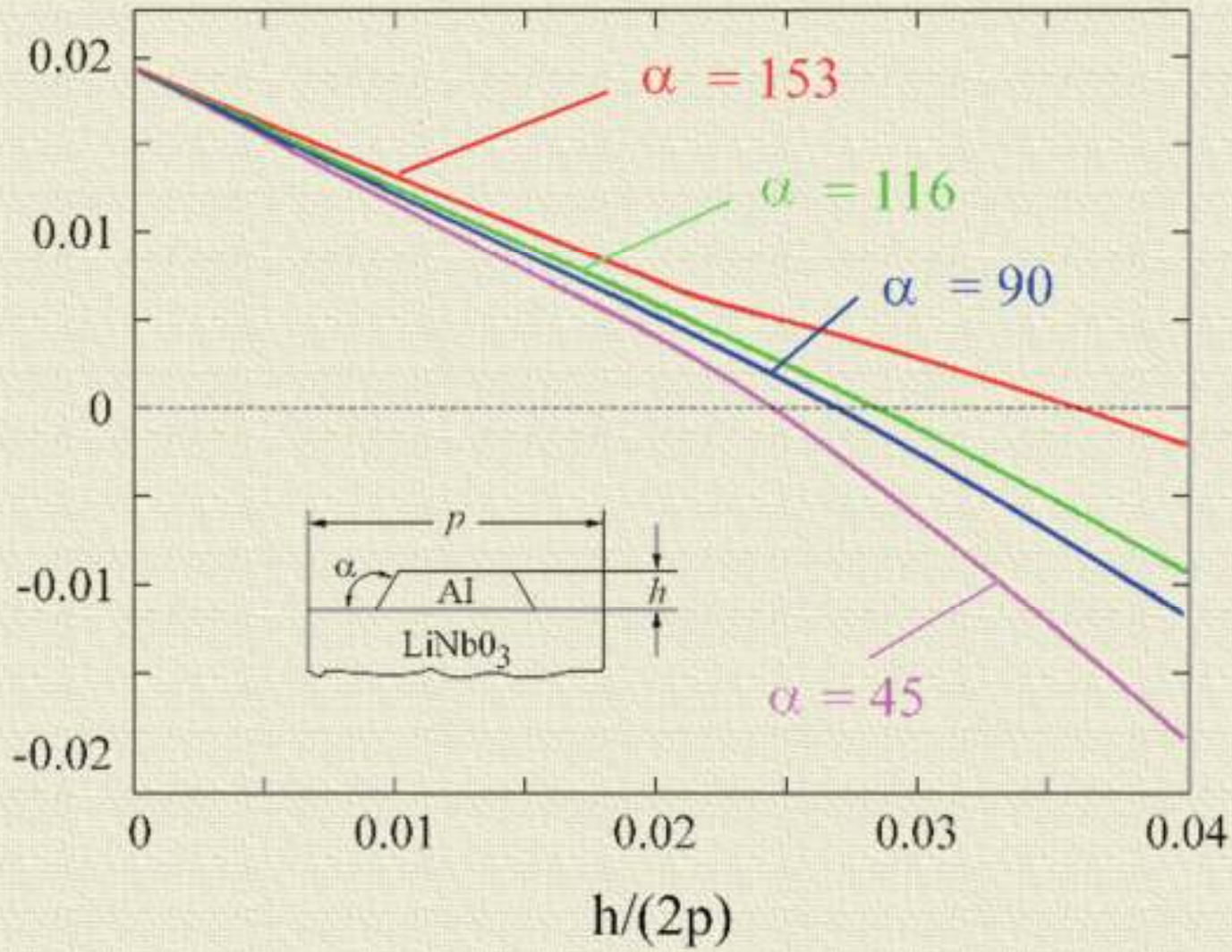
r – wsp. odbicia od krawędzi elektrody

Metoda ta zapewnia niemal zerowe tłumienie w paśmie przepustowym ale stosunkowo niewielkie w paśmie zaporowym.

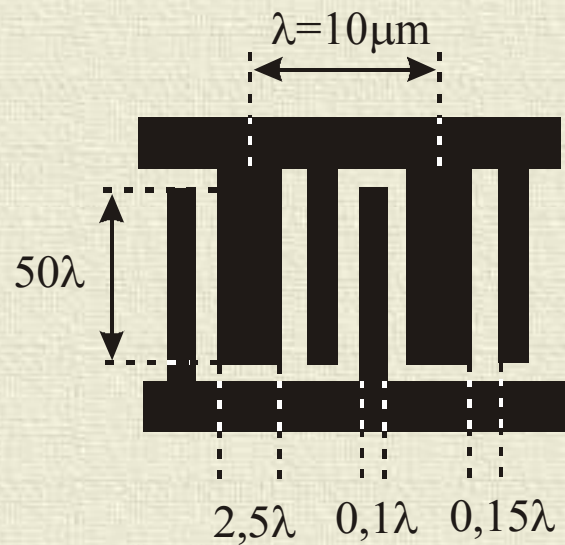
Symulacja odbicia fali na elektrodzie



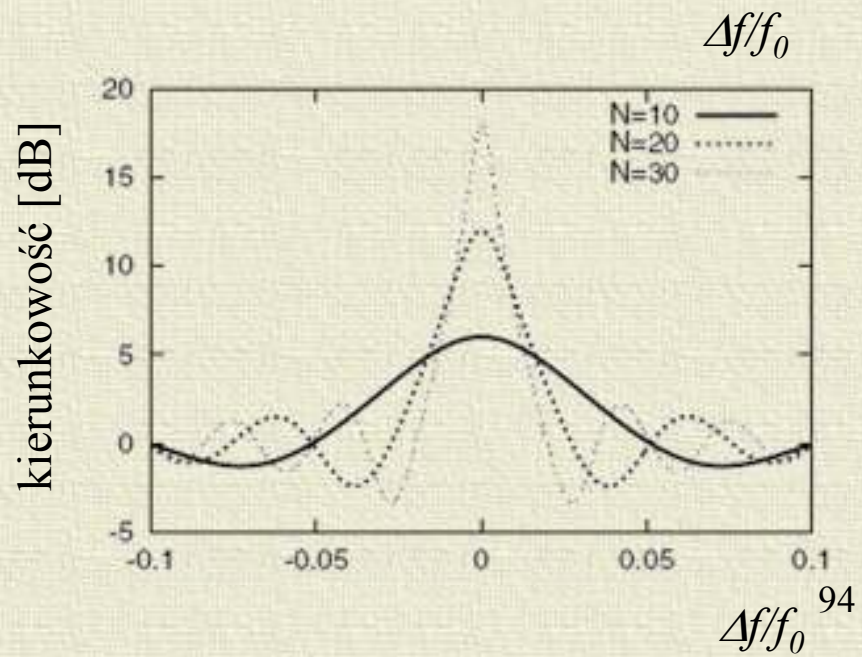
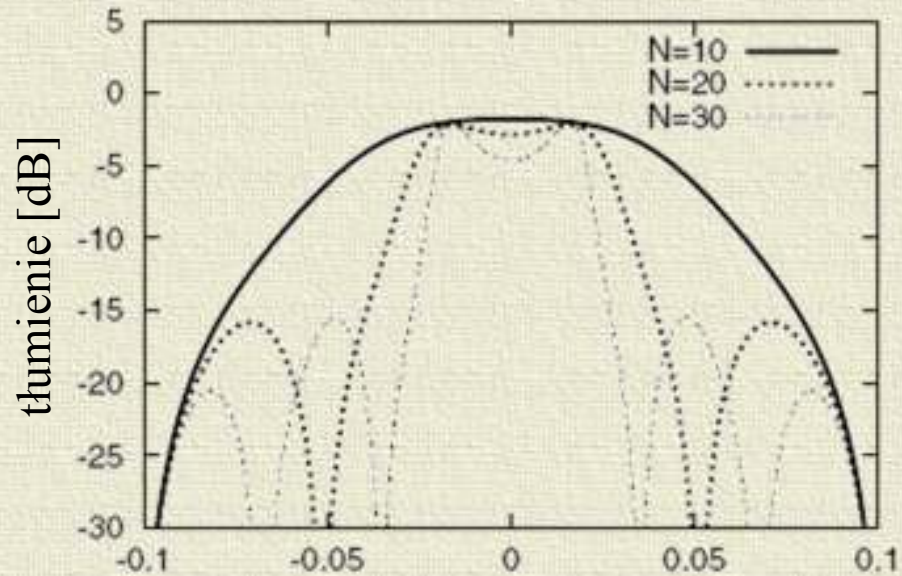
moduł współczynnika odbicia



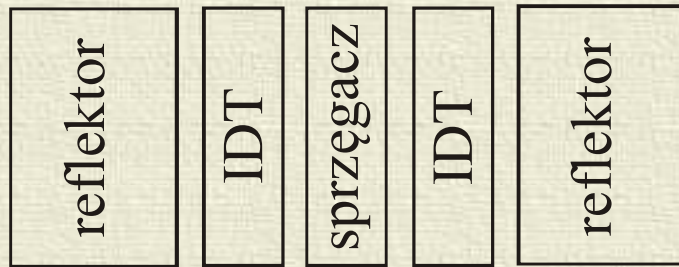
Jedna sekcja SPUDT



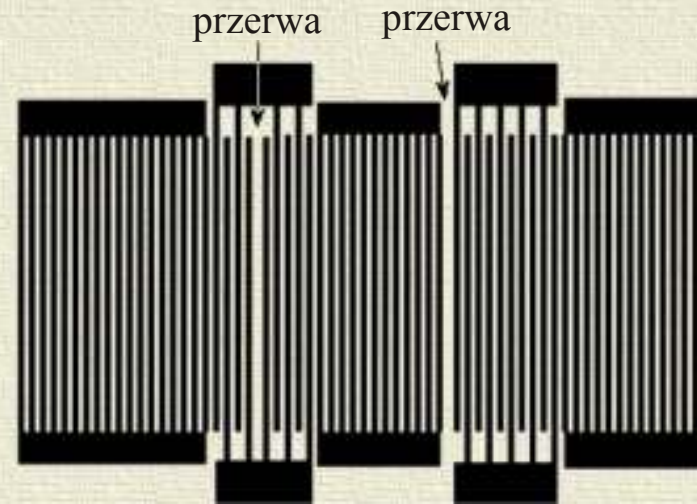
350 MHz
128° XY LiNbO₃



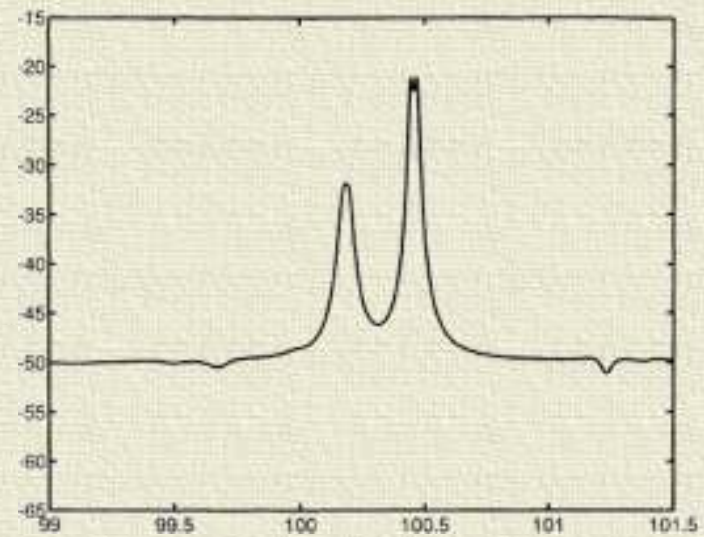
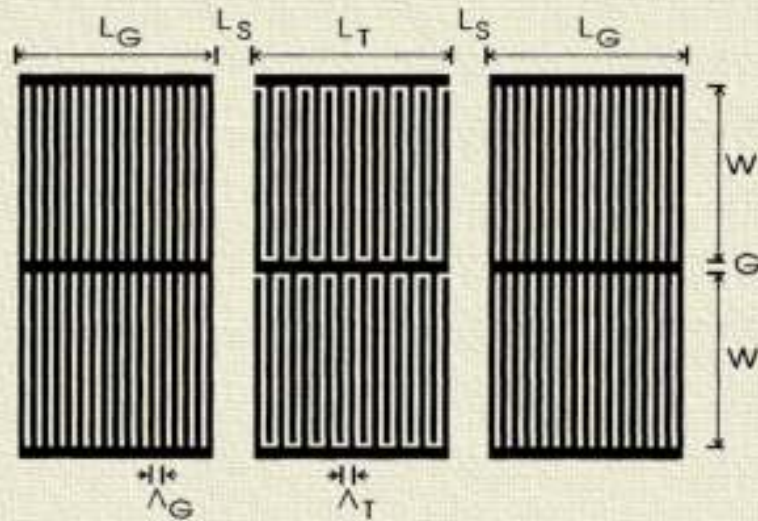
Filtry rezonansowe



koncepcja bazowa

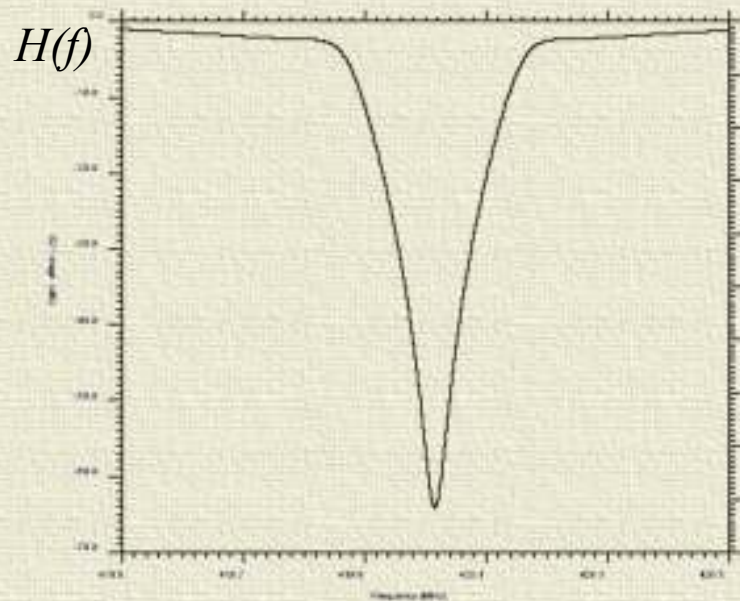


przykład realizacji

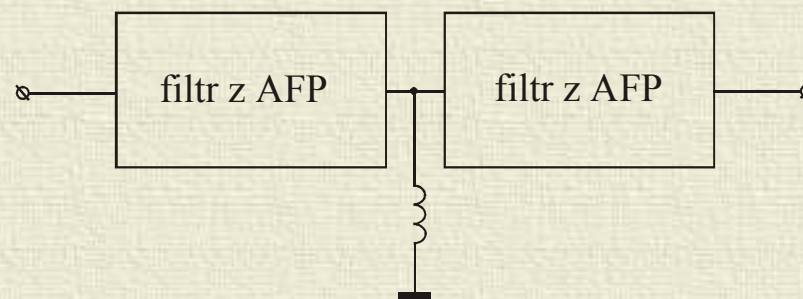
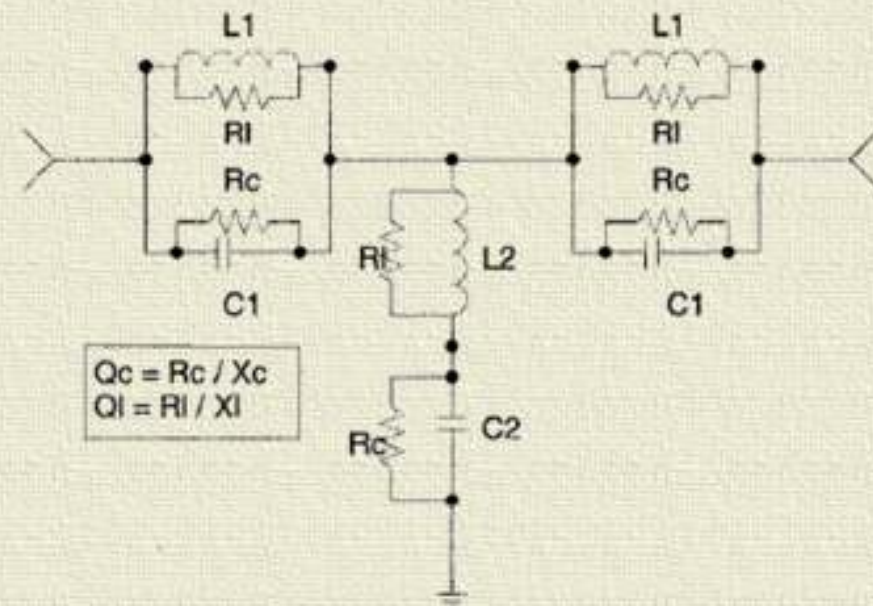


filtr sprzężony poprzecznie

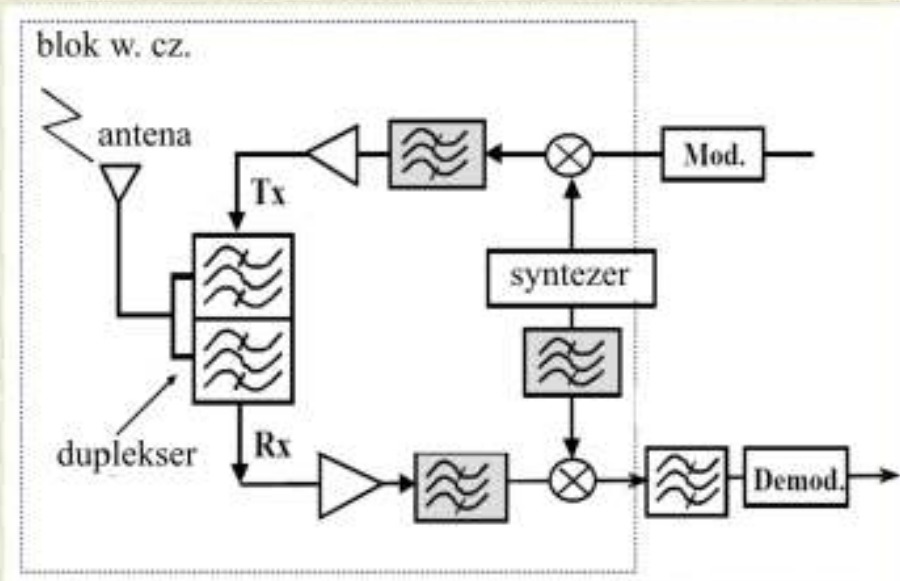
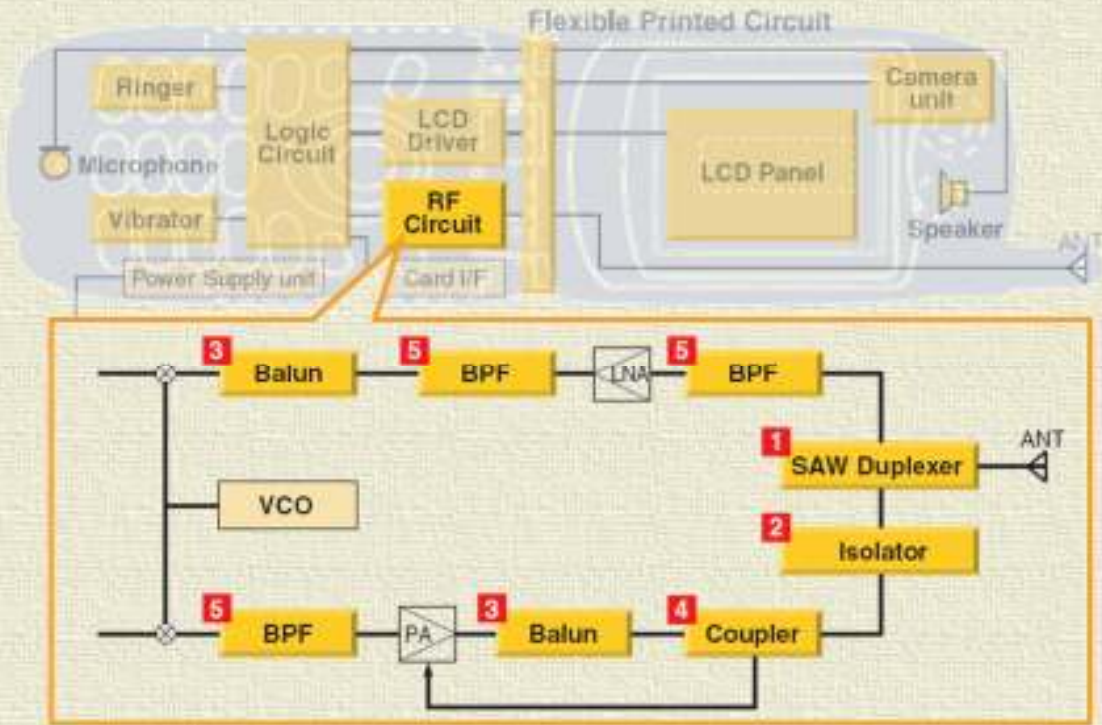
Filtry „notch”



f



Dupleksery antenowe



typowe parametry

tłumienie w paśmie

Tx 1,2 dB

Rx 1,8 dB

poza pasmem

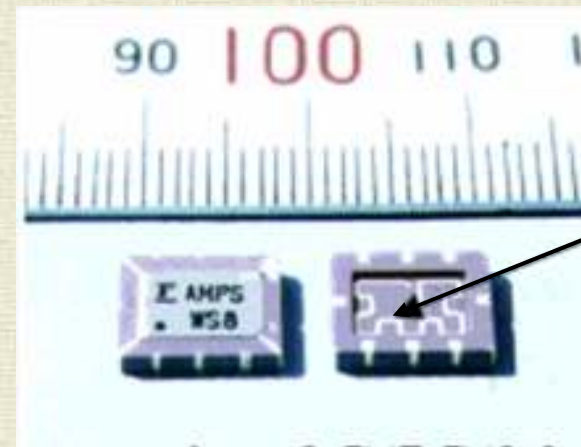
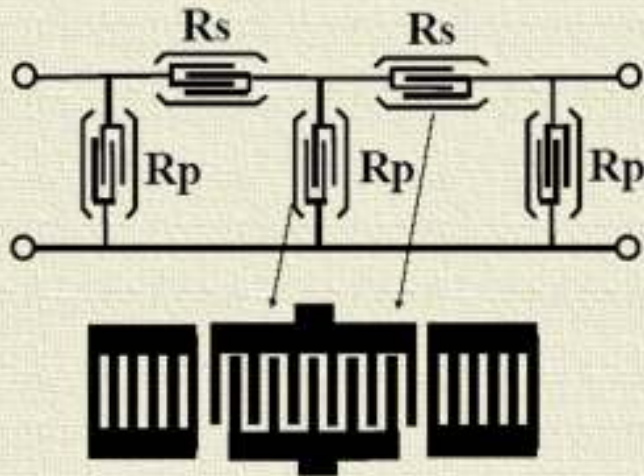
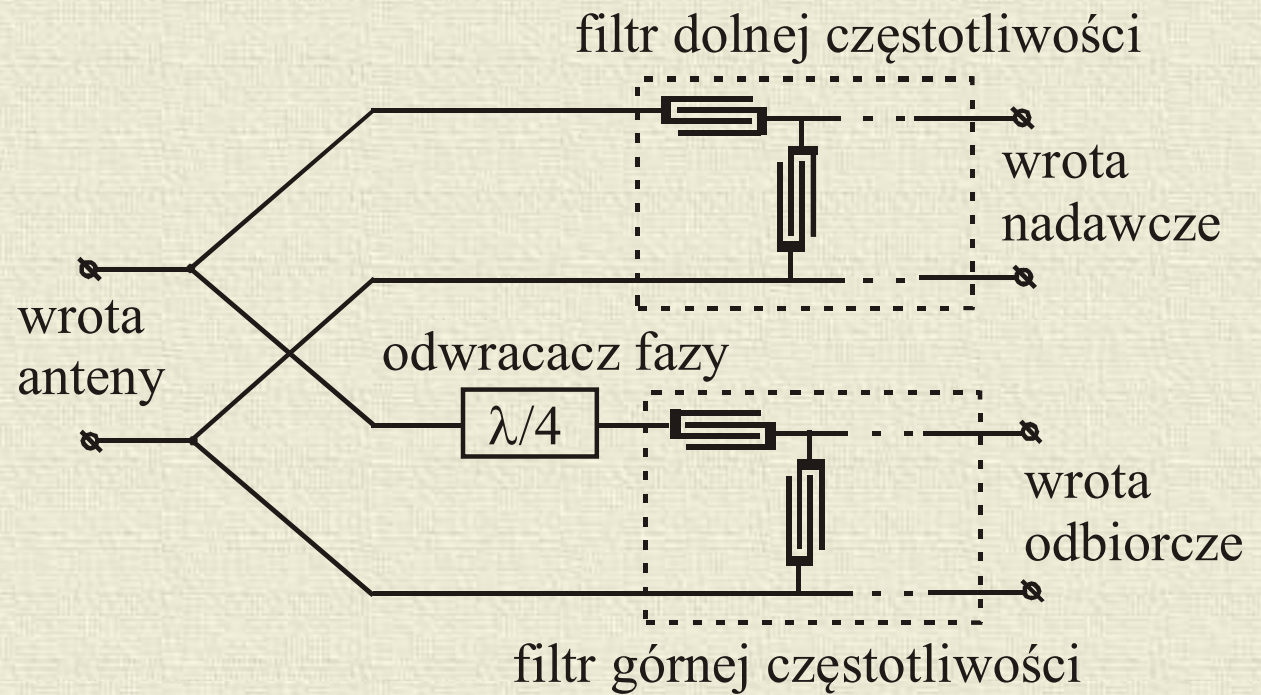
Tx 53 dB

Rx 45 dB

WFS

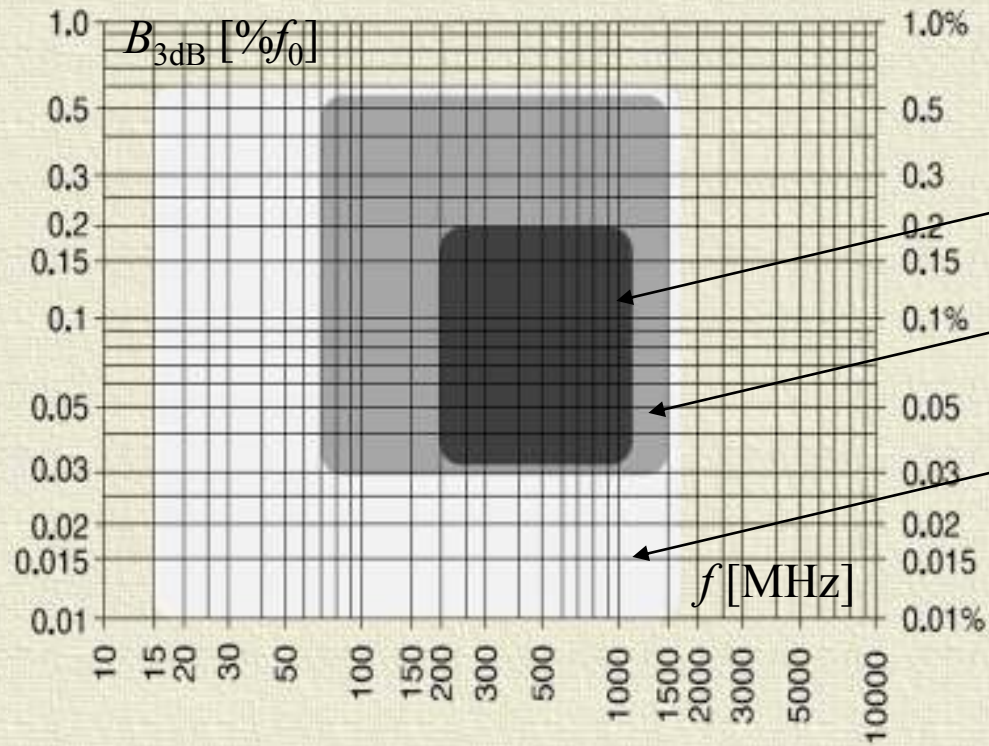
Tx 1,6

Rx 1,7



mikropaskowa linia $\lambda/4$

Osiągalne parametry filtrów

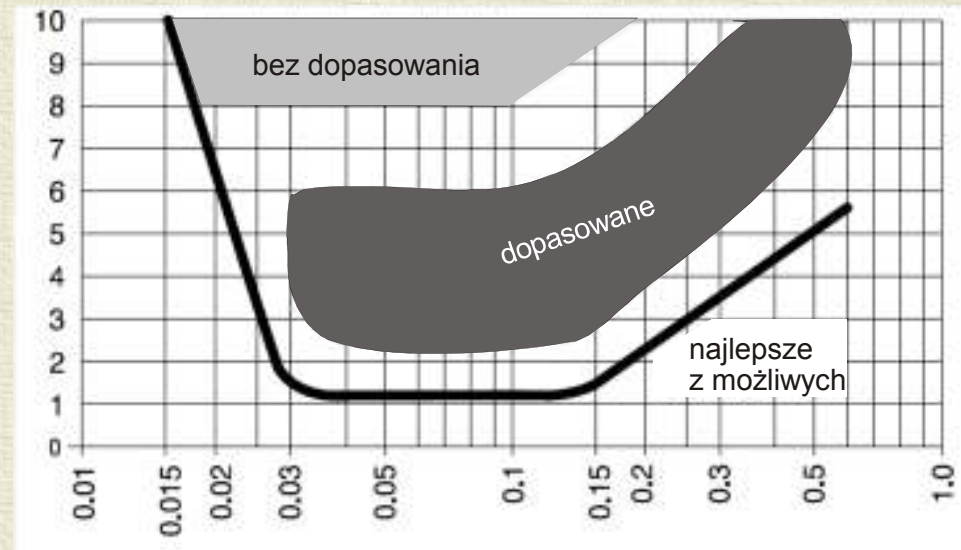


optimum rozmiar/cena

realizowane w praktyce

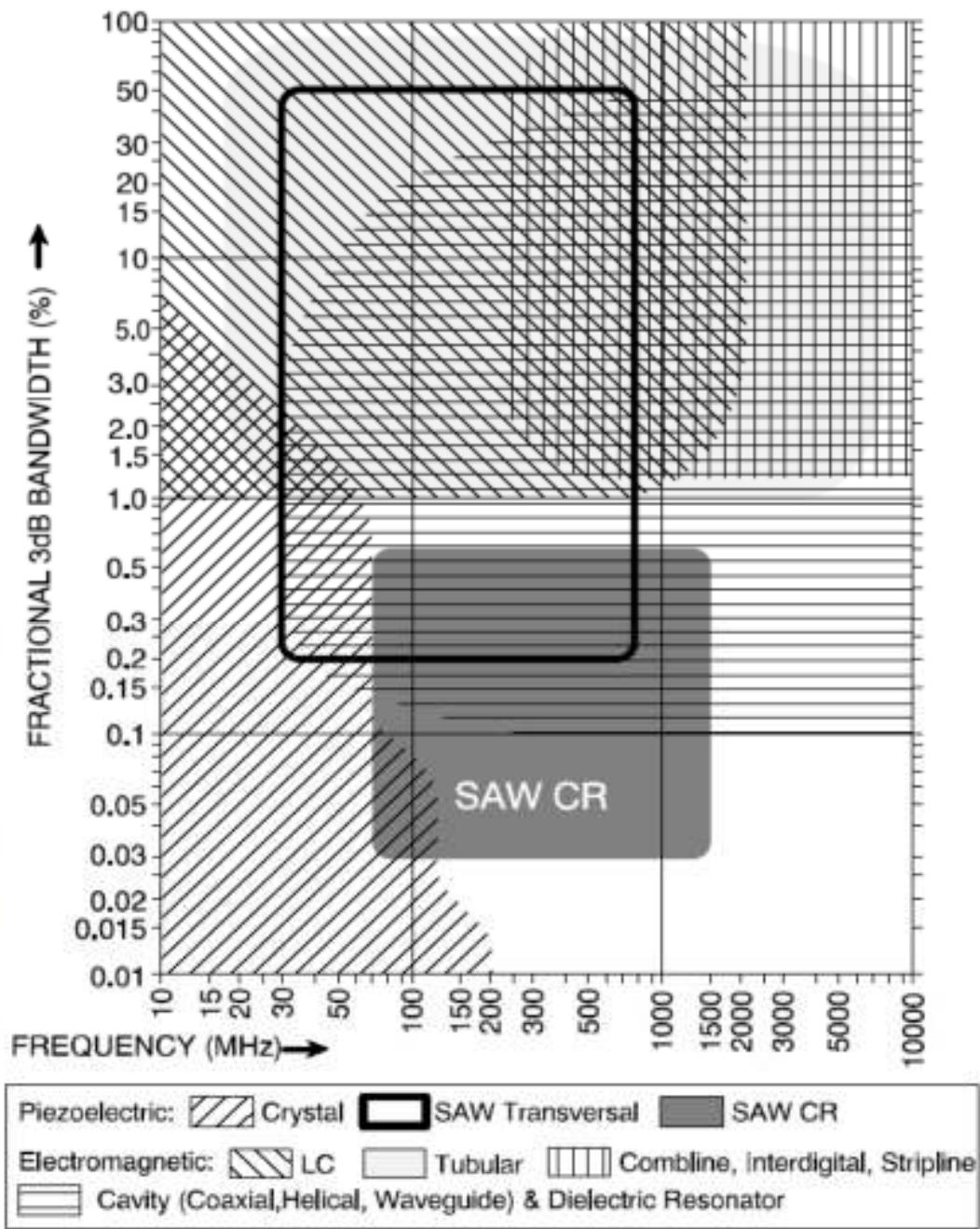
teoretycznie możliwe

Straty [dB]

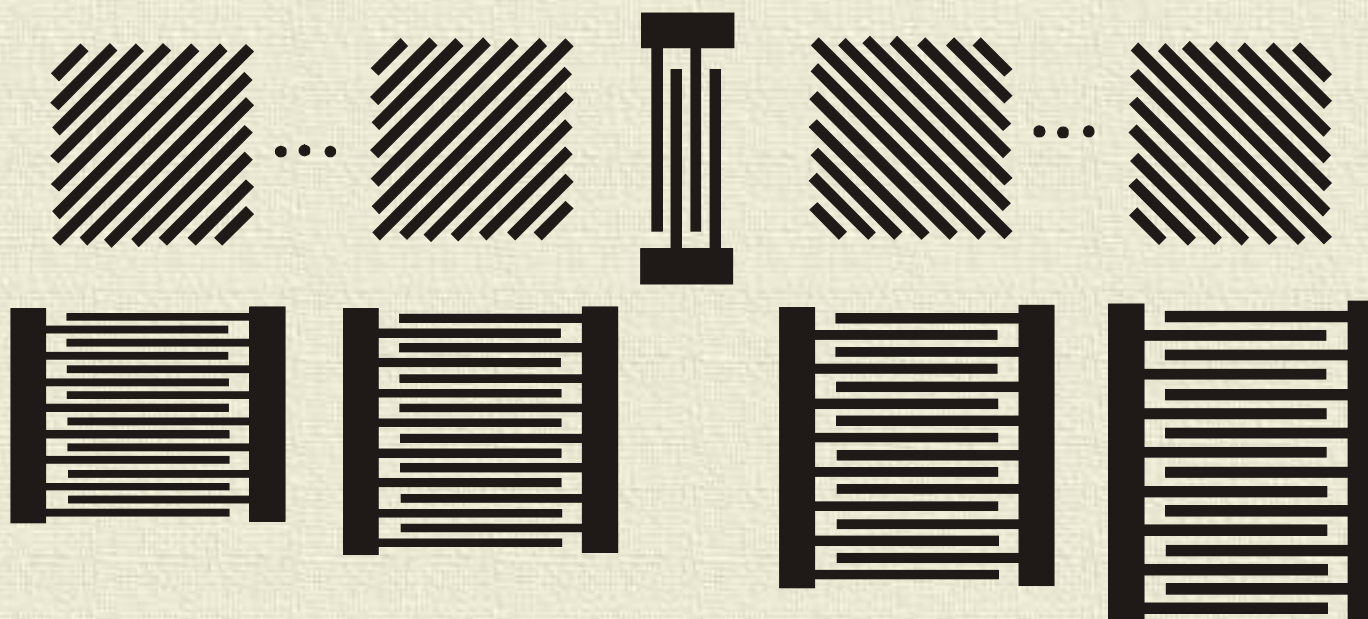
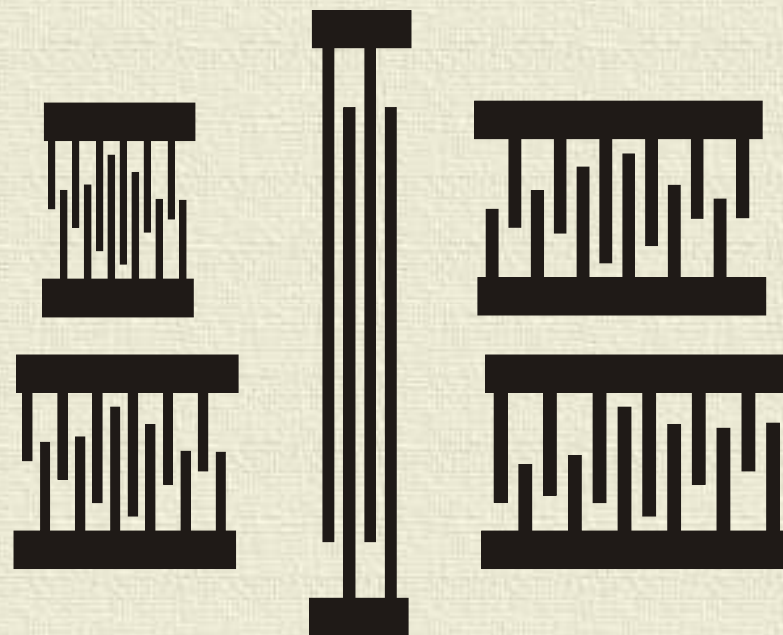
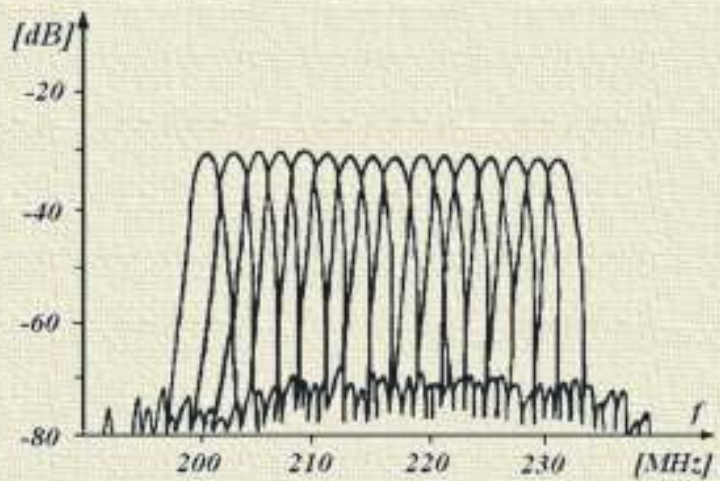


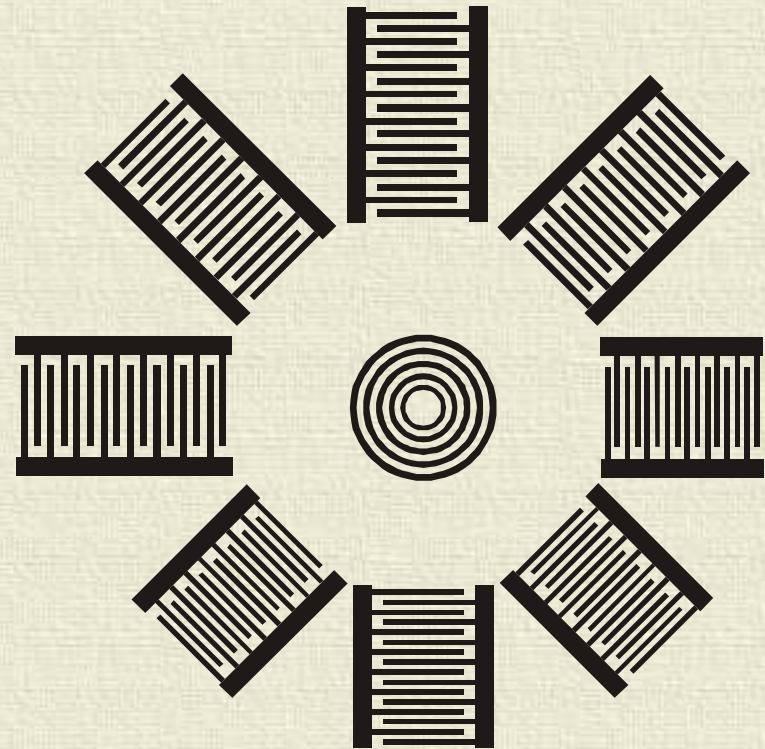
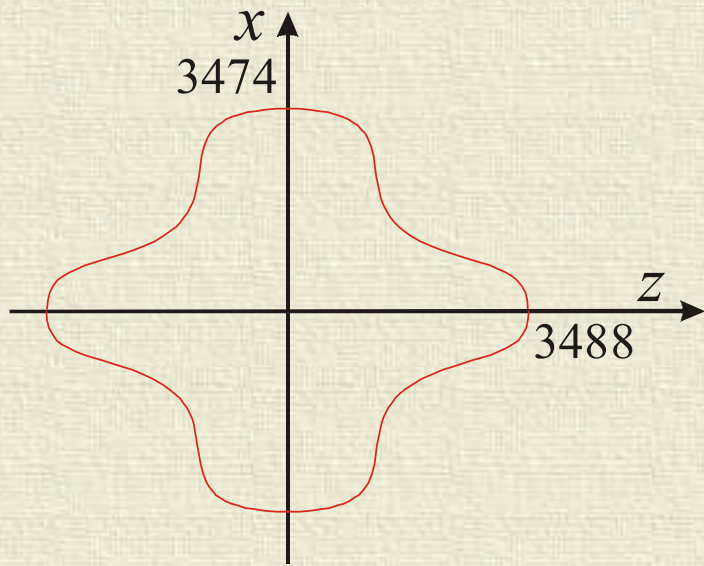
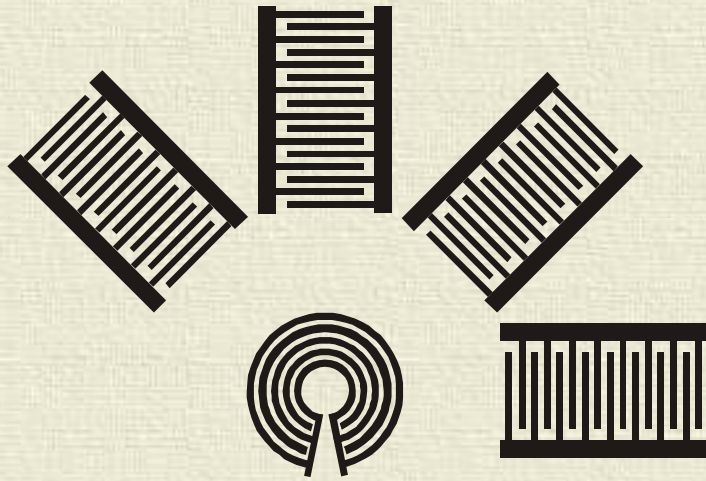
B_{3dB} [$\%f_0$]

Porównanie różnych filtrów



Banki filtrów





Zalety filtrów z AFP

- wysokie częstotliwości pracy (GHz)
- małe rozmiary – malejące z częstotliwością
- możliwość niemal dowolnego kształtowania charakterystyk
- możliwość przenoszenia stosunkowo dużych mocy
- łatwość dopasowania do układu
- możliwość scalania
- duża swoboda konfiguracyjna – banki filtrów
- prostota i wysoka powtarzalność technologii
- niska cena

Rezonatory

Budowa klasycznych rezonatorów opiera się na wykorzystaniu pełnego odbicia fali objętościowej od płaszczyzn ograniczających płytkę rezonansową. W przypadku fal powierzchniowych analogiczne odbicie od krawędzi podłoża prowadzi do znacznych strat wynikających z rozpraszania AFP do fal objętościowych.

Niemal pełne odbicie można uzyskać przez wykorzystanie efektu sprzężenia fali postępującej i wstecznej, propagujących się pod okresowo nałożonymi elektrodami. Zjawisko to jest szkodliwe w przypadku przetworników międzypalczastych. Analogiczne odbicie fali otrzymuje się też przy propagacji AFP pod okresowo zaburzoną powierzchnią.

Istnieje kilka metod realizacji okresowych zaburzeń powierzchni:

- wykorzystaniu niejednorodności elektrycznej wprowadzanej przez elektrody,
- zastosowaniu okresowych rowków na powierzchni podłoża,
- naruszeniu struktury podłoża przez dyfuzję lub implantację jonów,
- nałożeniu na powierzchnię „ciężkich” elektrod.

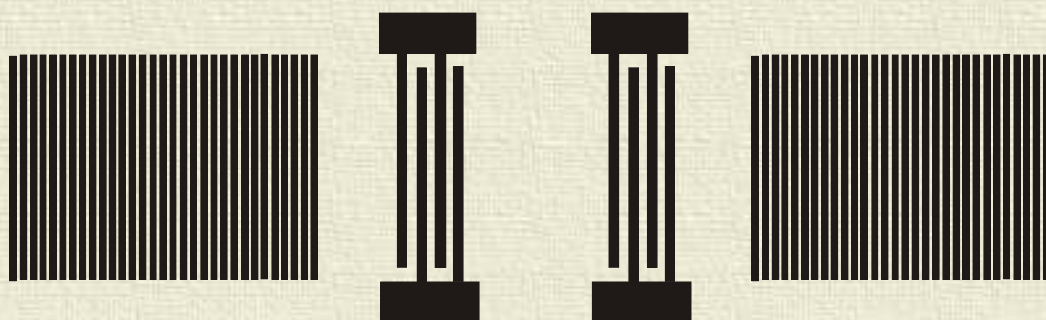
Najczęściej stosowane są struktury rowkowe, wykonywane przez trawienie (np. jonowe). Stosuje się rowki o głębokościach w granicach $0,01 \div 0,03$ długości odbijanej fali powierzchniowej.

Podstawowe konfiguracje

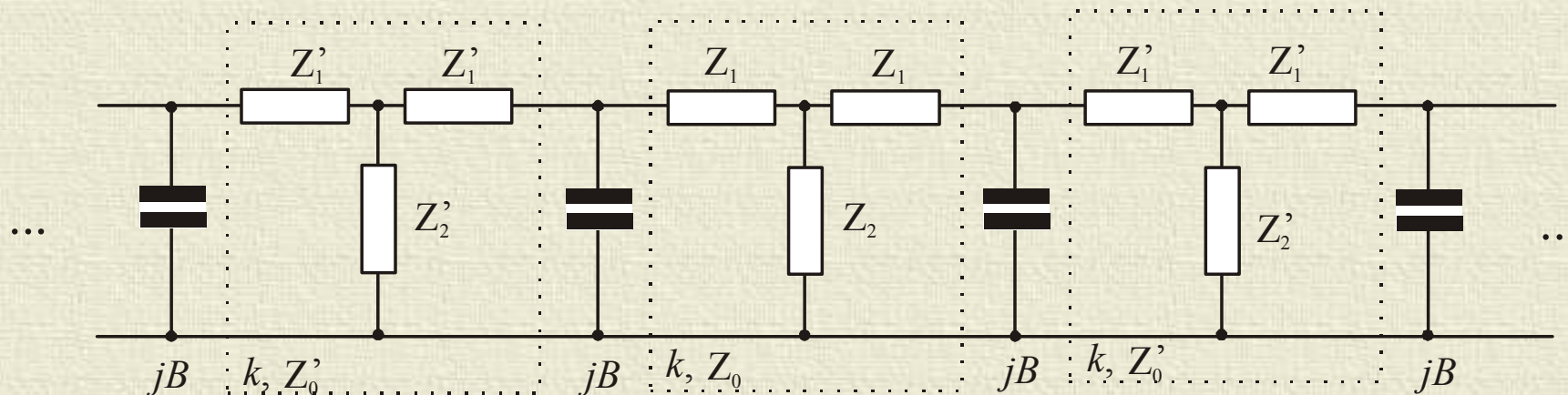
Rezonator jednoportowy



Rezonator dwuportowy



Podstawowe własności struktur odbijających można analizować wykorzystując metody układu zastępczego. Niezbędne parametry określone są zwykle empirycznie.



Schemat zastępczy struktury rowkowej

W strukturach rowkowych obserwowany jest efekt przesunięcia częstotliwości pracy struktury odbijającej w stronę niższych częstotliwości wraz ze wzrostem głębokości rowków oraz efekt odbicia drugiej harmonicznej fali. Efekty te uwzględnia się przez włączenie susceptancji B między ogniwa układu zastępczego.

Przesunięcie środkowej częstotliwości pracy struktury odbijającej, uwzględniane przez susceptancję B ma wartość :

$$\frac{\Delta f}{f_0} = \frac{1}{\pi} \frac{B}{Y_0}$$

Empiryczne parametry układu zastępczego można zapisać w postaci zależności :

$$\frac{Y'_0}{Y_0} = 1 - 0,67 \frac{h}{\lambda} \quad \text{dla LiNbO}_3(YZ),$$

$$\frac{Y'_0}{Y_0} = 1 - 0,54 \frac{h}{\lambda} \quad \text{dla SiO}_2(ST, X)$$

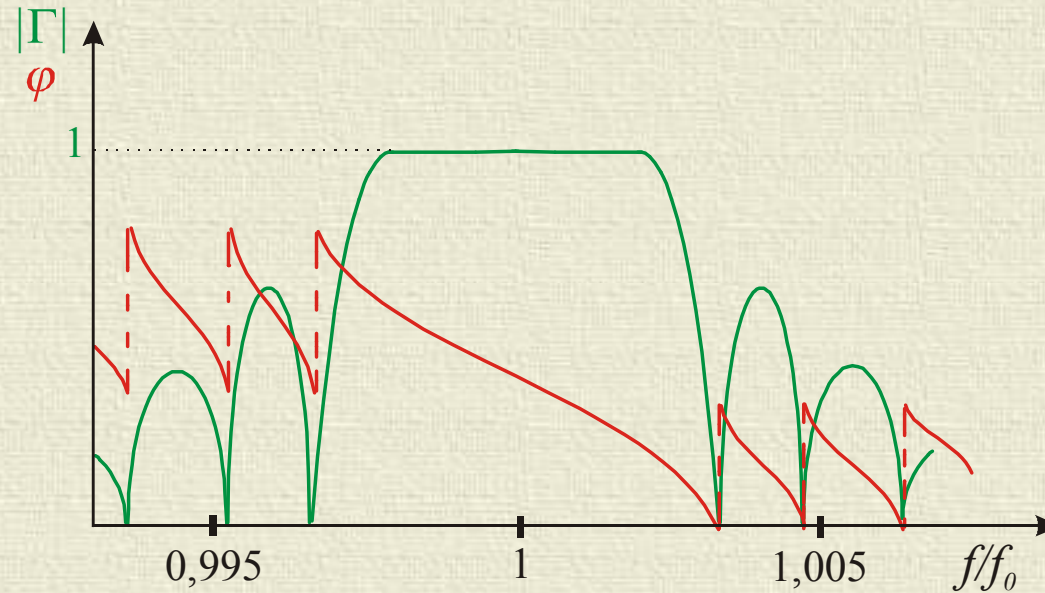
$$\frac{B}{Y_0} = -42 \left(\frac{h}{\lambda} \right)^2 \quad \text{dla LiNbO}_3(YZ),$$

$$\frac{B}{Y_0} = -35 \left(\frac{h}{\lambda} \right)^2 \quad \text{dla SiO}_2(ST, X)$$

Zależności te obowiązują dla $0,01 < h/\lambda < 0,03$ oraz periodu $\lambda/2$

Dla dostatecznie długich struktur odbijających można przyjąć, że podobnie jak w przypadku nieskończonego układu elektrod, w obszarze struktury propagują się fale postępujące i wsteczne, poza obszarem struktury propagują się zaś fale padające i odbite.

Biorąc pod uwagę amplitudy tych fal oraz nakładając warunek zachowania energii sumy fal propagujących się w poszczególnych kierunkach otrzymuje się współczynnik odbicia dla całej struktury odbijającej.



Dla dostatecznie długich struktur wsp. Odbicia wynosi 1 przy czym ze względu na zjawiska szkodliwe nie stosuje się struktur dłuższych niż kilkanaście λ^2/h .

Faza odbicia ma liniowy przebieg w pobliżu częstotliwości środkowej, co pozwala na wprowadzenie pojęcia ekwiwalentnego lustra (w analogii do rezonatora Fabry-Perota), w pewnej odległości od początku struktury.

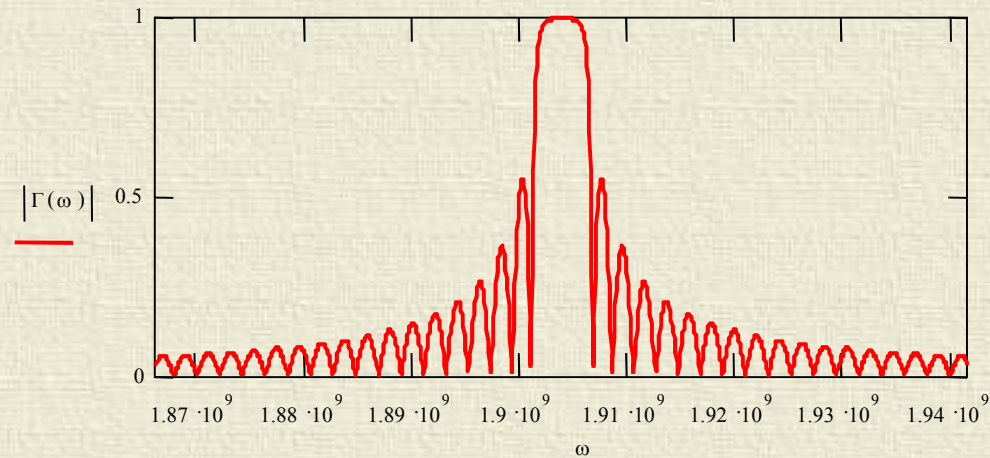
Odległość ta wynika z warunku na zmianę fazy fali odbitej od „lustra” i wynosi:

$$L_p = -\frac{1}{4\pi} \frac{\partial \varphi}{\partial (f / f_o)} \lambda$$

Współczynnik odbicia można wyrazić zależnością

$$\Gamma(\omega) = \frac{\frac{i\chi}{\sigma(\omega)} \sinh(\sigma(\omega)L)}{\cosh(\sigma(\omega)L) + \frac{i\delta(\omega)}{\sigma(\omega)} \sinh(\sigma(\omega)L)}$$

$$\chi = \frac{h}{3\lambda_0^2} \quad \delta(\omega) = \frac{\omega - \omega_0}{\nu} \quad \sigma(\omega) = \sqrt{\chi^2 - \delta(\omega)^2}$$



Odległość ekwiwalentnego lustra od czoła struktury odbijającej w jawnej postaci wynosi

$$L_p = \frac{1}{4\chi\pi}$$

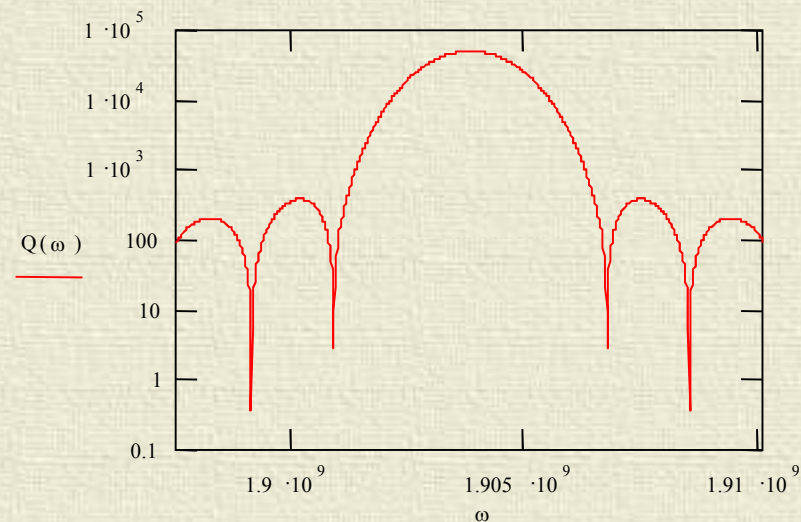
Dobroć wewnętrzznarezonatora

$$Q = \frac{2\pi |\Gamma(\omega)| L_{ef}}{\lambda_0 [1 - |\Gamma(\omega)|^2]}$$

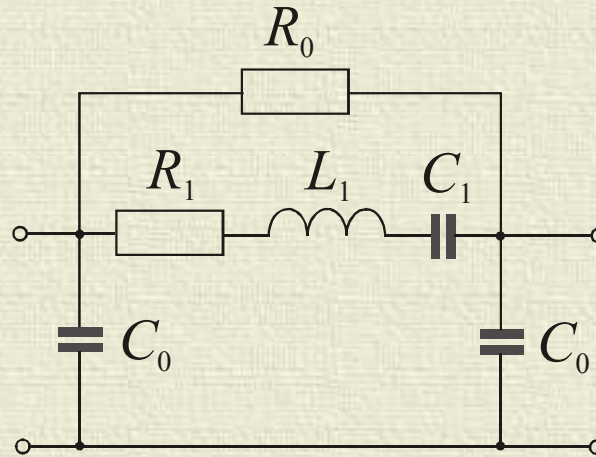
$$L_{ef} = 2L_S + L_T$$

L_S odległość ekwiwalentnego lustra od krawędzi IDT

L_T odległość krawędzi reflektora od krawędzi IDT



Uproszczony schemat zastępczy rezonatora dwuportowego (obowiązuje tylko w pobliżu f_0)



$$R_1 = \frac{1}{8 \frac{v_0 - v}{v} \epsilon_r W f_0 N^2}$$

$$C_0 = \frac{2}{\pi} \epsilon_r W + C_1$$

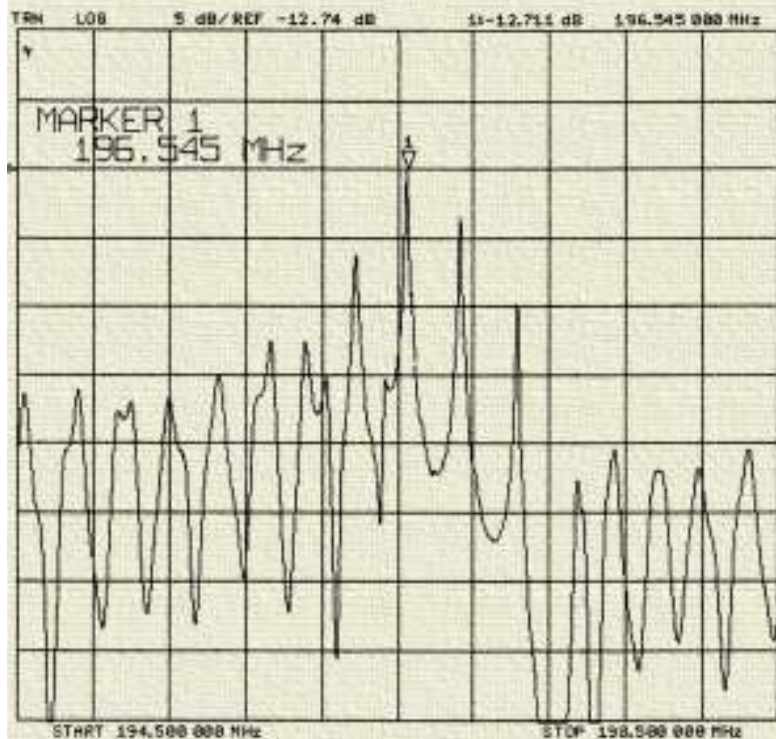
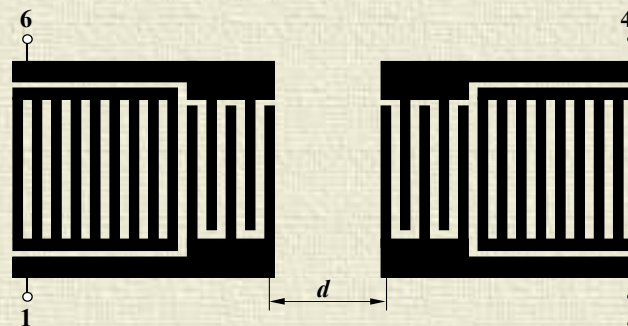
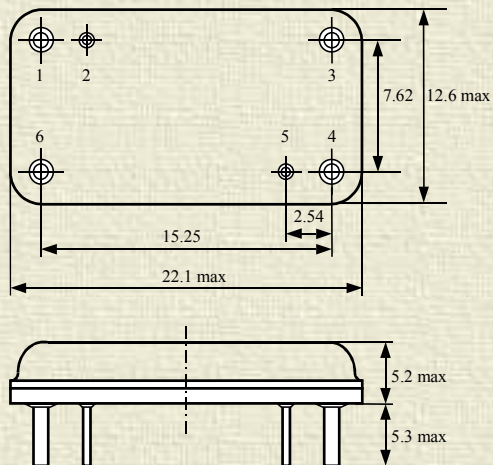
$$C_1 = \frac{1}{\omega_0^2 L_1}$$

$$L_1 = \frac{L_{ef} R_1}{4 |\Gamma(f_0)| f_0} \frac{L_{ef}}{\lambda_0}$$

$$R_0 = \frac{1 - |\Gamma(f_0)|}{2 |\Gamma(f_0)|} R_1$$

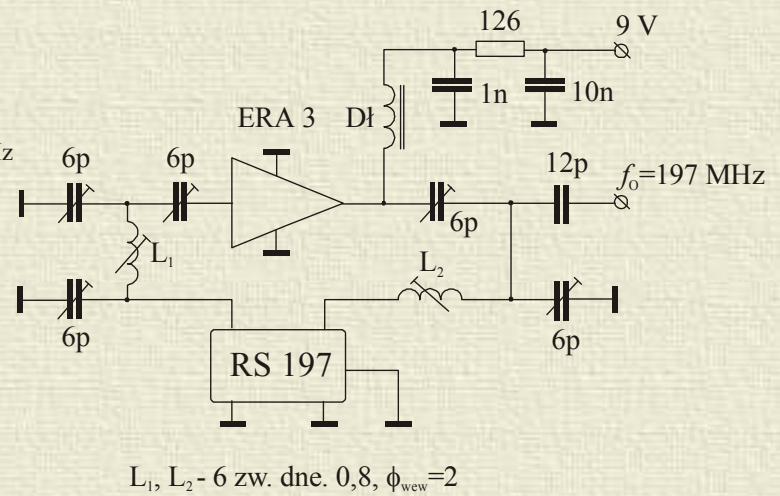
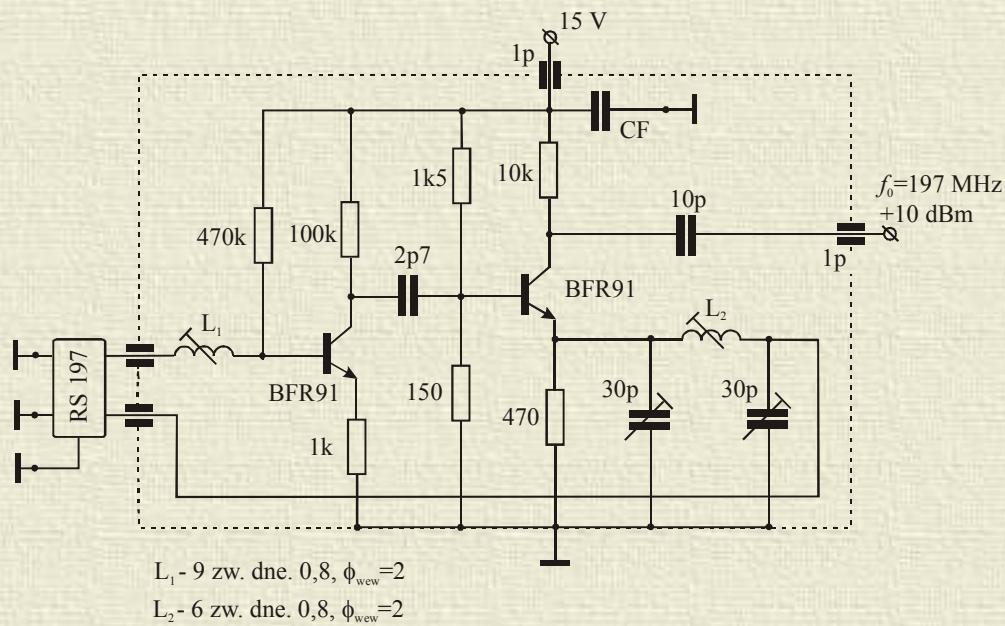
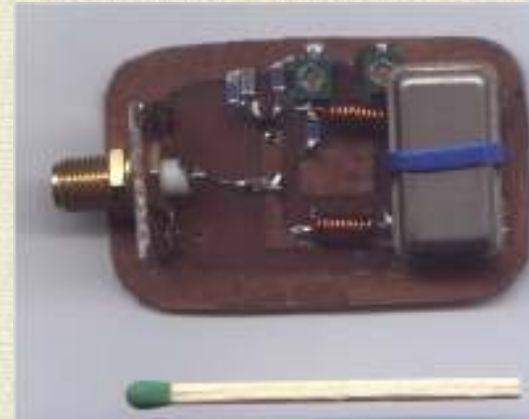
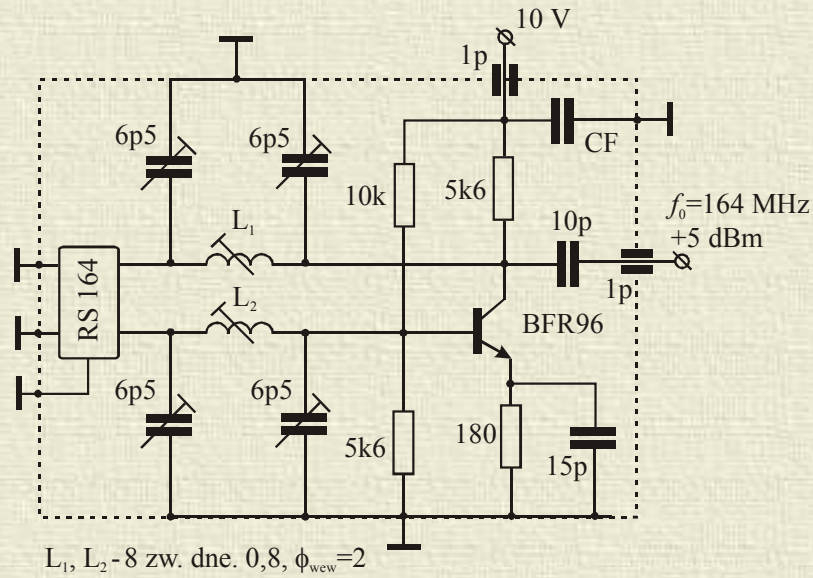
Zalety rezonatorów z AFP

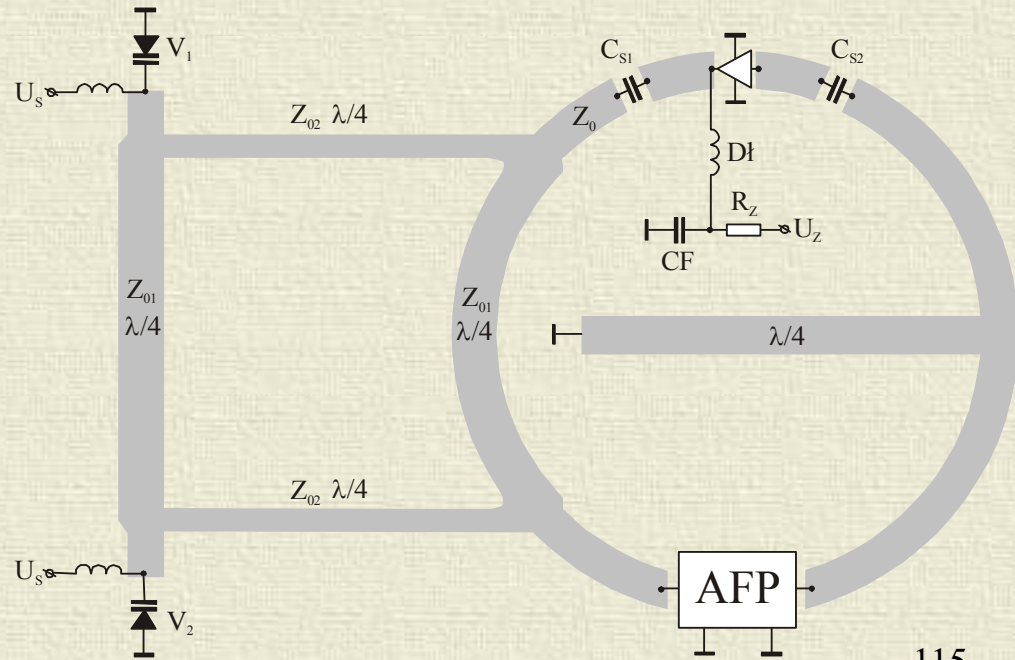
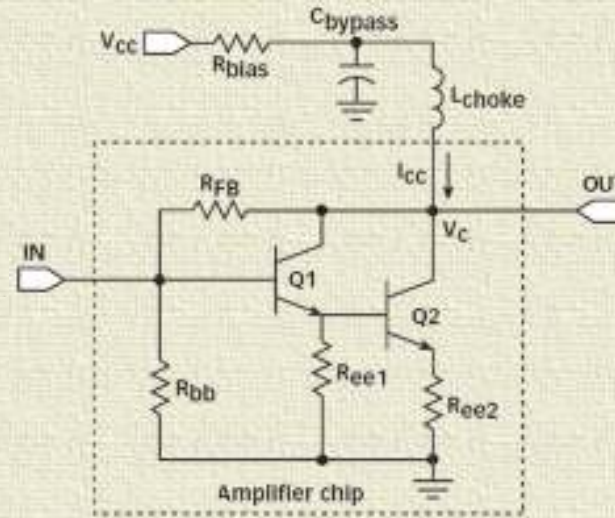
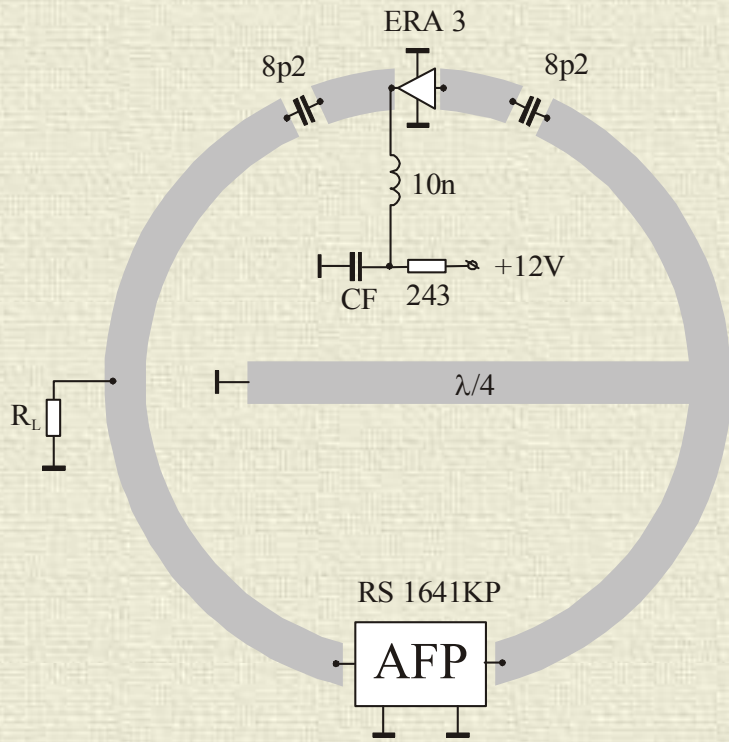
- wysokie częstotliwości pracy (GHz)
- małe rozmiary – malejące z częstotliwością
- wysokie dobroci całkowite (nawet ponad 20 000)
- dobra stabilność częstotliwości
- łatwość dopasowania do układu
- możliwość scalania
- duża swoboda konfiguracyjna
- prostota i wysoka powtarzalność technologii
- niska cena



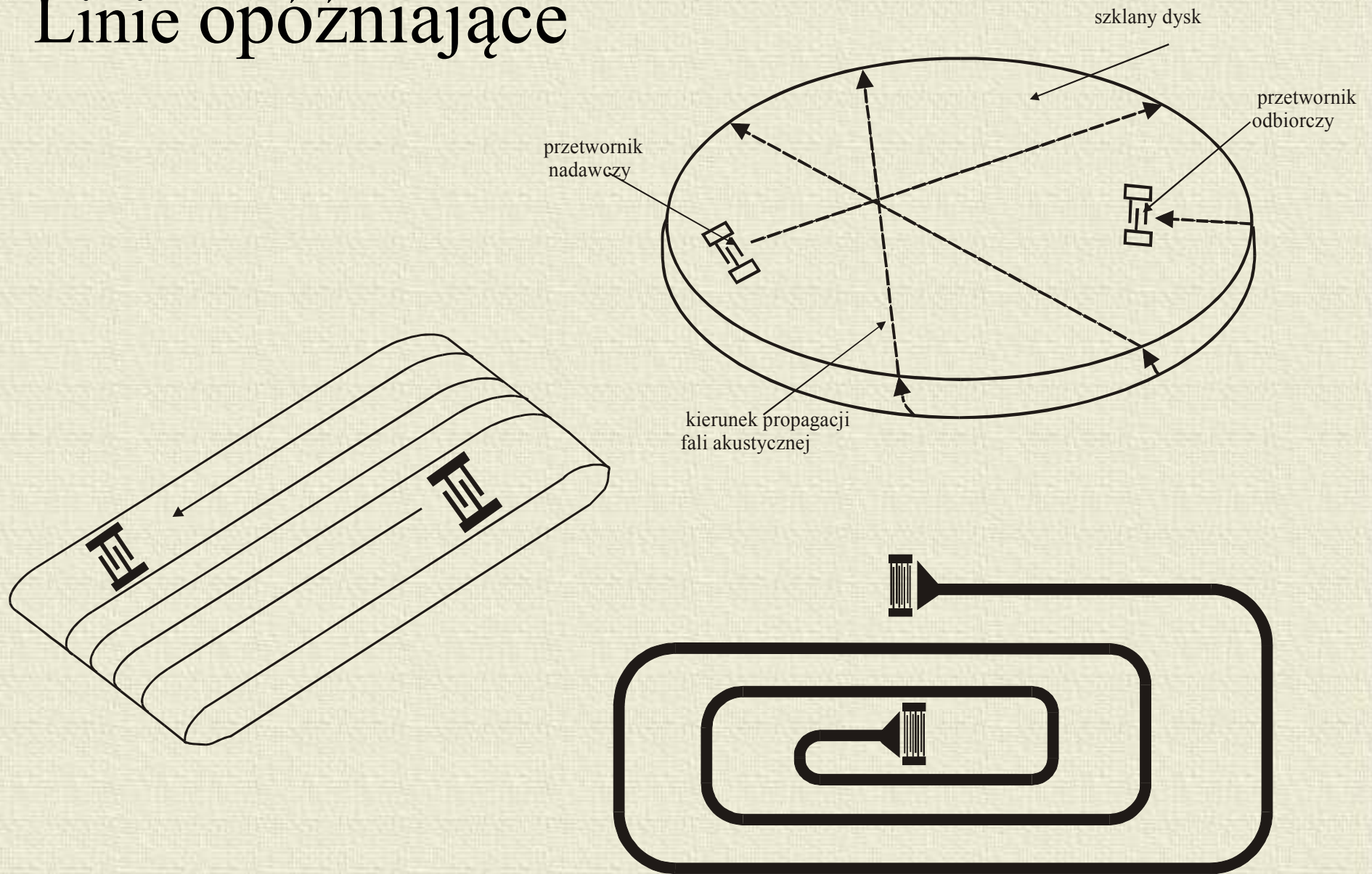
| Parametr | Sym. | Min. | Typ. | Max. | Jedn. |
|--|-------|--------|-----------|------|---------------------------|
| Częstotliwość środkowa | f_0 | - | ~196,6 | - | MHz |
| Straty wtrąceniowe | A_0 | - | 12,0 | 15,0 | dB |
| Dobroć wewnętrzna | Q_U | 15 000 | 20 000 | - | - |
| Dobroć całkowita przy obciążeniu 50 Ω | Q_L | 11 000 | 14 000 | - | - |
| Rezystancja szeregową | R_1 | - | 290 | - | |
| Indukcyjność szeregową | L_1 | - | 4370 | - | H |
| Pojemność szeregową | C_1 | - | 0,15 | - | fF |
| Pojemność równoległą | C_0 | - | 3,1 | 3,2 | pF |
| Faza przy f_0 | | - | 180 | - | stopnie |
| Odległość między IDT | d | - | 4,0 | - | mm |
| Temperatura pracy | T_0 | - | 20 | - | $^{\circ}\text{C}$ |
| Częst. Wsp. Temp. | FTC | - | 0,032 | - | ppm/ $^{\circ}\text{C}^2$ |
| Podłoże | | | Kwarc STX | | |

Przykłady aplikacji

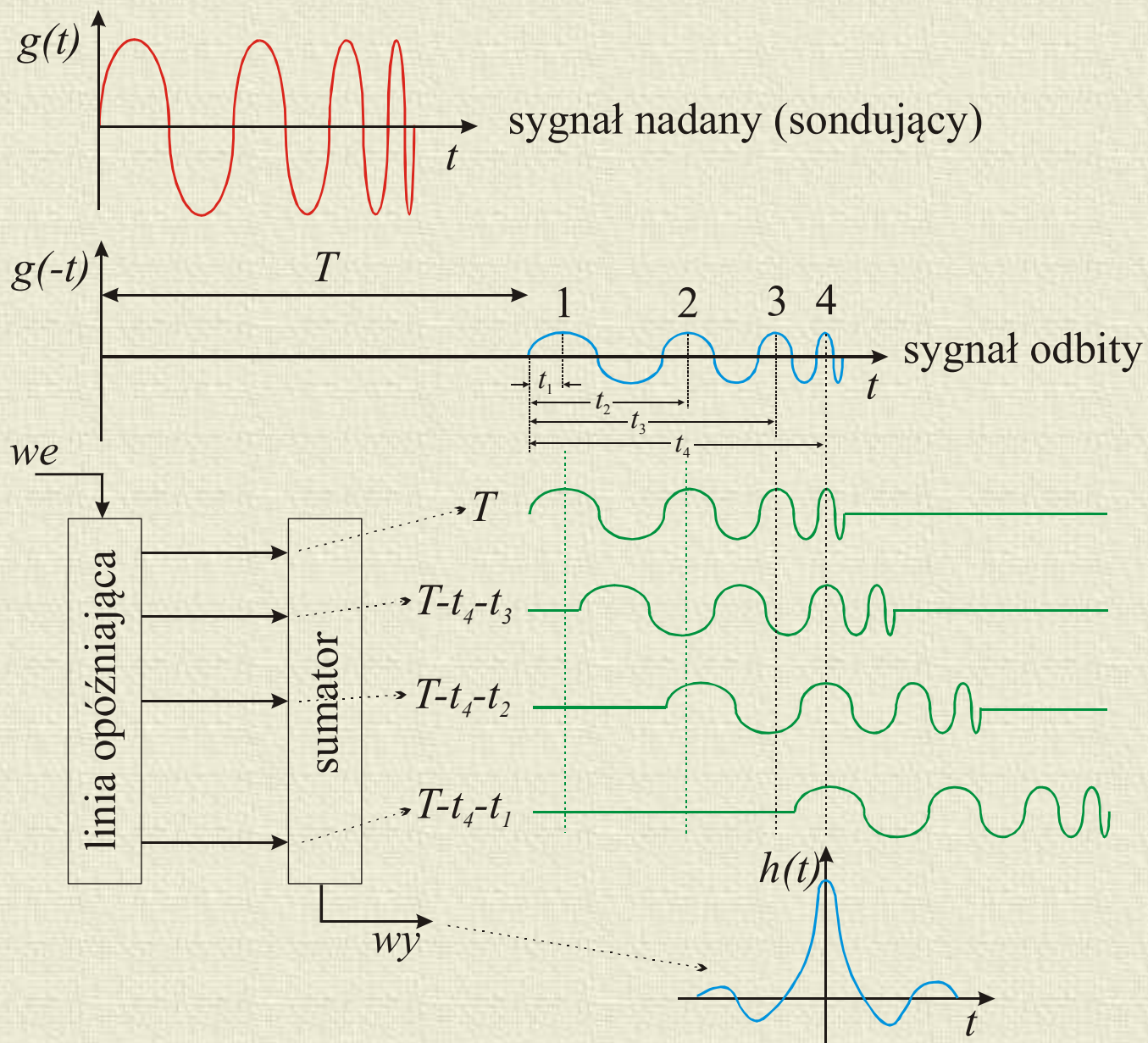




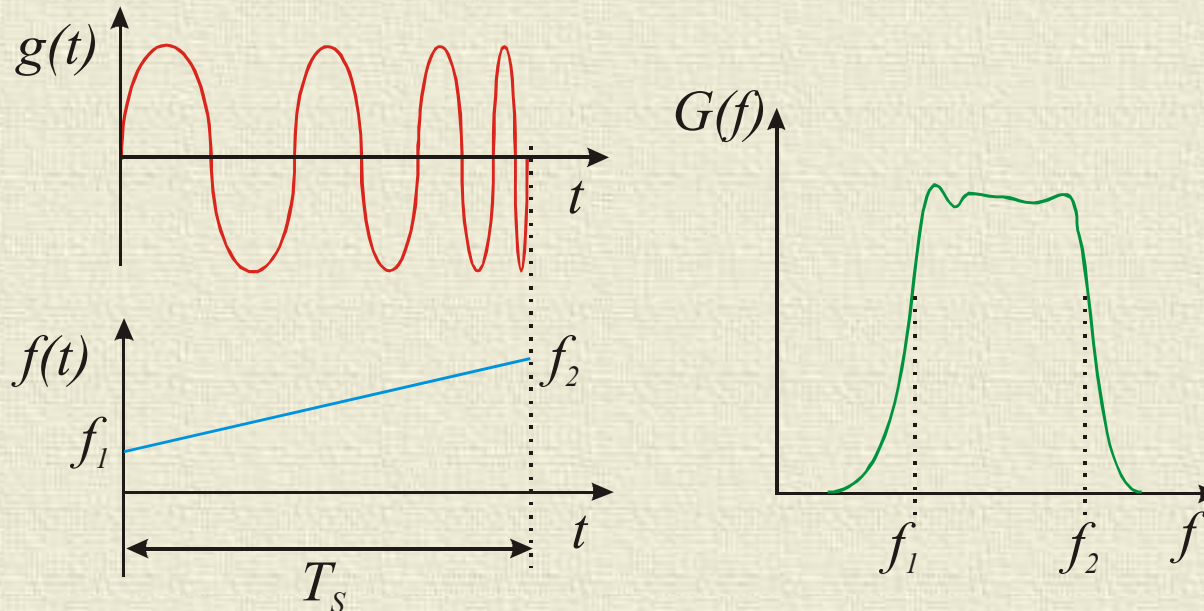
Linie opóźniające



Linie dyspersyjne



Sygnal „chirp” i jego widmo



minimalny czas rozróżnialny (relacja nieostrości) $\Delta t \geq \frac{1}{\Delta f}$

maksymalna liczba rozróżnialnych odcinków czasowych $N = \frac{T_s}{\Delta t} = T_s \Delta f$

wartość średnia szumów na wyjściu $N \sigma_n^2 = N \underbrace{2 \int_0^{\infty} S_n(f) df}_{\substack{\uparrow \\ \text{wartość skuteczna (odchylenie standardowe) szumu na wyjściu}}}$ ← gęstość widmowa szumu

wartość kwadratu sygnału szczytowego (po kompresji) $(N_s)^2$

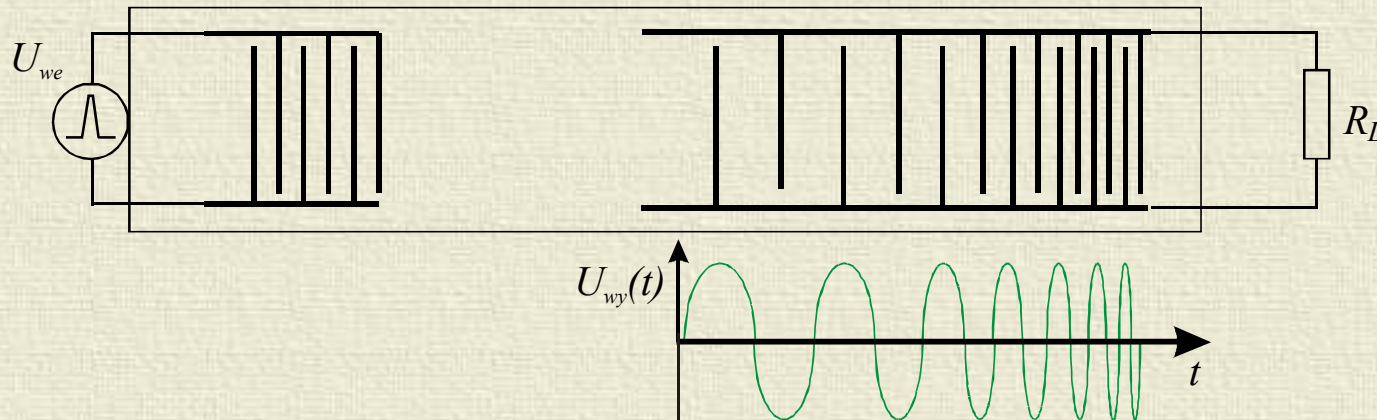
Stosunek mocy sygnału do szumu na wyjściu wyniesie więc

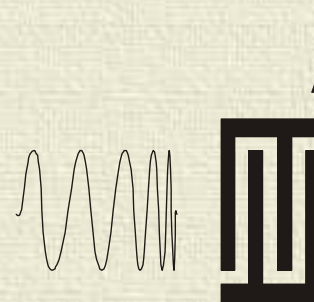
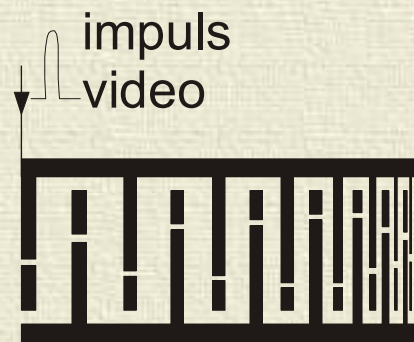
$$SNR_{wy} = \frac{(Ns)^2}{N\sigma_n^2} = \frac{Ns^2}{\sigma_n^2}$$

zaś na wejściu wynosił tylko $SNR_{we} = \frac{s^2}{\sigma_n^2}$

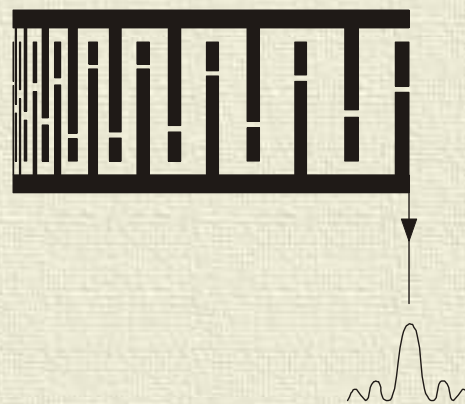
SNR polepszył się zatem N razy czyli $N = \frac{T_s}{\Delta t} = T_s \Delta f$

Linie taką można wykorzystać zarówno do generacji sygnału z LMCz jak i jego odbioru.





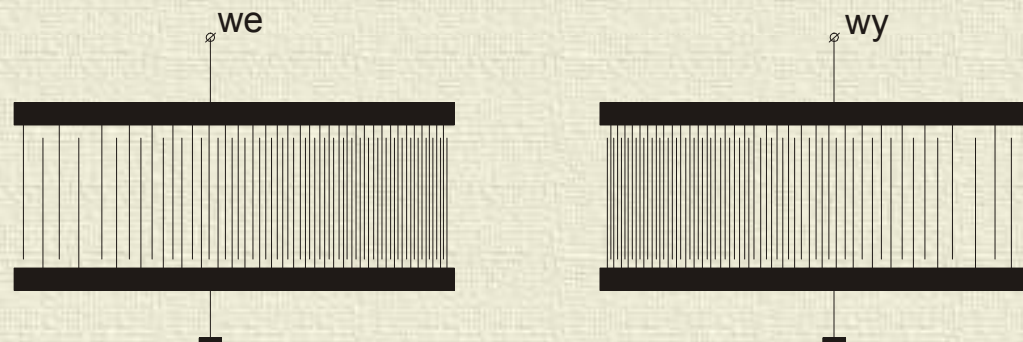
przetwornik
szerokopasmowy



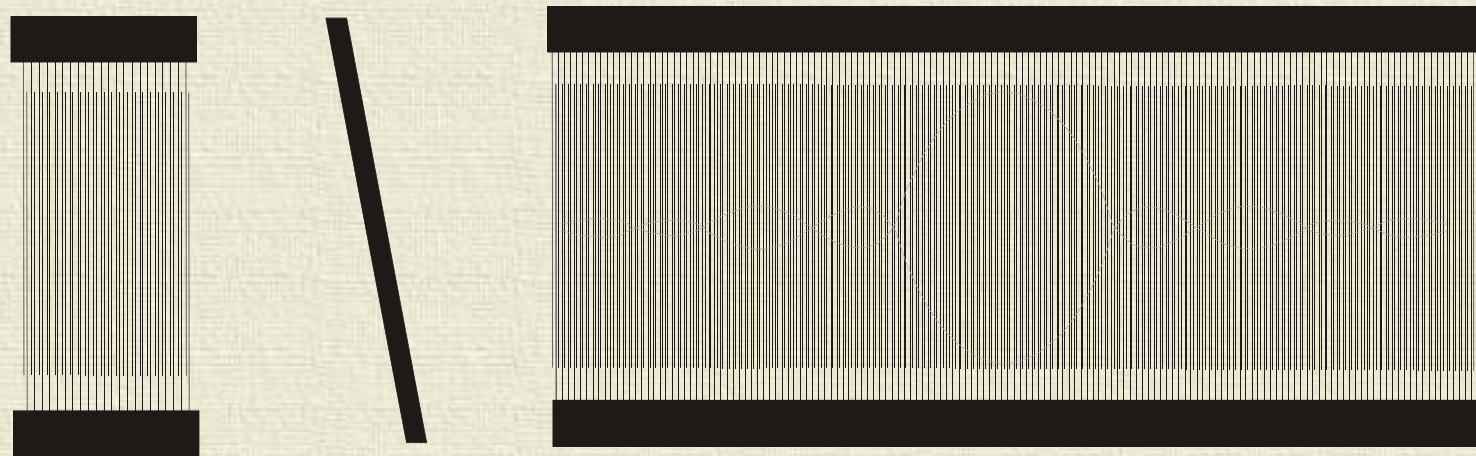
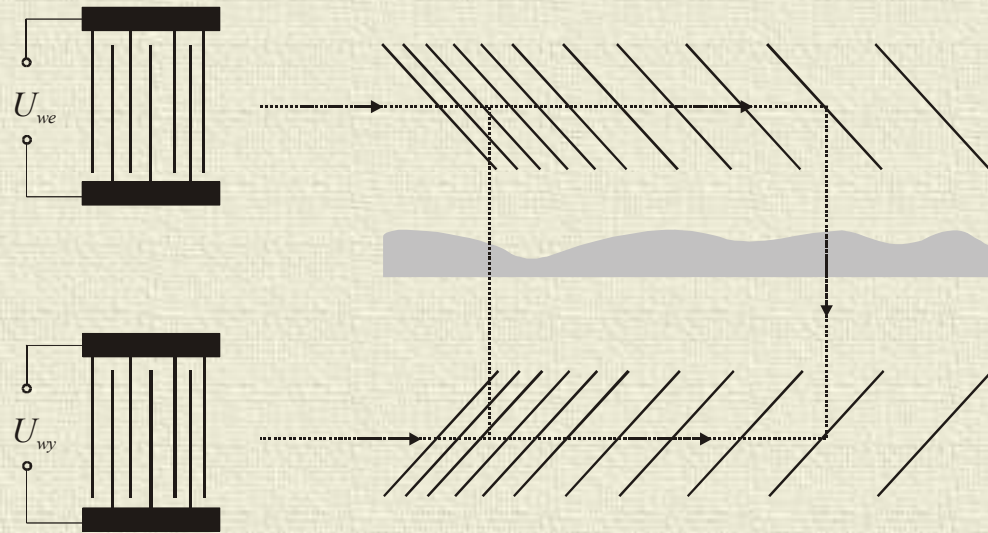
Istnieją dwa warianty konstrukcji takich przetworników odbiorczych.

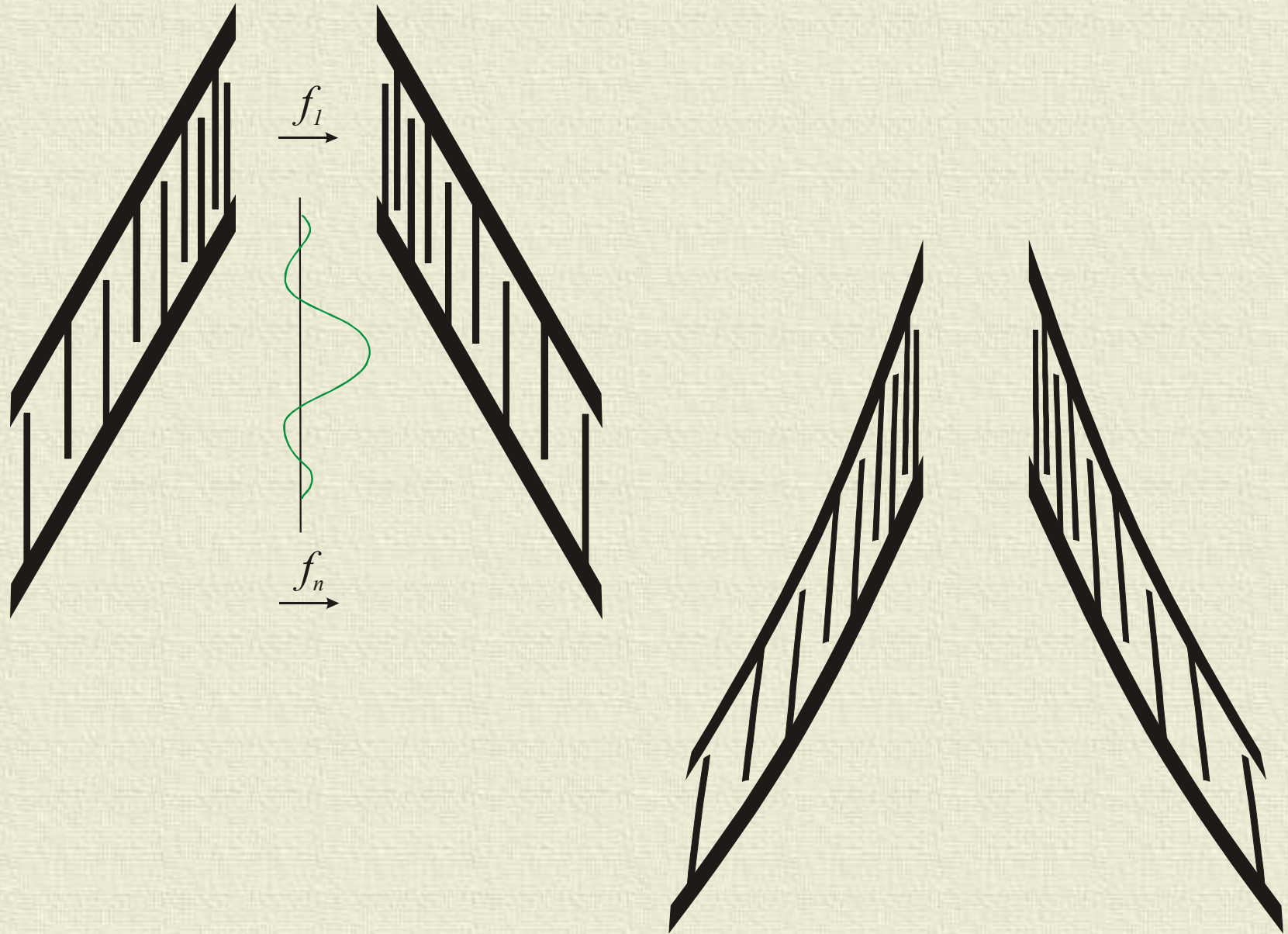
- 1 elektrody położone są w punktach wzdłuż drogi propagacji akustycznych fal powierzchniowych odpowiadających kolejnym maksimum sygnału „chirp”
- 2 elektrody są położone w stałych odstępach, a ich długości dobierane są tak, aby uzyskać założoną odpowiedź impulsową.
Zmiana długości elektrod pozwala na odpowiednie ważenie próbek, o różnych opóźnieniach, odpowiadających położeniu elektrod.

Filtry dyspersyjne stosowane są przede wszystkim w radiolokacji, gdyż pozwalają na rozwiązanie sprzeczności polegającej na tym iż dłuższy sygnał daje lepszą wykrywalność, a krótszy lepszą rozróżnialność. Sygnał „chirp” jest w stanie pogodzić te przeciwstawne wymagania. Realizując filtrację optymalną pozwala on na takie skomprimowanie sygnału o czasie trwania T i paśmie B , że po filtracji ma on postać impulsu o czasie trwania $1/B$, znacznie krótszym od T

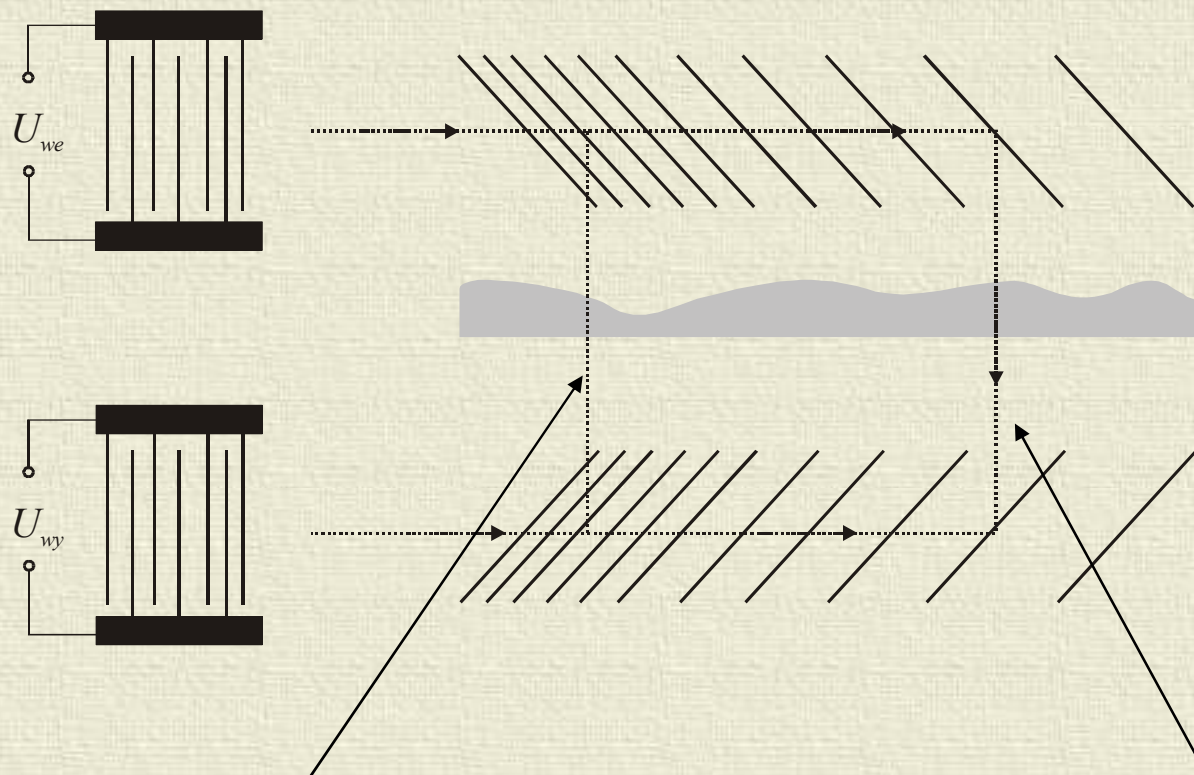


Inne warianty





Analizator widma

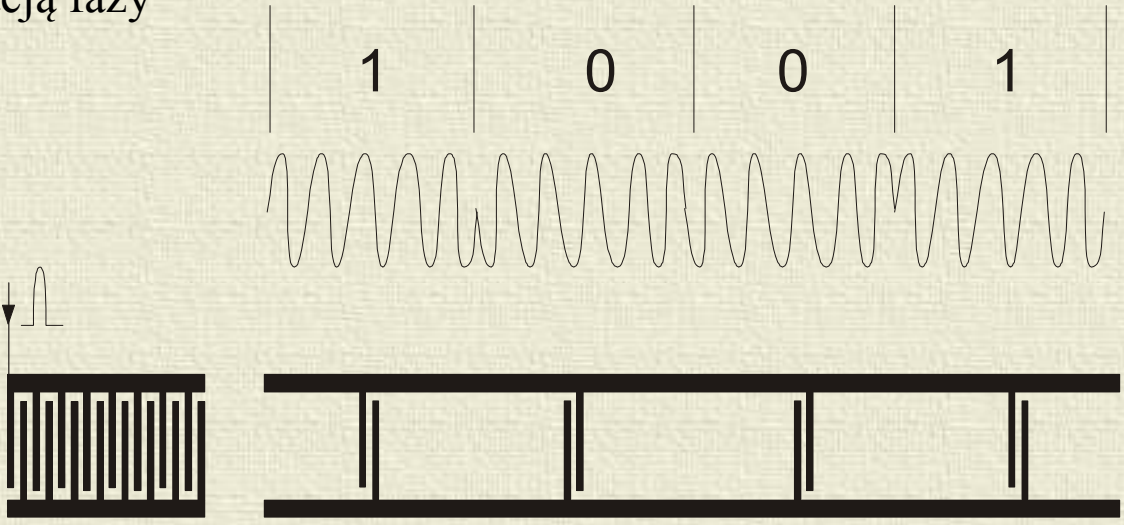


tor (opóźnienie) częstotliwości wysokich

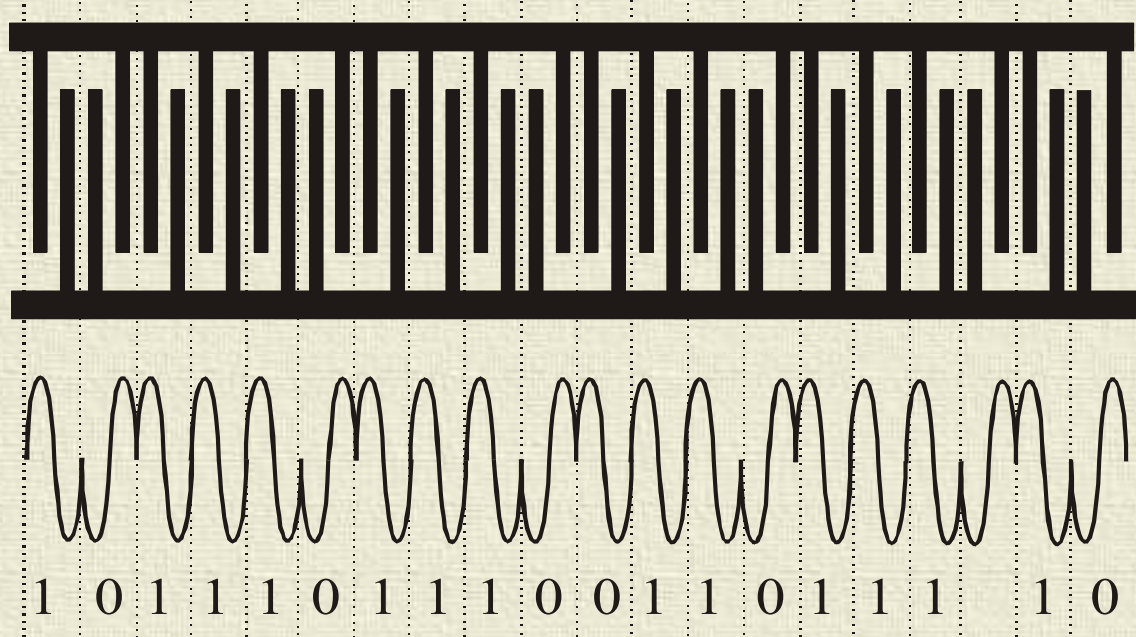
tor (opóźnienie) częstotliwości niskich

Każda częstotliwość ma inny czas opóźnienia

Sygnały z manipulacją fazy



Kod PSK o długości 6 cykli z sekwencją 1001



Konwoluty – układy realizujące splot analogowy

W filtrach z AFP sygnał wyjściowy jest splotem sygnału wejściowego i odpowiedzi impulsowej współpracujących IDT.

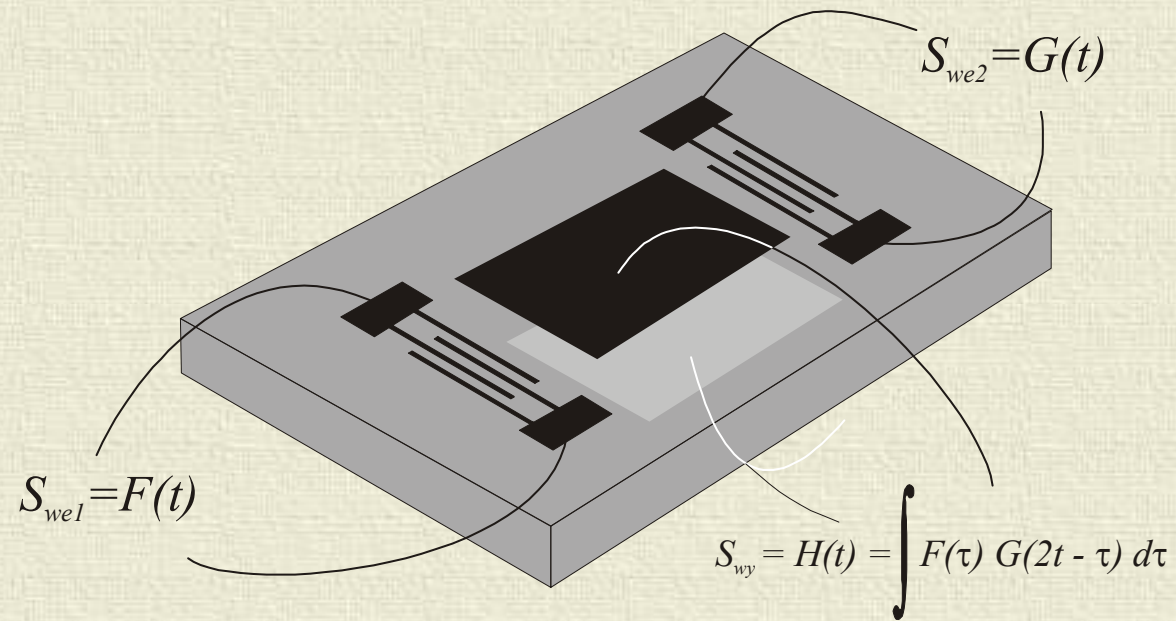
W przypadku filtrów odpowiedź ta jest stała – zależnie od geometrii.

Konwoluty realizują taką samą funkcję, ale sygnał wyjściowy nie zależy tak silnie od geometrii, a zależy od sygnału odniesienia.

Konwoluty są podzespołami realizującymi analogowe obliczanie całki splotowej. Na wejście takiego układu podawane są dwa sygnały, które w postaci fali przemieszczają się przeciwbieżnie i mieszają. Ich mnożenie zachodzi na słabych nieliniowościach podłoża, a całkowanie na długości, na której sygnały się pokrywają.

Można wyróżnić dwie płaszczyzny zastosowań konwolutorów:

- ✓ ultra szybkie przetwarzanie informacji - szerokopasmowość oznacza tu dużą szybkość,
- ✓ detekcja i dekodowanie sygnałów w systemach szerokopasmowych. Szerokie pasma są wykorzystywane do poprawy poziomu ochrony informacji oraz zwiększenia ogólnego zysku przetwarzania. Konwolutor pełni w takim przypadku rolę programowalnego korelatora o mikrosekundowych czasach odpowiedzi.



tzw. splot zdegenerowany

fala biegnąca od pierwszego przetwornika $A_1 \left(t - \frac{x}{v} \right) \exp \left[i\omega_1 \left(t - \frac{x}{v} \right) \right]$

fala biegnąca od drugiego przetwornika $A_2 \left(t + \frac{x-L}{v} \right) \exp \left[i\omega_2 \left(t - \frac{x-L}{v} \right) \right]$

Wytworzone pole elektryczne od wzajemnie oddziaływających fal wyniesie:

$$E = cA_1 \left(t - \frac{x}{v} \right) A_2 \left(t - \frac{x-L}{v} \right) \exp \left\{ i(\omega_1 + \omega_2)t - (\omega_1 - \omega_2) \frac{x}{v} \right\}$$

Daje ono wyjściowe napięcie

$$U(t) = c \exp(2i\omega t) \int_0^L A_1\left(t - \frac{x}{v}\right) A_2\left(t + \frac{x-L}{v}\right) dx$$

stała c charakteryzuje oddziaływania nieliniowe w podłożu.

Stosując podstawienie $\tau = t - x/v$ i przechodząc z granicami całkowania do nieskończoności uzyskuje się postać zdegenerowanej całki splotowej:

$$V_0(2\omega) = M \exp(2i\omega t) \int_{-\infty}^{\infty} A_1(\tau) A_2(2t - \tau) d\tau$$

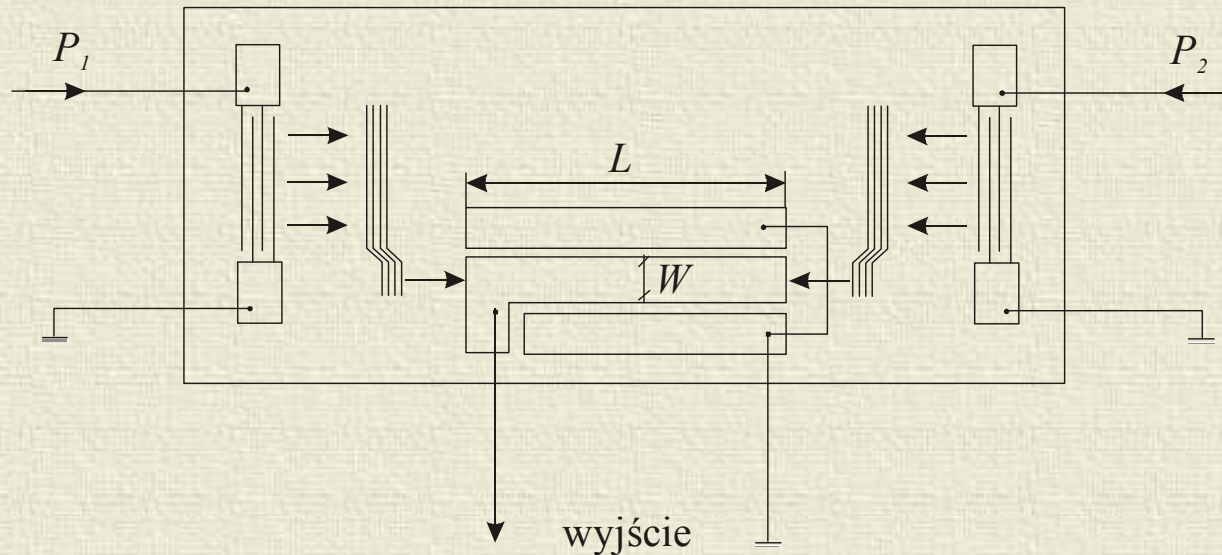
Po scałkowaniu uzyskuje się zależność napięcia na wyjściu konwolutora od gęstości mocy fal akusytcznych w postaci

$$V_0(2\omega) = \frac{M}{W} \sqrt{P_1 P_2}$$

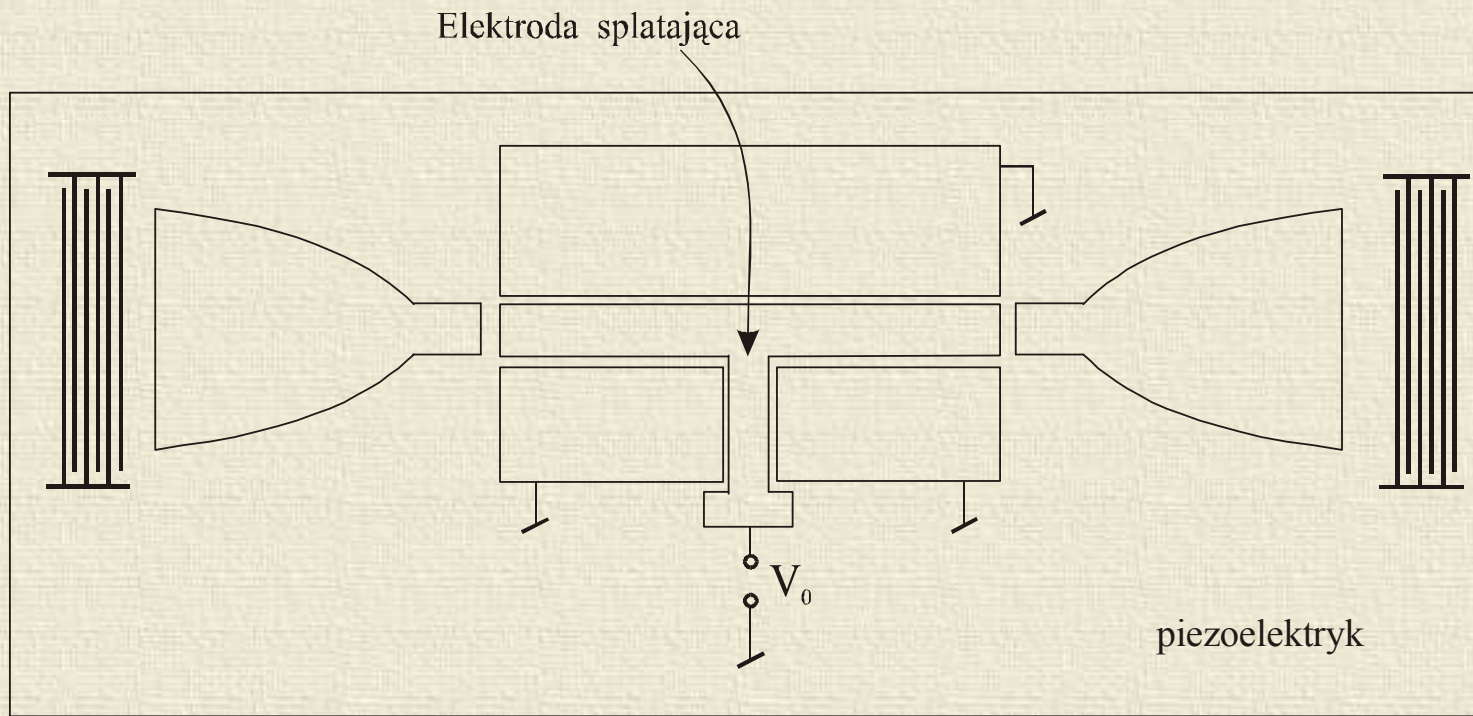
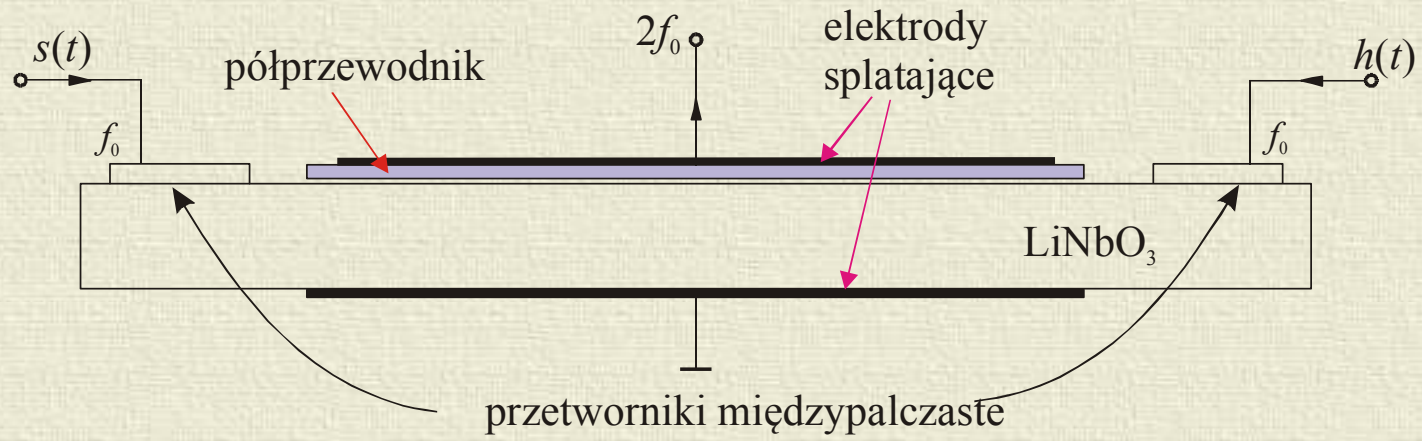
M współczynnik określający siłę oddziaływań nieliniowych materiału

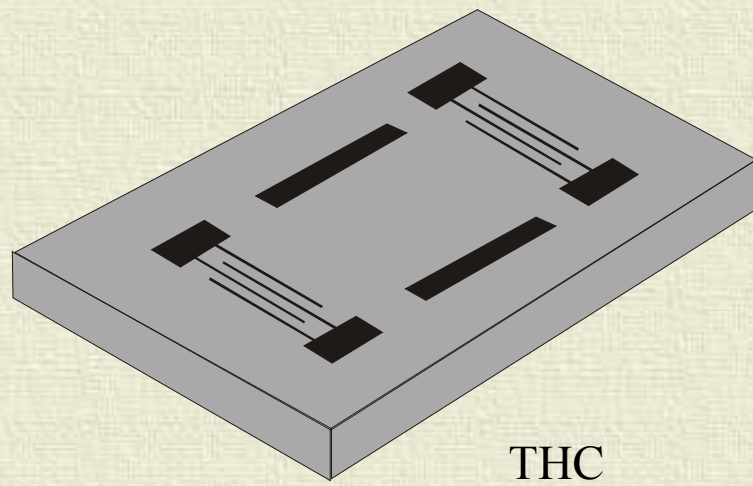
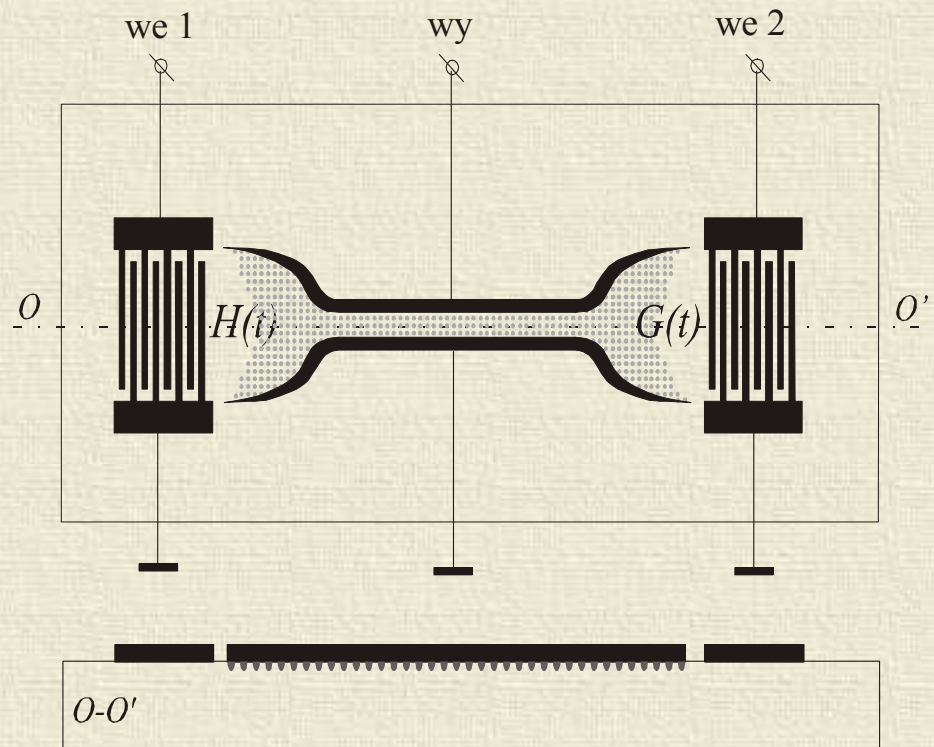
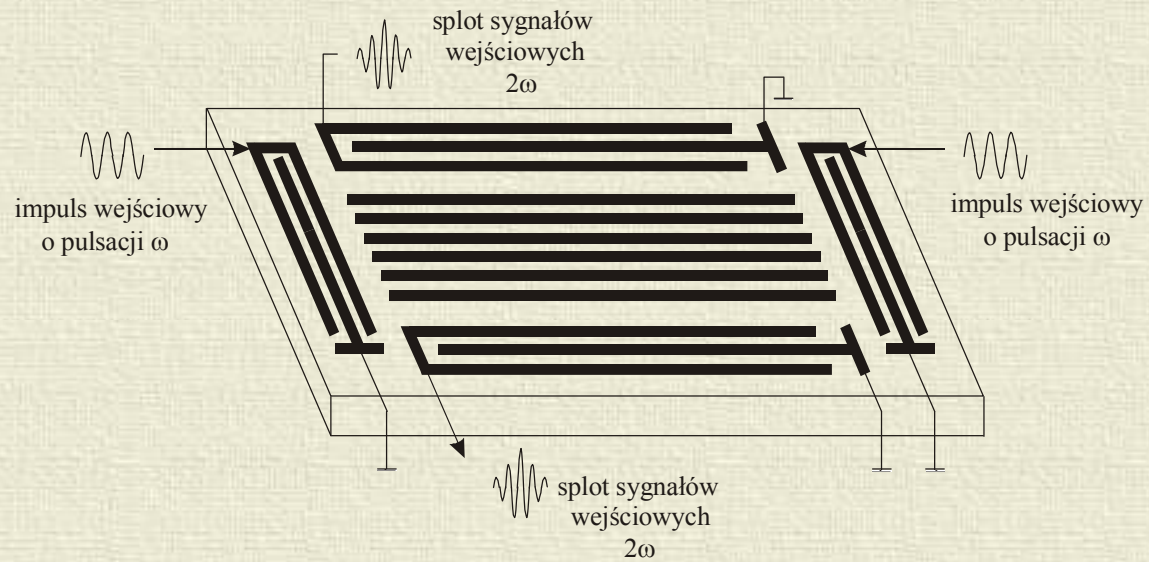
W szerokość elektrody splatającej

Siłę oddziaływań nieliniowych można zwiększyć stosując rozwiązania specjalne

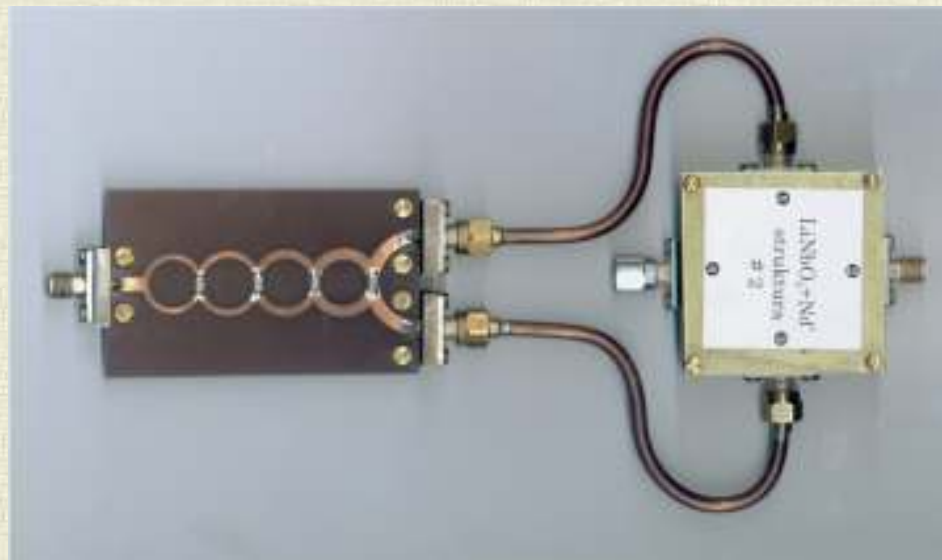
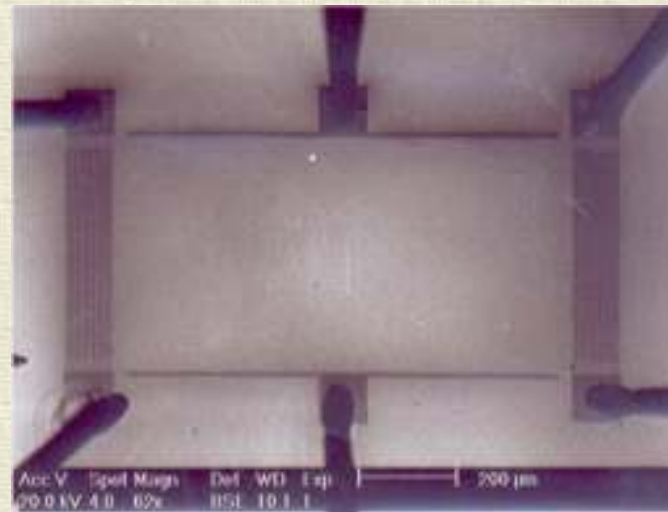
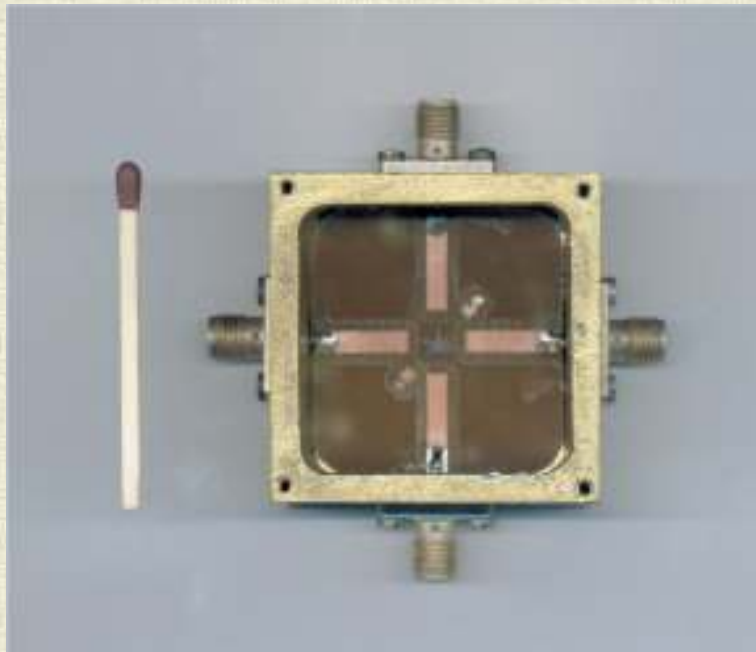


Urządzenie może pracować z sygnałami o $BT = 600$ (50 MHz pasmo i 12 μ s opóźnienie), $W = 5\lambda_0 = 0,11$ mm, $f_0 = 156$ MHz. Niesymetryczne sprzęgacze wielopaskowe składają się z 235 pasków i pozwalają na uzyskanie kompresji 15:1 dla pięciopalcowego przetwornika o aperturze 1.65 mm.





THC



Procesory Fouriera

Są to układy pracujące w czasie rzeczywistym obliczające w sposób analogowy transformaty Fouriera sygnałów szerokopasmowych. Oferują one liczbę punktów transformacji większą niż 2^{10} . W porównaniu z cyfrowymi procesorami, ich wersje analogowe z AFP pracują w czasie rzeczywistym, z dużo szerszym pasmem, z niższym poborem mocy i z dużo większą niezawodnością. Charakteryzują się miniaturowymi rozmiarami.

Wadą procesorów Fouriera z AFP jest niższa dokładność ($\sim 1\%$) oraz ograniczony szumem zakres dynamiczny (60 – 70 dB).

Z teorii filtrów wiadomo, że odpowiedź impulsowa filtru w dziedzinie czasu odpowiada jego charakterystyce częstotliwościowej:

$$h(t) \Leftrightarrow H(\omega)$$

Jeżeli odpowiedź impulsowa filtru z AFP przyjmie postać:

$$h(t) = e^{j\mu t^2}$$

gdzie $\mu = B/T$ jest nachyleniem charakterystyki fazowej filtru z liniową modulacją częstotliwości (B - pasmo, T - czas trwania odpowiedzi impulsowej), to z twierdzenia o splocie otrzyma się wyrażenie na postać sygnału wyjściowego w postaci:

$$s_{wy}(t) = \int_{-\infty}^{\infty} s_{we}(\tau) e^{j\mu(t-\tau)^2} d\tau = e^{j\mu t^2} \int_{-\infty}^{\infty} s_{we}(\tau) e^{j\mu\tau^2 - j2\mu t\tau} d\tau$$

Podobieństwo sygnału wyjściowego i transformacji Fouriera sygnału $f(t)$

$$F(\omega) = \int_{-\infty}^{\infty} f(t) e^{-j\omega t} dt$$

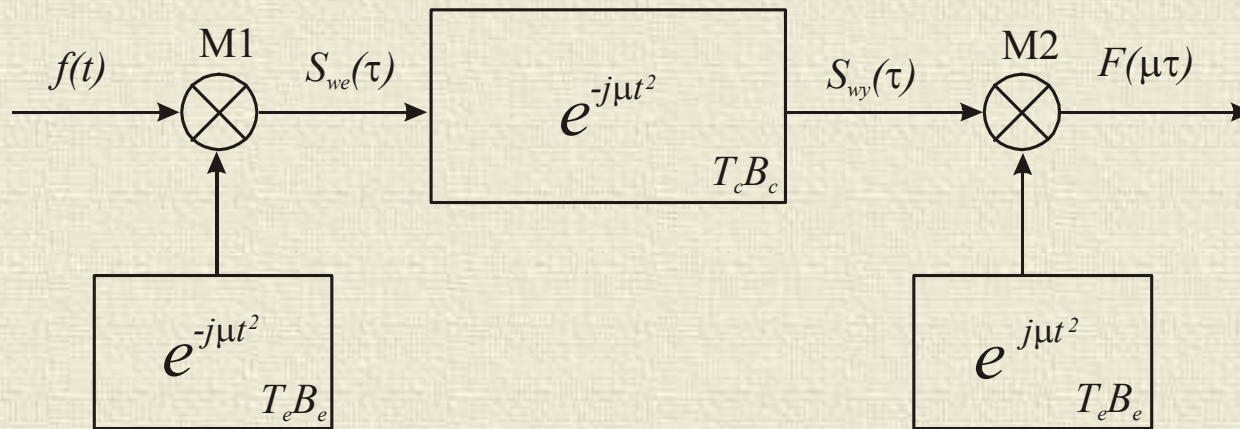
można pokazać przez dokonanie podstawienia
na

i odpowiednie rozpisanie

Przy założeniu liniowości relacji czasowo częstotliwościowych można otrzymać:

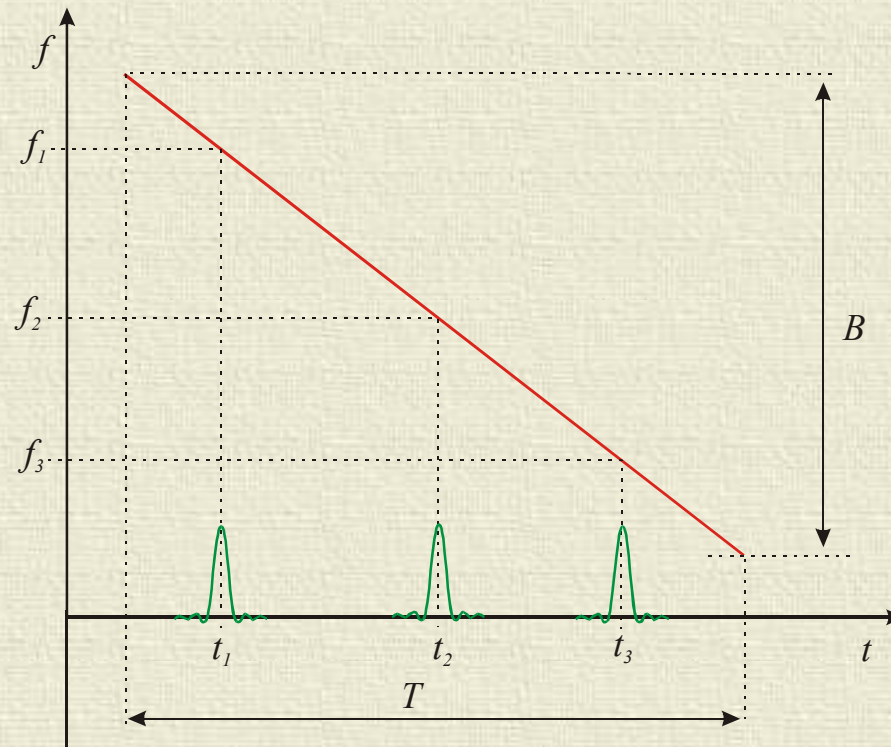
$$F(\omega) = F(\mu t) = e^{-j\mu t^2} \int_{-\infty}^{\infty} f(\tau) e^{-j\mu\tau^2} e^{j\mu\{t-\tau\}^2} d\tau$$

Sugeruje to, w celu uzyskania transformaty, konieczność wymnożenia wstępnego sygnału wejściowego $f(t)$ z przebiegiem posiadającym LMC, następnie splecenia w filtrze z AFP oraz kolejnego wymnożenia z przebiegiem z LMC.



Procesor Fouriera powinien zawierać przynajmniej trzy podzespoły z AFP kształtujące nieliniową charakterystykę fazową.

Wejściowy sygnał $f(t)$ jest mieszany w mieszaczu M1 z sygnałem z LMC o nachyleniu charakterystyki fazowej $-\mu$. Sygnał $S_{wy}(\tau)$ jest komprimowany w filtrze dyspersyjnym o nachyleniu charakterystyki fazowej μ . Jeżeli sygnał analizowany $f(t)$ zawiera składowe częstotliwości f_1, f_2, f_3, \dots to sygnał $S_{wy}(\tau)$ będzie zawierał serię sygnałów skomprimowanych typu $\text{sinc}(x)$, których amplituda będzie proporcjonalna do transformaty Fouriera sygnału $f(t)$. Sygnały skomprimowane, odpowiadające poszczególnym składowym częstotliwości, będą przesunięte względem siebie w czasie. Sygnał $S_{wy}(\tau)$ można wtedy zaobserwować na oscyloskopie, przy czym skala czasu będzie odpowiadała skali częstotliwości ($\omega = 2\mu$).



Stosowane linie dyspersyjne mają skończony czas trwania odpowiedzi impulsowej T oraz skończoną szerokość pasma B . Z tego powodu rozdzielczość częstotliwościowa takiego procesora będzie miała postać:

$$\Delta f_s = \frac{1}{\min(T_e, T_c)}$$

Optymalnym pasmem pracy układu jest zakres, w którym spełniony jest warunek:

$$T_e = \frac{T_c}{2}$$

zatem:

$$T_e B_e = \frac{T_c B_c}{4}$$

Szerokość pasma procesora wynosi:

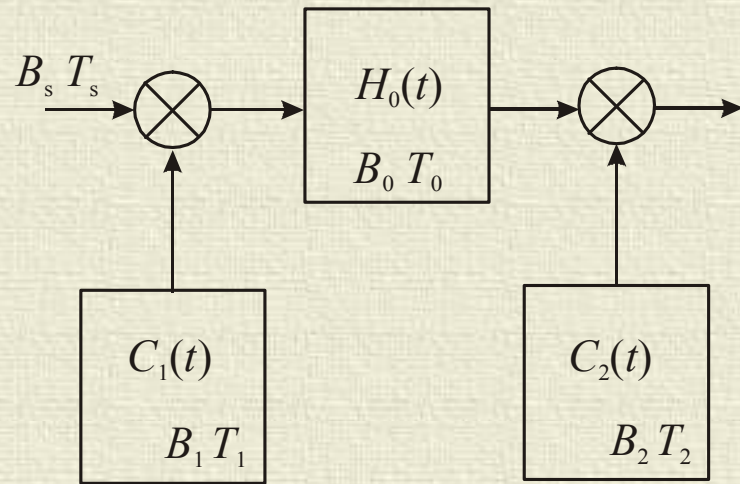
$$BW_s = \mu(T_c - T_e)$$

Dla warunków optymalnych uzyskuje się:

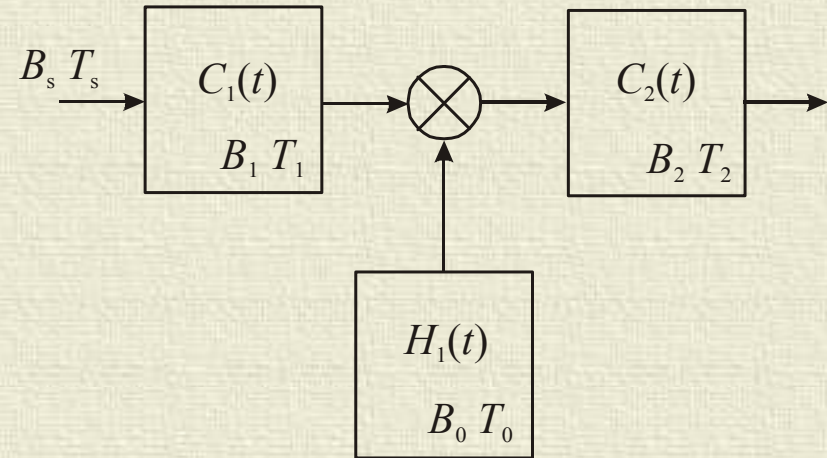
$$BW_s = \frac{B_c}{2}$$

Maksymalna liczba punktów transformacyjnych jest związana z iloczynem czas-pasmo filtru splatającego i jest tym większa im większą wartość ma iloczyn BW_s .

Architektury procesorów Fouriera mogą mieć inne konfiguracje, które na ogół złożone są z podukładów mnożących splatających i generujących sygnały z LMC. W zależności od wzajemnego połączenia tych bloków otrzymuje się następujące dwie architektury podstawowe:



M-C-M - mnożący – splatający – mnożący



C-M-C - splatający – mnożący – splatający

Porównanie architektur

Maksymalny czas trwania sygnału

M-C-M

$$T_1$$

C-M-C

$$T_2 = T_0 - T_1$$

Maksymalna szerokość pasma sygnału

$$B_2 = B_0 - B_1$$

$$B_1$$

Obcięcie pasma transformaty wyjściowej dla

$$B_s > B_0 - B_1$$

$$B_s > B_1$$

Obcięcie czasu trwania sygnału wejściowego dla

$$T_s > T_1$$

$$T_s > T_0 - T_{1138}$$

Konfiguracja C–M–C jest optymalnym ze względu na

- rozdzielczość częstotliwościową procesora
- pasmo robocze.

Wymagania stawiane wartościom iloczynu czasowo-częstotliwościowego układów splatających w tej architekturze są mniej ostre niż w architekturze M-C-M przy jednakowych stratach, tym samym stosunku S/N oraz zakresie dynamicznym obu konfiguracji procesora.

Wadą architektury C–M–C jest potrzeba stosowania trzech układów AFP.
(w M-C-M tylko 2)

Za pomocą układów tego typu można realizować transformacje

- Hadamarda,
- Fresnela,
- falkowa
- in.

CZUJNIKI AKUSTYCZNE - KRYTERIA KLASYFIKACJI

ZAKRES CZĘSTOTLIWOŚCI PRACY

INFRADŹWIĘKOWE
PONIŻEJ 20 HZ

NA ZAKRES SŁYSZALNY
OD 20 HZ DO 20 KHZ

ULTRADŹWIĘKOWE
OD 20 KHZ DO 1 GHZ

HIPERDŹWIĘKOWE
POWYŻEJ 1 GHZ

RODZAJ WYKORZYSTYWANEJ FALI AKUSTYCZNEJ

Z AKUSTYCZNĄ FALĄ
OBJĘTOŚCIOWĄ (BAW)

| | |
|------------------|------------|
| POPZRZECZNĄ | PODŁUŻNĄ |
| LAMBA | POSTACIOWE |
| MEMBRANOWE I IN. | |

Z AKUSTYCZNĄ FALĄ
POWIERZCHNIOWĄ (SAW)

| | |
|---------------------------|-----------|
| PODŁUŻNĄ | STONLEYA |
| LOVE'A | RAYLEIGHA |
| BLEUSTEINA-GULAYEVA I IN. | |

TRANSFORMUJĄCE
SAW ↔ BAW

| | |
|--|-------|
| SSBW | LEAKY |
| ROZPRASZANE NA STRUKTU- RACH POWIERZCHNIOWYCH | |

OŚRODEK, W KTÓRYM PRACUJĄ

GAZY

CIECZE

CIAŁA STAŁE

PRÓŻNIA

WYKORZYSTYWANE ZJAWISKA FIZYCZNE

PIEZOELEKTRYCZNE

ELEKTROSTRYKCYJNE

MAGNETOSTRYKCYJNE

ELEKTRODYNAMICZNE

MAGNETODYNAMICZNE

AKUSTOOPTYCZNE

Główne obszary zastosowań

sonolokacja na niewielkie odległości (do kilkudziesięciu metrów),

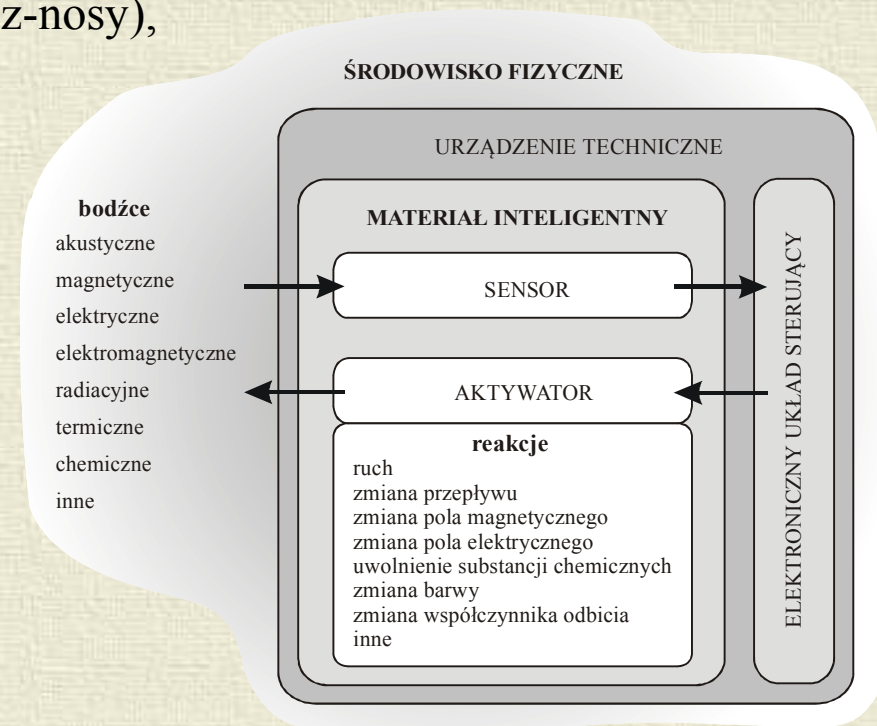
defektoskopia bardzo małych (mikromechanika) i bardzo dużych przedmiotów (kadłuby),

zdalna defektoskopii (np. pomiar parametrów wirujących elementów),

detekcja i zdalna detekcja wielkości nieelektrycznych (przemieszczeń, przyspieszeń, odkształceń, naprężeń, momentów, itd.),

detekcja gazów i mieszanin gazów (e-nosy, z-nosy),

jako składniki materiałów inteligentnych



Samozasilająca się elektronika

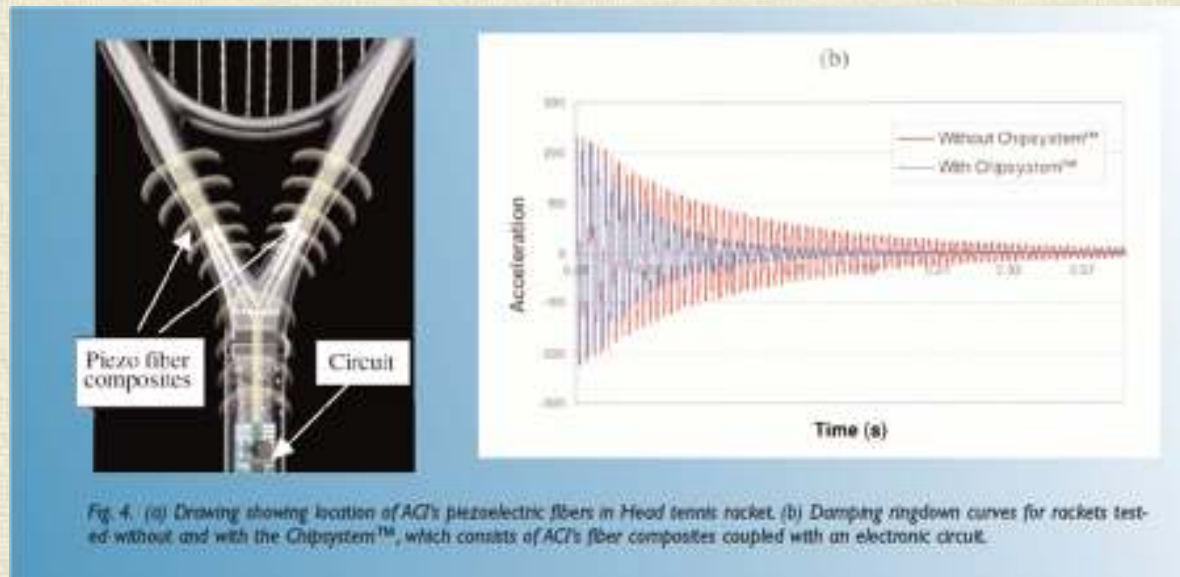
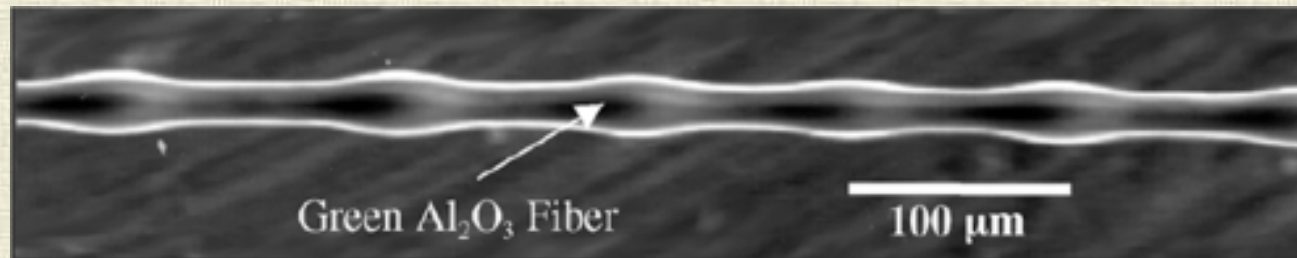


Fig. 3. Andre Agassi with ACI/Head smart tennis racket.

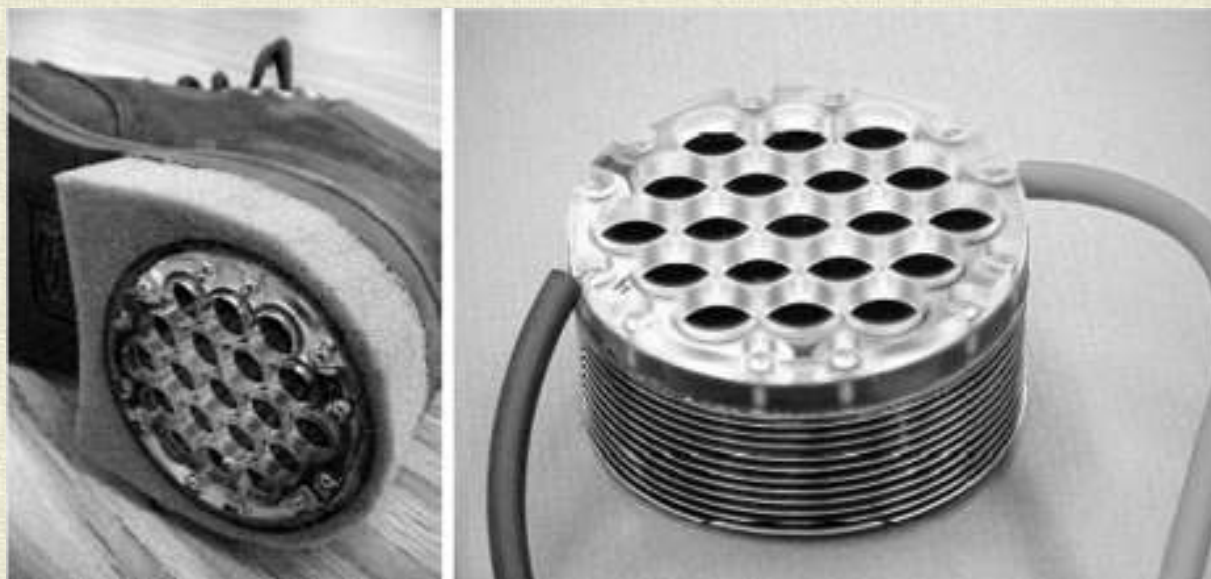


Fig. 5. ACI/Head smart ski.

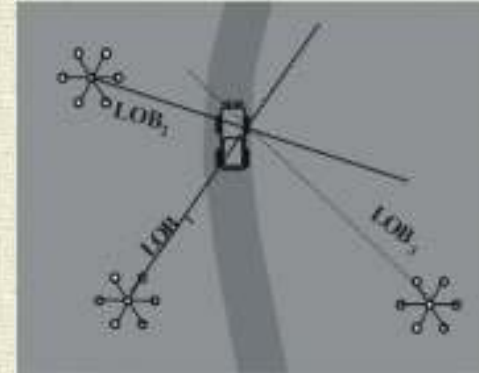


Nadajnik kodu zasilany naciśnięciem palca

szyby okienne
podłogi
amortyzatory samochodowe
aktywne amortyzatory
inteligentne opony
meble (łóżka, fotele itp.)
zabawki



Elektryczne buty



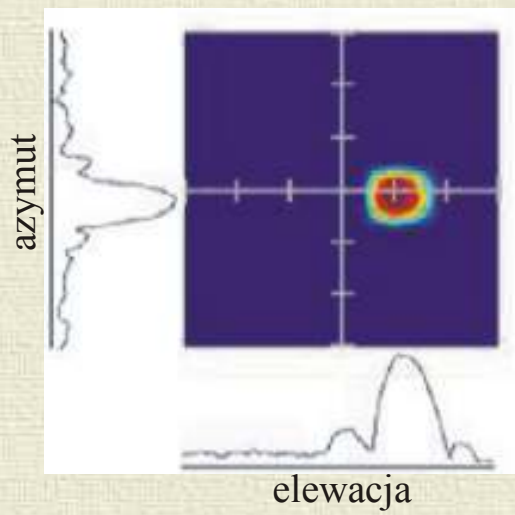
Szyk siedmiu mikrofonów do sonolokacji naziemnej oraz metoda nasłuchu.
Parametry minimalne: zakres częstotliwości 7-500 Hz, stabilność amplitudy $0,1 \cdot f$ [%],
stabilność fazy $0,06 \cdot f$ [°], zakres dynamiczny 120 dB.



Szyk trzech mikrofonów do
wykrywania snajperów.



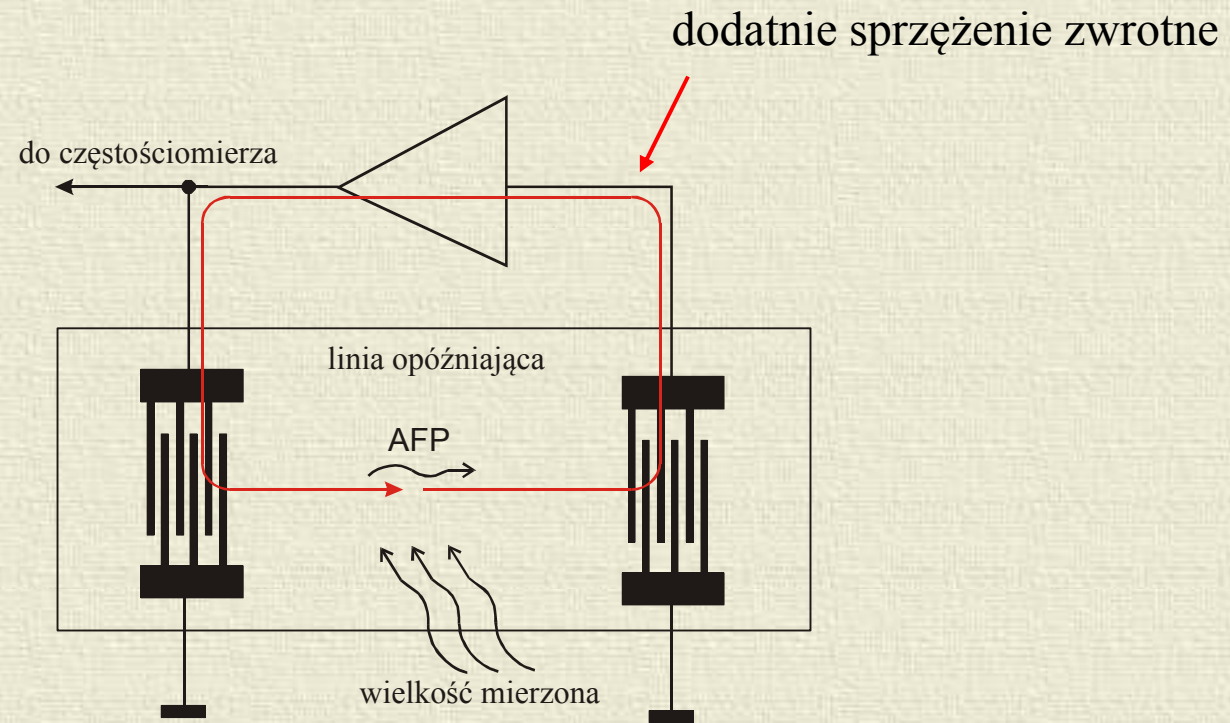
Latające ucho



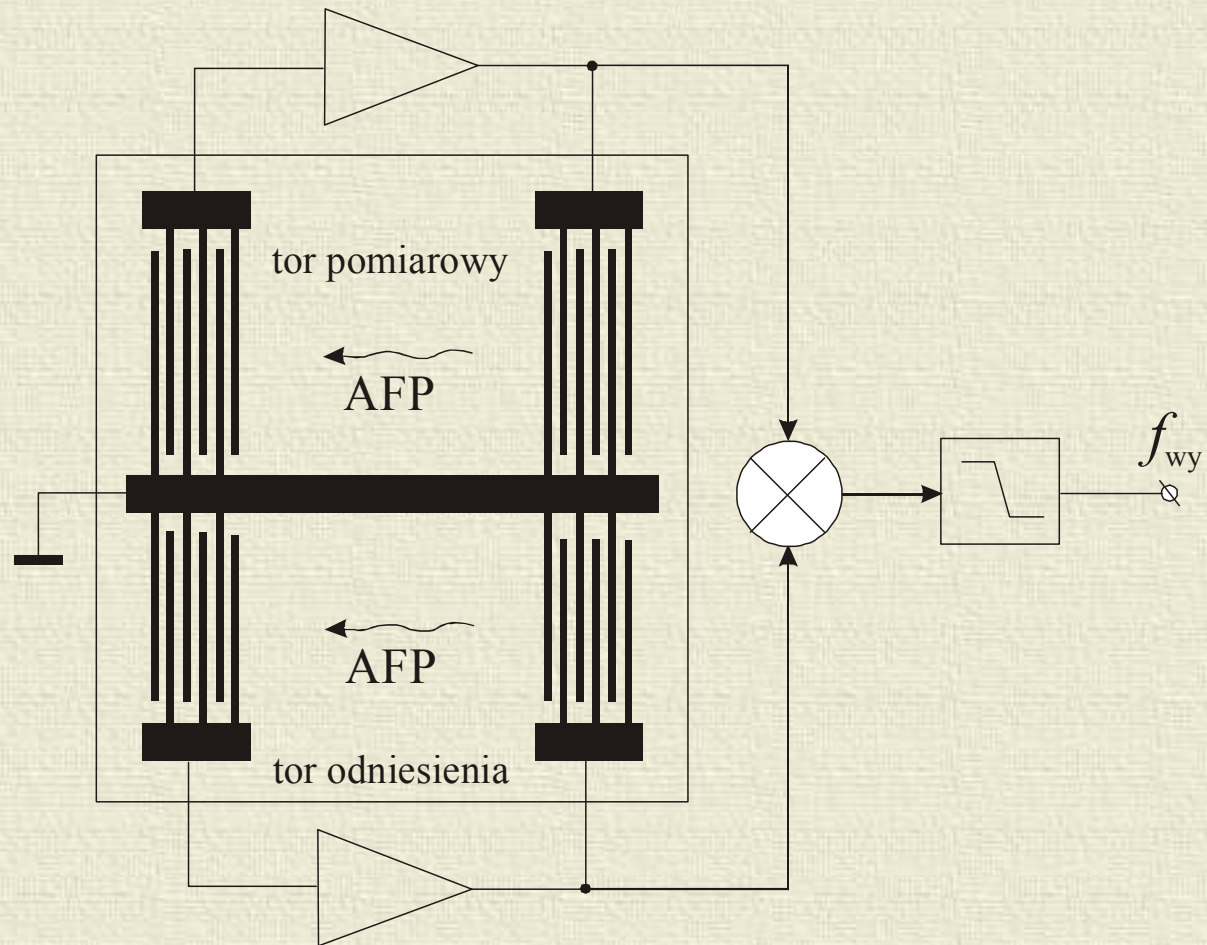
Niedaleka przyszłość

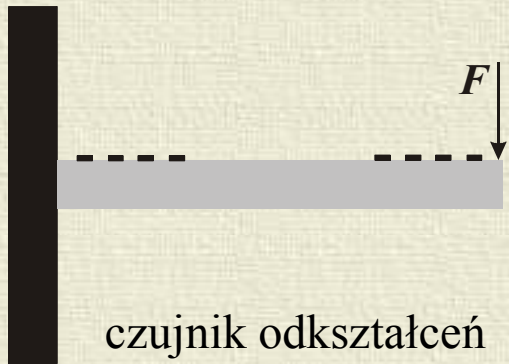


Czujniki akustoelektroniczne

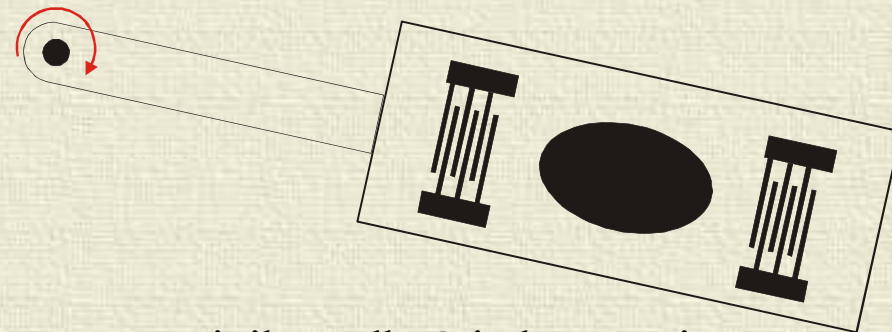


$$G_{DPS} \geq 1 \quad \sum \varphi_i = 2\pi n = n 360^\circ$$





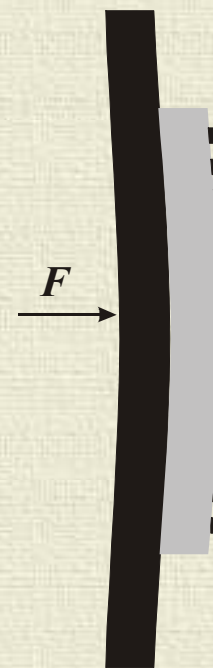
czujnik odkształceń
(przyspieszenia)



czujnik prędkości obrotowej

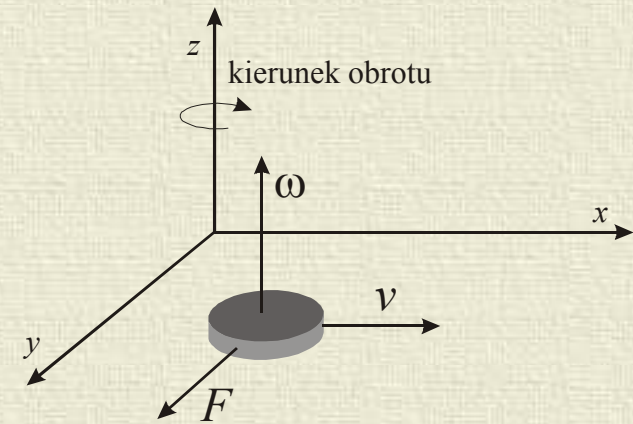
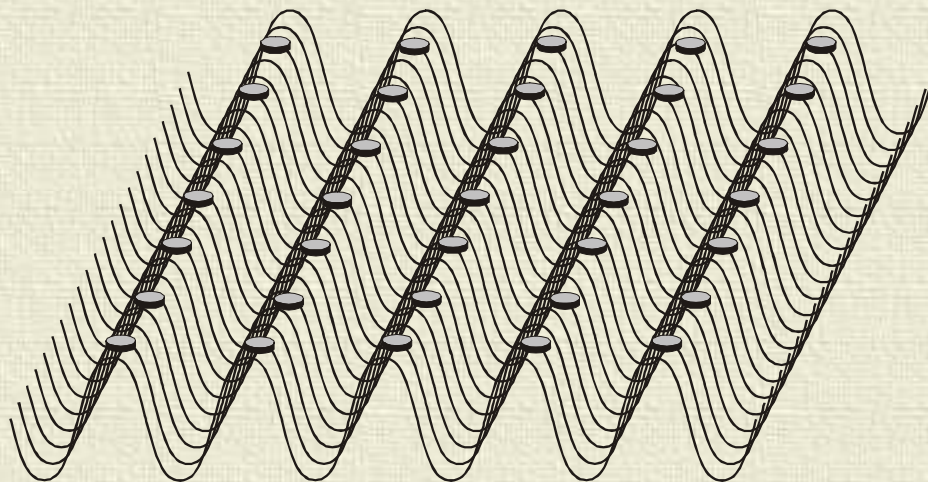
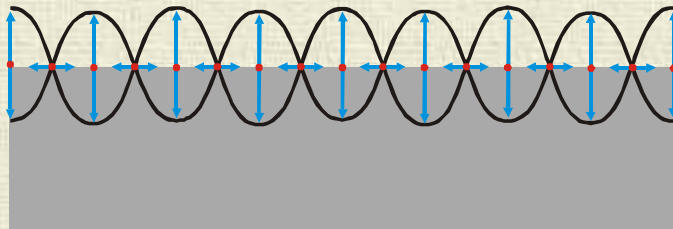
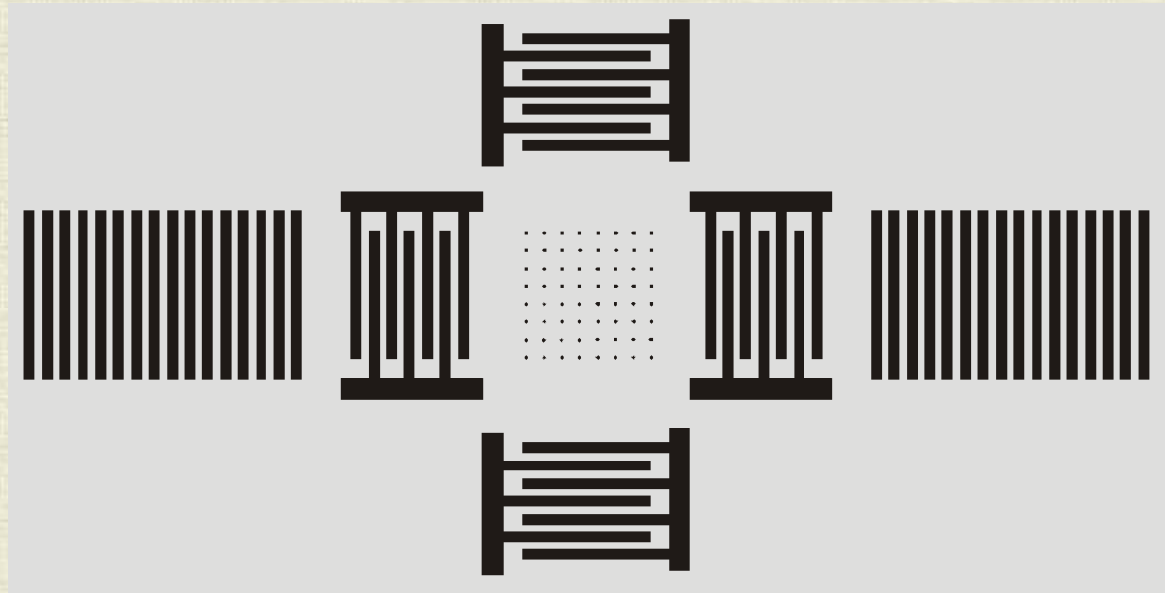


czujnik przyspieszenia

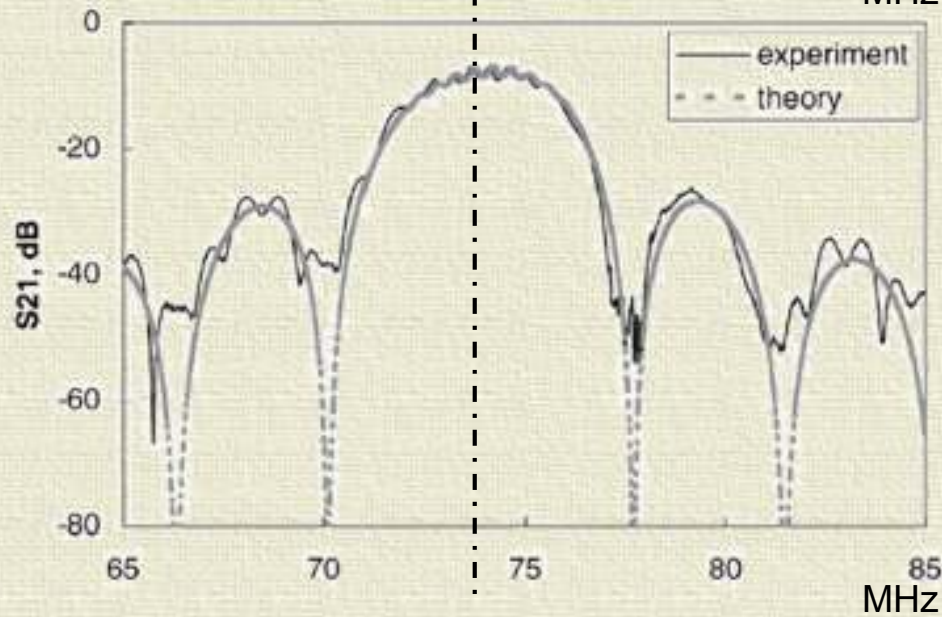
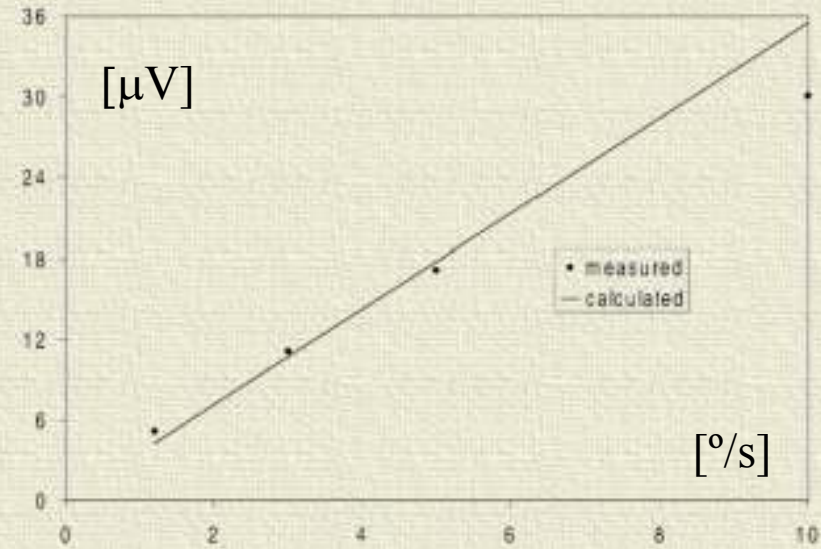
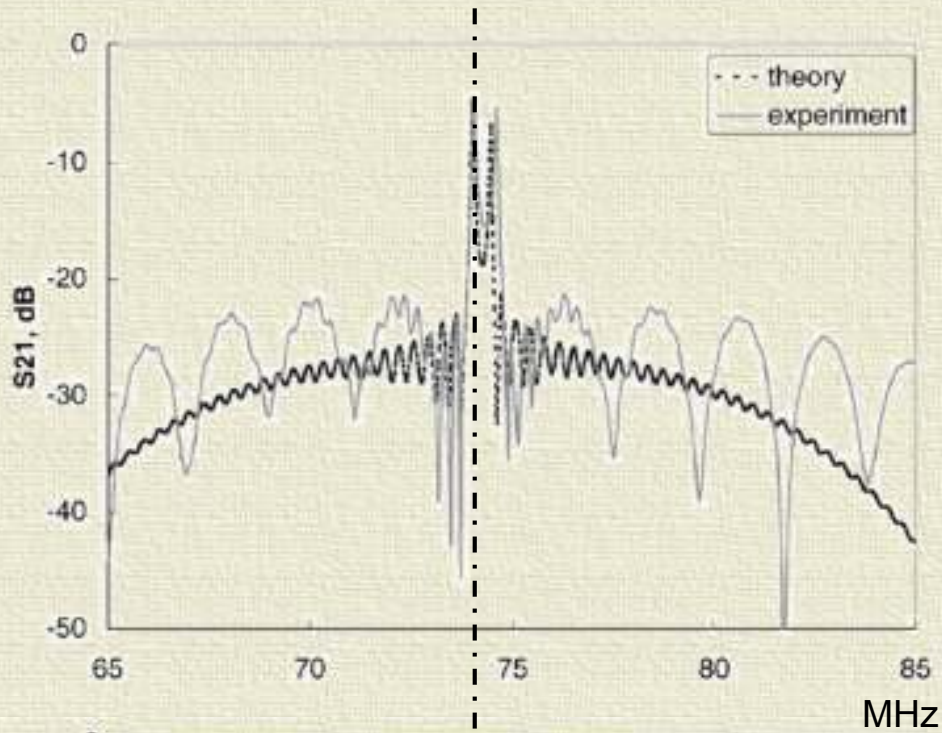


czujnik odkształceń

Żyroskop



$$F = 2m\mathbf{v} \times \boldsymbol{\omega}$$



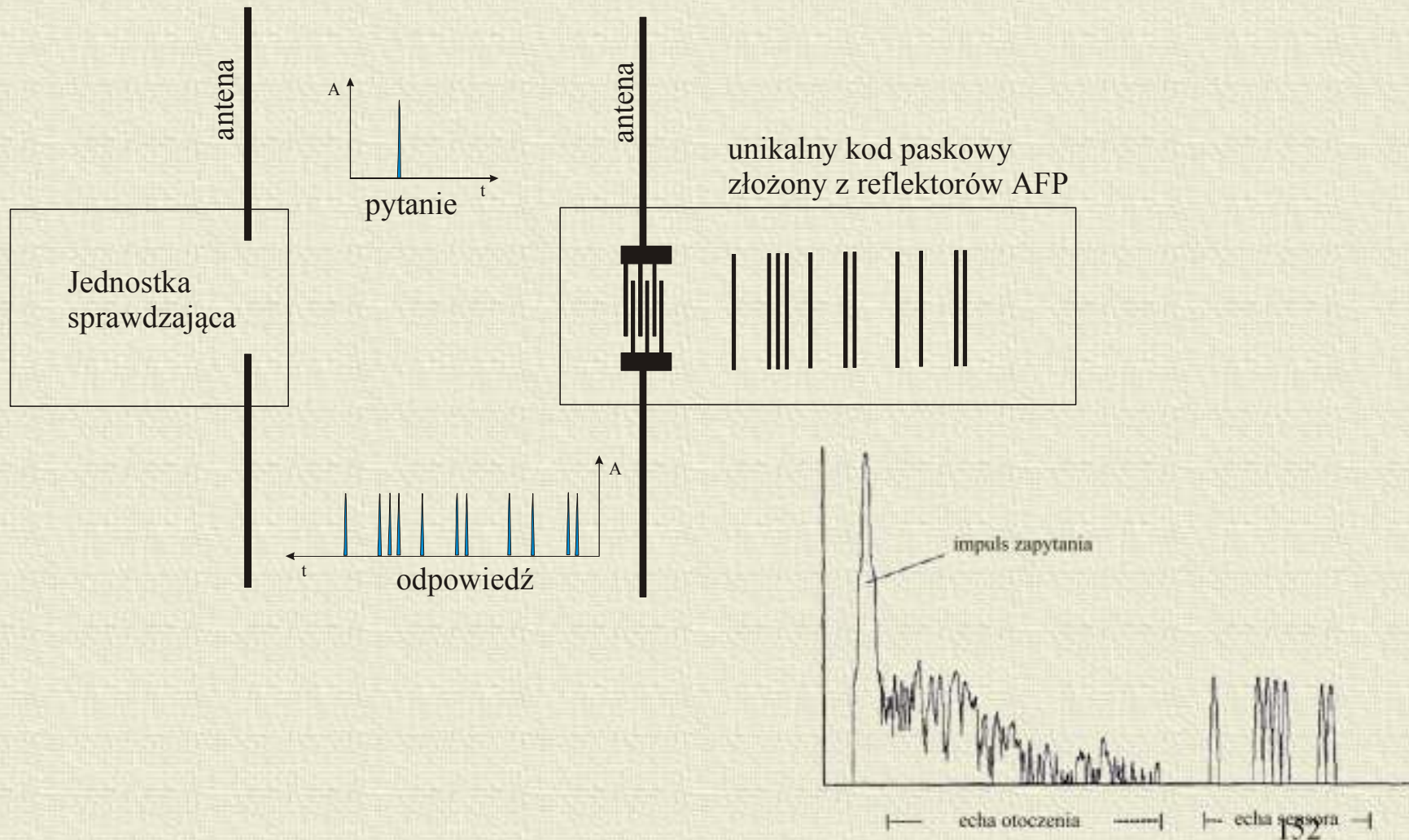
przeciętne rozmiary 10 x 10 mm
 czułość rzędu $^\circ/\text{s}$
 „prędkość obrotowa” równa
 częstotliwości fali Rayleigha

Układy zdalnej identyfikacji

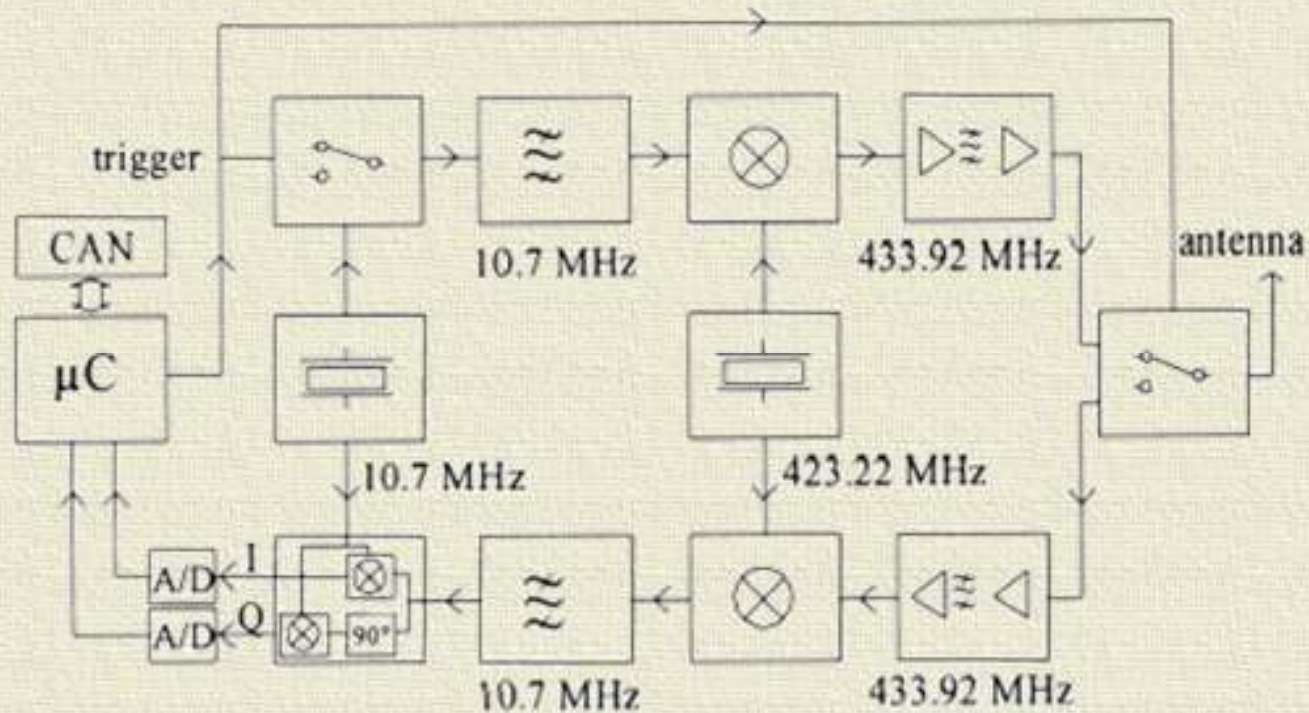
Aktywatory

Czujniki monitorujące przestrzeń mają wadę polegającą na konieczności elektrycznego dołączenia ich do urządzenia centralnego.

Układy z AFP pozwalają na pokonanie tej niedogodności.



Struktura układu nadawczo-odbiorczego



Wymagane parametry
zakres częstotliwości 0,15 – 3 GHz
pasmo 1- 36 MHz
dynamika 85 dB
moc wyjściowa 40 dBm
rozdzielczość amplitudy ± 5 dB
rozdzielczość fazy $\pm 1^\circ$
współczynnik szumów 5 dB

Zasięg wynika z równania radarowego

$$r = \frac{1}{4\pi} \sqrt[4]{\frac{P_o G_i^2 G_e^2 \lambda^4}{kT_o B F \frac{S}{N} D}}$$

Dla dużych mocy nadajnika (rzędu 10 W)
i częstotliwości rzędu 400 MHz można
uzyskać zasięg ponad 1 km.

P_o moc nadajnika pytającego

G_i wzmacnienie odbiornika

G_e zysk anteny sensora

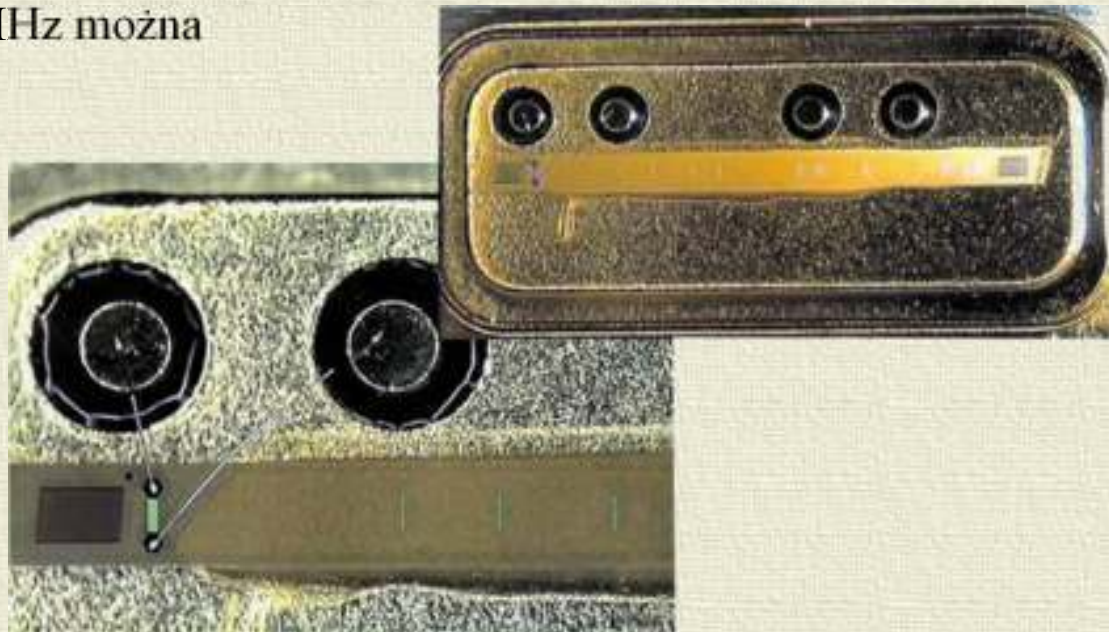
D straty sensora

kT_o energia szumów anteny odbiorczej

B pasmo systemu

F współczynnik szumów systemu

S/N stosunek sygnału do szumu

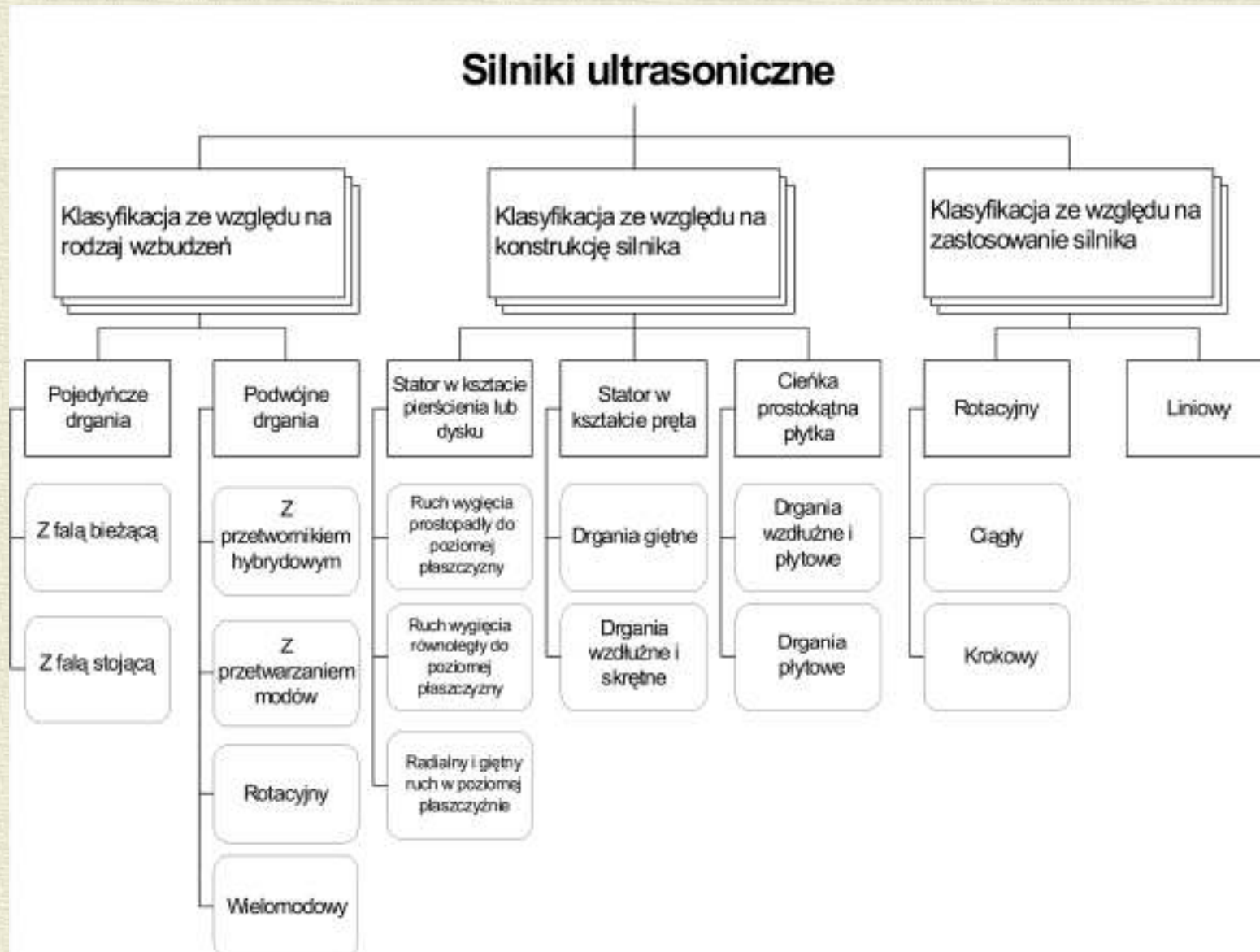


Przykłady zastosowań

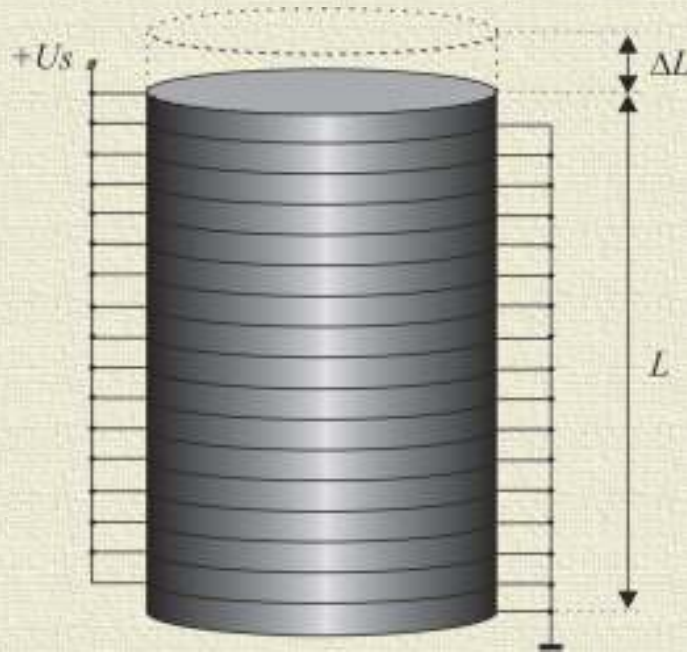
A large diagram of a SAW resonator. It shows a cylindrical resonator with a central rectangular area containing a network of lines and components. Arrows indicate the direction of wave propagation and the electrical connection points. A curved arrow on the right indicates rotation.
A photograph of a SAW resonator component, showing its circular shape and internal structure, with two electrical leads extending from the bottom.

Aktywatory

Zjawisko piezoelektryczne pozwala konwertować napięcie na ruch.



Stosy piezoelektryczne



$$C \approx \frac{n \epsilon_{33T} A}{d}$$

$n=L/d$ – liczba warstw

ϵ_{33T} – przenikalność elektryczna przy stałym naprężeniu

A – powierzchnia elektrod

d – grubość warstwy

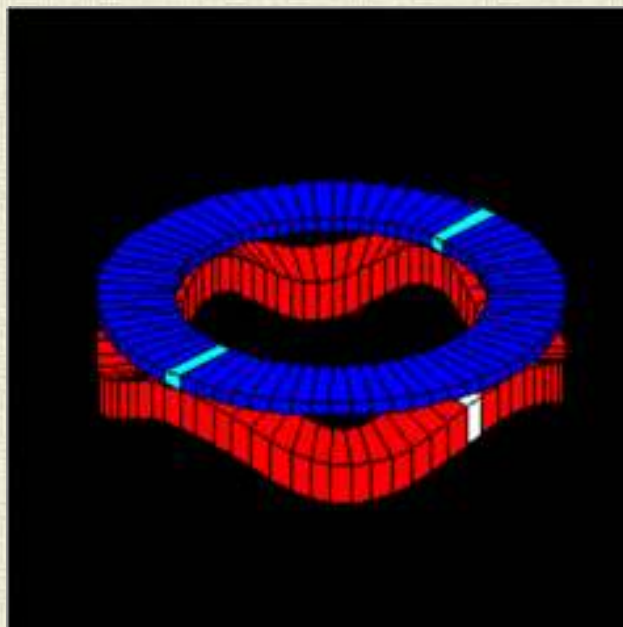
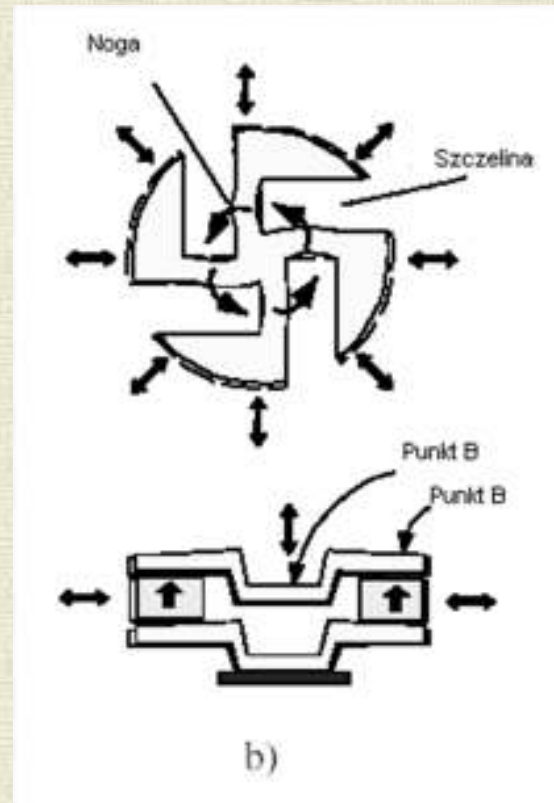
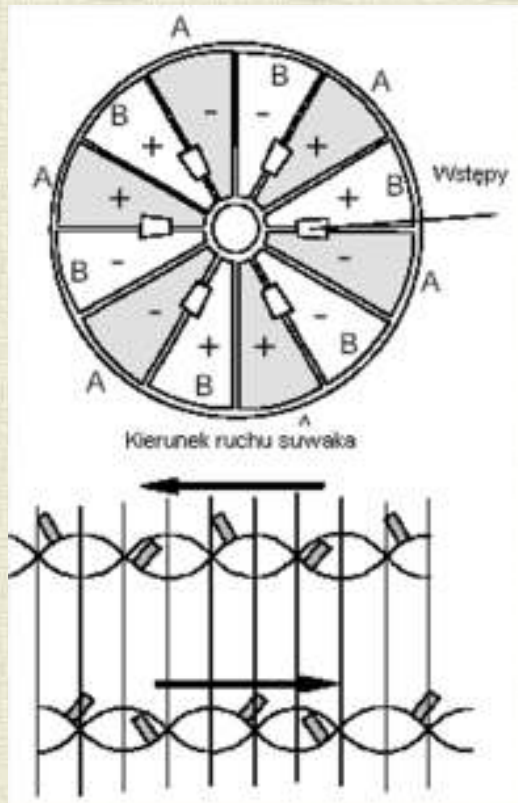
$$i_{sr} \approx f C U_{pp} \quad i_{\max} \approx \pi f C U_{pp}$$

$$f_{\max} \approx \frac{i_{\max}}{2 C U_{pp}}$$

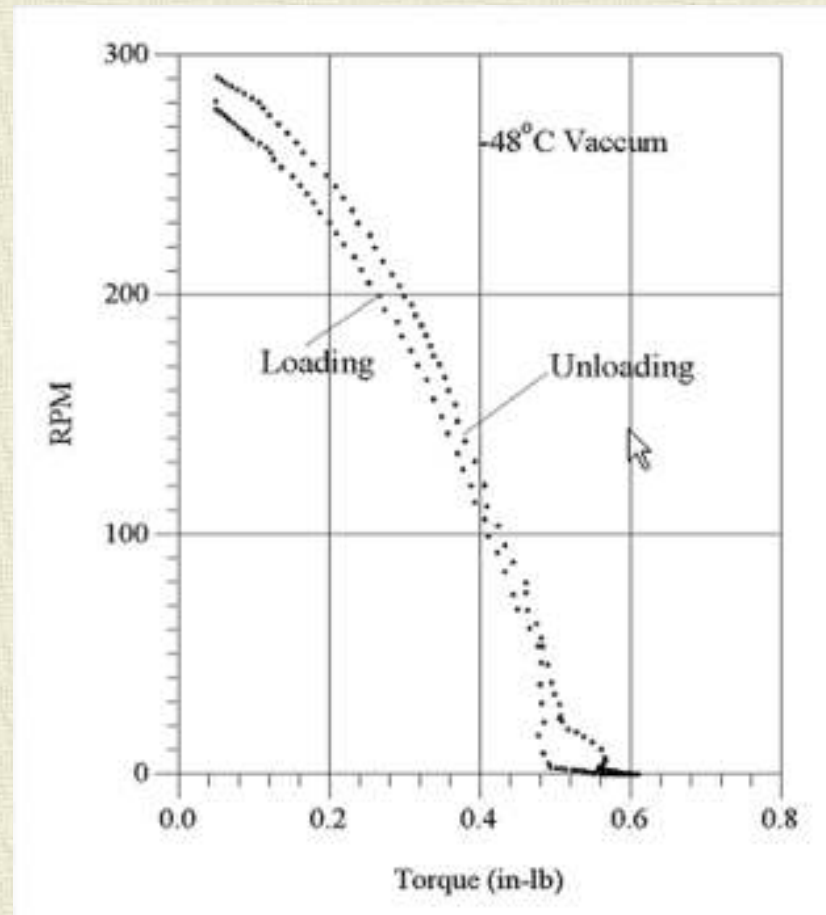
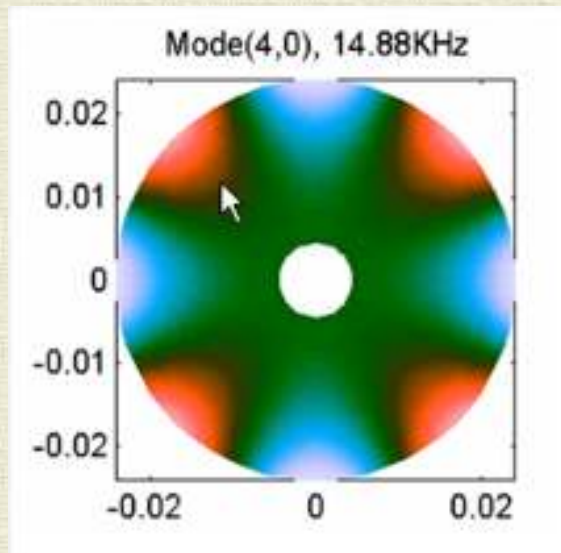
$$P_{sr} \approx C U_{\max} U_{pp} f \quad P_{\max} \approx \pi C U_{\max} U_{pp} f$$

$$P_{\text{JOULE}'a} \approx \frac{\pi}{4} \tan \delta f C U_{pp}^2$$



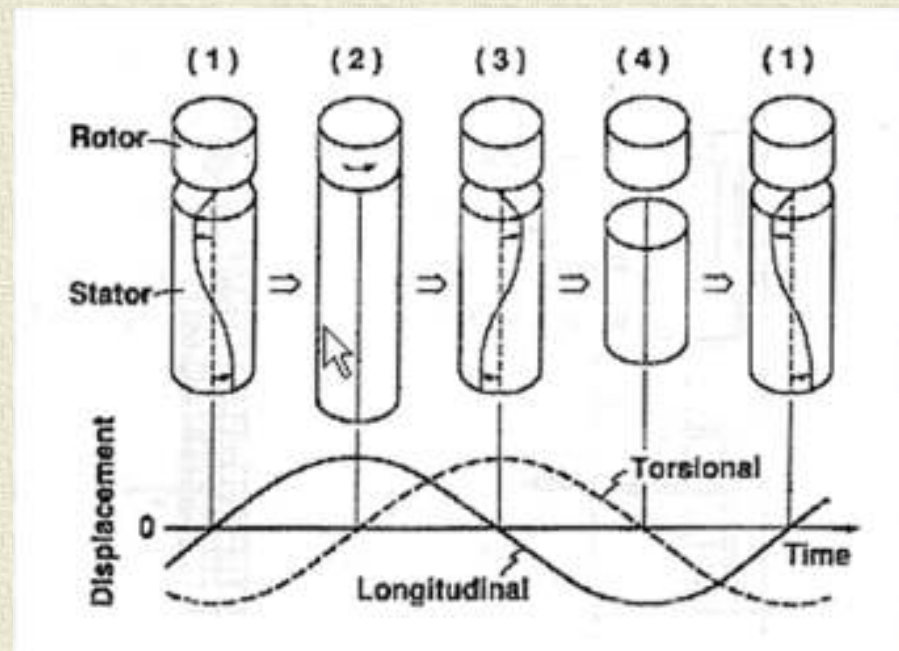
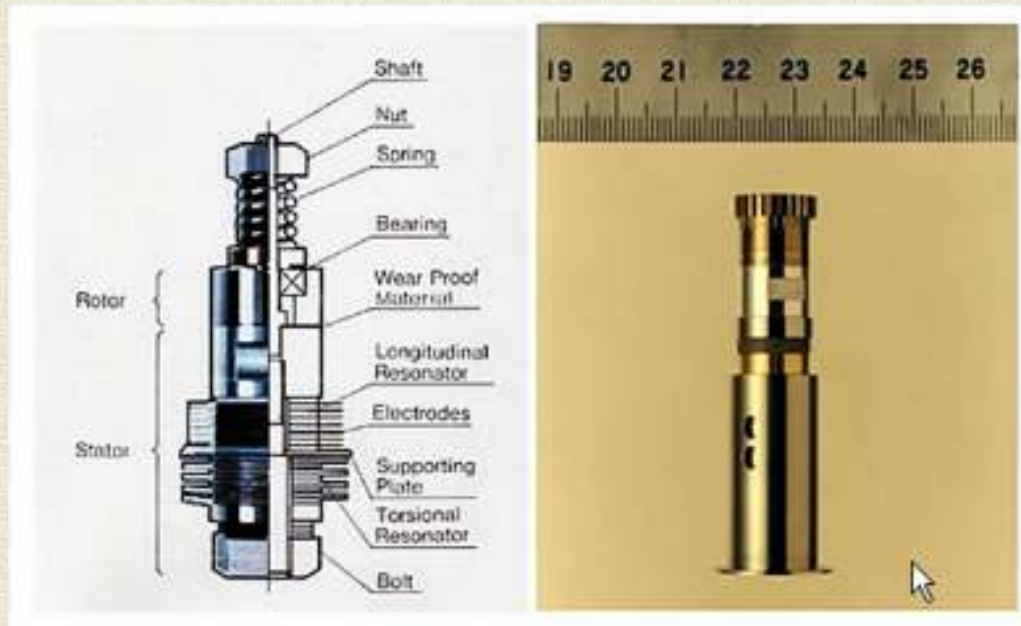


| Mode (m,n) | Calculated Frequency (KHz) | Measured Frequency |
|---------------|-------------------------------|--------------------|
| (4,0) | 14.88 | 14.55 |
| (5,0) | 22.48 | 22.37 |
| (6,0) | 31.45 | 31.34 |

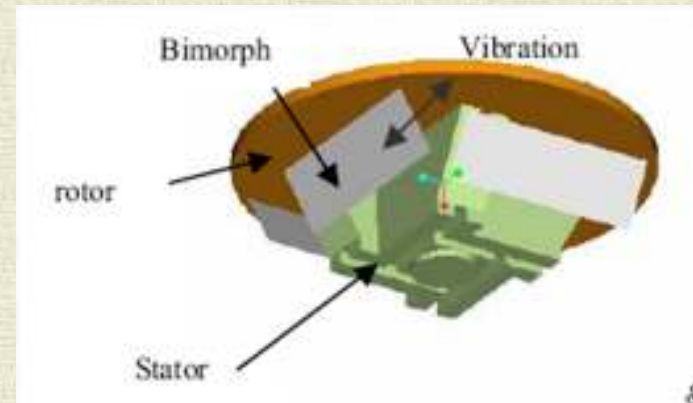
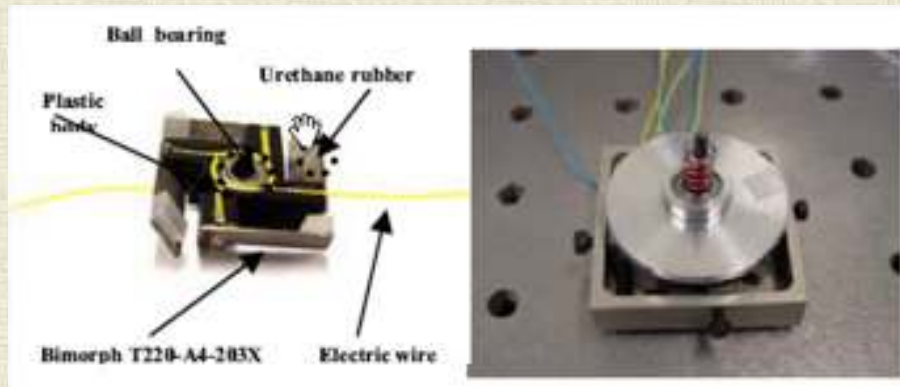
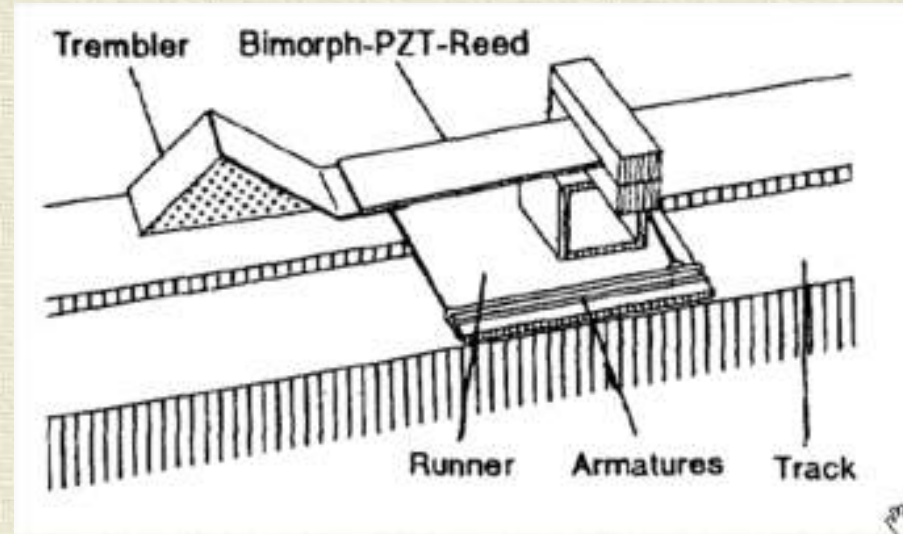


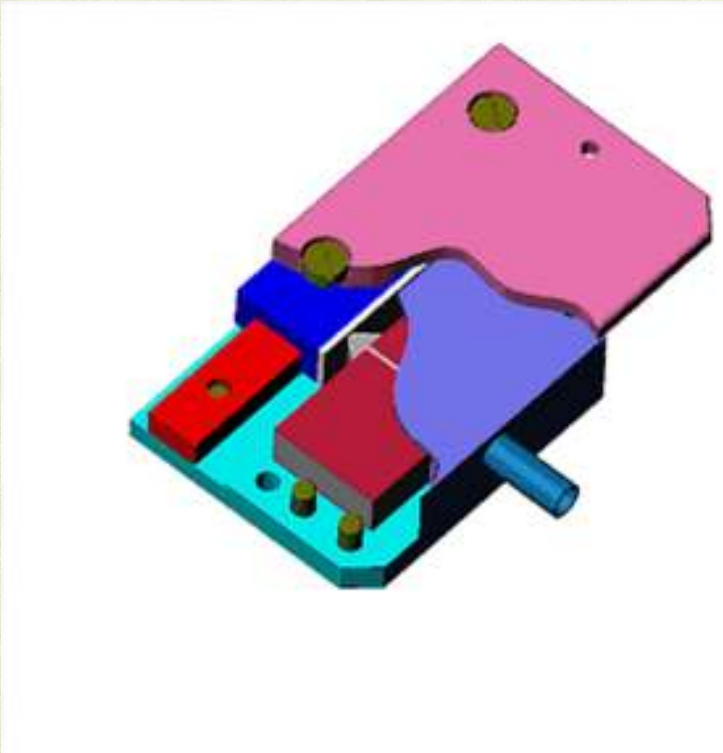


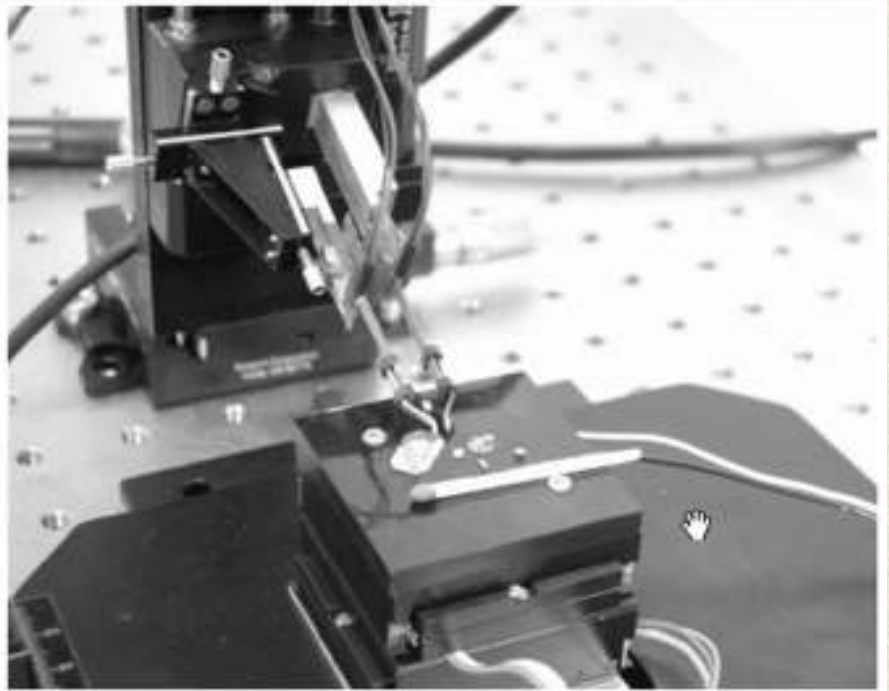
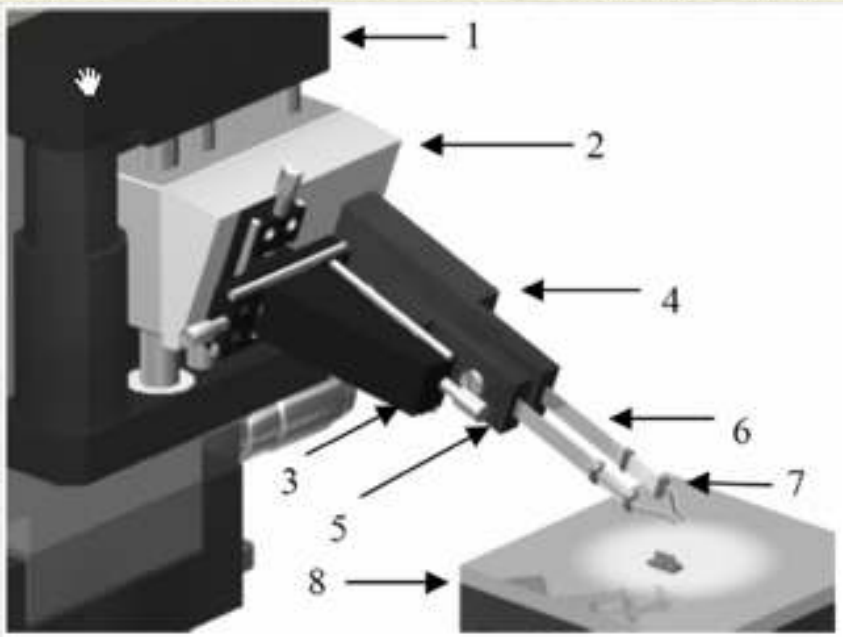


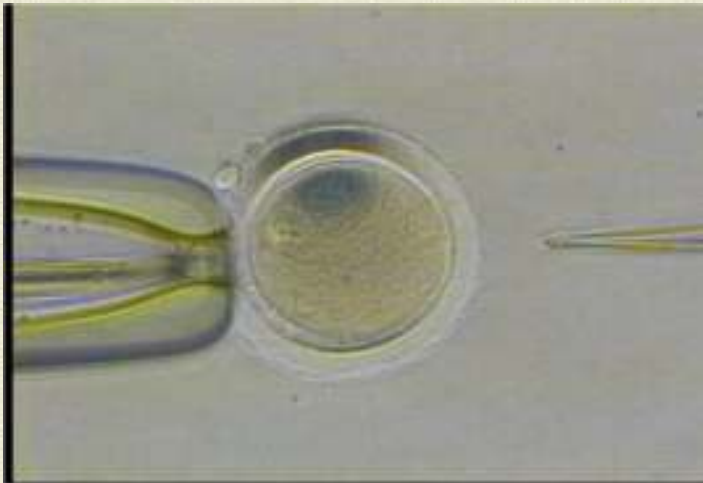


Silniki napędzane bimorfami

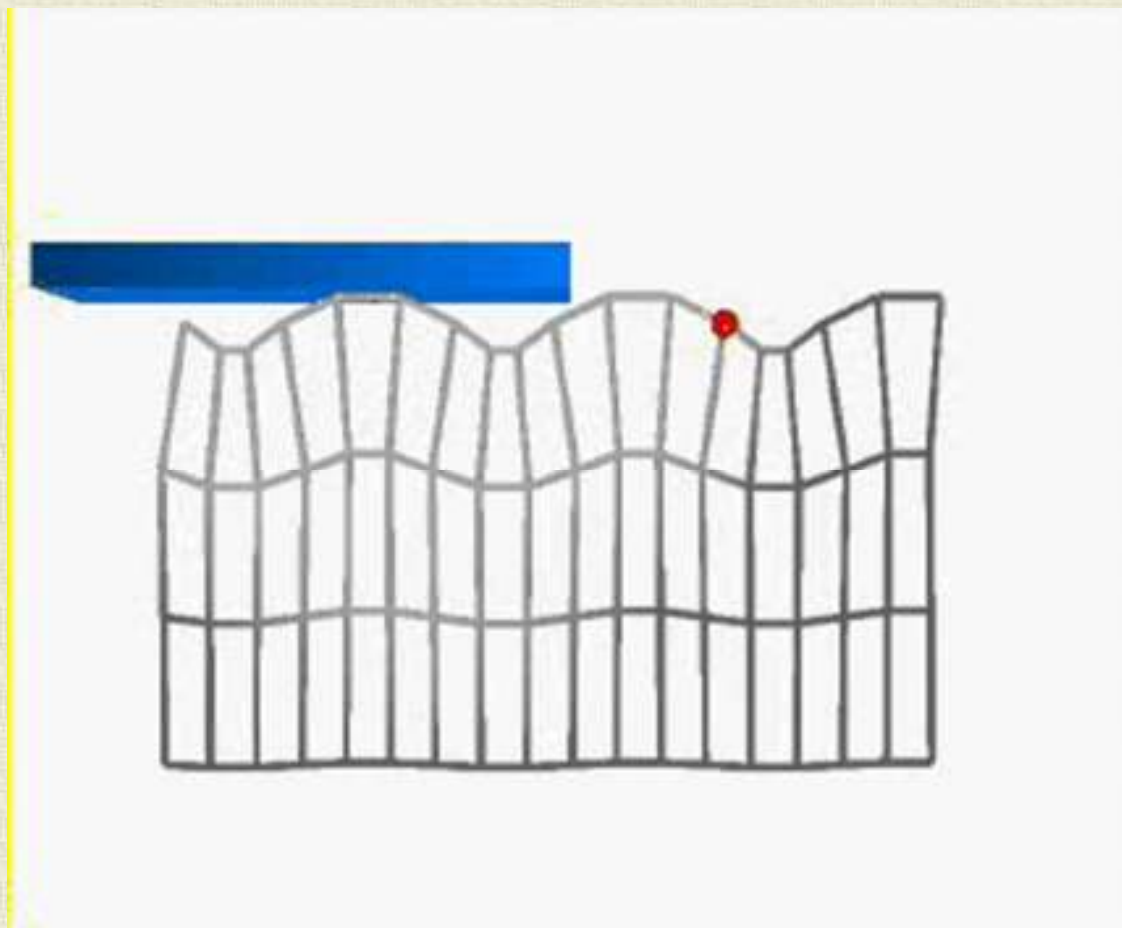


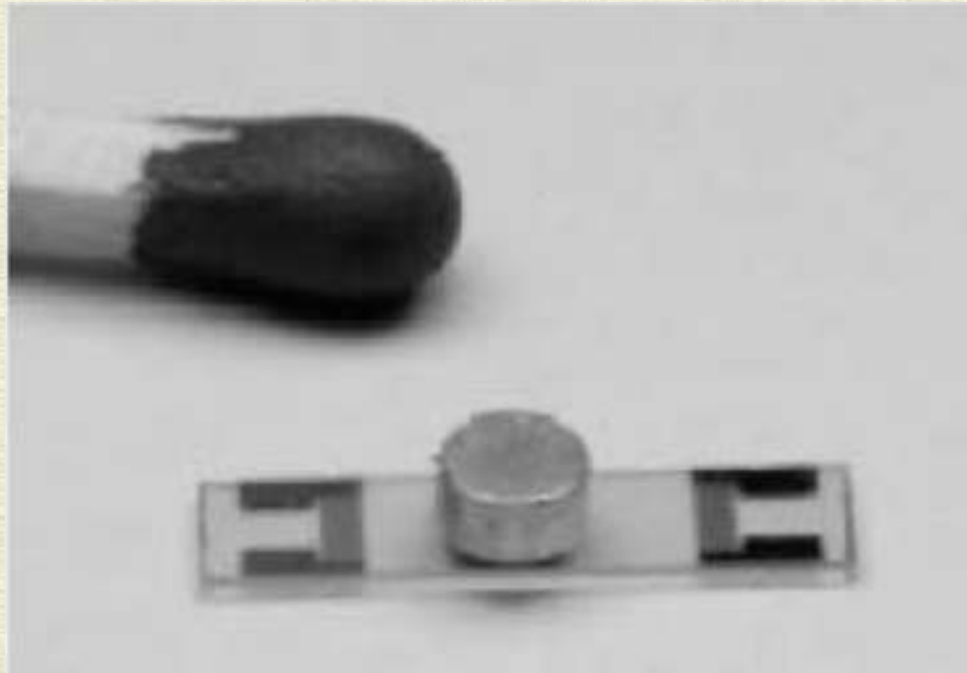


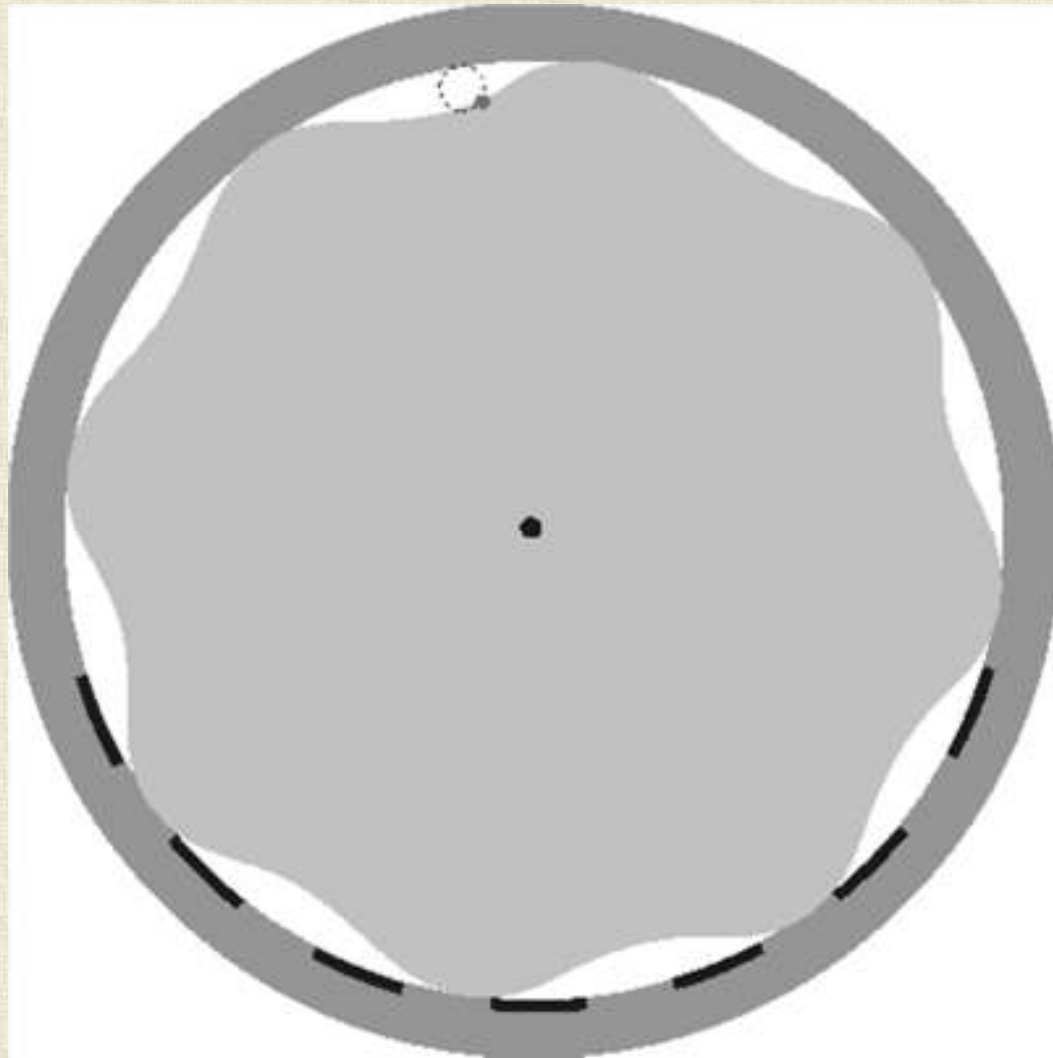


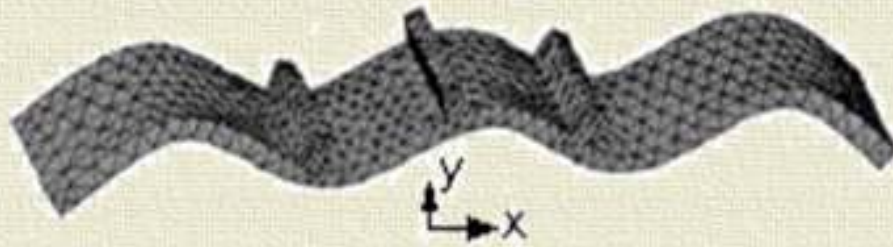


Silnik z falą Rayleigha

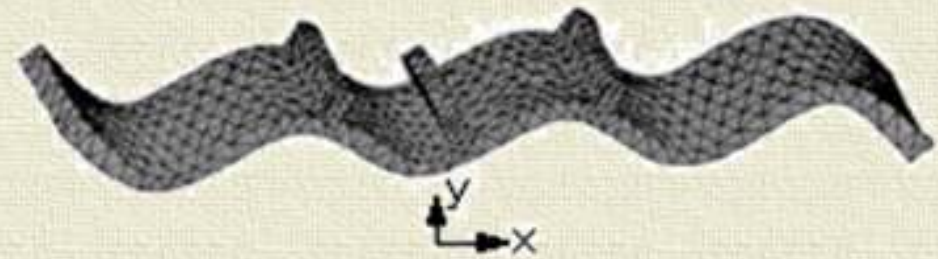
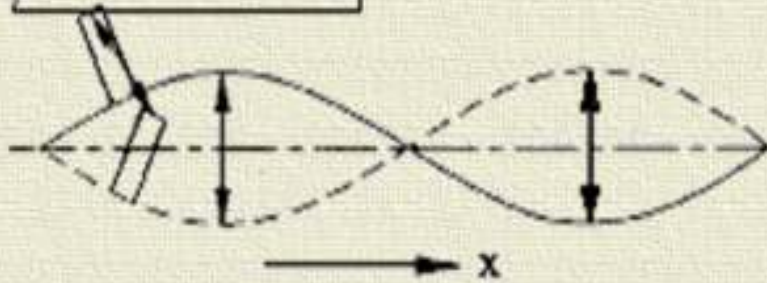




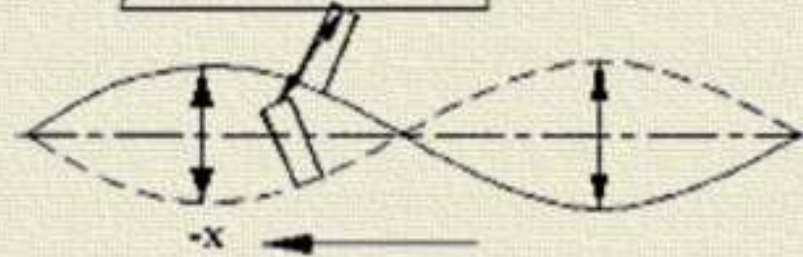




Material tarciony



Material tarciony



Najprostszy model

założenia:

- rozmiar kontaktów suwaka z podłożem jest dużo mniejszy niż długość fali Rayleigha
- deformacje fali Rayleigha spowodowane obciążeniem powierzchni przez suwak są niewielkie i nie wpływają na siebie
- deformacje są równomiernie rozłożone wzdłuż suwaka

W czasie jednego cyklu fali Rayleigha $-\frac{\pi}{2} \leq \omega t \leq \frac{\pi}{2}$ wibracje w kierunku normalnym do powierzchni można w uproszczeniu opisać wyrażeniem:

$$y = A_y \sin \omega t$$

Suwak będzie poddawany działaniu siły normalnej (docisk) $F_n = c_y A_y (\sin \omega t - \sin \varphi)$ na odcinku styku styku pomiędzy

$$\omega t = \varphi, \left(-\frac{\pi}{2} \leq \varphi \leq \frac{\pi}{2} \right), \quad \text{a} \quad \omega t = \pi - \varphi$$

c_y jest współczynnikiem zależnym od sztywności podłoża

Analogicznie wzdłuż powierzchni:

$$x = A_x \cos \omega t$$

$$F_w = c_x A_x (\cos \omega t - \cos \varphi)$$

Siła działająca na suwak będzie proporcjonalna do deformacji wzdłuż powierzchni w punktach kontaktu, stąd:

$$F = c_x A_x \left[\cos \varphi - \cos \omega t - (\omega t - \varphi) \sin \frac{v}{A_y \omega} \right]$$

Zależność ta obowiązuje dla dostatecznie dużego współczynnika tarcia (suwak przesuwa się bez znaczącego poślizgu).

$f = 10 \text{ MHz}$

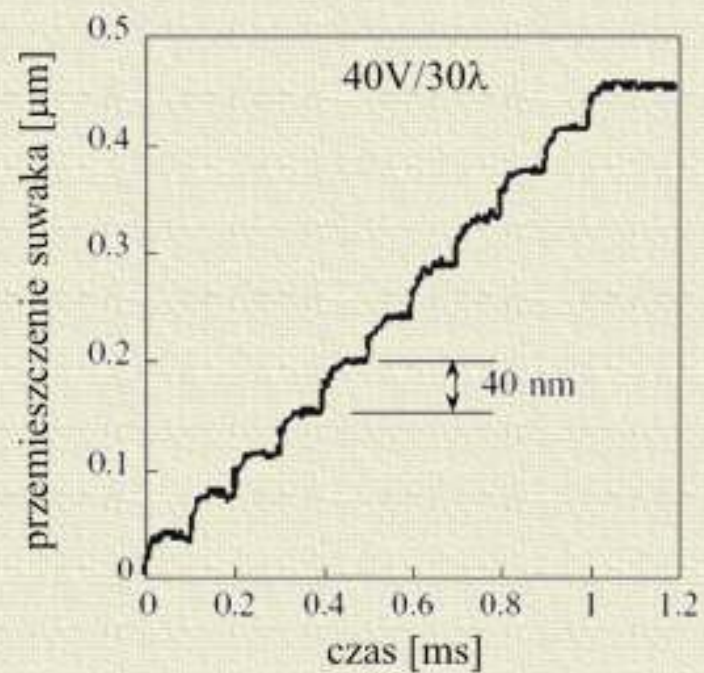
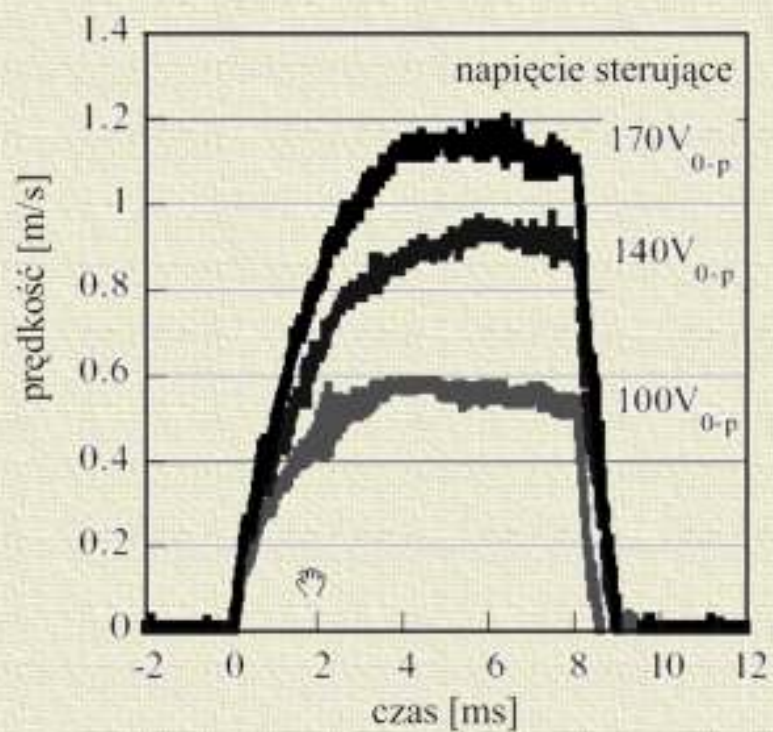
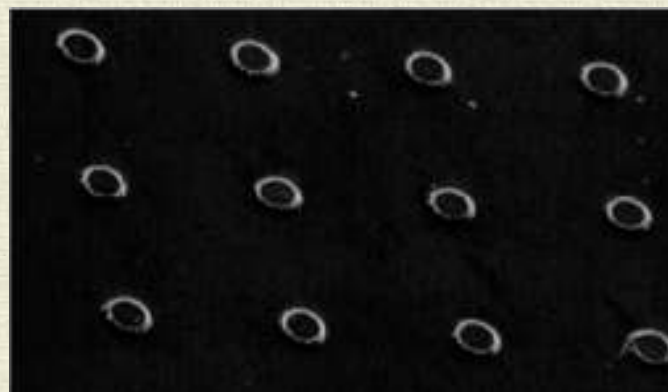
$F_{\text{docisku}} = 30 \text{ N}$

$F_{\text{wy}} = 3 \text{ N}$

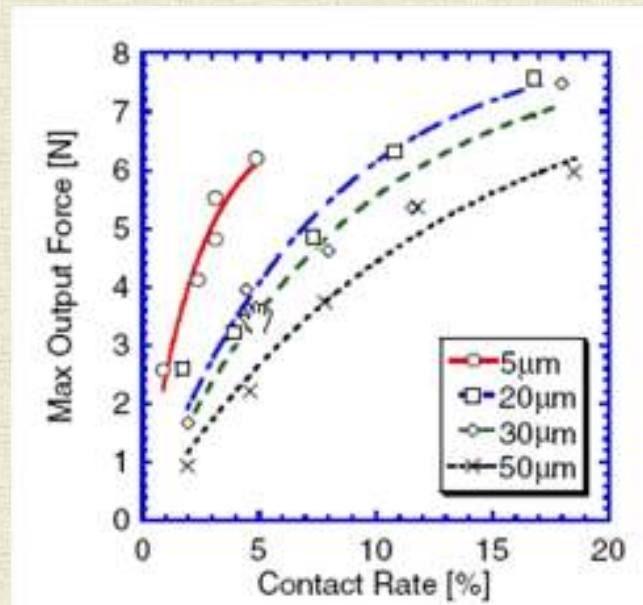
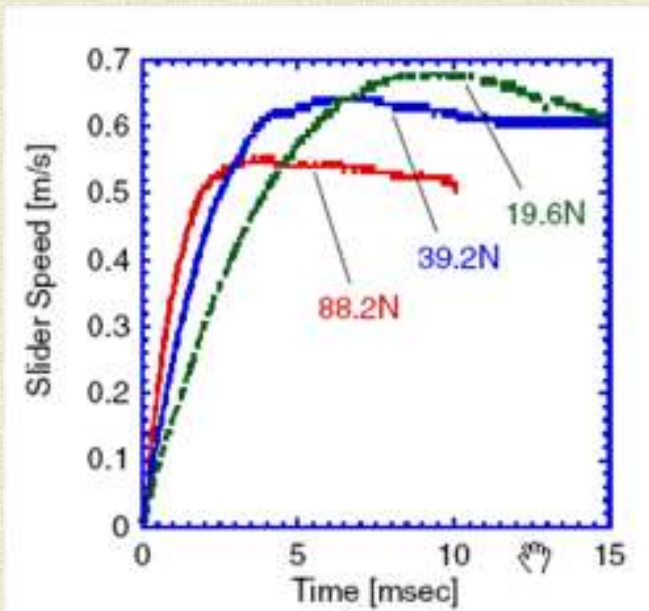
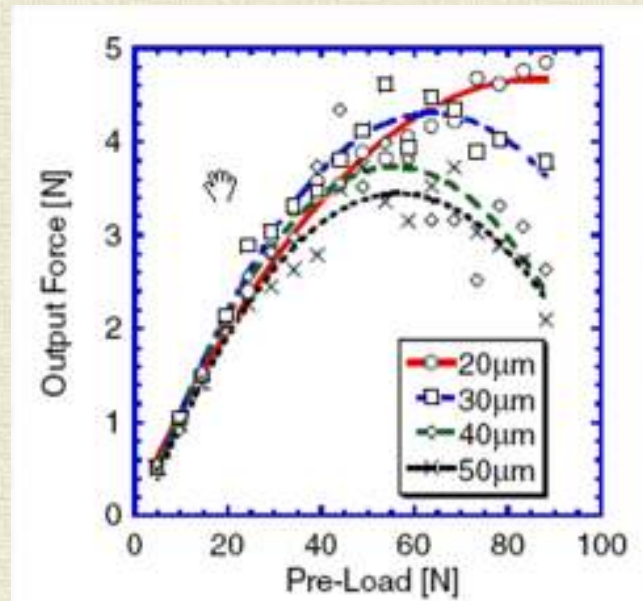
$a = 1000 \text{ m/s}^2$

podłoże $128Y \text{ LiNbO}_3 - 60 \times 15 \text{ mm}$

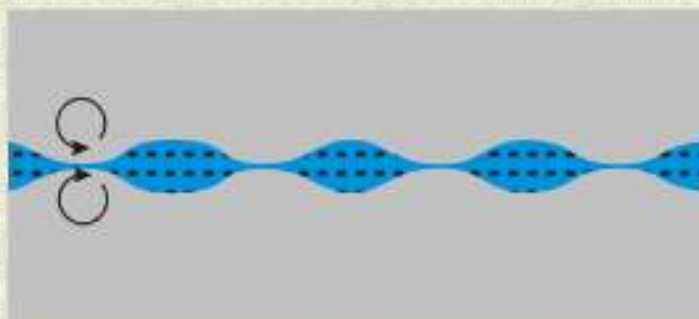
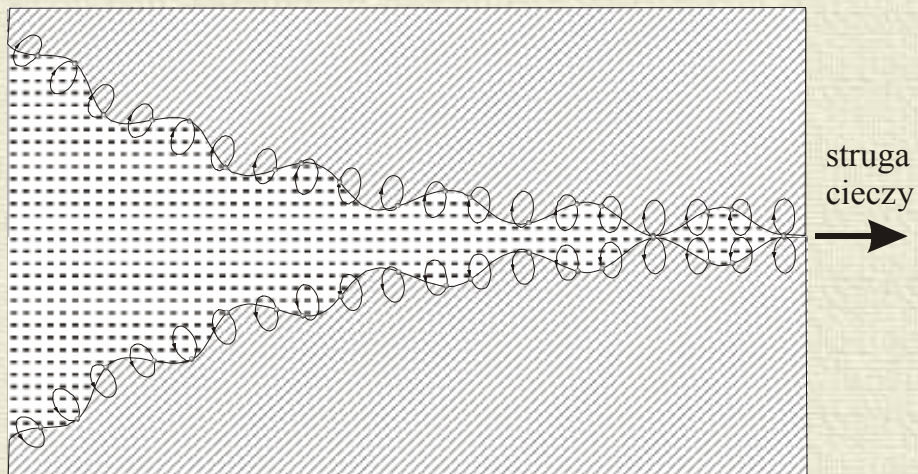
suwak krzemowy $4 \times 4 \text{ mm}$



$$U_s = 125 V_{o-p}, S = 1,2 \text{ mm}^2$$

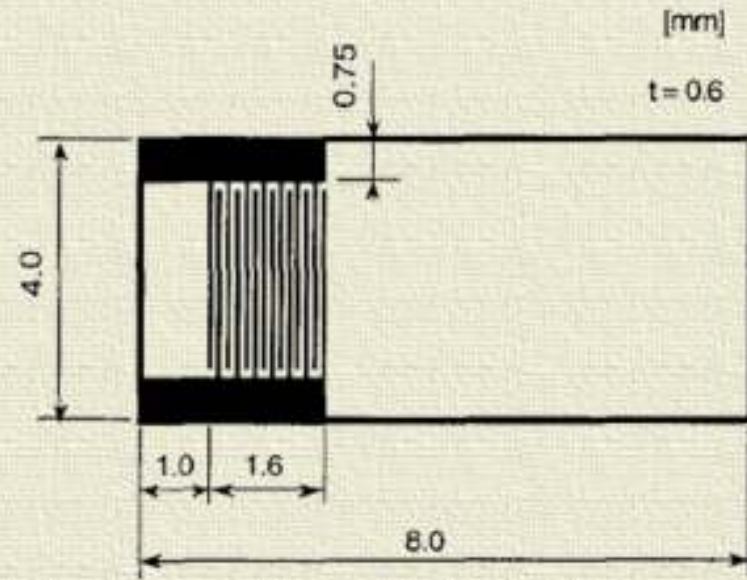
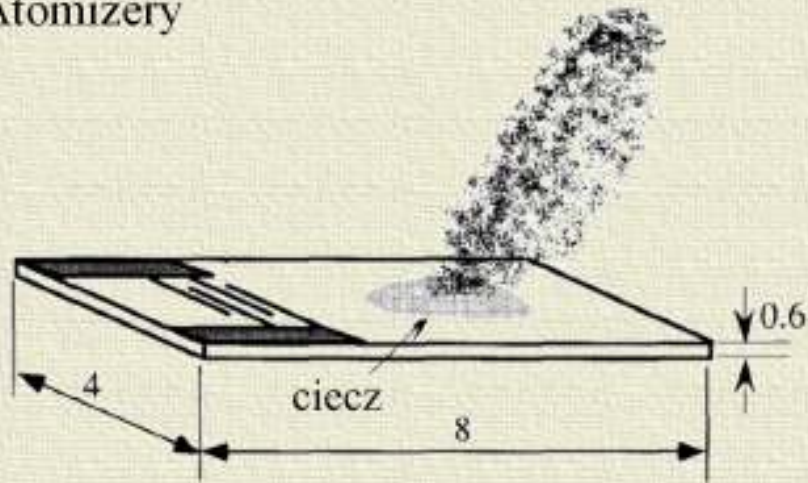


Mikropompy mikrodsze przepływomierze

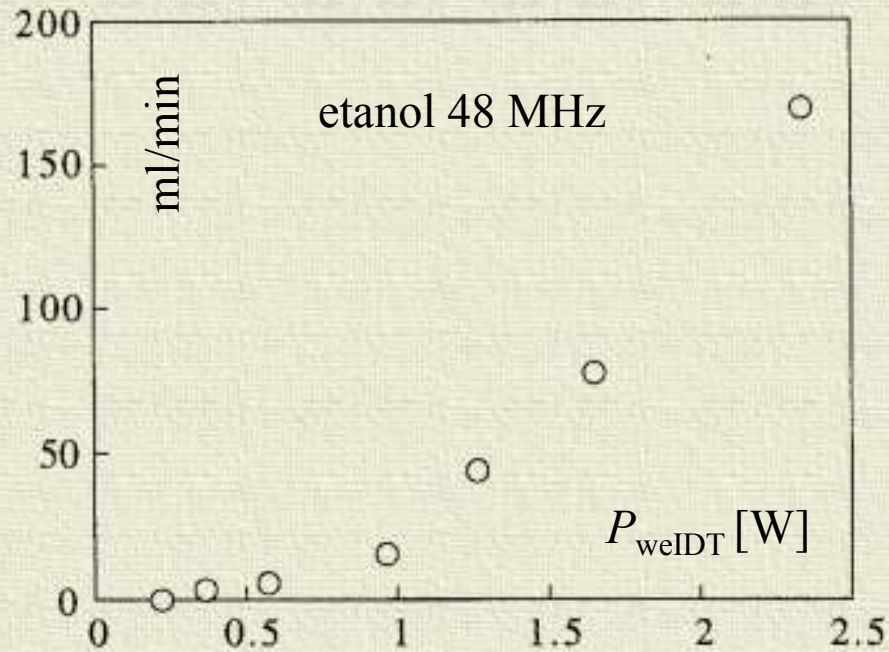


termostatowana grzałka

Atomizery

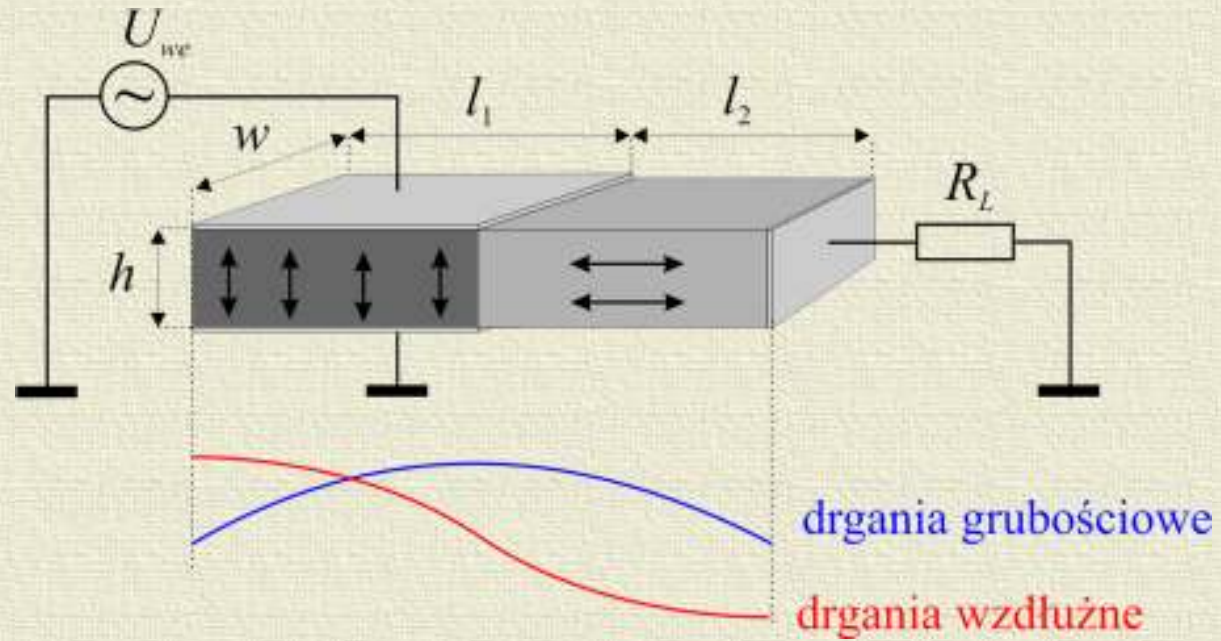


$$N_p = 20, W = 2,4 \text{ mm}, \lambda = 80 \text{ }\mu\text{m}$$



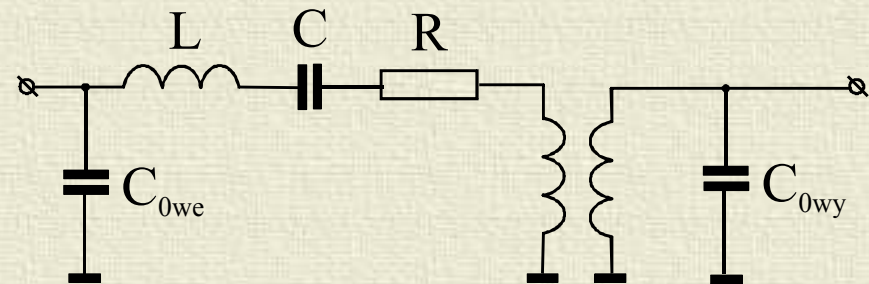
$$d \sim \sqrt[3]{\frac{8\pi\sigma}{\rho f^2}}$$

Piezo-transformatory

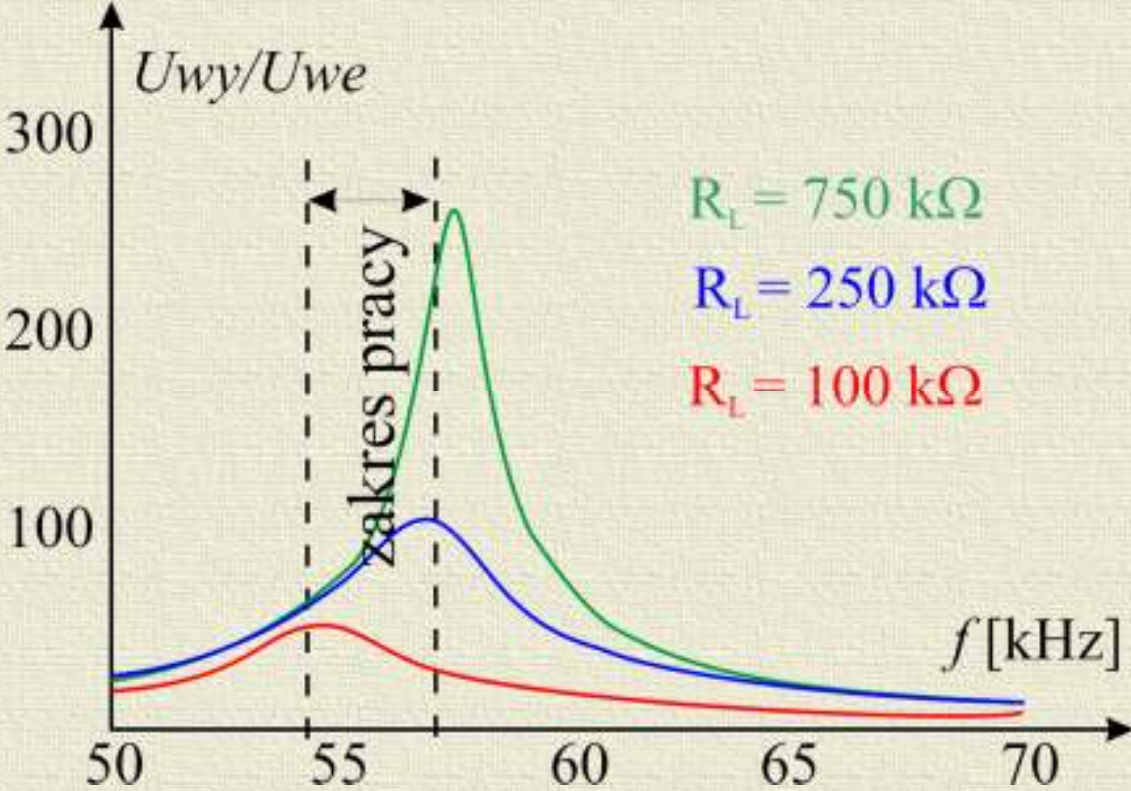


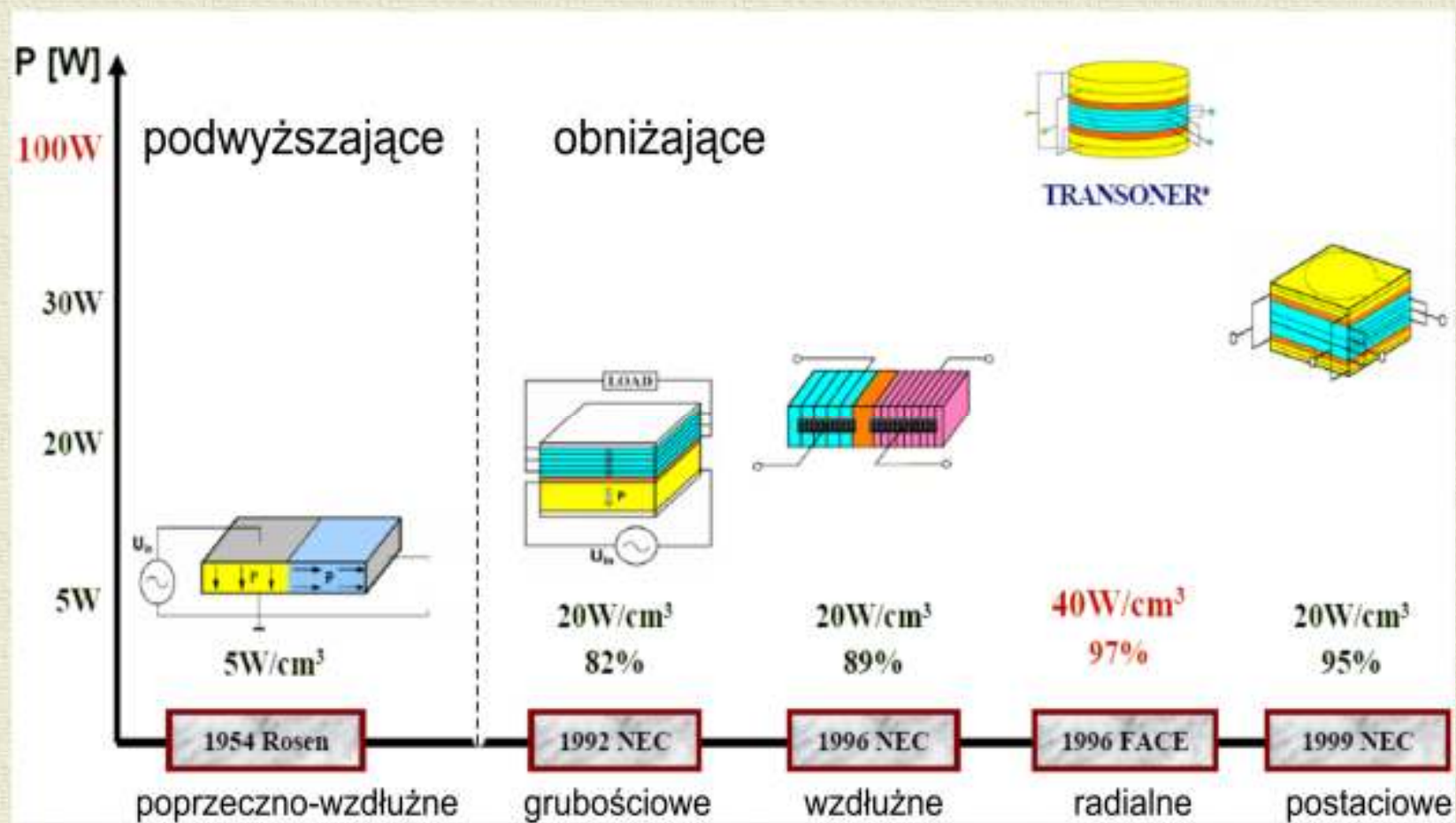
$$n = \frac{U_{we}}{U_{wy}} \sim \frac{l_2}{h}$$

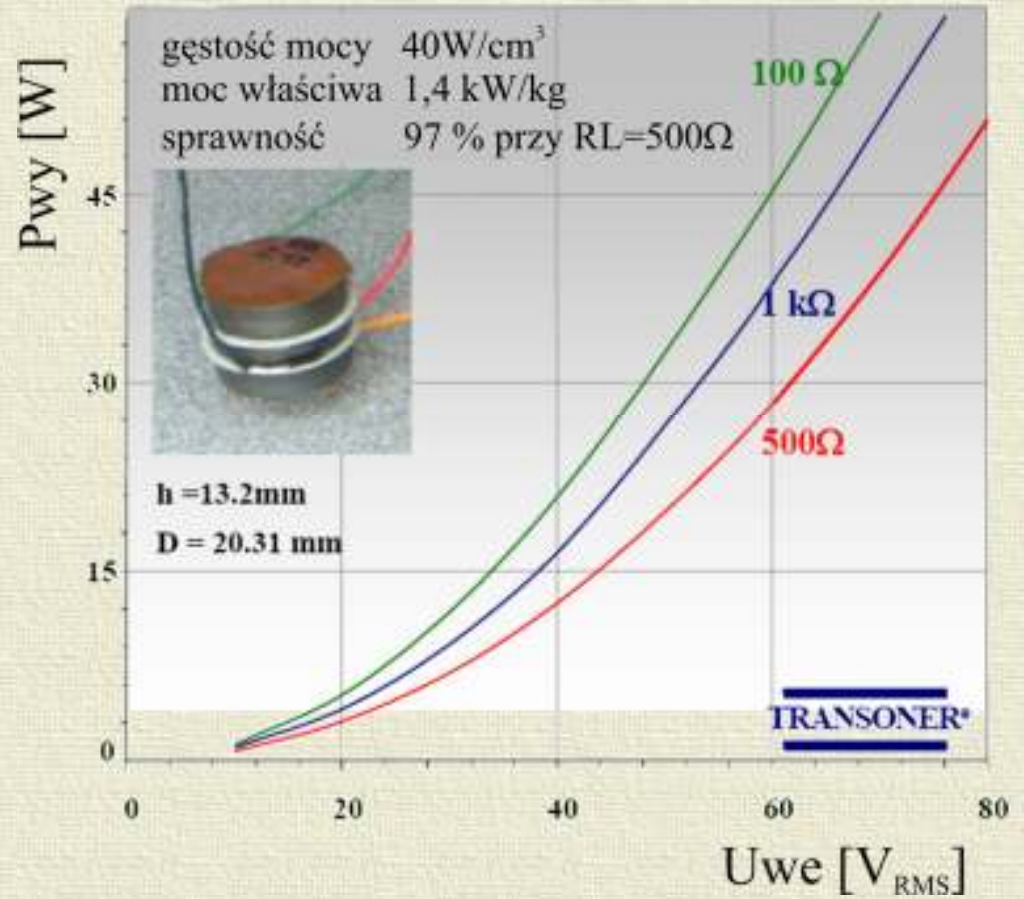
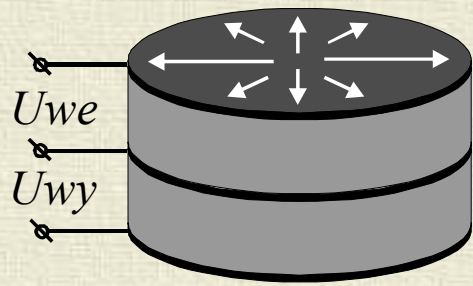
PT typu Rosena

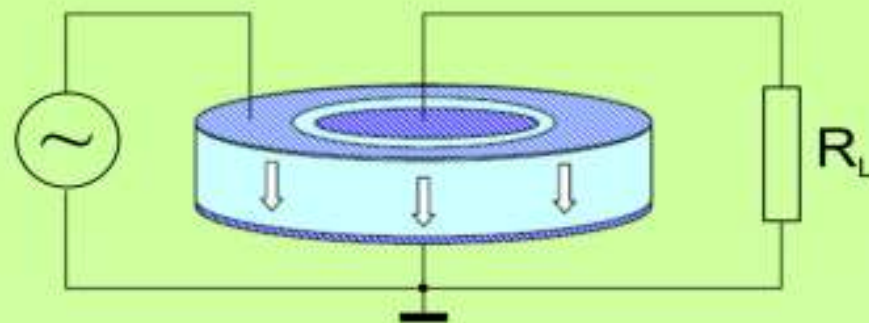


Przekładnia zależy od częstotliwości i obciążenia

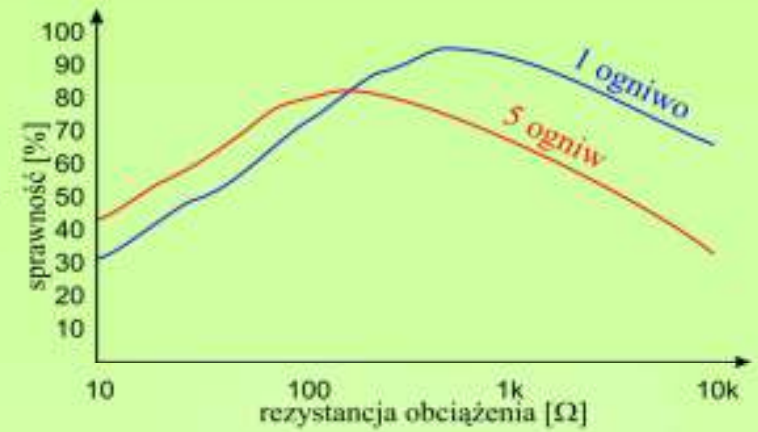
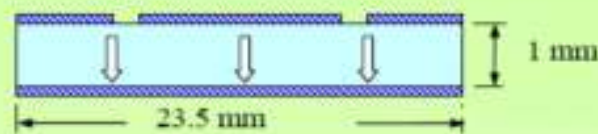




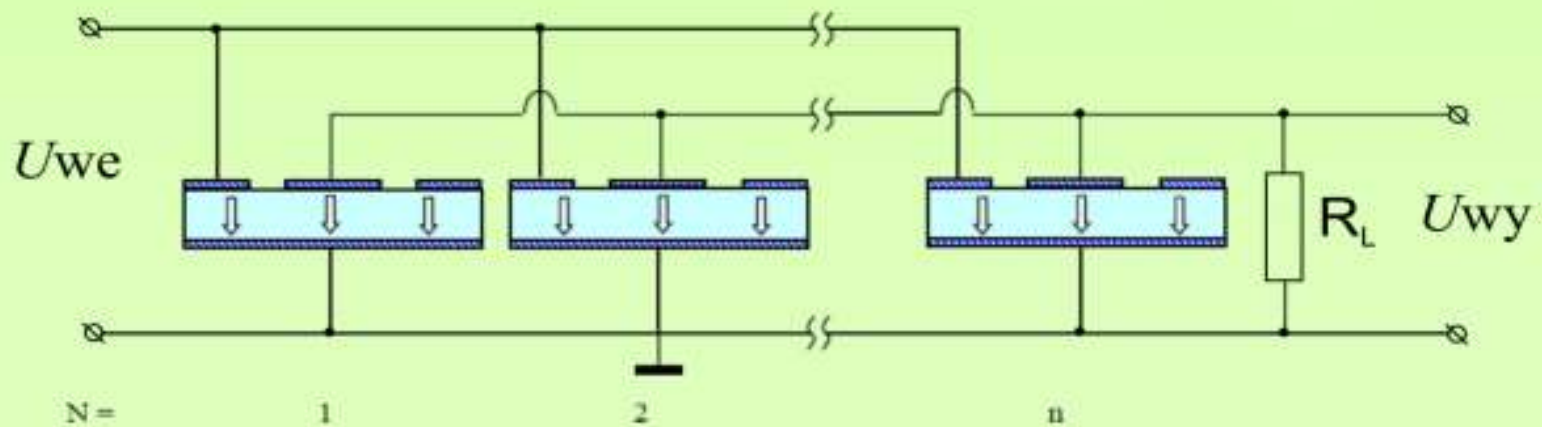




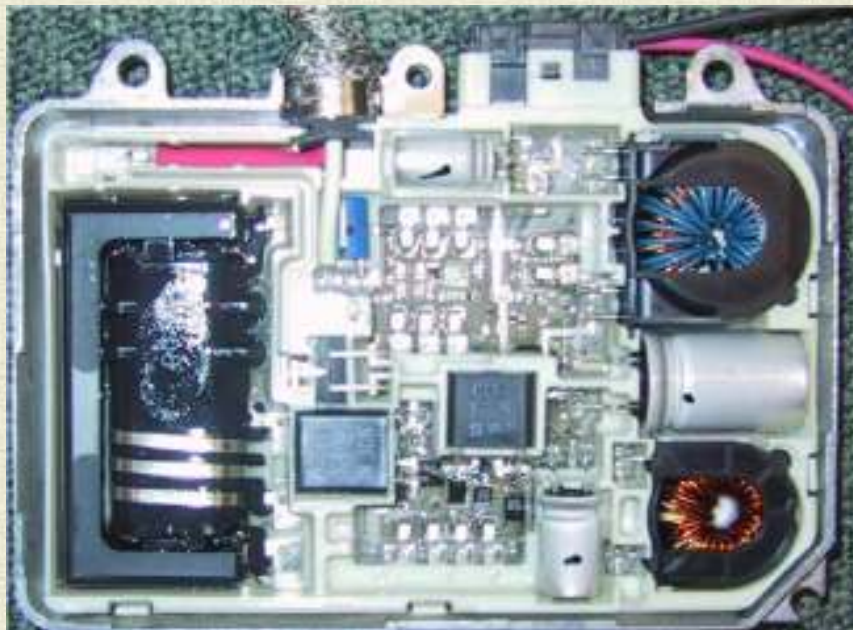
12.8 mm



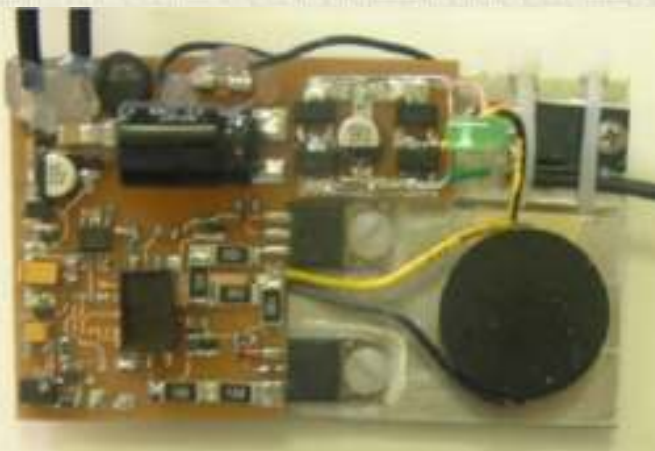
ok. 10 W/ogniwo



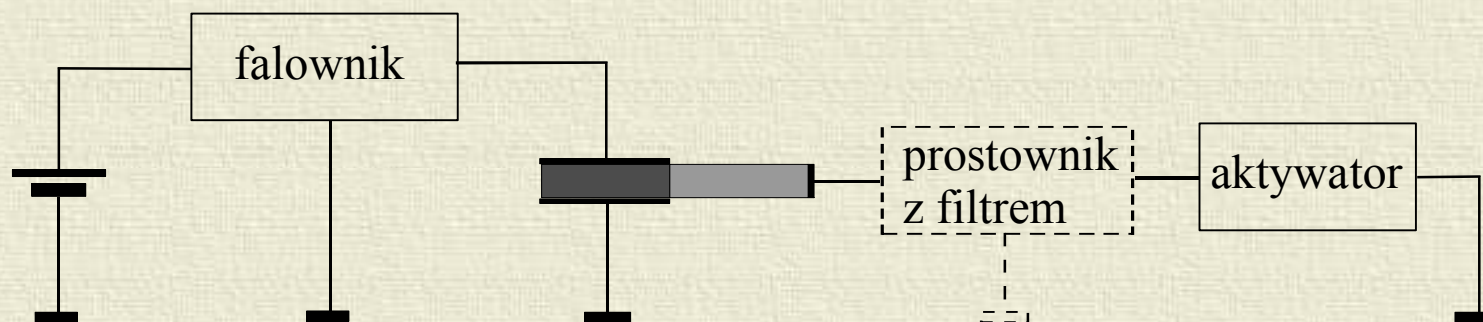
moduł zasilania świateł samochodowych



zasilacze sieciowe do urządzeń przenośnych



Bateryjne zasilanie piezoaktywatorów



bezbatteryjne systemy zasilania

